

I
S
I
C
E

مجله کنترل

ISSN 2008-8345



دانشگاه صنعتی خواجه نصیرالدین طوسی

نشریه علمی - پژوهشی

انجمن مهندسان کنترل و ابزار دقیق ایران - دانشگاه صنعتی خواجه نصیرالدین طوسی

جلد ۵، شماره ۲، تابستان ۱۳۹۰

فهرست مقالات

۱

تحلیل پایداری فیلتر SDRE تفاصلی زمان- گسسته در محیط تصادفی

حسین بیک زاده، حمیدرضا تقی‌راد

پایدارسازی و کنترل سیستم‌های خطی سوئیچ شونده با قانون کلیدزنی مقید به حالت- ورودی منطقی:
دیدگاه مبتنی بر نامساوی‌های ماتریسی خطی

حامد ملااحمدیان کاسب، علی کریم پور، ناصر پریز

شناسایی و پیش‌بینی سیستم غیرخطی کوره دوار سیمان با استفاده از شبکه عصبی - فازی و انتخاب ورودی- ها به کمک الگوریتم ژنتیک

آرمیتا فاطمی مقدم، آرش شریفی، محمد تشنه لب

روش جدید حل مسئله ستز μ با استفاده از الگوریتم بهینه سازی اجتماع پرنده‌گان

علی لاری، علیرضا خسروی

یک تکنیک مدولاسیون جایگزین برای مدولاسیون SVM متدائل: کاهش حجم محاسبات

محمد توسلی، محمد توکلی بیان، مسعود علی اکبر گلکار

کنترل معکوس تطبیقی سیستم‌های دینامیکی غیرخطی با شبکه‌های عصبی فازی نوع ۲-

جعفر طاوسی، محمد علی بادامچی زاده، سحرانه قائمی

کنترل مقاوم و شکل‌دهی مجموعه نامعینی حاصل از شناسایی سیستم

وحید آینه‌فر، حمیدرضا مؤمنی



نشریه علمی - پژوهشی، انجمن مهندسان کنترل و ابزار دقیق ایران - دانشگاه صنعتی خواجه نصیرالدین طوسی،

جلد ۵، شماره ۲، تابستان ۱۳۹۰

پست الکترونیک: control@isice.ir

صاحب امتیاز: انجمن مهندسان کنترل و ابزار دقیق ایران

مدیر مسئول: پروفسور ایرج گودرزنا

سردبیر: پروفسور علی خاکی صدیق - تلفن: ۸۴۰۶۲۳۱۷ - پست الکترونیکی: sedigh@kntu.ac.ir

آدرس محل کار: خیابان دکتر شریعتی، پل سیدخدان، دانشکده برق دانشگاه صنعتی خواجه نصیرالدین طوسی

سمت: استاد دانشگاه

شورای سردبیری: پروفسور علی خاکی صدیق، دکتر حمید خالو زاده، دکتر علیرضا فاتحی

دیر اجرایی: دکتر حمید خالو زاده

هیأت تحریریه:

پروفسور علی خاکی صدیق (استاد) - پروفسور ایرج گودرزنا (استاد) - دکتر حمید خالو زاده (دانشیار) - پروفسور پرویز جبه دار مارالانی (استاد) - پروفسور

علی غفاری (استاد) - دکتر حمیدرضا مومنی (دانشیار) - پروفسور سید کمال الدین نیکروش (استاد) - پروفسور مسعود شفیعی (استاد) - پروفسور بهزاد مشیری

(استاد)

هیأت مشاوران:

دکتر حمیدرضا مومنی، پروفسور بهزاد مشیری، پروفسور مسعود شفیعی، پروفسور پرویز جبه دار مارالانی، پروفسور علی غفاری،

دکتر حمید خالو زاده، دکتر حمیدرضا تقی راد، دکتر کیوان مسرووری، دکتر محمد تقی بطحایی، دکتر محمد تقی بهشتی، دکتر فرزاد جعفر کاظمی، دکتر رویا

امجدی فرد، دکتر سید علی اکبر موسویان، دکتر محمد تشنہ لب، پروفسور محمد حایری، دکتر سید علی اکبر صفوی، پروفسور حسین سیفی، دکتر احمد

کاظمی، دکتر علیرضا فاتحی، دکتر محمدرضا اکبرزاده توتو نچی، دکتر مسعود علی اکبر گلکار، دکتر ناصر پریز، دکتر مهرداد جوادی، دکتر جعفر حیرانی

نوبری، پروفسور فرامرز حسین بابایی، دکتر بیژن معاونی، دکتر مهدی علیاری شوره دلی، دکتر محمد عاروان، دکتر محمد توکلی بینا.

هیأت مدیره انجمن مهندسان کنترل و ابزار دقیق:

مهندس عباس شعری مقدم، پروفسور مسعود شفیعی، دکتر حمیدرضا مومنی، دکتر حمید خالو زاده، دکتر مهرداد جوادی، دکتر داود کریم زادگان، مهندس علی

کیانی.

تهران، خیابان انقلاب، میدان فردوسی، خیابان عباس موسوی (فرصت)، پلاک ۷۱، طبقه دوم، اتاق ۲۴۱

فاکس: ۸۸۳۲۴۹۷۹

تلفن: ۸۸۸۱۳۰۰۲

صندوق پستی: ۱۵۸۱۵-۳۵۹۵

www.isice.ir

نشریه علمی - پژوهشی (ISC) کنترل وابسته به "انجمن مهندسان کنترل و ابزار دقیق ایران" و "دانشگاه صنعتی خواجه نصیر الدین طوسی" تنها نشریه تخصصی در زمینه مهندسی کنترل و ابزار دقیق است.

این مجله که بصورت فصلنامه منتشر می شود و تا کون ۱۳ شماره آن به چاپ رسیده، با استقبال فراوان جامعه علمی دانشگاهی و مهندسان شاغل در صنایع گوناگون روبرو شده است و هم اکنون از مجلات منظم و پربار تخصصی در سطح علمی محسوب می گردد. تعداد مقالات دریافتی جهت بررسی و چاپ از دانشگاهها و مراکز علمی - پژوهشی سرتاسر کشور به خوبی نمایانگر این مدعای است. جایگاه این مجله در زمینه های مختلف علمی و فن آوری داخل کشور به خوبی توسط محققان و اندیشمندان این حوزه ها شناخته شده است و بدیهی است که چاپ به هنگام و با کیفیت بالای این مجله تخصصی می تواند گام بلندی در راستای توسعه پایدار علمی کشور باشد.

در یازدهمین جشنواره تجلیل از پژوهشگران و فناوران برتر که در تاریخ هفتم دی ماه ۱۳۸۹ برگزار گردید، مجله کنترل به عنوان نشریه علمی برتر در زمینه فنی و مهندسی معرفی شد. خداوند علیم و حکیم رابرای دست یابی به این رتبه علمی با وجود تعداد زیادی مجله‌ی علمی و پژوهشی در حوزه فنی و مهندسی در داخل کشور، شکر گزاریم. بدیهی است که چاپ به هنگام و با کیفیت بالای این مجله تخصصی می تواند گام بلندی در راستای توسعه پایدار علمی کشور باشد.

از آنجا که این نشریه برای داوری و چاپ مقالات هزینه ای را از ارسال کنندگان مقالات دریافت نمی نماید، لذا برای حفظ کیفیت و روند رو به رشد آن نیاز به حمایت مالی دارد که در این خصوص موسسات و شرکتهای زیر از جمله حامیان این شماره مجله بوده اند که در اینجا از ایشان تشکر و قدردانی بعمل می آید.

یاریگران این شماره

- شرکت پتروشیمی امیر کبیر
- شرکت پلیمر آریاساسول
- شرکت پتروشیمی لاله
- شرکت جابون
- شرکت پتروشیمی پردیس
- شرکت سپهر انرژی
- شرکت فیرم کو
- شرکت مهندسی سننس

به نام خدا

فهرست مقالات

- ۱ تحلیل پایداری فیلتر SDRE تفاضلی زمان-گسسته در محیط تصادفی
حسین بیک زاده، حمیدرضا تقی‌راد
- ۱۲ پایدارسازی و کنترل سیستم‌های خطی سوئیچ شونده با قانون کلیدزنی مقید به حالت-ورودی منطقی: دیدگاه مبتنی بر نامساوی‌های ماتریسی خطی
حامد ملااحمدیان کاسب، علی کریم پور، ناصر پریز
- ۲۲ شناسایی و پیش‌بینی سیستم غیرخطی کوره دوار سیمان با استفاده از شبکه عصبی - فازی و انتخاب ورودی‌ها به کمک الگوریتم ژنتیک
آرمینا فاطمی مقدم، آرش شریفی، محمد تشنه لب
- ۳۴ روش جدید حل مسئله سنتز μ با استفاده از الگوریتم بهینه سازی اجتماع پوندگان
علی لاری، علیرضا خسروی
- ۴۴ یک تکنیک مدولاسیون جایگزین برای مدولاسیون SVM متدائل: کاهش حجم محاسبات
محمد توسلی، محمد توکلی بینا، مسعود علی اکبر گلکار
- ۵۲ کنترل معکوس تطبیقی سیستم‌های دینامیکی غیرخطی با شبکه‌های عصبی فازی نوع-۲
جعفر طاووسی، محمد علی بادامچی زاده، سحرانه قائمی
- ۶۰ کنترل مقاوم و شکل‌دهی مجموعه نامعینی حاصل از شناسایی سیستم
وحید آینه‌فر، حمیدرضا مؤمنی

مجله کنترل، مجله‌ای علمی – پژوهشی است که در برگیرنده تازه‌ترین نتایج تحقیقات نظری و کاربردی در علوم مختلف مرتبط با مهندسی کنترل و ابزار دقیق می‌باشد. مقالات ارسالی به مجله کنترل می‌بایست به زبان فارسی و دارای چکیده انگلیسی باشند. از میان مباحث مورد نظر این مجله میتوان به موارد زیر اشاره نمود:

- (۱) مدلسازی، شناسایی، شبیه سازی، پیش‌بینی، بهینه سازی و پایش عملکرد سیستم‌ها.
- (۲) تحلیل و طراحی سیستم‌های کنترل پیشرفته از قبیل سیستم‌های کنترل خطی و غیرخطی، سیستم‌های کنترل تطبیقی، کنترل مقاوم و کنترل بهینه، سیستم‌های کنترل هوشمند، سیستم‌های کنترل تصادفی، سیستم‌های کنترل گسترش پیشامد و ترکیبی، سیستم‌های ابعاد وسیع، سیستم‌های کنترل چندمنغیره.
- (۳) مکاترونیک و رباتیک.
- (۴) ابزار دقیق و سیستم‌های ترکیب داده و اطلاعات سنسوری.
- (۵) اتوماسیون صنعتی از قبیل سیستم‌های کنترل گسترده، رابط انسان – ماشین، سیستم‌های ایمنی و تشخیص خطا، تحلیل و طراحی سیستم‌های کنترل کسری، شناسایی و تشخیص عیب در سیستم‌ها، سیستم‌های کنترل پیچیده، سیستم‌های زمان حقيقی و سیستم‌های کنترل سوپر وایزی.

کاربردهای مورد علاقه این مجله، وسیع بوده و می‌تواند در برگیرنده موارد زیر باشد:

- (۱) سیستم‌های هدایت و ناوبری.
- (۲) فرآیندهای صنعتی شامل فرآیندهای شیمیایی و بیوتکنولوژی.
- (۳) تولید و توزیع نیروی برق.
- (۴) مهندسی محیط زیست و هواشناسی.
- (۵) سیستمهای اقتصادی و مالی.
- (۶) سیستمهای اطلاعاتی، مخابراتی و شبکه‌های صنعتی.
- (۷) مهندسی پزشکی.

از کلیه پژوهشگران و کارشناسان فعال در زمینه‌های مرتبط با مهندسی کنترل و ابزار دقیق دعوت بعمل می‌آید تا مقالات و نتایج آخرین دستاوردهای علمی و پژوهشی خود را به این مجله ارسال نمایند. خواهشمند است مقالات خود را به صورت الکترونیکی به آدرس control@isice.ir ارسال فرمایید. برای کسب اطلاعات بیشتر و دریافت نحوه تهیه و ارسال مقالات می‌توانید به سایت مجله با آدرس www.isice.ir مراجعه نمایید.

شیوه قدوین

متن مقالات شامل چکیده، بدنه مقاله، مراجع و زیرنویسها باید با فونت ۱۲ Zar B و با فاصله double میان خطوط، در صفحات A4 یک ستونی و تحت نرم افزار Word تهیه گردد.

آدرس نویسنده‌گان

آدرس پستی کامل همه نویسنده‌گان همراه با شماره تلفن و دورنگار(فکس) و نشانی پست الکترونیک(email) نویسنده عهده‌دار مکاتبات در برگه مستقلی چاپ و به همراه مقاله ارسال گردد.

چکیده

هر مقاله باید شامل، عنوان (فارسی و انگلیسی)، چکیده (فارسی و انگلیسی) مقاله در حداکثر ۲۰۰ واژه، کلیدواژه (فارسی و انگلیسی) در حداکثر ۵ واژه باشد.

تصاویر و عکسها

در هنگام ارسال مقاله جهت داوری نیازی به ارسال اصل تصاویر و عکسها نمی‌باشد، ولی رونوشت ارسالی باید واضح باشد. پس از تایید مقاله، ارسال اصل تصاویر و عکسها جهت چاپ مقاله ضروری می‌باشد.

مراجع

به کلیه مراجع باید در متن ارجاع داده شده باشد. مراجع باید با شماره مشخص گردند و جزئیات آنها به شرح زیر در پایان مقاله به ترتیب حروف الفبای نویسنده‌گان ظاهر گردد:

مقالات: [شماره مرجع] نام خانوادگی و علامت اختصاری اول نام، سال انتشار یا تاریخ برگزاری، "عنوان مقاله"، نام کامل نشریه یا کنفرانس، شماره مجله یا شماره جلد، شماره صفحات.

كتابها: [شماره مرجع] نام خانوادگی و نام کامل همه نویسنده‌گان، عنوان کتاب، نام مترجم (در صورت وجود)، نام کامل ناشر، سال انتشار.

واحدها: کلیه مقالات باید از واحد استاندارد SI (متريک) در تمام بخش‌های مقاله استفاده نمایند. در کنار واحد SI می‌توان از واحد انگلیسی در داخل پرانتز نيز استفاده نمود.

طول مقالات

حداکثر حجم مقالات در هنگام چاپ ۱۵ صفحه می‌باشد که معادل حدود ۷۵۰۰ واژه می‌باشد. برای چاپ صفحات بیشتر و یا رنگی لازم است هزینه‌ای معادل ۲۵۰,۰۰۰ ریال (۲۵ دلار آمریکا) برای هر صفحه به حساب مجله واریز گردد.

فرایند ارسال مقاله

مقالات قابل چاپ در مجله شامل مقالات کامل پژوهشی، مقالات کوتاه و یادداشت‌های پژوهشی می‌باشد. مقالات ارسالی نباید در هیچ مجله داخلی و یا خارجی چاپ شده باشد و یا در حال داوری باشد.

- لازم است نسخه الکترونیکی مقاله به شکل pdf و word جهت داوری به نشانی مجله control@isice.ir ارسال شود.
- مقالات جهت داوری به داوران متخصص ارسال می‌گردد. در پایان تایید یا رد هر مقاله توسط هیئت تحریریه مجله انجام خواهد پذیرفت. سردبیر مجله نتیجه داوری را برای نویسنده عهده‌دار مکاتبات ارسال خواهد نمود.
- در صورتی که نیاز به تصحیح مقاله باشد، تصحیحات باید منحصراً محدود به موارد ذکر شده باشد. در سایر موارد نویسنده لازم است سردبیر را در جریان هر گونه تغییر یا تصحیح دیگری قرار دهد. در هر صورت مسئولیت صحت و سقم مطالب بر عهده نویسنده خواهد بود.
- در صورتی که مقاله جهت چاپ پذیرفته شود، یک نسخه از مجله همراه با ۵ نسخه از مقاله به هر یک از نویسنده‌گان اهدای خواهد گردید.

حق کپی: در صورت تایید مقاله، نویسنده‌گان لازم است فرم انتقال حق انتشار آن به "انجمن مهندسان کنترل و ابزار دقیق ایران" را تکمیل و به همراه اصل مقاله ارسال نماید. نویسنده‌گان لازم است موافقت کتبی دارندگان حق کپی بخشایی از مقاله که از مراجع و منابع دیگر نسخه برداری شده است را دریافت و به دفتر مجله ارسال نمایند.

بدینوسیله از کلیه اساتید، پژوهشگران و کارشناسان مهندسی کنترل و ابزار دقیق جهت ارائه مقالات خود در این نشریه دعوت به عمل می‌آورد. خواهشمند است مقالات خود را به صورت الکترونیکی به آدرس control@isice.ir ارسال فرمایید. برای کسب اطلاعات بیشتر میتوانید به سایت: <http://www.isice.ir> مراجعه نمایید.

تحلیل پایداری فیلتر SDRE تفاضلی زمان-گسسته در محیط تصادفی

حسین بیک زاده^۱، حمید رضا تقی‌راد^۲

^۱ فارغ‌التحصیل کارشناسی ارشد مهندسی کنترل، دانشکده مهندسی برق و کامپیوتر، دانشگاه صنعتی خواجه نصیرالدین طوسی

^۲ دانشیار گروه کنترل و سیستم، دانشکده مهندسی برق و کامپیوتر، دانشگاه صنعتی خواجه نصیرالدین طوسی

(تاریخ دریافت مقاله ۱۳۹۰/۷/۲۲، تاریخ پذیرش مقاله ۱۳۹۰/۲/۲۷)

چکیده: تا کنون به کارگیری رؤیت‌گر SDRE و تحلیل پایداری و عملکرد آن در محیط قطعی و بدون نویز مورد توجه محققان قرار گرفته، اما در عمل وجود نامعینی فرآیند و نویز اندازه‌گیری غیر قابل اجتناب است. در این مقاله با توجه به دست‌آوردهای حاصل برای پایداری فیلتر کالمون-باسی و نتایج مربوط به تحلیل پایداری اتفاقی در مسائل تخمین غیرخطی، به تحلیل رفتار خطای تخمین یک فیلتر SDRE تفاضلی زمان-گسسته پرداخته شده است. در تحلیل پایداری ارائه شده شرایط کافی به منظور کراندار باقی ماندن خطای تخمین این فیلتر با تعبیر میانگین مربعات ارائه شده است. همچنین نشان داده است که اگر خطای تخمین اولیه و اندازه ترم‌های نویز مزاحم هر دو به اندازه کافی کوچک باشند، این شرایط محقق می‌شوند. این یافته‌های تئوری از طریق شیوه‌سازی یک سیستم غیرخطی نمونه راست‌آزمایی شده‌اند.

کلمات کلیدی: رؤیت‌گر غیرخطی، رؤیت‌گر SDRE، پایداری اتفاقی سیستمهای غیرخطی، فیلتر تفاضلی زمان-گسسته، تحلیل پایداری، کرانداری با تعبیر میانگین مربعات.

Stability Analysis of Discrete-Time SDRE Filter in Stochastic Domain

Hossein Beikzadeh, Hamid D. Taghirad

Abstract: Stability of SDRE observers is usually analyzed in a deterministic framework, where the performance of the observer is not perturbed by external noises. However, plant uncertainty and measurement noises are not negligible in real implementations. In this paper based on the stability results developed for Kalman-Bucy filters and stochastic stability analysis of nonlinear systems, the stability of an SDRE filter is analyzed in discrete-time domain. Sufficient conditions are given to limit the estimation errors in sense of mean-squared measure. Furthermore, it is shown that in practical situations there exist feasible regions to satisfy the stability conditions, provided that the initial error and the norm of plant uncertainty and measurement noises are sufficiently small. Finally, the stability conditions are verified through simulation of a typical nonlinear system.

Keywords: Nonlinear observer, SDRE observer, stochastic stability of nonlinear systems, discrete-time nonlinear observer, stability analysis, bound of mean squared error.

۱- مقدمه

می‌رسد. این موضوع در این مقاله با گسترش فیلتر SDRE تفاضلی زمان-گسته و به کارگیری تئوری تحلیل پایداری فرآیندهای اتفاقی انجام شده است. در این مقاله با توجه به دست آوردهای حاصل برای پایداری فیلتر کالمن-باسی و نتایج مربوط به تحلیل پایداری اتفاقی در مسائل تخمین غیرخطی، به تحلیل رفتار خطای تخمین یک فیلتر SDRE تفاضلی زمان-گسته پرداخته شده است. در تحلیل پایداری ارائه شده شرایط کافی به منظور کراندار باقی ماندن خطای تخمین این فیلتر با تعبیر میانگین مربعات ارائه شده و همچنین نشان داده شده است اگر خطای تخمین اولیه و اندازه ترم‌های نویز مزاحم هر دو به اندازه کافی کوچک باشند، این شرایط محقق می‌شوند. در پایان نیز، این یافته‌های نظری از طریق شبیه‌سازی یک سیستم غیرخطی نمونه راست آزمایی شده‌اند.

۲- مقدمات ریاضی

پیش از بررسی خواص همگرایی فیلتر SDRE در یک محیط تصادفی، ابتدا به مرور مفاهیم و قضایای مورد نیاز از ریاضیات اتفاقی می‌پردازیم.

۱-۱ شرایط شبه لیاپانوف برای پایداری اتفاقی

شرایط لیاپانوف برای پایداری معادلات دیفرانسیل یا تفاضلی اتفاقی توسط افرادی همچون Wonham، Kushner، Zakai و غیره ارائه شده است (به [۱۱] و مقالاتی که در آن ارجاع داده شده رجوع شود). همچنین روش‌های مختلفی برای تعریف پایداری یا همگرایی فرآیندهای اتفاقی وجود دارد، که به منظور جلوگیری از سردرگمی میان این تعاریف متعدد، تعاریفی را در ادامه بیان می‌کنیم که در تحلیل پایداری اتفاقی سیستم مورد نظر استفاده خواهد شد. با الهام از معیار مرسوم حداقل میانگین مربعات در نظریه تخمین، پایداری فرآیندهای اتفاقی زمان-پیوسته و زمان-گسته به ترتیب به صورت زیر تعریف می‌شوند [۱۲].

تعریف ۱- مبدأ سیستم اتفاقی پیوسته $e(t)$ پایدار مجانی با تعبیر میانگین مربعات نامیده می‌شود، اگر ثابت‌های $0 < \theta < 0$ و $0 > \eta > 0$ وجود داشته باشند به گونه‌ای که

$$E\left\{ \|e(t)\|^2 \right\} \leq \nu + \eta \|e(0)\|^2 e^{-\theta t} \quad (1)$$

آنگاه فرایند $e(t)$ کراندار نمایی با تعبیر میانگین مربعات و نمای θ خوانده می‌شود.

تعریف ۲- مبدأ فرایند اتفاقی گسته e_k پایدار مجانی با تعبیر میانگین مربعات گفته می‌شود، اگر ثابت‌های $0 < \theta < 1$ و $0 > \eta > 0$ وجود داشته باشند به گونه‌ای که رابطه (۲) برقرار باشد. آنگاه فرایند e_k کراندار نمایی با تعبیر میانگین مربعات و نمای θ نامیده می‌شود.

در سال‌های اخیر، روش‌های طراحی بر پایه حل معادله ریکاتی وابسته به حالت (SDRE^۱) به صورت روزافروزی در دسته وسیعی از مسائل عملی به کار رفته‌اند [۲، ۱]. در حقیقت، روش SDRE را می‌توان به عنوان همتای غیرخطی روش طراحی شناخته شده LQR برای سیستم‌های خطی در نظر گرفت [۳]. به طور مشخص، این روش از نمایش مستقیم معادلات غیرخطی در یک ساختار شبه خطی با ماتریس‌های ضرایب وابسته به حالت بهره می‌برد [۴]. بدین ترتیب در حالت چند متغیره، نمایش SDC^۲ یکتا نبوده و این نمایش درجات آزادی اضافی را فراهم می‌سازد که می‌تواند برای حل مشکلاتی نظیر عملکرد نامناسب، تکینگی و یا از دست رفتن رؤیت پذیری در روش‌های سنتی فیلتر کردن همچون فیلتر کالمن توسعه یافته (EKF)، به کار رود [۵]. رؤیت گر^۳ SDDRE^۴ تفاضلی زمان-گسته نیز به صورت معجزا در مراجع [۸، ۷] مورد مطالعه قرار گرفته و دو دسته شرایط کافی متمایز برای پایداری مجانی آن بودست آمده است. البته این مجموعه شرایط به طور کامل وابسته به نتایج شبیه‌سازی بوده و در ضمن محدود به سیستم‌های بدون ورودی است. بعلاوه، تمامی نتایج تئوری مذکور منحصر به فرآیندهای قطعی غیرخطی است و در کلیه نتایج بدست آمده فرض شده است که مدل سیستم کاملاً معلوم است. اعمال رؤیت گرها مرسوم SDRE به سیستم‌های اتفاقی نیز که در کاربردهای عملی مورد توجه است، نیازمند داشتن اطلاعات دقیق از خصوصیات آماری سیگنال‌های نویز می‌باشد.اما در کاربردهای عملی اغلب اوقات اطلاعات آماری ناقصی از نامعینی مدل و سیگنال‌های نویز وجود دارد که به صورت بالقوه می‌تواند سبب ایجاد خطاهای تخمین بیش از اندازه شود.

پیشرفت‌های تئوری قابل توجه‌ای در رابطه با کنترل کننده SDRE و خصوصیات پایداری مجانی سیستم فیدبک با در اختیار داشتن تمام حالت-ها، حاصل شده است [۹، ۱۰]. با این وجود، تلاش‌های بسیار محدود و ناچیزی درباره مطالعه جنبه‌های تئوری رؤیت گر SDRE صورت گرفته و مسائلی همچون پایداری و همگرایی فیلتر در حضور نویز و قوام آن در مقابل نامعینی‌ها و ورودی‌های اغتشاش بدون تحلیل باقی مانده است. همچنین معمولاً به کارگیری رؤیت گر SDRE و تحلیل پایداری و عملکرد آن در یک محیط قطعی و بدون نویز طرف توجه محققان بوده است و غالباً پژوهش‌های نظری در رابطه با این فیلتر و انواع آن فقط در محیط-هایی که بتوان اثر نویز را نادیده گرفت، قابل استفاده است. وجود سیگنال-های نویز چه به صورت نامعینی فرآیند و چه به صورت نویز اندازه‌گیری، در عمل واقعیتی اجتناب ناپذیر است، بنابراین علاوه بر نتایج موجود مطالعه شکل عمومی غیرخطی رؤیت گر در یک چهارچوب اتفاقی ضروری به نظر

¹ State dependent Riccati equation

² Linear quadratic regulator

³ State dependent coefficient

⁴ State dependent discrete Riccati equation

اثبات- این لم از [۱۵] و [۱۱، قضیه ۲] نتیجه می‌شود.

توجه کنید که این لم حاوی شرایطی شبیه لیپانوف برای پایداری اتفاقی است. به لحاظ شهودی می‌توان گفت اگر شرط (۵) تحقق یابد، انرژی سیگنال e_k به طور دلخواه افزایش نخواهد یافت.

نکته ۳: با به کاربردن

$$\sum_{i=1}^{k-1} (1-\lambda)^i \leq \sum_{i=1}^{\infty} (1-\lambda)^i = \frac{1}{\lambda} \quad (7)$$

نامساوی (۶) به فرم زیر قابل بازنویسی است

$$E\left\|e_k\right\|^2 \leq \frac{\bar{v}}{v} E\left\|e_0\right\|^2 (1-\lambda)^k + \frac{\mu}{v\lambda} \quad (8)$$

۲-۲ طراحی رؤیت‌گر غیرخطی اتفاقی در حالت کلی

یک سیستم غیرخطی را که با معادله دیفرانسیل اتفاقی زیر توصیف می‌شود را در نظر بگیرید:

$$dx(t) = f(x(t))dt + \sigma_1(x(t))dw(t) \quad (9)$$

که معادله مشاهده آن عبارت است از:

$$dy(t) = h(x(t))dt + \sigma_2(x(t))dv(t) \quad (10)$$

و در آن $x(t)$ و $f(x(t))$ بردارهای n -بعدی، $y(t)$ و $h(x(t))$ بردارهای m -بعدی و $\sigma_1(x(t))$ و $\sigma_2(x(t))$ توابع ماتریسی با همچنین، $w(t)$ و $v(t)$ به ترتیب فرآیندهای حرکت براونی استاندارد ناهمبسته با ابعاد q و r بوده، و $\sigma_1(x(t))$ و $\sigma_2(x(t))$ توابع ماتریسی با ابعاد مناسب می‌باشند. هدف طراحی یک تخمین‌گر حالت برای سیستم (۹) با استفاده از خروجی $y(t)$ از (۱۰) است، به گونه‌ای که اختلاف بین خروجی رؤیت‌گر $z(t)$ و حالت سیستم $x(t)$ با تعبیر میانگین مربعات کراندار نمایی باشد. خروجی رؤیت‌گر می‌تواند به عنوان تخمین حالت سیستم به کار رود. در حالت کلی، چنین رؤیت‌گری را می‌توان توسط هر معادله دیفرانسیل اتفاقی به فرم زیر توصیف کرد.

$$dz(t) = g_1(z(t), y(t))dt + g_2(z(t), y(t))dy(t) \quad (11)$$

Tarn و Rasis در [۱۲]، با در نظر گرفتن حالت خاص زیر از رؤیت‌گر (۱۱) به فرم

$$dz(t) = f(z(t))dt + K[dy(t) - h(z(t))dt] \quad (12)$$

که در آن K یک ماتریس $n \times m$ است، با انتخاب تابع لیپانوف

$$V(e(t)) = (x(t) - z(t))^T Q(x(t) - z(t)),$$

$$E\left\|e_k\right\|^2 \leq v + \eta \|e_0\|^2 (1-\vartheta)^k \quad (2)$$

نکته ۱: تعريف ۱ یا ۲ لزوماً دلالت بر کاهش $E\left\|e(t)\right\|^2$ برای همه زمانها را ندارد، بلکه تنها بیان می‌دارد که کران به صورت نمایی کاهش پیدا می‌کند. در ضمن، زمانی که $t \rightarrow \infty$ ، میانگین مربعات فرآیند با مقدار $E\left\|e(\infty)\right\|^2 \leq \eta \|e_0\|^2 (1-\vartheta)^k$ محدود می‌گردد، که ثابت v به نویزی که عملکرد سیستم را مختل می‌سازد، بستگی دارد.

نکته ۲: اگر $v = 0$ باشد و یا به عبارتی اگر

$$E\left\|e(t)\right\|^2 \leq \eta \|e(0)\|^2 e^{-\alpha t} \quad (\text{or } E\left\|e_k\right\|^2 \leq \eta \|e_0\|^2 (1-\vartheta)^k)$$

آنگاه $e(t)$ (یا e_k) با تعبیر میانگین مربعات به سمت صفر میل می‌کند، که این حالت بیانگر همگرایی احتمالی نیز خواهد بود. در تکمیل مفهوم کراندار بودن احتمالی، اشاره به تعريف زیر نیز مفید به نظر می‌رسد.

تعییف ۳- فرآیند اتفاقی گسته e_k با احتمال واحد کراندار است، اگر شرط (۳) با احتمال واحد برقرار بماند.

$$\sup_{k \geq 0} \|e_k\| < \infty \quad (3)$$

همان‌گونه که مشخص است، تشخیص پایداری یا کراندار بودن یک فرآیند اتفاقی صرفا براساس تعاریف فوق، در حالت کلی کاری دشوار خواهد بود. به همین دلیل، در [۱۲] شرایطی شبیه لیپانوف برای بررسی پایداری اتفاقی با تعبیر میانگین مربعات ارائه شده که این تحلیل را میسر می‌سازد. لم زیر که نتیجه متعارفی درباره کراندار بودن فرآیندهای اتفاقی است، این شرایط را برای سیستم‌های اتفاقی زمان-گسته بیان می‌کند. این لم اساس تحلیل پایداری انجام شده در [۱۳، ۱۴] و نیز مبنای تحلیل خطای تخمین در این مقاله می‌باشد. نظیر این لم برای فرآیندهای اتفاقی زمان-پیوسته نیز وجود دارد.

لم ۱- فرض کنید e_k یک فرآیند اتفاقی باشد و تابع لیپانوف اتفاقی $V_k(e_k)$ و همین‌طور اعداد حقیقی $\bar{v}, \underline{v}, \mu, \lambda > 0$ وجود داشته باشند به نحوی که

$$\underline{v} \|e_k\|^2 \leq V_k(e_k) \leq \bar{v} \|e_k\|^2 \quad (4)$$

$$E\{V_{k+1}(e_{k+1}) | e_k\} - V_k(e_k) \leq \mu - \lambda V_k(e_k) \quad (5)$$

همواره برآورده شوند. آنگاه فرآیند اتفاقی e_k کراندار نمایی با تعبیر میانگین مربعات (تعییف ۲) بوده و برای هر $k \geq 0$ داریم:

$$E\left\|e_k\right\|^2 \leq \frac{\bar{v}}{\underline{v}} E\left\|e_0\right\|^2 (1-\lambda)^k + \frac{\mu}{\underline{v}} \sum_{i=1}^{k-1} (1-\lambda)^i \quad (6)$$

علاوه، این فرآیند اتفاقی با احتمال واحد کراندار نیز هست.

$$x_{k+1} = A(x_k)x_k + B(x_k)u_k + G_k w_k \quad (16)$$

$$y_k = C(x_k)x_k + D_k v_k \quad (17)$$

که در آن، $A(x_k)$ و $B(x_k)$ به ترتیب توابع ماتریسی گسته هستند. برای سیستم دینامیکی داده شده با (۱۶) و (۱۷)، تخمین گر حالت زیر را معرفی می کنیم

$$\hat{x}_{k+1} = A(\hat{x}_k)\hat{x}_k + B(\hat{x}_k)u_k + L_k [y_k - C(\hat{x}_k)\hat{x}_k] \quad (18)$$

که بهره رؤیت گر L_k یک فرآیند اتفاقی ماتریسی از مرتبه $n \times l$ و \hat{x}_k معرف بردار حالت تخمین زده شده است. اکنون می توان با در نظر گرفتن دو گان تکنیک کنترلی SDRE زمان-گسته و حذف فرض افق زمان نامحدود، فیلتر SDRE تفاضلی را فرمولبندی نمود. بنابراین تابع هزینه

$$J(\tilde{x}_k, \tilde{u}_k) = \frac{1}{2} \sum_{k=0}^N (\tilde{x}_k^T Q_k \tilde{x}_k + \tilde{u}_k^T R_k \tilde{u}_k) \quad (19)$$

منتظر با سیستم دو گان که با دینامیک حالت زیر توصیف می شود

$$\tilde{x}_{k+1} = A^T(\tilde{x}_k)\tilde{x}_k + C^T(\tilde{x}_k)\tilde{u}_k \quad (20)$$

را در نظر بگیرید. توجه شود که در (۱۹) N افق زمان محدود رؤیت گر بوده، و در (۲۰) $Q_k \in R^{n \times n}$ یک ماتریس مثبت معین متقارن متغیر با زمان و $R_k \in R^{l \times l}$ یک ماتریس مثبت معین متغیر با زمان می باشد. با الهام گیری از روش طراحی رؤیت گر برای سیستم های خطی و به منظور حداقل کردن تابع هزینه فوق، بهره رؤیت گر، L_k در معادله (۱۸)، را به صورت زیر انتخاب می کنیم

$$L_k = A(\hat{x}_k)P_k C^T(\hat{x}_k)[C(\hat{x}_k)P_k C^T(\hat{x}_k) + R_k]^{-1} \quad (21)$$

و P_k از طریق معادله ریکاتی تفاضلی وابسته به حالت زیر به روز می شود $P_{k+1} = A(\hat{x}_k)P_k A^T(\hat{x}_k) - A(\hat{x}_k)P_k C^T(\hat{x}_k)[C(\hat{x}_k)P_k C^T(\hat{x}_k) + R_k]^{-1} C(\hat{x}_k)P_k A^T(\hat{x}_k) + Q_k$

نکته ۴: مشابه حالت زمان-پیوسته، اگر (x_k) و $A_1(x_k)$ دو نمایش متمایز از $f(x_k)$ باشند، این دو می توانند ترکیب شده و یک نمایش جدید را ایجاد کنند.

$$A(x_k, \alpha) = \alpha A_1(x_k) + (1-\alpha)A_2(x_k) \quad (23)$$

این درجات آزادی اضافی، بیشمار نمایش را ممکن می سازد، که می تواند برای بهبود عملکرد فیلتر و دوری از رؤیت ناپذیری به کار رود [۴].

نکته ۵: مشابه فیلتر کالمن توسعه یافته (EKF)، دو فرمولبندی معمول به نام-های بهروزرسانی بازگشتی یک مرحله‌ای^۱ و بهروزرسانی بازگشتی دو

که در آن Q یک ماتریس متقابل مثبت معین است، شرایط کافی برای کراندار نمایی بودن خطای تخمین رؤیت گر $e(t) = x(t) - z(t)$ را استخراج نموده اند. البته این شرایط مابین ماتریس ثابت K و توابع f و h در نمایش (۹) و (۱۰) بدست آمده اند و روش سیستماتیکی برای انتخاب K ارائه نمی دهد. رؤیت گر SDDRE را می توان در قالب معادله (۱۱) به فرم زیر نمایش داد:

$$dz(t) = A(z(t))z(t)dt + K(t)[dy(t) - C(z(t))z(t)dt] \quad (13)$$

که در این حالت

$$g_1(z(t), y(t)) = A(z(t))z(t) - K(t)C(z(t))z(t)$$

و $g_2(z(t), y(t)) = K(t)$ می باشد. در این حالت بهره رؤیت گر که با معادلات زیر داده می شود [۱۱]

$$L(\hat{x}) = \Gamma(\hat{x})C^T(\hat{x})V^{-1},$$

$$\dot{\Gamma} = \Gamma(\hat{x})A^T(\hat{x}) + A(\hat{x})\Gamma(\hat{x}) - \Gamma(\hat{x})C^T(\hat{x})V^{-1}C^T(\hat{x})\Gamma(\hat{x}) + U$$

که برخلاف (۱۲) وابسته به زمان است و لذا بدست آوردن شرایطی که کراندار بودن خطای رؤیت گر را تضمین کند به سادگی آنچه در [۱۱] صورت گرفته است، نخواهد بود. در بخش آتی با گسترش شکل زمان-گسته رؤیت گر SDDRE فیلتر پیشنهادی را معرفی نموده و شرایط پایداری این رؤیت گر در یک محیط اتفاقی را تحلیل خواهیم نمود.

۳- پایداری اتفاقی فیلتر SDDRE زمان-گسته

۳-۱ فیلتر SDRE تفاضلی زمان-گسته

سیستم زمان-گسته غیرخطی اتفاقی زیر را که نسبت به سیگنال ورودی افاین است را در نظر بگیرید

$$x_{k+1} = f(x_k) + g(x_k)u_k + G_k w_k \quad (14)$$

$$y_k = h(x_k) + D_k v_k \quad (15)$$

که $x_k \in R^n$ حالت، $u_k \in R^m$ ورودی و $y_k \in R^l$ خروجی سیستم

می باشد. علاوه بر این، v_k و w_k که به ترتیب نویز اندازه گیری و فرآیند نامیده می شوند، نویزهای سفید R^q و R^p -بعدی ناهمبسته با میانگین صفر و کوواریانس واحد هستند. D_k و G_k ماتریس های متغیر با زمان از

مرتبه $l \times q$ و $n \times p$ می باشند. برای سادگی حالت اولیه ثابت x_0 با احتمال واحد را در نظر می گیریم. فرض کنید که توابع غیرخطی $f(x_k)$ و $h(x_k)$ متعلق به C^1 بوده و دینامیک غیرخطی (۱۴) و (۱۵) را بتوان در قالب نمایش SDC زیر قرار داد:

¹ One-step recursive update

$$s(x_k, \hat{x}_k) = [C(x_k) - C(\hat{x}_k)]x_k \quad (33)$$

هدف این مقاله تحلیل دینامیک خطای در (۲۹) است. پیش از اقدام به این کار، ابتدا یک بحث مقدماتی در خصوص کران‌های پاسخ معادله ریکاتی (۲۲) ارائه می‌شود.

۲-۳ کران‌های معادله ریکاتی وابسته به حالت

در این بخش نشان می‌دهیم رابطه نزدیکی میان کران‌دار بودن پاسخ معادله ریکاتی (۲۲) با خواص رفیت‌پذیری و آشکاری‌پذیری سیستم مورد مشاهده وجود دارد. ابتدا نکته زیر را مد نظر قرار دهید.

نکته ۷: در ادامه، ماتریس‌های وابسته به حالتی که در فرمول‌بندی فیلتر ظاهر می‌شوند را با ماتریس‌های وابسته به زمان زیر نمایش می‌دهیم

$$A_k \leftarrow A(\hat{x}_k) \quad B_k \leftarrow B(\hat{x}_k) \quad C_k \leftarrow C(\hat{x}_k) \quad (34)$$

توجه شود که این نمایش صرفا برای سهولت نشان‌گذاری صورت گرفته و این حقیقت که این ماتریس‌ها با استفاده از بردار حالت \hat{x}_k بدست می‌آیند، مدنظر باقی خواهد ماند.

تعریف ۴: ماتریس‌های متغیر با زمان A_k و C_k را در نظر می‌گیریم. گرامیان رویت‌پذیری با معادله زیر داده می‌شود [۱۶]:

$$M_{k+a,k} = \sum_{i=k}^{k+a} \Phi^{-T}(i,k) C_i^T C_i \Phi(i,k) \quad (35)$$

برای هر عدد صحیحی همچون $a > 0$ با فرض $I = \Phi(k, k)$ و برای

$$i > k$$

$$\Phi(i, k) = A_{i-1} \dots A_k \quad (36)$$

ماتریس‌های C_k و A_k ، $k \geq 0$ ، شرط رویت‌پذیری یکنواخت را برآورده می‌کنند در صورتی که اعداد حقیقی $\underline{m}, \bar{m} > 0$ و عدد صحیح $a > 0$

موجود باشند به گونه‌ای که نامساوی زیر تحقق یابد:

$$\underline{m}I \leq M_{k+a,k} \leq \bar{m}I \quad (37)$$

لم ۲- پاسخ P_k معادله ریکاتی (۲۲) کراندار است، بدین معنی که اعداد

حقیقی $0 < \underline{p}, \bar{p} < 0$ موجوداند به نحوی که

$$\underline{p}I \leq P_k \leq \bar{p}I \quad (38)$$

در صورتی که شرایط زیر برآورده شوند.

(۱) اعداد حقیقی $0 < \underline{q}, \bar{q}, \underline{r}, \bar{r} < 0$ وجود دارند به گونه‌ای که

$$\underline{q}I \leq Q_k \leq \bar{q}I \quad \text{و} \quad \underline{r}I \leq R_k \leq \bar{r}I$$

(۲) ماتریس‌های A_k و C_k شرط رویت‌پذیری یکنواخت را برآورده کنند.

(۳) ماتریس حالت اولیه P_0 مثبت معنی انتخاب شود.

مرحله‌ای^۱، برای فیلتر SDRE تفاضلی زمان-گسسته موجود است. ساختار بازگشتی یک مرحله‌ای آن چیزی است که در اینجا ارائه گردید و با معادلات (۲۱)، (۲۲) داده می‌شود. ساختار بازگشتی دو مرحله‌ای در یک محیط قطعی، در [۶] و نیز در [۸] مورد بحث قرار گرفته است. توجه کنید که اگرچه ممکن است این دو فرمول‌بندی عملکرد و رفتار گذرا متفاوتی داشته باشند، اما خصوصیات همگرایی آنها یکسان خواهد بود.

نکته ۶: یک انتخاب مرسوم برای Q_k و R_k ماتریس‌های کوواریانس نویزهای اندازه‌گیری و نامعینی سیستم در (۱۴) و (۱۵) می‌باشد، به عبارت دیگر

$$Q_k = G_k G_k^T \quad (24)$$

$$R_k = D_k D_k^T \quad (25)$$

البته این تنها انتخاب ممکن نیست و هر ماتریس مثبت معین دیگری به عنوان پارامتر طراحی نیز می‌تواند جایگزین شود. به ویژه در تخمین حالت سیستم‌های قطعی بدون نویز، در این مورد $D_k D_k^T = G_k G_k^T = 0$ می‌باشد. اگر خطای تخمین را به صورت زیر تعریف کنیم

$$e_k = x_k - \hat{x}_k \quad (26)$$

با کم کردن (۱۸) از (۱۶) دینامیک خطای حاصل می‌شود

$$e_{k+1} = A(x_k)x_k + B(x_k)u_k + G_k w_k - A(\hat{x}_k)\hat{x}_k - B(\hat{x}_k)u_k - L_k [C(x_k)x_k + D_k v_k - C(\hat{x}_k)\hat{x}_k] \quad (27)$$

با اضافه و کم کردن $A(\hat{x}_k)x_k$ به کل معادله و اضافه و کم کردن $C(\hat{x}_k)x_k$ به داخل کروشه خواهیم داشت

$$e_{k+1} = A(\hat{x}_k)x_k - A(\hat{x}_k)\hat{x}_k + A(x_k)x_k - A(\hat{x}_k)x_k + [B(x_k) - B(\hat{x}_k)]u_k + G_k w_k - L_k [C(\hat{x}_k)x_k - C(\hat{x}_k)\hat{x}_k + C(x_k)x_k - C(\hat{x}_k)x_k + D_k v_k] \quad (28)$$

به این ترتیب می‌توان دینامیک خطای را به صورت زیر بازنویسی نمود

$$e_{k+1} = [A(\hat{x}_k) - L_k C(\hat{x}_k)]e_k + \varphi_k + \chi_k \quad (29)$$

که φ_k و χ_k به ترتیب ترموهای آزاد از نویز و دارای نویز در (۲۸) را در بر می‌گیرند

$$\varphi_k = d(x_k, \hat{x}_k, u_k) - L_k s(x_k, \hat{x}_k) \quad (30)$$

$$\chi_k = G_k w_k - L_k D_k v_k \quad (31)$$

و توابع غیرخطی $d(x_k, \hat{x}_k, u_k)$ و $s(x_k, \hat{x}_k, u_k)$ با معادلات زیر تعیین می‌گردد

$$d(x_k, \hat{x}_k, u_k) = [A(x_k) - A(\hat{x}_k)]x_k + [B(x_k) - B(\hat{x}_k)]u_k \quad (32)$$

¹ Two-step recursive update

$$\|C(x_k) - C(\hat{x}_k)\| \leq k_C \|x_k - \hat{x}_k\|^2 \quad (45)$$

همچنین فرض کنید $\|x_k - \hat{x}\|_k \leq \varepsilon_A$ ، $\|x_k - \hat{x}_k\| \leq \varepsilon_C$ و $\|x_k - \hat{x}_k\| \leq \varepsilon_C$. اکنون با این پیش‌نیازها، قادر به بیان قضیه اصلی این مقاله می‌باشیم، که شرایط کافی برای پایداری اتفاقی خطای تخمین را نشان می‌دهد.

قضیه ۱- سیستم غیرخطی اتفاقی داده شده با (۱۶) و (۱۷) را به همراه فیلتر SDRE تفاضلی تعریف شده با (۱۸)-(۲۲) و ماتریس‌های مثبت معین Q_k و R_k در نظر بگیرید. فرض کنید شرایط ۱ تا ۴ برقرار باشند. آنگاه خطای تخمین داده شده با (۲۹) با تغییر میانگین مربعات کراندار نمایی و نیز با احتمال واحد کراندار است، مشروط برآنکه خطای تخمین اولیه شرط

$$\|e_0\| \leq \varepsilon \quad (46)$$

را برآورده سازد و ماتریس‌های کروواریانس ترم‌های نویز توسط

$$G_k G_k^T \leq \delta I \quad (47)$$

$$D_k D_k^T \leq \delta I \quad (48)$$

کراندار باشند، که در آن $0 < \delta < \bar{c}, \bar{a}$ اعداد حقیقی مثبت هستند.

تکته ۸: با توجه به لم ۲، در صورتیکه سیستم خاصیت رؤیت‌پذیری معینی را برآورده کند، آنگاه فرض ۲ تحقق یافته و می‌توان برقراری نامساوی (۴۱) را از پیش تصدیق کرد.

تکته ۹: می‌توان نامساوی‌های (۴۳) تا (۴۵) را به صورت شرایط لیپ‌شیتز محلی با توان دو تغییر نمود. تحقق این نامساوی‌ها در حالت کلی کار دشواری خواهد بود. البته، درجهات آزادی اضافی که بواسطه یکتا نبودن نمایش SDC فراهم می‌گردد، می‌تواند در برآورده کردن فرض ۴ مفید واقع شود.

اثبات قضیه ۱- تابع لیپانوف مرسوم زیر را انتخاب می‌کنیم

$$V_k(e_k) = e_k^T \Pi_k e_k \quad (49)$$

با فرض $P_k^{-1} = P_k$ ، به خاطر مثبت معین بودن P_k (فرض ۲) این ماتریس حتماً وجود دارد. از نامساوی (۴۱) داریم

$$\frac{1}{\bar{p}} \|e_k\|^2 \leq V_k(e_k) \leq \frac{1}{p} \|e_k\|^2 \quad (50)$$

به عبارت دیگر (۴) با $\bar{p}/\underline{p} = 1/\underline{p}$ و $\underline{y} = 1/\underline{p}$ برقرار است. برای اثبات کراندار بودن خطای تخمین با استفاده از لم ۱، نیازمند محاسبه یک حد بالا مشابه (۵) برای $E\{V_{k+1}(e_{k+1})|e_k\}$ هستیم. با توجه به (۲۹) داریم

اثبات- این لم مستقیماً از [۱۵] استنباط می‌شود و در [۱۳] نیز، در مورد پاسخ معادله ریکاتی EKF به کار رفته است. ■

توجه شود که اگر ماتریس‌های متغیر با زمان A_k و C_k نظیر آنچه در EKF صورت می‌گیرد از خطی سازی معادلات حول حالت تخمینی بدست آمده باشند، آنگاه شرط رؤیت‌پذیری یکنواخت را می‌توان برحسب شرط رتبه رؤیت‌پذیری غیرخطی بیان کرد. اما در این حالت که ماتریس‌های متغیر با زمان A_k و C_k از تبدیل معادلات به فرم SDC حاصل می‌شوند، برقراری این ارتباط به این سادگی نیست. بدین ترتیب مشاهده می‌شود که کراندار بودن P_k با خواص رویت‌پذیری سیستم ارتباط مستقیم پیدا می‌کند. این کرانداری یکی از فرضیات کلیدی است که در بخش بعد برای تحلیل پایداری مورد استفاده قرار گرفته است.

۳-۳- کراندار بودن خطای تخمین

در این بخش تحلیل پایداری فیلتر SDRE تفاضلی زمان-گسته ارائه خواهد شد. به منظور تحلیل خطای ابتدا فرضیات زیر را در نظر بگیرید.

فرض ۱- اعداد حقیقی مثبت $0 < \bar{c}, \bar{a} < \bar{p}$ وجود دارند به گونه‌ای که، برای هر $k \geq 0$ ماتریس‌های A_k و C_k از بالا کراندار باشند

$$\|A_k\| \leq \bar{a} \quad (39)$$

$$\|C_k\| \leq \bar{c} \quad (40)$$

و افزون بر آن، A_k برای هر $k \geq 0$ ناویژه باشد.

فرض ۲- برای هر پاسخ \hat{x}_k از معادله تفاضلی رؤیت‌گر (۱۸)، پاسخ P_k از معادله ریکاتی تفاضلی وابسته به حالت (۲۲) برای هر $k \geq 0$ و اعداد حقیقی مثبت $0 < \underline{p}, \bar{p}$ ، با

$$\underline{p}I \leq P_k \leq \bar{p}I \quad (41)$$

کراندار است.

فرض ۳- اعداد حقیقی $0 < \sigma, \rho < 0$ موجوداند به نحوی که برای هر $k \geq 0$

$$\|x_k\| \leq \sigma, \|u_k\| \leq \rho \quad (42)$$

فرض ۴- نمایش SDC به گونه‌ای انتخاب شود که برای همه $x_k, \hat{x}_k \in R^n$ و هر $k \geq 0$ نامساوی‌های زیر برآورده شوند:

$$\|A(x_k) - A(\hat{x}_k)\| \leq k_A \|x_k - \hat{x}_k\|^2 \quad (43)$$

$$\|B(x_k) - B(\hat{x}_k)\| \leq k_B \|x_k - \hat{x}_k\|^2 \quad (44)$$

$$\begin{aligned} L_k C_k P_k (A_k - L_k C_k)^T &= A_k \left[A_k^{-1} L_k C_k \right]. \\ \left[A_k^{-1} (A_k - L_k C_k) P_k \right]^T; \quad A_k^T \geq 0 \end{aligned} \quad (58)$$

برقرار است. جایگزینی (۵۸) در (۵۴) منجر می‌شود به

$$P_{k+1} \geq (A_k - L_k C_k) P_k (A_k - L_k C_k)^T + Q_k \quad (59)$$

نامساوی (۵۶) بیانگر آن است که $(A_k - L_k C_k)^{-1}$ وجود دارد و لذا می‌توان نوشت

$$\begin{aligned} P_{k+1} &\geq (A_k - L_k C_k) \cdot \\ &\quad \left[P_k + (A_k - L_k C_k)^{-1} Q_k (A_k - L_k C_k)^T \right] (A_k - L_k C_k)^T \end{aligned} \quad (60)$$

با استناد به مثبت معین بودن ماتریس‌های Q_k و R_k و $\underline{q} I \leq Q$ و $R_k \leq \underline{r} I$ و با توجه به (۱۸) و نامساوی‌های (۳۹) تا (۴۱) و همچنین

$$C_k P_k C_k^T \geq 0$$

$$\|L_k\| \leq \frac{\overline{apc}}{r} \quad (61)$$

به این ترتیب نامساوی زیر از (۶۰) بدست می‌آید

$$P_{k+1} \geq (A_k - L_k C_k) \left[P_k + \frac{q}{(\bar{a} + \overline{apc}^2 / r)^2} I \right] (A_k - L_k C_k)^T \quad (62)$$

با معکوس گرفتن از طرفین نامساوی فوق (از آنجا که $P_k \geq pI$ و $(A_k - L_k C_k)$ ناویژه هستند این عمل مجاز است)، سپس ضرب از چپ و راست به ترتیب در $(A_k - L_k C_k)^T$ و $(A_k - L_k C_k)$ و با به کاربردن نامساوی (۴۱) و قرار دادن نهایتاً خواهیم داشت

$$(A_k - L_k C_k)^T \Pi_{k+1} (A_k - L_k C_k) \leq \left(1 + \frac{q}{\bar{p}(\bar{a} + \overline{apc}^2 / r)^2} \right)^{-1} \Pi_k \quad (63)$$

به عبارت دیگر نامساوی (۴۹) با

$$1 - \lambda = \left[1 + \frac{q}{\bar{p}(\bar{a} + \overline{apc}^2 / r)^2} \right]^{-1} \quad (64)$$

■ محقق می‌شود.

لم ۴- اگر فرضیات قضیه ۱ برآورده شوند و L_k و φ_k به ترتیب با (۲۱) و (۳۰) داده شوند، آنگاه اعداد حقیقی $0 > \kappa'_{\varphi} > \varepsilon'$ وجود دارند به نحوی

$$\|e_k\| \leq \varepsilon'$$

$$\varphi_k^T \Pi_{k+1} [2(A_k - L_k C_k) e_k + \varphi_k] \leq \kappa'_{\varphi} \|e_k\|^3 \quad (65)$$

اثبات- از (۲۱)، (۳۹) تا (۴۱)، و $C_k P_k C_k^T > 0$ داریم

$$\|L_k\| \leq \frac{\overline{apc}}{r} \quad (66)$$

جایگزینی در (۳۰) نتیجه می‌دهد

$$\begin{aligned} V_{k+1}(e_{k+1}) &= \left[e_k^T (A_k - L_k C_k)^T + \varphi_k^T + \chi_k^T \right] \Pi_{k+1} \\ &\quad \left[(A_k - L_k C_k) e_k + \varphi_k + \chi_k \right] \\ &= e_k^T (A_k - L_k C_k)^T \Pi_{k+1} (A_k - L_k C_k) e_k + \\ &\quad \varphi_k^T \Pi_{k+1} [2(A_k - L_k C_k) e_k + \varphi_k] \\ &\quad + 2\chi_k^T \Pi_{k+1} [(A_k - L_k C_k) e_k + \varphi_k] + \chi_k^T \Pi_{k+1} \chi_k \end{aligned} \quad (51)$$

در بسط تساوی فوق از متقارن بودن ماتریس Π_{k+1} بهره برده‌ایم. با گرفتن امید ریاضی شرطی $\{V_{k+1}(e_{k+1})|e_k\}$ از طرفین (۵۱) و در نظر گرفتن

خاصیت نویز سفید، مشاهده می‌شود که ترم

$$E\{\chi_k^T \Pi_{k+1} [(A_k - L_k C_k) e_k + \varphi_k]\} e_k$$

صفراست. علت این امر آن است که $\Pi_{k+1} = P_{k+1}^{-1}$ و $e_k^T (A_k - L_k C_k) e_k + \varphi_k^T + \chi_k^T = 0$ هیچ‌کدام به v_k یا w_k مستگی ندارند. به این ترتیب برای دست-یابی به هدف خود، نیازمند محاسبه سه ترم باقی‌مانده است، $E\{\chi_k^T \Pi_{k+1} \chi_k\}$ و $\varphi_k^T \Pi_{k+1} [2(A_k - F_k C_k) e_k + \varphi_k]$ و $(A_k - L_k C_k)^T \Pi_{k+1} (A_k - L_k C_k)$ هستیم. این محاسبات در لمحه‌ای ۳ تا ۵ انجام شده‌اند.

لم ۳- تحت شرایط قضیه ۱، عدد حقیقی $\lambda < 1$ وجود دارد به گونه‌ای که $\Pi_k = P_k^{-1}$ برای $k \geq 0$ داده شده با معادله (۲۱)، نامساوی زیر را ارضاء کنند:

$$(A_k - L_k C_k)^T \Pi_{k+1} (A_k - L_k C_k) \leq (1 - \lambda) \Pi_k \quad (52)$$

اثبات- از (۲۱) و (۲۲) داریم

$$P_{k+1} = A_k P_k A_k^T + Q_k - A_k P_k C_k^T L_k^T \quad (53)$$

مرتب‌سازی دوباره جملات نتیجه می‌دهد

$$P_{k+1} = (A_k - L_k C_k) P_k (A_k - L_k C_k)^T + Q_k + L_k C_k P_k (A_k - L_k C_k)^T \quad (54)$$

اکنون توجه خود را به عبارت $L_k C_k P_k (A_k - L_k C_k)^T$ در سمت راست (۵۴) معطوف می‌کنیم. با در نظر گرفتن (۲۱) می‌توان نشان داد که

$$A_k^{-1} (A_k - L_k C_k) P_k = P_k - P_k C_k^T (C_k P_k C_k^T + R_k)^{-1} C_k P_k \quad (55)$$

یک ماتریس متقارن است، و با به کاربردن لم معکوس‌سازی ماتریس نتیجه می‌گیریم

$$A_k^{-1} (A_k - L_k C_k) P_k = (P_k^{-1} + C_k^T R_k^{-1} C_k)^{-1} > 0 \quad (56)$$

چرا که $P_k^{-1} > 0$ است. بعلاوه، با توجه به (۲۱) و دانستن این که $P_k > 0$ و $R_k > 0$ هستند داریم

$$A_k^{-1} L_k C_k = P_k C_k^T (C_k P_k C_k^T + R_k)^{-1} C_k \geq 0 \quad (57)$$

با ترکیب (۵۶) و (۵۷) و استفاده از $P_k = P_k^T$ ، ثابت می‌شود که

$$g_k = w_k^T G_k^T \Pi_{k+1} G_k w_k + v_k^T D_k^T L_k^T \Pi_{k+1} L_k D_k v_k \quad (76)$$

از (۲۱)، فرضیات قضیه و $C_k P_k C_k^T > 0$ داریم:

$$\|L_k\| \leq \overline{apc} \frac{1}{r} \quad (77)$$

در نتیجه با توجه به نامساوی فوق، رابطه (۴۲) و فرض $\Pi_k = P_k^{-1}$ می‌توان نوشت

$$g_k \leq \frac{1}{p} w_k^T G_k^T G_k w_k + \frac{\bar{a}^2 \bar{c}^2 \bar{p}^2}{p r^2} v_k^T D_k^T D_k v_k \quad (78)$$

از آنجا که هر دو طرف (۷۸) اسکالر هستند، می‌توان از سمت راست بدون تغییر مقدار آن گرفت:

$$g_k \leq \frac{1}{p} \text{tr}(w_k^T G_k^T G_k w_k) + \frac{\bar{a}^2 \bar{c}^2 \bar{p}^2}{p r^2} \text{tr}(v_k^T D_k^T D_k v_k) \quad (79)$$

به موجب معادله ماتریسی شناخته شده

$$\text{tr}(\Gamma \Delta) = \text{tr}(\Delta \Gamma) \quad (80)$$

که Γ و Δ چنان ماتریس‌هایی هستند که به ضرب ماتریسی و عملیات فوق معنی می‌دهند، داریم

$$g_k \leq \frac{1}{p} \text{tr}(G_k w_k w_k^T G_k^T) + \frac{\bar{a}^2 \bar{c}^2 \bar{p}^2}{p r^2} \text{tr}(D_k v_k v_k^T D_k^T) \quad (81)$$

و محاسبه مقدار میانگین منجر می‌شود به

$$\begin{aligned} E\{g_k\} &\leq \frac{1}{p} \text{tr}(G_k E\{w_k w_k^T\} G_k^T) + \\ &\quad \frac{\bar{a}^2 \bar{c}^2 \bar{p}^2}{p r^2} \text{tr}(D_k E\{v_k v_k^T\} D_k^T) \end{aligned} \quad (82)$$

در رابطه فوق از این واقعیت که G_k و D_k ماتریس‌هایی معین هستند استفاده شده است. چون w_k و v_k نویزهای سفید استاندارد فرض شده‌اند، داریم

$$\begin{aligned} E\{w_k w_k^T\} &= I \\ E\{v_k v_k^T\} &= I \end{aligned} \quad (83)$$

بنابراین می‌توان نوشت

$$E\{s_k^T \Pi_{k+1} s_k\} = E\{g_k\} \leq \frac{1}{p} \text{tr}(G_k G_k^T) + \frac{\bar{a}^2 \bar{c}^2 \bar{p}^2}{p r^2} \text{tr}(D_k D_k^T) \quad (84)$$

با توجه به شرایط (۴۷) و (۴۸) در قضیه ۱ نتیجه می‌شود

$$\begin{aligned} \text{tr}(G_k G_k^T) &\leq \delta \text{tr}(I_n) = n\delta \\ \text{tr}(D_k D_k^T) &\leq \delta \text{tr}(I_m) = l\delta \end{aligned} \quad (85)$$

$$\|\varphi_k\| \leq \|d(x_k, \hat{x}_k, u_k)\| + \overline{apc} \frac{1}{r} \|s(x_k, \hat{x}_k)\| \quad (67)$$

توابع غیرخطی $d(x_k, \hat{x}_k, u_k)$ و $s(x_k, \hat{x}_k)$ در (۳۲) و (۳۳) را در نظر بگیرید. اکنون با توجه به فرض ۴ و با استفاده از نامساوی‌های (۴۲) داریم

$$\begin{aligned} \|d(x_k, \hat{x}_k, u_k)\| &\leq \|A(x_k) - A(\hat{x}_k)\| x_k \| + \\ \|B(x_k) - B(\hat{x}_k)\| u_k \| &\leq (k_A \sigma + k_B \rho) \|x_k - \hat{x}_k\|^2 \end{aligned} \quad (68)$$

$$\|s(x_k, \hat{x}_k)\| = \|[C(x_k) - C(\hat{x}_k)] x_k\| \leq k_C \sigma \|x_k - \hat{x}_k\|^2 \quad (69)$$

با انتخاب $\epsilon' = \min(\epsilon_A, \epsilon_B, \epsilon_C)$ و به کمک (۶۸) و (۶۹)، می‌توان نامساوی (۶۷) را به صورت زیر بازنویسی نمود:

$$\|\varphi_k\| \leq (k_A \sigma + k_B \rho) \|e_k\|^2 + \overline{apc} \frac{1}{r} k_C \sigma \|e_k\|^2 \quad (70)$$

به ازای $\|e_k\| \leq \epsilon'$. به عبارت دیگر

$$\|\varphi_k\| \leq \kappa' \|e_k\|^2 \quad (71)$$

با

$$\kappa' = (k_A \sigma + k_B \rho) + \overline{apc} \frac{1}{r} k_C \sigma \quad (72)$$

دقت کنید که در (۷۰) از تعریف خطای تخمین (۲۶) استفاده شده است. به این ترتیب از (۷۰)، فرضیات ۱ و ۲، و همچنین مثبت معین بودن ماتریس R_k نتیجه می‌گیریم

$$\begin{aligned} \varphi_k^T \Pi_{k+1} [2(A_k - L_k C_k) e_k + \varphi_k] &\leq \\ \kappa' \|e_k\|^2 \frac{1}{p} \left[2 \left(\bar{a} + \overline{apc} \frac{1}{r} \bar{c} \right) \|e_k\| + \kappa' \epsilon' \|e_k\| \right] \end{aligned} \quad (73)$$

با $\Pi_k = P_k^{-1}$ و برای $\|e_k\| \leq \epsilon'$. به عبارت دیگر نامساوی (۶۵) با

$$\kappa_\varphi = \kappa' \frac{1}{p} \left[2 \left(\bar{a} + \overline{apc} \frac{1}{r} \bar{c} \right) + \kappa' \epsilon' \right] \quad (74)$$

برآورده می‌شود.

лем ۵ - اگر فرضیات قضیه ۱ برقرار باشند و L_k و χ_k به ترتیب با (۲۱) و (۳۱) داده شوند، آنگاه عدد حقیقی مثبت $\kappa_\chi > 0$ مستقل از δ وجود دارد به شکلی که

$$E\{\chi_k^T \Pi_{k+1} \chi_k\} \leq k_\chi \delta \quad (75)$$

از آنجا که v_k و w_k ناهمبسته هستند، امید ریاضی جمله‌هایی که v_k و w_k را با هم شامل می‌شوند صفر خواهد بود و لذا روی ترم‌های زیر از $\chi_k^T \Pi_{k+1} \chi_k$ متوجه می‌شویم

$$\bar{p} + 1/\left(1 + \underline{q}/\bar{p}(\bar{a} + \bar{a}\bar{p}\bar{c}^2/\underline{r})^2\right) < 1 \quad (92)$$

که \underline{l} و n به ترتیب تعداد سطرهای G_k و D_k می‌باشند. به این ترتیب با تعريف

اثبات قضیه ۱ را می‌توان برای این حالت تغییر داد.

$$\kappa_\chi = \frac{n}{\bar{p}} + \frac{\bar{a}^2 \bar{c}^2 \bar{p}^2 m}{\underline{p} r^2} \quad (86)$$

و با (۸۴) خواهیم داشت

$$E\{\chi_k^T \Pi_{k+1} \chi_k\} \leq k_\chi \delta \quad (87)$$

که همان نامساوی (۷۵) مطلوب است.

اکنون با توجه به نتایجی که در لم‌های فوق حاصل شد، می‌توان به ادامه اثبات قضیه ۱ پرداخت.

ادامه اثبات قضیه ۱ - معادله (۵۱) و کران‌های بدست آمده در لم‌های ۳ تا ۵ را در نظر بگیرید، به این ترتیب داریم

$$E\{V_{k+1}(e_{k+1})|e_k\} \leq (1-\lambda)V_k(e_k) + \kappa_\varphi \|e_k\|^3 + \kappa_\chi \delta \quad (88)$$

برای $\|e_k\| \leq \varepsilon'$ با تعريف

$$\varepsilon = \min(\varepsilon', \frac{\lambda}{2\bar{p}\kappa_\varphi}) \quad (89)$$

و با توجه به (۴۹) و (۵۰)، برای $\|e_k\| \leq \varepsilon$ خواهیم داشت

$$\kappa_\varphi \|e_k\| \|e_k\|^2 \leq \frac{\lambda}{2\bar{p}} \|e_k\|^2 \leq \frac{\lambda}{2} V_k(e_k) \quad (90)$$

جایگزینی (۹۰) در (۸۸) برای $\|e_k\| \leq \varepsilon$ نتیجه می‌دهد.

$$E\{V_{k+1}(e_{k+1})|e_k\} - V_k(e_k) \leq -\frac{\lambda}{2} V_k(e_k) + \kappa_\chi \delta \quad (91)$$

بنابراین، با داشتن (۵۰) و (۹۱) می‌توان لم ۱ را به ازای $\|e_0\| \leq \varepsilon$ ، $\underline{v} = 1/\bar{p}$ ، $\mu = \kappa_\chi \delta$ و $\bar{v} = 1/\underline{p}$ به کار برد، و استنتاج نمود که خطای تخمین e_k در معادله (۲۹) با تعییر میانگین مربعات کراندار نمایی بوده و با احتمال واحد کراندار است.

نکته ۱۰: قضیه ۱ شرایط کافی برای تضمین کراندار نمایی بودن خطای تخمین را فراهم می‌کند. بعلاوه، از آنجایی که کران‌ها با استفاده از عملگرهای نرم بدست می‌آیند، این شرایط محافظه کارانه نیز خواهند بود. البته، اثبات این قضیه یک روش سودمند برای تعیین کران خطای تخمین براساس نامساوی (۶) و با پارامترهای $\|e_0\| \leq \varepsilon$ ، $\underline{v} = 1/\bar{p}$ ، $\mu = \kappa_\chi \delta$ و $\bar{v} = 1/\underline{p}$ ارائه می‌دهد.

نکته ۱۱: می‌توان نشان داد که، نامساوی‌های (۴۳) تا (۴۵) در فرض ۴ می‌توانند به شرایط لیپشیتز استاندارد با توان واحد کاهش یابند، مادامی که خطای تخمین همچنان کراندار باقی می‌ماند، مشروط بر آنکه علاوه بر فرضیات قضیه ۱ داشته باشیم

در این بخش، برای نشان دادن اهمیت شرایطی که در بخش قبلی برای پایداری فیلتر بدست آمد، فیلتر SDRE تفاضلی را به یک سیستم نمونه اعمال کرده و به کمک شبیه‌سازی عددی به بررسی رفتار خطای تخمین می‌پردازیم. برای این منظور یک سیستم غیرخطی اتفاقی و بدون ورودی، $u_k \equiv 0$ ، که با (۱۴) و (۱۵) داده می‌شود را به ازای

$$f(x_k) = \begin{bmatrix} x_{1,k} + \tau x_{2,k} \\ (1-\tau)x_{2,k} + \tau(x_{1,k}^2 + x_{2,k}^2 + x_{3,k}^2 - x_{1,k}) \end{bmatrix} \quad (93)$$

$$h(x_k) = \begin{bmatrix} x_{1,k} + x_{2,k} \\ x_{1,k} x_{2,k} \end{bmatrix} \quad (94)$$

در نظر بگیرید. دقت شود که $\tau = 10^{-2}$ زمان نمونه‌برداری است. از میان انتخاب‌های ممکن متفاوت، $f(x_k)$ را به شکل زیر نمایش می‌دهیم

$$f(x_k) = A(x_k)x_k = \begin{bmatrix} 1 & \tau \\ -\tau & 1 + \tau(x_{1,k}^2 + x_{2,k}^2 - 1) \end{bmatrix} x_k \quad (95)$$

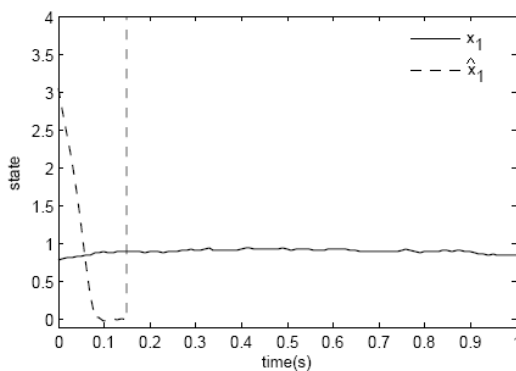
می‌توان نشان داد که، سیستم مورد نظر برای $\hat{x}_{1,k} = \hat{x}_{2,k}$ نسبت به الگوریتم EKF رؤیت‌ناپذیر بوده و در چنین وضعیتی هیچ کاری در قبال این مشکل نمی‌توان انجام داد. حال آنکه با به کاربردن فیلتر SDRE، دو نمایش متامباز برایتابع مشاهده غیرخطی ($h(x_k)$) خواهیم داشت:

$$C_1(x_k) = \begin{bmatrix} 1 & 1 \\ 0 & x_{1,k} \end{bmatrix} \quad C_2(x_k) = \begin{bmatrix} 1 & 1 \\ x_{2,k} & 0 \end{bmatrix} \quad (96)$$

که این دو نمایش می‌توانند ترکیب شده و ماتریس اندازه‌گیری وابسته به حالت زیر را شکل دهند

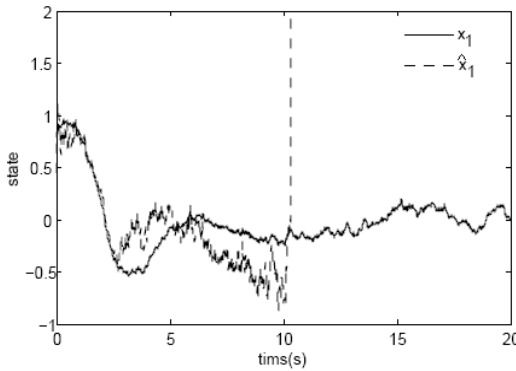
$$C(x_k, \alpha) = \begin{bmatrix} 1 & 1 \\ \alpha x_{2,k} & (1-\alpha)x_{1,k} \end{bmatrix} \quad (97)$$

در این نمایش جدید، می‌توان مقدار α را به گونه‌ای انتخاب نمود که از رؤیت‌ناپذیر ممانعت به عمل آید. در واقع، ماتریس‌های $A(x_k)$ و $C(x_k, \alpha)$ مفروض در (۹۴) و (۹۶) شرط رؤیت‌پذیری یکنواخت را تضمین کرده و لذا بنا به لم ۲، پاسخ معادله ریکاتی تفاضلی (۲۲) کراندار و مثبت معین خواهد بود. گذشته از این، به سادگی می‌توان نشان داد که فرض ۴ با این نمایش SDC تحقق می‌یابد.



شکل ۳: مقدار واقعی و تخمینی اولین مولفه بردار حالت به ازای خطای تخمین اولیه

$$D_k = I_2 \quad \text{و} \quad \hat{x}_0 = [3 \quad 3]^T$$



شکل ۴: مقدار واقعی و تخمینی اولین مولفه بردار حالت به ازای نویز اندازه‌گیری

$$\hat{x}_0 = [0.3 \quad 0.3]^T \quad \text{و} \quad D_k = \sqrt{200} I$$

به این ترتیب تمام شرایط قضیه ۱ برآورده شده و لذا انتظار خطای تخمین کراندار را خواهیم داشت همان‌گونه که اشکال ۱ و ۲ نیز تأیید می‌کنند، به ازای خطای تخمین اولیه و نویز کوچک (نامساوی‌های (۴۶) تا (۴۸)) خطای تخمین کراندار باقی ماند. اما به دلیل غیرخطی گری شدید موجود در سیستم نویز مفروض، در صورتی که هر کدام از خطای تخمین اولیه یا سیگنال نویز مزاحم بزرگ باشد، به عبارت دیگر نامساوی‌های (۴۶) تا (۴۸) نقض شوند، آنگاه خطای تخمین دیگر کراندار نخواهد بود و شکل-های ۳ و ۴ و اگرایی تخمین را در این حالت نشان می‌دهند.

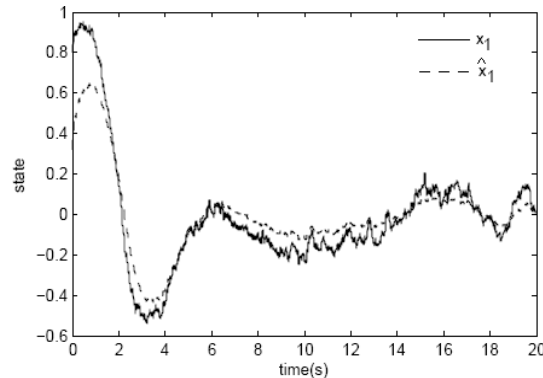
۵- نتیجه‌گیری

در این مقاله، یک فیلتر SDRE تفاضلی زمان-گسته برای حل مسائل تخمین حالت غیرخطی عمومی در یک محیط تصادفی در نظر گرفته شده و رفتار خطای آن تحلیل شده است. همچنین نشان داده شده است که خطای تخمین تحت قیود مشخصی با تعبیر میانگین مربیات کراندار نمایی و با احتمال واحد کراندار است. این شرایط عبارتند از آن که نمایش SDC یک شرط لیپ‌شیتیز معین را ارضاء کند، پاسخ معادله ریکاتی تفاضلی وابسته به حالت مثبت معین و کراندار باقی بماند، و علاوه بر آن خطای تخمین اولیه و همین طور سیگنال‌های نویز مخرب به اندازه کافی کوچک باشند. نتایج شبیه‌سازی نشان می‌دهند که اگر هر یک از خطای تخمین اولیه یا ترم‌های

برای انجام شبیه‌سازی‌های عددی، یک وضعیت با خطای تخمین کراندار و دو وضعیت با خطای تخمین واگرا در نظر گرفته شده است. در تمامی حالات، فیلتر SDRE تفاضلی با استفاده از پارامترهای طراحی داده شده در جدول ۱ و ماتریس‌های وابسته به حالت (۴۴) و (۴۶) پیاده شده است. علاوه بر این، حالت اولیه واقعی به صورت $x_0^T = [0.8 \quad 0.4]^T$ و $\hat{x}_0 = [0.8 \quad 0.4]^T$ کوواریانس نویز فرآیند $G_k = \sqrt{10^{-3}} I_2$ فرض شده است. ماتریس باقی-مانده D_k و نیز حالت اولیه تخمینی \hat{x}_0 ، برای هر یک از این سه وضعیت به طور مشخص انتخاب شده‌اند. نتایج شبیه‌سازی در شکل‌های ۱ تا ۴ به تصویر کشیده شده‌اند. برای خطای اولیه و نویز کوچک، کران‌های $\bar{p} = 1.0$ و $\bar{p} = 0.6806$ ، $\bar{a} = 1.0001$ ، $\bar{c} = 1.4$ از نتایج شبیه‌سازی بدست می‌آیند. این حدود برقراری نامساوی‌های (۴۲) تا (۴۹) را تصدیق می‌کنند.

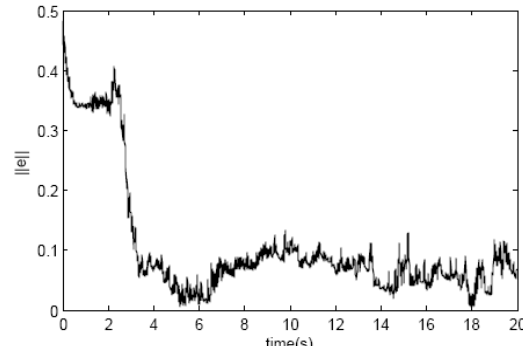
جدول ۱: پارامترهای طراحی فیلتر SDRE تفاضلی

Design Parameters	Q_k	R_k	P_0	α
Value	diag(0.05,0.1)	100I ₂	I ₂	0.8



شکل ۱: مقدار واقعی و تخمینی اولین مولفه بردار حالت به ازای خطای تخمین اولیه

$$D_k = I_2 \quad \text{و} \quad \hat{x}_0 = [0.3 \quad 0.3]^T$$



شکل ۲: نرم خطای تخمین به ازای خطای تخمین اولیه و نویز اندازه‌گیری کوچک

- [13] K. Reif, S. Gunther, E. Yaz and R. Unbehauen, “Stochastic stability of the discrete-time extended Kalman filter,” *IEEE Transactions on Automatic Control*, vol. 44, pp. 714-728, 1999.
- [14] J. Xu, G.M. Dimirovski, Y. Jinxi and C. Shen, “UKF design and stability for nonlinear stochastic systems with correlated noises,” In Proc. of the 46th IEEE Conference on Decision and Control, New Orleans, LA, 2007.
- [15] T. Morozan, “Stability of stochastic discrete systems,” *Journal of Mathematics Analysis and Application*, vol. 23, pp. 1-9, 1968
- [16] I. C. Baik, K. H. Kim and M. J. Youn, “Robust nonlinear speed control of PM synchronous motor using boundary layer integral sliding mode control technique,” *IEEE Transactions on Control System Technology*, vol. 8, no. 1, Jan. 2000.
- نویز بزرگ باشند، و اگرایی خطای تخمین محتمل خواهد بود. از آنجا که تاکنون تحلیل پایداری و همگرایی فیلتر SDRE فقط در محیط‌های قطعی (قاد نویز) با ساختاری خاص صورت گرفته است این چهار جوب ارائه شده می‌تواند تأثیر قابل توجهی در توسعه فیلترهای SDRE در کاربردهای واقعی بگذارد. نکته چشمگیر آن است که در مقایسه با نتایج موجود، هیچ شرط محدود کننده قابل توجهی بر روی معادلات غیرخطی سیستم و نمایش SDC آن تحمیل نشده است.

مراجع

- [1] H. T. Banks, Hae-Dae Kwon, J. A. Toivanen, and H. T. Tran, “A state-dependent Riccati equation-based estimator approach for HIV feedback control,” *Optimal Control Applications and Methods*, vol. 27, no. 2, pp. 93-121, Feb. 2006.
- [2] A. Nemra, and N. Aouf, “Robust INS/GPS Sensor Fusion for UAV Localization Using SDRE Nonlinear Filtering,” *IEEE Sensors Journal*, vol. 10, no. 4, pp. 789 - 798, 2010.
- [3] A. Gelb, *Applied Optimal Estimation*, MIT Press, Cambridge, 2001.
- [4] C. P. Mracek, J. R. Cloutier, and C. A. D’Souza, “A new technique for nonlinear estimation,” Proc. of the 1996 IEEE Int. Conf. on Control Applications, Dearborn, MI, pp. 338-343, 1996.
- [5] J. R. Cloutier, C. A. D’Souza, and C. P. Mracek, “Nonlinear regulation and H_∞ control via the state-dependent Riccati equation technique; part 1, theory; part 2, examples,” In Proc. of the 1st Int. Conf. on Nonlinear problems in Aviation and Aerospace, Daytona Beach, FL, 1996
- [6] حسین بیک زاده و حمید رضا تقی راد، طراحی رویت‌گر نمایی برای سیستم‌های غیرخطی بر اساس معادله ریکاتی وابسته به حالت SDRE، مجله کنترل، جلد ۴، شماره ۴، صفحات ۱۴-۲۳، زمستان ۱۳۹۰.
- [7] C. M. Ewing, “An analysis of the state-dependent Riccati equation nonlinear estimation technique,” In Proceedings of the AIAA Guidance, Navigation and Control Conference, Denver, CO, 2000.
- [8] C. Jaganath, A. Ridley, and D. S. Bernstein, “A SDRE-based asymptotic observer for nonlinear discrete-time systems,” Proc. of the 2005 American Control Conference, Portland, OR, pp. 3630-3635, 2005
- [9] H. T. Banks, B. M. Lewis, and H. T. Tran, “Nonlinear feedback controllers and compensators: a state-dependent Riccati equation approach”, *Computational Optimization and Applications*, vol. 37, no. 2, pp. 177-218, March 2007.
- [10] Tayfun Çimen, “Systematic and effective design of nonlinear feedback controllers via the state-dependent Riccati equation (SDRE) method,” *Annual Reviews in Control*, Vol. 34, Issue 1, pp. 32-51, April 2010.
- [11] E. Wong, *Stochastic processes in information and dynamical systems*, McGraw-Hill, New York, 1971.
- [12] T. J. Tarn and Y. Rasis, “Observers for nonlinear stochastic systems,” *IEEE Transactions on Automatic Control*, vol. AC-21, pp. 441-448, 1976

پایدارسازی و کنترل سیستم‌های خطی سوئیچ شونده با قانون کلیدزنی مقید به حالت-وروودی منطقی: دیدگاه مبتنی بر نامساوی‌های ماتریسی خطی

حامد ملااحمدیان کاسب^۱، علی کریم پور^۲، ناصر پریز^۳

^۱ دانشجوی دکتری مهندسی برق، گروه مهندسی برق، دانشگاه فردوسی مشهد، ha_mo779@stu-mail.um.ac.ir

^۲ استادیار، دانشکده مهندسی، گروه مهندسی برق، دانشگاه فردوسی مشهد، karimpour@um.ac.ir

^۳ دانشیار، دانشکده مهندسی، گروه مهندسی برق، دانشگاه فردوسی مشهد، n-pariz@um.ac.ir

(تاریخ دریافت مقاله ۱۳۹۰/۶/۳، تاریخ پذیرش مقاله ۱۳۹۰/۲/۱۰)

چکیده: کلاس خاصی از سیستم‌های سوئیچ شونده خطی دارای قانون کلیدزنی مقید به حالت-وروودی منطقی بوده و در مدل‌سازی دسته وسیعی از سیستم‌ها قابل استفاده هستند. در این مقاله روشی جهت تحلیل پایداری و طراحی کنترل کننده برای این کلاس از سیستم‌های هایبرید ارائه شده است. روش پیشنهادی مبتنی بر طراحی بر اساستابع لیاپانف مربعی می‌باشد. مساله تحلیل پایداری و طراحی در مورد این سیستم‌ها به حل یک مساله بهینه‌سازی محدب از نوع نامساوی‌های ماتریسی خطی منجر شده است. نتایج شبیه‌سازی بر روی مبدل dc-dc باک، کارآیی روش پیشنهادی را نشان می‌دهد.

کلمات کلیدی: سیستم خطی سوئیچ شونده، قانون کلیدزنی مقید، تابع لیاپانف مربعی، نامساوی ماتریسی خطی.

Stabilization and Control of Switched Linear Systems with State-Input Logic Constrained: LMI Approach

Hamed Molla-Ahmadian, Ali Karimpour, Naser Pariz

Abstract: The class of switched linear systems with state-input logic constrained can be used for modeling of many systems. This article presents a new stability analysis and controller design method for this class of hybrid systems. Proposed method is based on quadratic Lyapunov function. Computational approach for stability analysis and design is convex optimization (Linear Matrix Inequality type). Simulation results on dc-dc buck converter show the effectiveness of the proposed method.

Keywords: Switched Linear Systems, Constrained Switching Law, Quadratic Lyapunov Function, Linear Matrix Inequality.

کلاسی خاصی از سیستم‌های هایبرید، سیستم‌های سوئیچ شونده خطی با قانون کلیدزنی مقید می‌باشند. این قید می‌تواند به صورت، قید در حداقل زمان بین کلیدزنی‌ها (dwell time) [۲ و ۳]، نرخ کلیدزنی [۴]، کلیدزنی بر حسب متغیرهای حالت [۴] و ترتیب کلیدزنی [۵] باشد. کلاسی خاص مورد بررسی در این مقاله، سیستم‌های سوئیچ شونده خطی با قانون کلیدزنی مقید به حالت-وروودی منطقی می‌باشد. مبدل‌های الکترونیک

۱- مقدمه

سیستمهای هایبرید، دسته‌ای خاص از سیستم‌ها است که نسبت به زمان پیوسته یا گسسته بوده و دارای پیشامدهای گسسته می‌باشند و در مدل‌سازی دسته وسیعی از سیستم‌ها مورد استفاده قرار می‌گیرند [۱].

طراحی قانون کلیدزنی سیستم مورد بررسی به یک مساله بهینه‌سازی محدب و به فرم LMI.

در بخش ۲ کلاس مورد نظر این مقاله معرفی و مدل آن بیان می‌شود. در بخش ۳ موروری بر سیستم‌های PWA و تکنیک‌های پایدارسازی و کنترل آنها صورت گرفته است. در بخش ۴ روش پیشنهادی جهت پایدارسازی و کنترل معرفی می‌گردد. در بخش ۵ تحلیل پایداری روش پیشنهادی ارائه گردیده است. در بخش ۶ نتایج شبیه‌سازی ارائه شده و نهایتاً در بخش ۷ نتیجه‌گیری مقاله ارائه شده است.

۲- کلاس سیستم‌های خطی سوئیچ شونده با قانون کلیدزنی مقید به حالت-ورودی منطقی

در این بخش به بیان ریاضی این دسته از سیستم‌ها می‌پردازیم. سیستم‌های هایبرید در حالت کلی [۱۶] به صورت

$$\begin{aligned} \dot{x}(t) &= f(x(t), i(t), u(t)) \\ y(t) &= g(x(t), i(t), u(t)) \\ i(t^+) &= \varphi(x(t), i(t), u(t), S(t)) \end{aligned} \quad (1)$$

قابل بیان هستند. در این رابطه، $S(t)$ ، $u(t)$ و $i(t)$ به ترتیب متغیر خروجی، بردار ورودی منطقی، ورودی پیوسته، شماره زیر سیستم و حالات سیستم می‌باشند. در این رابطه $S = [s_1 \ s_2 \ \dots \ s_{M_s}]^T$ ، $s_i \in \{0,1\}$ ، $i = 1, 2, \dots, M_s$ و $y(t) \in R$ ، $i \in \{1, 2, \dots, M\}$ بوده و M_s و M نیز به ترتیب تعداد ورودی منطقی و زیر سیستم‌ها می‌باشند. به طور معمول دو نوع کلیدزنی دلخواه و مقید در مورد سیستم‌های هایبرید می‌تواند رخداد دهد. نوع خاصی از کلیدزنی مقید بر اساس متغیرهای حالت می‌باشد و دارای توصیف ریاضی

$$x \in \{x | H_j^T x - g_j < 0\} \Leftrightarrow \varphi(x) = j \quad (2)$$

می‌باشد که در این رابطه j شماره زیر سیستم فعال، n تعداد متغیرهای حالت، p_j تعداد موزهای توصیف کننده مش j -ام و $H_j \in R^{p_j \times n}$ ، $g_j \in R^{p_j \times 1}$ می‌باشد. منظور از مش در این مقاله ناجهای محدب از فضای حالت می‌باشد که با رابطه (۲) توصیف شده و منظور از کلیدزنی مقید به حالات سیستم، قیدی به فرم رابطه (۲) می‌باشد.

سیستم مورد بررسی در این مقاله به صورت

$$\begin{aligned} \dot{x}(t) &= A_i x(t) + b_i \\ y(t) &= C_i x(t) + d_i \\ i(t^+) &= \varphi(i(t), S(t), x(t)) \end{aligned} \quad (3)$$

می‌باشد که x متغیر حالت، y خروجی، i شماره زیر سیستم فعال ($1 \leq i \leq M$)، S بردار ورودی منطقی، n تعداد متغیر حالت، $A_i \in R^{n \times n}$ ، $C_i \in R^{1 \times n}$ و $b_i \in R^{n \times 1}$ و $d_i \in R$ می‌باشند. همچنین قانون کلیدزنی (φ) به صورت زیر مشخص می‌گردد:

قدرت پایه چون باک و بوست در وضعیت کاری ناپیوسته و مبدل روزنامی سری نمونه ای از این سیستم‌ها می‌باشد. مساله تحلیل پایداری و طراحی کنترل کننده برای کلاس مورد نظر با اهمیت بوده و کار تحقیقاتی که به این مساله پرداخته باشد، توسط نویسنده‌گان رویت نشده است.

دو کلاس معروف از سیستم‌های هایبرید، سیستم تکه‌ای افاین (PWA) [۱، ۴ و ۶] و سیستم سوئیچ شونده خطی (SLS) بدون قید در قانون کلیدزنی [۷] می‌باشد. در ادامه هر جا از واژه SLS استفاده شده است، منظور سیستم سوئیچ شونده خطی بدون قید در قانون کلیدزنی می‌باشد. سیستم PWA دارای زیر سیستم‌های افاین و قانون کلیدزنی مقید به متغیرهای حالت می‌باشد. SLS دارای زیر سیستم‌های خطی بوده و بر اساس یک ورودی منطقی زیر سیستم فعال انتخاب می‌گردد. سیستم مورد بررسی در این مقاله دارای قانون کلیدزنی می‌باشد که ترکیبی از قانون کلیدزنی سیستم PWA و SLS می‌باشد.

تحلیل پایداری سیستم‌های PWA به طور معمول به وسیله توابع لیاپانف چندگانه (MLF) صورت می‌گیرد. روش مورد استفاده بدین صورت است که به هر زیر سیستم یا ناحیه از فضای حالت یک تابع شبه لیاپانف نسبت داده می‌شود. مشکل اصلی در به کارگیری MLF یافتن تابع شبه لیاپانف مناسب می‌باشد. تابع لیاپانف مربعی یک کاندیدای مناسب است، که در [۶ و ۸] شرایط پایداری آن بر حسب نامساوی ماتریسی خطی (LMI) بیان شده است. پایداری تکه‌ای مربعی این سیستم‌ها در [۴] بررسی شده است. پایدارسازی SLS از دیگر مسائل با اهمیت است که روش‌های مختلفی برای آن ارائه گردیده است [۹]. پایدارسازی مربعی به کمک روش تصویر کمینه در [۱۰] ارائه شده است. این روش بر روی سیستم‌های غیرخطی نیز قابل استفاده است.

با توجه به قابلیت مدلسازی در فرم دینامیک-منطق ترکیبی (MLD) [۱۱]، امکان تبدیل فرم کلاس مورد بررسی به این فرم جهت تحلیل و طراحی میسر می‌باشد، ولی کار تحقیقاتی قابل ملاحظه‌ای در این زمینه رویت نشده است. کنترل کننده پیش‌بین مبتنی بر مدل (MPC) یا جهت کنترل سیستم‌های MLD است [۱۲]. این کنترل کننده دارای پیچیدگی محاسباتی بالایی بوده و پایدارسازی آن مشکل می‌باشد. در [۱۳] یک راه حل محاسباتی مبتنی بر جدول داده‌ها جهت پایدارسازی زمان-واقعی این روش کنترلی ارائه شده است. مبدل‌های باک و بوست در وضعیت هدایت ناپیوسته در [۱۴ و ۱۵] به وسیله MLD مدل و کنترل شده‌اند. تبدیل معادلات مبدل‌ها به فرم MLD دارای پیچیدگی محاسباتی بالا بوده و کنترل آن نیز پیچیده می‌باشد. روش معرفی شده در این مقاله بدون تبدیل فرم سیستم، به کمک تابع لیاپانف مربعی، مساله پایداری و طراحی کنترل کننده را حل می‌نماید.

نوآوری‌های اصلی این مقاله عبارتند از: ۱- ارائه قضیه‌هایی جهت تحلیل پایداری و طراحی قانون کلیدزنی پایدار برای سیستم خطی سوئیچ شونده مقید به حالت-ورودی منطقی، ۲- تبدیل مساله تحلیل پایداری و

جهت تحلیل پایداری ازتابع لیاپانوفی به فرم

$$\begin{aligned} V(x) &= \sum_{i=1}^M \beta_i(x) V_i(x), V(x) > 0 \\ V_i(x) &= x^T P_i x + 2q_i^T x + r_i \end{aligned} \quad (9)$$

که P_i متقارن و مثبت معین بوده و $\beta_i(x) = \begin{cases} 1, & x \in R_i \\ 0, & \text{otherwise} \end{cases}, i = 1, 2, \dots, M$ استفاده می‌گردد. در معادله (۹) می‌توان V_i را به صورت زیر بازنویسی کرد.

$$V_i(x) = \begin{bmatrix} x \\ 1 \end{bmatrix}^T \begin{bmatrix} P_i & q_i \\ q_i^T & r_i \end{bmatrix} \begin{bmatrix} x \\ 1 \end{bmatrix} \quad (10)$$

مشتق زمانی $V_i(x)$ به صورت زیر بیان می‌شود.

$$\frac{d}{dt} V_i(x) = \begin{bmatrix} x \\ 1 \end{bmatrix}^T \begin{bmatrix} \bar{A}_i^T P_i + P_i \bar{A}_i & P_i \bar{b}_i + \bar{A}_i^T q_i \\ \bar{b}_i^T P_i + q_i^T \bar{A}_i & 2\bar{b}_i^T q_i \end{bmatrix} \begin{bmatrix} x \\ 1 \end{bmatrix} \quad (11)$$

تابع لیاپانف (۹) دارای نرخ همگرایی α_i در هر مش بوده و برای ثابت ε, δ داریم:

$$x \in R_i \Rightarrow \begin{cases} V_i(x) > \varepsilon \|x - x_{cl}^i\|_2 \\ \frac{d}{dt} V_i(x) < -\alpha_i V_i(x) \end{cases} \quad (12)$$

شرط‌های رابطه (۱۲) خیلی محافظه کارانه بوده و منجر به شرط مثبت بودن تابع لیاپانف و منفی بودن مشتق آن در کل فضای برای هر اندیس i می‌شود. به منظور کاهش محافظه کاری در ادامه شرایط راحت‌تر بیان شده‌اند. به کمک (۸)، (۱۰) و [۱۸] S-procedure، شرط مثبت بودن تابع لیاپانف با نرخ همگرایی α_i در مش R_i وجود ماتریس‌های P_i, q_i, r_i و ماتریس‌های Z_i و Λ_i با درایه‌های تماماً مثبت است به نحوی که [۱۷]:

$$\begin{bmatrix} P_i - \varepsilon I_n - \bar{H}_i^T Z_i \bar{H}_i & q_i + \varepsilon x_{cl}^i + \bar{H}_i^T Z_i \bar{g}_i \\ q_i^T + \varepsilon x_{cl}^{i T} + \bar{g}_i^T Z_i \bar{H}_i & r_i - \varepsilon x_{cl}^{i T} x_{cl}^i - \bar{g}_i^T Z_i \bar{g}_i \end{bmatrix} > 0 \quad (13)$$

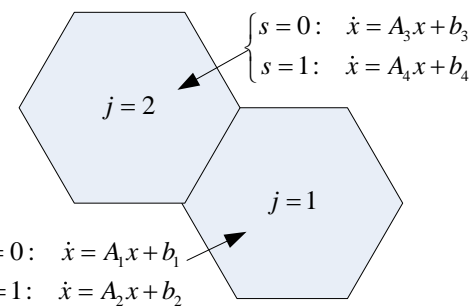
شرط منفی بودن مشتق تابع لیاپانف نیز به صورت زیر حاصل می‌شود:

$$\begin{bmatrix} \bar{A}_i^T P_i + P_i \bar{A}_i + & \left\{ \begin{array}{l} P_i \bar{b}_i + \bar{A}_i^T q_i \\ \bar{H}_i^T \Lambda_i \bar{H}_i + \alpha_i P_i \end{array} \right\} \\ \left\{ \begin{array}{l} \bar{H}_i^T \Lambda_i \bar{H}_i + \alpha_i P_i \\ \bar{b}_i^T P_i + q_i^T \bar{A}_i \end{array} \right\} & \left\{ \begin{array}{l} \bar{P}_i \bar{b}_i + \bar{A}_i^T q_i \\ \bar{H}_i^T \Lambda_i \bar{g}_i + \alpha_i q_i \end{array} \right\} \\ \left\{ \begin{array}{l} \bar{b}_i^T P_i + q_i^T \bar{A}_i \\ \bar{g}_i^T \Lambda_i \bar{H}_i + \alpha_i q_i \end{array} \right\} & \left\{ \begin{array}{l} 2\bar{b}_i^T q_i + \bar{g}_i^T \Lambda_i \bar{g}_i \\ \alpha_i r_i \end{array} \right\} \end{bmatrix} < 0 \quad (14)$$

که در این روابط I_n ، $\bar{H}_i = \begin{bmatrix} 0 & h_{i1} & h_{i2} & \dots & h_{ip_i} \end{bmatrix}^T$ ماتریس همانی و $\bar{g}_i = \begin{bmatrix} 1 & g_{i1} & g_{i2} & \dots & g_{ip_i} \end{bmatrix}^T$ است. در [۱۷] قضیه مربوط به طراحی کنترل کننده به حل یک سری نامساوی ماتریسی دو جمله‌ای (BMI) منجر شده است.

$$\varphi(i(t), S(t), x(t)) = i : H_j^T x - g_j < 0 \quad \& \quad S = [s_1 \ s_2 \ \dots \ s_{M_s}]^T \quad (4)$$

در این رابطه M_s تعداد ورودی‌های منطقی ($1 \leq k \leq M_s$)، δ مقدار ورودی منطقی k -ام، p_j تعداد مرزهای توصیف کننده مش j -ام، $H_j \in R^{n \times p_j}$ تعداد مش‌ها، M_{mesh} و $g_j \in R^{p_j \times 1}$ است. زیر سیستم فعال بر حسب تابع ناچیه قرار گیری متغیرهای حالت و مقادیر ورودی‌های منطقی، مشخص می‌گردد. در اینجا ورودی کنترل شونده همان ورودی منطقی می‌باشد. تعداد کل زیر سیستم‌ها نیز توسط رابطه (۵) مشخص می‌گردد:



شکل ۱: توصیف گرافیکی سیستم‌های مورد بررسی (در حالت خاص):

$$\begin{aligned} M_{mesh} &= 2 \quad \& \quad M_s = 1 \\ M &= 2^{M_s} \quad M_{mesh} \end{aligned} \quad (5)$$

۳- پایداری تکه‌ای مربعی سیستم‌های PWA

در این بخش متغیرهای معمول مورد استفاده در تعریف سیستم PWA و پیش‌نیازهای تئوری مورد نیاز ارائه شده است. یک سیستم PWA به صورت زیر توصیف می‌گردد [۴]:

$$\dot{x} = A_i x + B_i u, x \in R_i, i = 1, 2, \dots, M \quad (6)$$

که M تعداد مش‌ها بوده و مش i -ام با R_i توصیف می‌گردد. مش‌های R_i ، زیرمجموعه $\chi \subseteq R^n$ بوده و آن را افزایش می‌کنند. در اینجا مساله پایداری کلاس کنترل کننده‌هایی به فرم $u = K_i x + m_i$ در مش R_i مورد بررسی قرار می‌گیرد. در این شرایط سیستم حلقه بسته به صورت زیر به دست می‌آید:

$$\dot{x} = (A_i + B_i K_i)x + B_i m_i + b_i \quad \square \quad \bar{A}_i x + \bar{b}_i \quad (7)$$

مش‌ها به صورت چندوجهی‌های محدب در نظر گرفته می‌شوند لذا می‌توان گفت که هر مش R_i از تقاطع p_i ابرصفحه در فضای R^n تشکیل می‌شود و می‌توان آن را به صورت زیر نشان داد:

$$\begin{aligned} R_i &= \{H_i^T x - g_i < 0\} \\ H_i &= [h_{i1} \ h_{i2} \ \dots \ h_{ip_i}] \\ g_i &= [g_{i1} \ g_{i2} \ \dots \ g_{ip_i}]^T \end{aligned} \quad (8)$$

ابتدا یک سیستم ساده با دو زیرسیستم و بدون قید در قانون کلیدزنی در نظر گرفته و در ادامه به حالت کلی تر تعیین می‌دهیم.

۱-۵ پایداری سیستم خطی سوئیچ شونده بدون قید در قانون کلیدزنی

سیستم سوئیچ شونده خطی افاین به صورت

$$\dot{x} = A_i x + b_i, \quad i = 1, 2, \quad x \in R^n, \quad A_i \in R^{n \times n}, \quad b_i \in R^n \quad (18)$$

در نظر گرفته می‌شود، که i شماره زیر سیستم فعال بوده و آزادانه انتخاب می‌گردد. در این صورت کنترل کننده عبارت از تعیین مرز کلیدزنی به صورت

$$i = step(Kx + m) + 1 \quad (19)$$

می‌باشد. سیستم (18) به همراه کنترل کننده (19) تبدیل به یک سیستم PWA به فرم زیر می‌گردد:

$$\begin{aligned} \dot{x} &= A_i x + b_i, \quad i = 1, 2 \\ i = 1 &\Leftrightarrow Kx + m < 0 \\ i = 2 &\Leftrightarrow Kx + m > 0 \end{aligned} \quad (20)$$

سیستم حاصل دارای دو مش می‌باشد. این مساله به طور غیر مستقیم به کمک قضیه مرجع [۱۷] و حل یک دسته معادلات BMI قابل تحلیل است. مزیت روش پیشنهادی این مقاله، محاسبه بودن مساله بهینه‌سازی و طراحی مستقیم کنترل کننده توسط تعیین K و m می‌باشد.

قضیه ۱: سیستم (18) تحت کنترل کننده (19) پایدار مجانبی سرتاسری است اگر روابط LMI زیر دارای جواب باشند.

$$\begin{bmatrix} P & q & \bar{H}_i^T & \bar{H}_i^T \\ q^T & r & -\bar{g}_i^T & -\bar{g}_i^T \\ \bar{H}_i & -\bar{g}_i & Y_i & 0 \\ \bar{H}_i & -\bar{g}_i & 0 & Y_i \end{bmatrix} > 0, \quad Y_i > 0 \quad (21)$$

$$\begin{bmatrix} \left\{ -A_i^T P - \right\} & \left\{ -Pb_i - \right\} & \bar{H}_i^T & \bar{H}_i^T \\ \left\{ PA_i - \alpha_i P \right\} & \left\{ A_i^T q - \alpha_i q \right\} & & \\ \left\{ -b_i^T P - \right\} & \left\{ -2b_i^T q - \right\} & -\bar{g}_i^T & -\bar{g}_i^T \\ \left\{ q^T A_i - \alpha_i q^T \right\} & \left\{ \alpha_i r \right\} & & \\ \bar{H}_i & -\bar{g}_i & W_i & 0 \\ \bar{H}_i & -\bar{g}_i & 0 & W_i \\ W_i & & & \end{bmatrix} > 0, \quad (22)$$

در روابط فوق $i = 1, 2$ ، $\alpha_i > 0$ اسکالر ثابت دلخواه، $P \in R^{n \times n}$ ، $q \in R^n$ ، $r \in R$ متغیرهای بهینه‌سازی،

$Y_i = Y_i^T \in R^{2 \times 2}$ ، $0 < W_i = W_i^T \in R^{2 \times 2}$ متغیرهای بهینه سازی با عناصر ماتریس معکوس تماماً مثبت و $\bar{H}_i \in R^{2 \times n}$ ، $\bar{g}_i \in R^2$

۴- روش پیشنهادی جهت کنترل کلاس معرفی

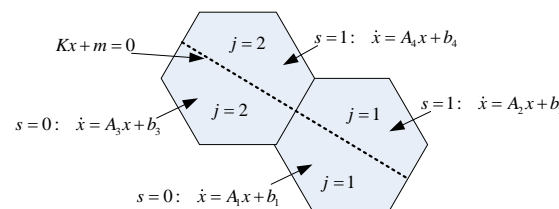
شده

ایده اساسی ارائه روشی جهت تبدیل سیستم خطی سوئیچ شونده با قانون کلیدزنی مقید به حالت-ورودی منطقی به سیستم PWA می‌باشد. این روش با مشبندی فضای حالت و تخصیص هر مقدار مجاز ورودی منطقی به یک ناحیه صورت می‌گیرد. به منظور توضیح ایده مطرح شده، حالت خاصی که سیستم تنها دارای یک ورودی منطقی است در نظر گرفته می‌شود.

$$\dot{x} = A_i x + b_i, \quad i = \varphi(x, s), \quad s = 0, 1 \quad (15)$$

هدف طراحی متغیر منطقی در هر ناحیه از فضای حالت می‌باشد، یعنی:

$$s = V(x), \quad x \in R^n \quad (16)$$



شکل ۲: سیستم مورد بررسی بعد از اعمال روش پیشنهادی (در حالت خاص):

$$(M_{mesh} = 2 \text{ و } M_s = 1)$$

در واقع تعیین تابع $V(x)$ به معنای مشخص کردن مرز کلیدزنی در صفحه حالت می‌باشد. با در نظر گرفتن مرزی به فرم یک ابرصفحه، متغیر منطقی به صورت زیر تعیین می‌شود:

$$s = step(Kx + m) \quad (17)$$

شکل ۲ ایده اساسی تبدیل یک سیستم سوئیچ شونده با قانون کلیدزنی مقید به حالت-ورودی منطقی به PWA را برای یک ورودی منطقی نشان می‌دهد. در این شکل یک سمت مرز کلیدزنی، ورودی منطقی $s = 1$ و سمت دیگر $s = 0$ فرض گردیده است. در این شرایط متغیر طراحی ماتریس‌های ضرایب مرز کلیدزنی (K, m) می‌باشد. در سیستم حاصل از روش پیشنهادی با تغییر مرز کلیدزنی، متغیرهای حالت کنترل از گردند. مزیت این روش تغییر حوزه طراحی از فضای متغیرهای منطقی به متغیرهای پیوسته می‌باشد. سیستم حاصل از روش پیشنهادی یک سیستم PWA غیر متدائل می‌باشد، زیرا متغیر طراحی به جای وارد شدن در دینامیک سیستم در مرز بین دینامیک‌ها ظاهر می‌شود. در ادامه روشنایی محاسباتی جهت تحلیل پایداری و طراحی کنترل کننده برای سیستم مورد نظر ارائه می‌گردد.

۵- پایداری روش پیشنهادی

$$\begin{bmatrix} P & q \\ q^T & r \end{bmatrix} - \begin{bmatrix} \bar{H}_i & -\bar{g}_i \\ \bar{H}_i & -\bar{g}_i \end{bmatrix}^T \begin{bmatrix} Z_i & 0 \\ 0 & Z_i \end{bmatrix} \begin{bmatrix} \bar{H}_i & -\bar{g}_i \\ \bar{H}_i & -\bar{g}_i \end{bmatrix} > 0 \quad (29)$$

$$-\begin{bmatrix} A_i^T P + PA_i + \alpha_i P & Pb_i + A_i^T q + \alpha_i q \\ b_i^T P + q^T A_i + \alpha_i q^T & 2b_i^T q + \alpha_i r \end{bmatrix} - \begin{bmatrix} \bar{H}_i & -\bar{g}_i \\ \bar{H}_i & -\bar{g}_i \end{bmatrix}^T \begin{bmatrix} \Lambda_i & 0 \\ 0 & \Lambda_i \end{bmatrix} \begin{bmatrix} \bar{H}_i & -\bar{g}_i \\ \bar{H}_i & -\bar{g}_i \end{bmatrix} > 0 \quad (30)$$

در ادامه فرض می‌شود که Z_i و Λ_i علاوه بر مثبت بودن عناصر آنها، معکوس پذیر بوده و Z_i^{-1} و Λ_i^{-1} مثبت معین می‌باشند. بنا به [۲۰] complement

$$\begin{bmatrix} P & q & \bar{H}_i^T & \bar{H}_i^T \\ q^T & r & -\bar{g}_i^T & -\bar{g}_i^T \\ \bar{H}_i & -\bar{g}_i & Z_i^{-1} & 0 \\ \bar{H}_i^T & -\bar{g}_i & 0 & Z_i^{-1} \end{bmatrix} > 0, Z_i^{-1} > 0 \quad (31)$$

$$\begin{bmatrix} \{-A_i^T P - \\ \{PA_i - \alpha_i P\}\} & \{-Pb_i - \\ \{A_i^T q - \alpha_i q\}\} & \bar{H}_i^T & \bar{H}_i^T \\ \{-b_i^T P - \\ \{q^T A_i - \alpha_i q^T\}\} & -2b_i^T q - \alpha_i r & -\bar{g}_i^T & -\bar{g}_i^T \\ \bar{H}_i & -\bar{g}_i & \Lambda_i^{-1} & 0 \\ \bar{H}_i & -\bar{g}_i & 0 & \Lambda_i^{-1} \\ \Lambda_i^{-1} > 0 \end{bmatrix} > 0, \quad (32)$$

و با تعریف $\Lambda_i = W_i^{-1}$ و $Z_i = Y_i^{-1}$ معادلات فوق به فرم زیر تبدیل می‌شوند:

$$\begin{bmatrix} P & q & \bar{H}_i^T & \bar{H}_i^T \\ q^T & r & -\bar{g}_i^T & -\bar{g}_i^T \\ \bar{H}_i & -\bar{g}_i & Y_i & 0 \\ \bar{H}_i & -\bar{g}_i & 0 & Y_i \end{bmatrix} > 0, Y_i > 0 \quad (33)$$

$$\begin{bmatrix} \{-A_i^T P - \\ \{PA_i - \alpha_i P\}\} & \{-Pb_i - \\ \{A_i^T q - \alpha_i q\}\} & \bar{H}_i^T & \bar{H}_i^T \\ \{-b_i^T P - \\ \{q^T A_i - \alpha_i q^T\}\} & -2b_i^T q - \alpha_i r & -\bar{g}_i^T & -\bar{g}_i^T \\ \bar{H}_i & -\bar{g}_i & W_i & 0 \\ \bar{H}_i & -\bar{g}_i & 0 & W_i \\ W_i > 0 \end{bmatrix} > 0, \quad (34)$$

در نتیجه پایداری ثابت می‌گردد. این پایداری مجانبی است زیرا $\alpha_i > 0$ است، همچنین سرتاسری می‌باشد زیرا تابع لیپانف برای R^n این ویژگی‌ها را برآورده می‌سازد.

متغیرهای بهینه‌سازی فرم‌دار صورت به می‌باشد.

اثبات: برای اثبات پایداری مجانبی، تابع لیپانف زیر برای همه نواحی تعریف می‌گردد:

$$V(x) = x^T Px + 2q^T x + r \quad (23)$$

که P یک ماتریس متقارن است. نظر به پیوستگی تابع لیپانف فوق، باید برقراری شرایط مثبت بودن تابع لیپانف و منفی بودن مشتق آن بررسی گردد. تابع لیپانف (۲۳) دارای نرخ همگرایی a_i در R_i می‌باشد اگر

$$x \in R_i \Rightarrow \frac{d}{dt} V(x) < -\alpha_i V(x) \quad (24)$$

بر طبق [۱] در صورتی $x \in R_i$ است که رابطه

$$\begin{bmatrix} x \\ 1 \end{bmatrix}^T \begin{bmatrix} \bar{H}_i^T Z_i \bar{H}_i & -\bar{H}_i^T Z_i \bar{g}_i \\ -(\bar{H}_i^T Z_i \bar{g}_i)^T & \bar{g}_i^T Z_i \bar{g}_i \end{bmatrix} \begin{bmatrix} x \\ 1 \end{bmatrix} > 0 \quad (25)$$

برقرار باشد که در این رابطه Z_i ماتریس متقارن با عناصر تمام‌اماً مثبت و $\bar{H}_i = \begin{bmatrix} 0^{1 \times n} \\ -K \end{bmatrix}, \bar{g}_i = \begin{bmatrix} 1 \\ m \end{bmatrix}, \bar{H}_2 = \begin{bmatrix} 0^{1 \times n} \\ K \end{bmatrix}, \bar{g}_2 = \begin{bmatrix} 1 \\ -m \end{bmatrix}$ می‌باشد. به کمک توصیف مش (۲۵) و [۲۰، ۱۸، ۱۹] S-procedure، شرط مثبت بودن تابع لیپانف و منفی بودن مشتق آن وجود ماتریس‌های $q > 0, P > 0$ و r است به نحوی که روابط زیر برقرار باشند [۱۷]:

$$\begin{bmatrix} P - \bar{H}_i^T Z_i \bar{H}_i & q + \bar{H}_i^T Z_i \bar{g}_i \\ q^T + \bar{g}_i^T Z_i \bar{H}_i & r - \bar{g}_i^T Z_i \bar{g}_i \end{bmatrix} > 0 \quad (26)$$

$$\begin{bmatrix} \{A_i^T P + PA_i + \\ \{\alpha_i P + \bar{H}_i^T \Lambda_i \bar{H}_i\}\} & \{Pb_i + A_i^T q + \\ \{\alpha_i q - \bar{H}_i^T \Lambda_i \bar{g}_i\}\} \\ \{b_i^T P + q^T A_i + \\ \{\alpha_i q^T - \bar{g}_i^T \Lambda_i \bar{H}_i\}\} & \{2b_i^T q + \alpha_i r + \\ \{\bar{g}_i^T \Lambda_i \bar{g}_i\}\} \end{bmatrix} < 0 \quad (27)$$

که در روابط فوق تمام عناصر ماتریس‌های Z_i و Λ_i و مثبت هستند. در ضمن در صورت برقراری روابط فوق علاوه بر تضمین پایداری می‌توان نشان داد که نرخ همگرایی در هر مش R_i برابر α_i است. نامساوی (۲۵) به صورت زیر قابل بازنویسی است:

$$\begin{bmatrix} x \\ 1 \end{bmatrix}^T \begin{bmatrix} \bar{H}_i & -\bar{g}_i \\ \bar{H}_i & -\bar{g}_i \end{bmatrix}^T \begin{bmatrix} Z_i & 0 \\ 0 & Z_i \end{bmatrix} \begin{bmatrix} \bar{H}_i & -\bar{g}_i \\ \bar{H}_i & -\bar{g}_i \end{bmatrix} \begin{bmatrix} x \\ 1 \end{bmatrix} > 0 \quad (28)$$

به کمک رابطه (۲۸)، روابط (۲۶) و (۲۷) به صورت زیر بازنویسی می‌شوند:

$$\begin{bmatrix} P & q & \bar{H}_i^T & \bar{H}_i^T \\ q^T & r & -\bar{g}_i^T & -\bar{g}_i^T \\ \bar{H}_i & -\bar{g}_i & Y_i & 0 \\ \bar{H}_i & -\bar{g}_i & 0 & Y_i \end{bmatrix} > 0, Y_i > 0 \quad (38)$$

$$\begin{bmatrix} \{-A_i^T P - \\ \{P A_i - \alpha_i P\}\} & \{-P b_i - \\ \{A_i^T q - \alpha_i q\} & \bar{H}_i^T & \bar{H}_i^T \\ \{-b_i^T P - \\ \{q^T A_i - \alpha_i q^T\} & -2b_i^T q - \alpha_i r & -\bar{g}_i^T & -\bar{g}_i^T \\ \bar{H}_i & -\bar{g}_i & W_i & 0 \\ \bar{H}_i & -\bar{g}_i & 0 & W_i \end{bmatrix} > 0, \\ W_i > 0 \quad (39)$$

که در این روابط $\alpha_i > 0$ اسکالر ثابت دلخواه،
متغیرهای $P \in R^{n \times n}, q \in R^n, r \in R$
بهینه‌سازی، $Y_i = Y_i^T, 0 < Y_i = W_i = W_i^T$ متغیرهای بهینه‌سازی با عنصر تمام‌
مثبت برای معکوس آنها، K, m ماتریس‌های کنترل کننده و
متغیرهای بهینه‌سازی فرم‌دار به صورت $\bar{H}_i \in R^{3 \times n}, \bar{g}_i \in R^3$

$$\left\{ \begin{array}{l} i = 2j-1 : \bar{H}_i = \begin{bmatrix} 0 \\ H_j^T \\ -K_j \end{bmatrix}, \bar{g}_i = \begin{bmatrix} 1 \\ g_j \\ m_j \end{bmatrix} \\ i = 2j : \bar{H}_i = \begin{bmatrix} 0 \\ H_j^T \\ K_j \end{bmatrix}, \bar{g}_i = \begin{bmatrix} 1 \\ g_j \\ -m_j \end{bmatrix} \end{array} \right.$$

می‌باشند.

اثبات: تنها کافی است در قضیه ۱ برای مقادیر فرد i

$$\begin{bmatrix} H_j^T \\ -K_j \end{bmatrix} \rightarrow H_j^T, \begin{bmatrix} g_j \\ m_j \end{bmatrix} \rightarrow g_j \quad \text{و برای مقادیر زوج } i$$

$\begin{bmatrix} H_j^T \\ K_j \end{bmatrix} \rightarrow H_j^T, \begin{bmatrix} g_j \\ -m_j \end{bmatrix} \rightarrow g_j$
صورت گیرد.

در ادامه قضیه قبلی برای حالتی که تعداد ورودی منطقی دلخواه است، تعیین می‌یابد. سیستم خطی سوئیچ شونده با قید کلیدزنی حالت-

ورودی منطقی با M_s ورودی منطقی به صورت

$$\dot{x} = A_i x + b_i, i = 1, 2, \dots, M \\ \varphi(\cdot) = i : H_j^T x - g_j < 0, j = 1, 2, \dots, M_{mesh}, \\ S \in \{S_1, S_2, \dots, S_{2^{M_s}}\} \quad (40)$$

قابل بیان است. کنترل کننده زیر در نظر گرفته می‌شود:

$$S = msign(K_j x) \quad (41)$$

که تابع $msign$ به صورت

نکته ۱: اگر قضیه به ازای a_i ‌های مختلف اجرا گردد به نحوی که
 $\bar{a} = \min_{i=1,2} a_i$ بیشینه گردد در این صورت سیستمی با نرخ همگرایی
بیشینه فراهم می‌گردد.

نکته ۲: مثبت بودن عناصر ماتریس‌های Y_i^{-1} و W_i^{-1} معادل با مثبت
بودن عناصر قطر اصلی و منفی بودن عناصر قطر فرعی ماتریس‌های Y_i
و W_i است. که شرط اخیر به سادگی در قالب روابط LMI قابل بیان است.

نکته ۳: در این مساله $P, q, r, Y_i, W_i, \bar{H}_1, \bar{H}_2, \bar{g}_1, \bar{g}_2$ پارامترهای
تنظیم و هدف محاسبه K و m می‌باشد.

نکته ۴: قضیه ۱ به منظور طراحی کنترل کننده برای سیستم‌های PWA نیز
قابل کاربرد است.

۲-۵ قضیه پایدارسازی و طراحی در حالت کلیدزنی مقید بین

Zیر سیستم M

سیستم خطی سوئیچ شونده با قید کلیدزنی حالت‌ورودی منطقی با
فرض یک ورودی منطقی به صورت

$$\begin{aligned} \dot{x} &= A_i x + b_i, i = 1, 2, \dots, M, j = 1, 2, \dots, M_{mesh} \\ \varphi(\cdot) &= i : H_j^T x - g_j < 0, s = 0, 1 \end{aligned} \quad (35)$$

قابل بیان است. این رابطه با فرض استفاده از کنترل کننده پیشنهادی به
صورت زیر تبدیل می‌شود:

$$\begin{aligned} \dot{x} &= A_i x + b_i, i = 1, 2, \dots, M, j = 1, 2, \dots, M_{mesh} \\ \varphi(\cdot) &= i : H_j^T x - g_j < 0, s = step(K_j x + m_j) \end{aligned} \quad (36)$$

یا به عبارت دیگر

$$\begin{cases} \dot{x} = A_i x + b_i, i = 1, 2, \dots, M, j = 1, 2, \dots, M_{mesh}, \\ s = 1 : \begin{bmatrix} H_j^T \\ -K_j \end{bmatrix} x - \begin{bmatrix} g_j \\ m_j \end{bmatrix} < 0 \\ s = 0 : \begin{bmatrix} H_j^T \\ K_j \end{bmatrix} x - \begin{bmatrix} g_j \\ -m_j \end{bmatrix} < 0 \end{cases} \quad (37)$$

قضیه ۱ برای شرایطی که قید بر روی قانون کلیدزنی وجود دارد و سیستم
دارای یک ورودی منطقی است به صورت زیر تعیین می‌یابد.

قضیه ۲: سیستم

$$\begin{aligned} \dot{x} &= A_i x + b_i, i = 1, 2, \dots, M, j = 1, 2, \dots, M_{mesh} \\ \varphi(\cdot) &= i : H_j^T x - g_j < 0, s = 0, 1 \end{aligned}$$

تحت کنترل کننده

$$s = step(K_j x + m_j)$$

پایدار مجانبی سرتاسری می‌باشد، اگر روابط LMI زیر دارای جواب
باشند.

$$\begin{bmatrix} P & q & \bar{H}_i^T & \bar{H}_i^T \\ q^T & r & -\bar{U}_i^T & -\bar{U}_i^T \\ \bar{H}_i & -\bar{U}_i & Y_i & 0 \\ \bar{H}_i & -\bar{U}_i & 0 & Y_i \end{bmatrix} > 0, Y_i > 0 \quad (46)$$

$$\begin{bmatrix} \left\{ -A_i^T P - \right\} & \left\{ -P b_i - \right\} & \bar{H}_i^T & \bar{H}_i^T \\ \left\{ P A_i - \alpha_i P \right\} & \left\{ A_i^T q - \alpha_i q \right\} & & \\ \left\{ -b_i^T P - \right\} & -2b_i^T q - \alpha_i r & -\bar{U}_i^T & -\bar{U}_i^T \\ \left\{ q^T A_i - \alpha_i q^T \right\} & & & \\ \bar{H}_i & -\bar{U}_i & W_i & 0 \\ \bar{H}_i & -\bar{U}_i^T & 0 & W_i \end{bmatrix} > 0, \\ W_i > 0 \quad (47)$$

که در این روابط، $\alpha_i > 0$ دارای مقدار ثابت، P, q, r متغیرهای بهینه سازی، Y_i, W_i متغیرهای بهینه سازی با عنصر تماماً مثبت برای معکوس آنها و \bar{H}_i, \bar{U}_i متغیرهای بهینه سازی فرم دار به صورت:

$$\bar{H}_i = \begin{bmatrix} 0 & H_j & -K_j^T & K_j^T \end{bmatrix}^T, \\ \bar{U}_i = \begin{bmatrix} 1 & g_j^T & -U_{j,l-1}^T & U_{j,l}^T \end{bmatrix}^T, \\ i = 1, 2, \dots, M, j = 1, 2, \dots, M_{mesh}, l = 1, 2, \dots, 2^{M_s}$$

می‌باشد. همچنین $U_{\min,j}, U_{\max,j}$ مقادیر ثابتی فرض می‌گردد.
اثبات: سیستم (۴۰) با فرض کنترل کننده (۴۱) به صورت

$$\dot{x} = A_i x + b_i, i = 1, 2, \dots, M \\ i = j : \bar{H}_j x - \bar{U}_j < 0 \\ U_{\min} < U_1 < U_2 < \dots < U_{M-1} < +U, \\ U_0 = -U, U_N = U_{\max} \\ \bar{H}_i = \begin{bmatrix} 0 \\ -\tilde{J}_j \\ -K_j \\ K_j \end{bmatrix}, \bar{U}_i = \begin{bmatrix} 1 \\ g_j \\ -U_{j,l-1} \\ U_{j,l} \end{bmatrix}, i = 1, 2, \dots, M, \\ j = 1, 2, \dots, M_{mesh}, l = 1, 2, \dots, 2^{M_s}$$

بیان می‌شود. شرط توصیف مش i -ام به صورت زیر می‌باشد [۱]:

$$R_i = \left\{ x \left| \begin{bmatrix} x \\ 1 \end{bmatrix}^T \begin{bmatrix} \bar{H}_i^T Z_i \bar{H}_i & -\bar{H}_i^T Z_i \bar{U}_i \\ -(\bar{H}_i^T Z_i \bar{U}_i)^T & \bar{U}_i^T Z_i \bar{U}_i \end{bmatrix} \begin{bmatrix} x \\ 1 \end{bmatrix} > 0 \right. \right\} \quad (49)$$

که

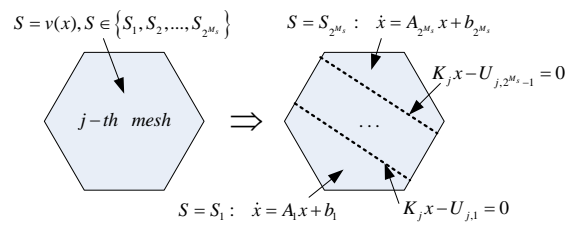
$$Z_i = \begin{bmatrix} z_{00}^i & z_{01}^i & \dots & z_{0n}^i \\ z_{10}^i & & & \cdot \\ \cdot & & & \cdot \\ z_{1n}^i & \cdot & \cdot & z_{nn}^i \end{bmatrix}$$

و همه عناصر Z_i مثبت هستند. همچنین (۴۱) به صورت زیر قابل بازنویسی است:

$$m sign : [U_{\min}, U_{\max}] \rightarrow \{0, 1\}^{M_s} \\ m sign(v) = \begin{cases} \begin{bmatrix} 0 & 0 & \dots & 0 \end{bmatrix}^T & U_{\min} \leq v < U_1 \\ \begin{bmatrix} 1 & 0 & \dots & 0 \end{bmatrix}^T & U_1 \leq v < U_2 \\ \cdot & \cdot \\ \cdot & \cdot \\ \begin{bmatrix} 1 & 1 & \dots & 1 \end{bmatrix}^T & U_{2^{M_s}-1} \leq v < U_{\max} \\ U_0 = U_{\min}, U_{2^{M_s}} = U_{\max} \end{cases} \quad (42)$$

تعريف می‌گردد، این تابع، تعمیم $step$ می‌باشد. در این رابطه U_{\min} و U_{\max} دو عدد دلخواه و بقیه اندیس‌های U_i متغیر می‌باشند. با فرض کنترل کننده (۴۱)، توصیف سیستم (۴۰) و تعريف تابع $m sign$ نتیجه می‌شود:

$$\dot{x} = A_i x + b_i, i = 1, 2, \dots, M, j = 1, 2, \dots, M_{mesh}, \\ l = 1, 2, \dots, 2^{M_s} \\ \left[\begin{bmatrix} H_j & -K_j^T & K_j^T \end{bmatrix}^T x - \begin{bmatrix} g_j^T & -U_{j,l-1}^T & U_{j,l}^T \end{bmatrix}^T \right] < 0 \quad (43)$$



شکل ۳: نحوه تخصیص بردار ورودی منطقی (S) در روش پیشنهادی (برای مش شماره j)

در شکل ۳ نحوه تخصیص بردار ورودی منطقی (S) در روش پیشنهادی برای یکی از مش‌های سیستم مورد بررسی، نشان داده شده است. همه بحث‌های بخش ۱-۵ با ماتریس‌های:

$$\bar{H}_i = \begin{bmatrix} 0 & H_j & -K_j^T & K_j^T \end{bmatrix}^T, \\ \bar{U}_i = \begin{bmatrix} 1 & g_j^T & -U_{j,l-1}^T & U_{j,l}^T \end{bmatrix}^T, i = 1, 2, \dots, M \quad (44)$$

قابل بیان است و قضیه ۲ به صورت زیر تعمیم می‌یابد.

قضیه ۳: سیستم (۴۰)، تحت کنترل کننده (۴۱) پایدار مجانبی سرتاسری است اگر LMI زیر جواب داشته باشد. در این شرایط با حل مساله کنترل کننده ماتریس‌های سازی، بهینه $K_j, U_{jl}, j = 1, 2, \dots, M_{mesh}$ طراحی می‌گردد.

$$U_{\min,j} < U_{j,1} < U_{j,2} < \dots < U_{j,N-1} < +U_{\max,j}, \\ U_{j,0} = U_{\min,j}, U_{j,N} = U_{\max,j}, \quad (45)$$

نکته ۵: یک مبدل الکترونیک قادر است بیش از یک کلید نیمه‌هادی تمام کنترل شونده مثالی از کاربرد قضیه ۳ می‌باشد.

نکته ۶: به منظور دستیابی به یک پاسخ با خطای حالت دائمی صفر، می‌باشد معادله کلیدزنی با فرض $x = x_{ref} - e$ به صورت

$$s = \text{msign}(K_j e) = \text{msign}(-K_j x + K_j x_{ref}) \quad (57)$$

در نظر گرفته شود. در این شرایط روند ارائه شده در قضیه ۳ با جایگذاری $K_j \rightarrow K_j, K_j x_{ref} \rightarrow m_j$ قابل استفاده است.

نکته ۷: الگوریتم زیر فرآیند پایدارسازی و طراحی کنترل کننده برای کلاس مورد بررسی را ارائه می‌نماید:

گام ۱: مدل‌سازی سیستم مورد بررسی در فرم سیستم سوئیچ شونده خطی محدود به حالت ورودی منطقی، در این گام مطابق رابطه (۳) و (۴)، ماتریس‌های A_i, b_i, C_i, d_i و قانون کلیدزنی $\varphi(i(t), s(t), x(t))$ مشخص می‌شوند.

گام ۲: مشبندی فضای حالت و تخصیص ورودی منطقی به هر مش (یعنی $s = \text{msign}(K_j x)$).

گام ۳: استفاده از قضیه تعیین یافته شماره ۳ و طراحی قانون کلیدزنی پایدارساز

$$\begin{bmatrix} \bar{H}_i^T Z_i \bar{H}_i & -\bar{H}_i^T Z_i \bar{U}_i \\ -(H_i^T Z_i \bar{U}_i)^T & \bar{U}_i^T Z_i \bar{U}_i \end{bmatrix}^T \begin{bmatrix} 0.5Z_i & 0 \\ 0 & 0.5Z_i \end{bmatrix} \begin{bmatrix} \bar{H}_i & -\bar{U}_i \\ \bar{H}_i & -\bar{U}_i \end{bmatrix} > 0 \quad (50)$$

تابع لیاپانف و مشتق آن را به صورت زیر در نظر می‌گیریم:

$$V_i(x) = \begin{bmatrix} x \\ 1 \end{bmatrix}^T \begin{bmatrix} P & q \\ q & r \end{bmatrix} \begin{bmatrix} x \\ 1 \end{bmatrix} \quad (51)$$

$$\frac{d}{dt} V(x) = \begin{bmatrix} x \\ 1 \end{bmatrix}^T \begin{bmatrix} A_i^T P + PA_i & Pb_i + A_i^T q \\ b_i^T P + q^T A_i & 2b_i^T q \end{bmatrix} \begin{bmatrix} x \\ 1 \end{bmatrix} \quad (52)$$

به کمک (۵۱)، (۵۲) و S-procedure، شرط مثبت بودن تابع لیاپانف با نرخ همگرایی α_i در مش R_i وجود ماتریس‌های $P > 0$ ، $r > 0$ ، $q > 0$ ، ماتریس‌های Z_i و Λ_i با دارایی‌های تماماً مثبت است به نحوی که:

$$\begin{bmatrix} P & q \\ q^T & r \end{bmatrix} - \begin{bmatrix} \bar{H}_i & -\bar{U}_i \\ \bar{H}_i & -\bar{U}_i \end{bmatrix}^T \begin{bmatrix} Z_i & 0 \\ 0 & Z_i \end{bmatrix} \begin{bmatrix} \bar{H}_i & -\bar{U}_i \\ \bar{H}_i & -\bar{U}_i \end{bmatrix} > 0 \quad (53)$$

به طور مشابه شرط منفی بودن مشتق تابع لیاپانف به صورت زیر حاصل می‌گردد:

$$\begin{bmatrix} A_i^T P + PA_i + \alpha_i P & Pb_i + A_i^T q + \alpha_i q \\ b_i^T P + q^T A_i + \alpha_i q^T & 2b_i^T q + \alpha_i r \end{bmatrix} + \begin{bmatrix} \bar{H}_i & -\bar{U}_i \\ \bar{H}_i & -\bar{U}_i \end{bmatrix}^T \begin{bmatrix} Z_i & 0 \\ 0 & Z_i \end{bmatrix} \begin{bmatrix} \bar{H}_i & -\bar{U}_i \\ \bar{H}_i & -\bar{U}_i \end{bmatrix} < 0 \quad (54)$$

با فرض معکوس پزیری و مثبت معین بودن ماتریس‌های Z_i و Λ_i و بنا به روایت schur complement (۵۳) و (۵۴) به صورت زیر قابل بازنویسی هستند:

$$\begin{bmatrix} P & q & \bar{H}_i^T & \bar{H}_i^T \\ q^T & r & -\bar{U}_i^T & -\bar{U}_i^T \\ \bar{H}_i & -\bar{U}_i & Z_i^{-1} & 0 \\ \bar{H}_i & -\bar{U}_i & 0 & Z_i^{-1} \end{bmatrix} > 0, Y_i > 0 \quad (55)$$

$$\begin{bmatrix} \{-A_i^T P -\} & \{-Pb_i -\} & \bar{H}_i^T & \bar{H}_i^T \\ \{PA_i - \alpha_i P\} & \{A_i^T q - \alpha_i q\} & & \\ \{-b_i^T P -\} & \{-2b_i^T q -\} & -\bar{U}_i^T & -\bar{U}_i^T \\ \{q^T A_i - \alpha_i q^T\} & \{\alpha_i r -\} & & \\ \bar{H}_i & -\bar{U}_i & \Lambda_i^{-1} & 0 \\ \bar{H}_i & -\bar{U}_i & 0 & \Lambda_i^{-1} \end{bmatrix} > 0, W_i > 0 \quad (56)$$

و با تعریف $Z_i = Y_i^{-1}$ و $\Lambda_i = W_i^{-1}$ حکم ثابت می‌شود.

در جدول ۱ ماتریس‌های رابطه فوق تعریف شده‌اند. سیستم اولیه دارای دو مش می‌باشد و بعد از قرار گرفتن کنترل کننده پیشنهادی تعداد آن به چهار عدد افزایش می‌یابد. در نتیجه به کمک قضیه ۲ می‌باشد متغیر $K_1 = K_2$ طراحی گردد (برای سادگی در هر دو مش از یک مرز کلیدزنی استفاده شده است) همچنین داریم:

$$\begin{aligned} j=1 &\Leftrightarrow [1 \ 0]x > 0 \\ j=2 &\Leftrightarrow [-1 \ 0]x > 0 \end{aligned}$$

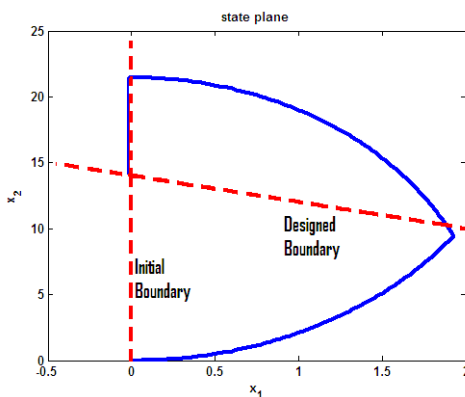
و

$$\bar{H}_1 = \bar{H}_3 = \begin{bmatrix} 0 & 0 \\ -1 & 0 \\ -K_1 \\ 1 \end{bmatrix}, \bar{H}_2 = \bar{H}_4 = \begin{bmatrix} 0 & 0 \\ -1 & 0 \\ K_1 \\ 1 \end{bmatrix},$$

$$m_1 = m_3 = \begin{bmatrix} 0 \\ 0 \\ -K_1 x_{ref} \end{bmatrix}, m_2 = m_4 = \begin{bmatrix} 0 \\ 0 \\ K_1 x_{ref} \end{bmatrix}$$

با استفاده از پارامترهای جدول ۲ شیوه سازی صورت گرفته است. با حل MATLAB LMI مربوطه به کمک جعبه ابزار Robust Control نرم افزار

نتیجه زیر حاصل گردیده است:



شکل ۵: نمودار صفحه حالت به همراه مرز ذاتی و طراحی شده

محدود است. این روش جهت تعیین ورودی منطقی، نواحی صفحه حالت را مشبندی و به هر یک، یک ورودی منطقی نسبت می‌دهد. پایدارسازی روش پیشنهادی ساده‌تر می‌باشد و روند طراحی آن مبتنی بر حل یک دسته معادلات LMI می‌باشد. قضایای پایداری و طراحی کنترل کننده برای کلاس مورد بررسی ارائه و اثبات گردیده است. جهت ادامه کار بهبود حالت گذرا با افزودن قیود LMI مناسب به مساله پایدارسازی، پیشنهاد می‌گردد.

جدول ۲: ماتریس‌های توصیف کننده مبدل باک به همراه شرط فعال شدن هر زیرسیستم

واحد	مقدار	نماد	متغیر
Ω	1000	R	مقاومت بار
H	10μ	L	سلف فیلتر
F	$100n$	C	خازن خروجی
V	24	V_g	ولتاژ تغذیه
V	14	$x_{2,ref}$	ولتاژ خروجی مطلوب
A	0.014	$x_{1,ref}$	جریان سلف مطلوب

$$K_1 = K_2 = 10^{-8} \times [-0.4263 \quad -0.2185]$$

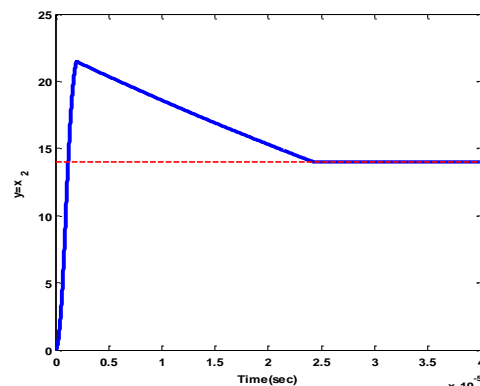
نتایج شبیه سازی در شکل‌های ۴ و ۵ نشان داده شده است. در شکل ۴ نمودار تغییرات متغیر خروجی رسم شده است. پاسخ دارای خطای حالت دائمی صفر و فرآجهش قابل ملاحظه‌ای می‌باشد، اما راهکار معرفی شده در این مقاله صرف پایدارسازی است و مساله بهینه‌سازی پاسخ گذرا هدف این مقاله نمی‌باشد. در شکل ۵ نمودار صفحه حالت به همراه مرز ذاتی و طراحی شده سیستم نشان داده است. در بالای مرز طراحی شده، ورودی منطقی ۱ و در پایین آن صفر می‌باشد. در این شکل فضای حالت به چهار متش تقسیم شده است و در هر متش یکی از چهار زیرسیستم فعال می‌باشد.

۷- نتیجه‌گیری

در این مقاله روشی جدید جهت طراحی کنترل کننده و پایدارسازی کلاس سیستم‌های خطی سوئیچ شونده با قانون کلیدزنی

جدول ۱: ماتریس‌های توصیف کننده مبدل باک به همراه شرط فعال شدن هر زیرسیستم

i	1	2	3	4
A_i	$\begin{bmatrix} 0 & -1 \\ \frac{1}{L} & 0 \end{bmatrix}$	$\begin{bmatrix} 0 & -1 \\ \frac{1}{L} & 0 \end{bmatrix}$	$\begin{bmatrix} 0 & 0 \\ 0 & -1 \end{bmatrix}$	$\begin{bmatrix} 0 & 0 \\ 0 & \frac{1}{RC} \end{bmatrix}$
b_i	$\begin{bmatrix} V_g \\ L \end{bmatrix}^T$	$[0 \ 0]^T$	$[0 \ 0]^T$	$[0 \ 0]^T$
$\varphi(.)$	$s=1, \begin{bmatrix} 1 & 0 \end{bmatrix} x > 0$	$s=0, \begin{bmatrix} 1 & 0 \end{bmatrix} x > 0$	$s=1, \begin{bmatrix} 1 & 0 \end{bmatrix} x < 0$	$s=0, \begin{bmatrix} 1 & 0 \end{bmatrix} x < 0$
C_i	$[0 \ 1]$	$[0 \ 1]$	$[0 \ 1]$	$[0 \ 1]$



شکل ۶: نمودار تغییرات خروجی

مراجع

- [12] A. Beccuti, S. Mariethoz, S. Cliquennois, S. Wang, and M. Morari, "Explicit model predictive control of DC-DC switched mode power supplies with extended Kalman filtering," *IEEE Trans. Ind. Electron.*, vol. 56, no. 3, pp. 1864–1874, 2009.
- [13] A. Bemporad, F. Borrelli, and M. Morari, "Model predictive control based on linear programming—The explicit solution," *IEEE Trans. Autom. Control*, vol. 47, pp. 1974–1985, 2002.
- [14] Mohammad Hejri and Hossein Mokhtari, "Global hybrid modeling and control of a buck converter: A novel concept," *International Journal of Circuit Theory and Applications*, vol 37, pp 968–986, 2009.
- [15] Mohammad Hejri and Hossein Mokhtari, "Hybrid predictive control of a DC–DC boost converter in both continuous and discontinuous current modes of operation," *Optimal Control Applications and Methods*, 2010.
- [16] Luca Greco, "Stability and Stabilization Issues in Switched Systems," PHD thesis, Bioingegneria, Robotica e Sistemi di Automazione Industriale - Ciclo XVII, 2005.
- [17] L. Rodrigues and J.P. How, "Observer-based control of piecewise-affine systems," *Internat. J. Control.*, vol 76, pp. 459–477, 2003.
- [18] F. Uhlig, "A recurring theorem about pairs of quadratic forms and extinctions: A survey," *Linear Algebra and Applications*, vol 25, pp 219-237, 1979.
- [19] V. A. Yakubovich, "The S procedure in non-linear control theory," *Vestnik Leningrad Univ. Math.*, vol 4, pp 73-93 , 1977, In Russian.
- [20] S. Boyd, L. El Ghaoui, E. Feron, and V. Balakrishnan, *Linear Matrix Inequalities in System and Control Theory*, Philadelphia, The SIAM press, 1994.
- [1] L. Rodrigues, "Dynamic Output Feedback Controller Synthesis for Piecewise Affine Systems," PhD Thesis, Stanford university, June 2002.
- [2] M. de la Sen and A. Ibeas, "Stability Results for Switched Linear Systems with Constant Discrete Delays," *Mathematical Problems in Engineering*, vol. 2008, 2008.
- [3] Robert Shorten, Fabian Wirth, Oliver Mason, Kai Wulff, Christopher King, "Stability Criteria for Switched and Hybrid Systems," *SIAM REVIEW*, vol. 49, no . 4, pp . 545–592, 2007.
- [4] A. Rantzer and M. Johansson, "Piecewise linear quadratic optimal control," *IEEE Trans. Automat Control*, vol. 45, no. 4, pp. 629–637, Apr. 2000.
- [5] S. S. Ge and Zhendong Sun, "Switched Controllability via Bumpless Transfer Input and Constrained Switching," *IEEE Trans. on Automatic Control*, vol. 53, no. 7, 2008.
- [6] M. Johansson, *Piecewise Linear Control Systems- A Computational Approach*, New York: Springer-Verla , vol, 284, 2002.
- [7] Zhendong Sun, Shuzhi S.Ge, *Switched Linear Systems: Control and Design*, Springer-Verlag Publication, 2004.
- [8] S. Pettersson and B. Lennartson, "Hybrid system stability and robustness verification using linear matrix inequalities," *Inter. J. Control.*, vol. 75, no. 16-17, pp. 1335–1355, , 2002.
- [9] Hai Lin, and Panos J. Antsaklis," Stability and Stabilizability of Switched Linear Systems: A Survey of Recent Results," *IEEE Trans. Automatic Control*, vol. 54, no. 2, 2009.
- [10] S. Pettersson and B. Lennartson, "Stabilization of hybrid systems using a min-projection strategy," in Proc. Amer. Control Conf, pp. 223–228, 2001.
- [11] A. Bemporad and M. Morari, "Control of systems integrating logic, dynamics, and constraints," *Automatica*, vol. 35, no. 3, pp. 407–427, 1999.

شناسایی و پیش‌بینی سیستم غیرخطی کوره دوار سیمان با استفاده از شبکه عصبی - فازی و انتخاب ورودی‌ها به کمک الگوریتم ژنتیک

آرمیتا فاطمی مقدم^۱، آرش شریفی^۲، محمد تشنه لب^۳

^۱ دانشجوی کارشناسی ارشد مهندسی مکاترونیک، گروه کامپیوتر، دانشگاه آزاد اسلامی، واحد علوم و تحقیقات تهران،

Armitafatemimoghadam@gmail.com

^۲ مربی، گروه کامپیوتر، دانشگاه آزاد اسلامی، واحد علوم و تحقیقات تهران، A.sharifi@srbiau.ac.ir

^۳ دانشیار، دانشکده مهندسی برق، گروه کنترل، دانشگاه صنعتی خواجه نصیرالدین طوسی، Teshnehlab@eetc.kutu.ac.ir

(تاریخ دریافت مقاله ۱۳۹۰/۳/۱۰، تاریخ پذیرش مقاله ۱۳۹۰/۶/۵)

چکیده: با توجه به اهمیت کوره دوار سیمان در صنعت و عدم وجود یک مدل قابل قبول برای آن، شناسایی و پیش‌بینی وضعیت کوره از ملزومات شبیه‌سازی و اتوماسیون سیستم کوره دوار سیمان می‌باشد. کوره دوار سیمان یک سیستم غیرخطی و متغیر با زمان می‌باشد. در این نوشتار به منظور شناسایی و پیش‌بینی وضعیت کوره دوار سیمان از شبکه عصبی-فازی تطبیقی ANFIS استفاده شده است. از آنجا که داده‌های استخراج شده مرتبط با سیستم واقعی است، لذا انجام عملیات پیش‌پردازش بر روی داده‌های موجود یکی از مهمترین و دشوارترین مراحل شناسایی می‌باشد. علاوه بر ورودی‌های سیستم، دینامیک‌های سیستم که از روش لیشیت انتخاب شده با تأخیر خالص سیستم با یک گام عقب تر به عنوان ورودی‌های شبکه عصبی-فازی اعمال شده است. با توجه به مسئله تعداد قوانین در سیستم فازی در زمان حضور تعداد زیادی متغیر ورودی و همچنین با وجود زیاد بودن تعداد ورودی‌ها مورد نیاز برای اعمال آنها به شبکه عصبی-فازی، از الگوریتم ژنتیک بعنوان روش انتخاب ویژگی به منظور کاهش تعداد متغیرهای ورودی سیستم فازی استفاده شده است. نتایج حاصل از اعمال روش مطرح شده بر روی داده‌های واقعی کوره دوار سیمان ساخت دهنده کارایی بالای روش ارائه شده در پیش‌بینی عملکرد این سیستم صنعتی و غیرخطی دارد.

کلمات کلیدی: شناسایی سیستم، انتخاب ویژگی، کوره دوار سیمان، شبکه عصبی-فازی ANFIS و الگوریتم ژنتیک.

Prediction and Identification of Nonlinear Rotary Cement Kiln System with Neuro-Fuzzy ANFIS Network by Using Feature Selection with Genetic Algorithm

Armita Fatemimoghadam, Arash Sharifi, Mohammad Teshnehlab

Abstract: Due to the status of Rotary Kiln Cements (RKC)s in different industries and lack of a mature model for these systems, identification and prediction of the Kiln system are necessary for any simulation and automation approaches. Intrinsically, RKCs are non-linear and time-variant systems. This paper proposes a novel approach of using ANSFI to predict the status of a RKC system in a scale of few minutes in advance. Since the data used in this research has been extracted from a real system, pre-analysis of data is one of the critical parts of identification process. In addition to the system inputs, dynamic of the system which has been selected according to the LIPSCHITZ method with a system's genuine delay are applied as inputs for Neural Network system

with one step phase lag. Genetic algorithm has been utilized as a characteristic selection and phasor rules reduction method due to the existing challenges on the number of rules in phasor systems specifically with a large number of variables to be applied to the Neural Network. To verify the performance of the proposed identification and prediction method on a non-linear industrial system, simulation results have been carried out on a real data extracted from SAVEH Cement Company.

Keywords: System Identification, Feature Selection, Cement Rotary Kiln, Algorithm Genetic.

سیمان، هسته اصلی پژوهش استادلر در سال ۲۰۱۰ بود که توانست درجه حرارت تمام کوره را که به عنوان پارامتر مؤثر تولید کلینکر انتخاب کرده بود، در طول پروسه تولید سیمان پایدار نگه دارد^[۳]، شایان ذکر است که این پژوهش تنها یکی از پارامترهای موثر روی وضعیت کوره دوار سیمان را مورد بررسی قرار داده است.

با توجه به قابلیت‌های شبکه‌های عصبی مصنوعی در مدلسازی و پیش‌بینی سیستم‌های پیچیده خطی و غیر خطی، این روش در تحقیقات اخیر برای شناسایی و کنترل کوره دوار سیمان ارائه شده است [۴-۶]. در پیش‌بینی و کنترل وضعیت کوره دوار سیمان عوامل بسیاری به علت غیرخطی بودن سیستم، دارا بودن تأخیر خالص در سیستم، ابعادی با اندازه بالا و همچنین چند ورودی-چند خروجی بودن اصل سیستم دخیل هستند که به همین علت فرآیند شناسایی و پیش‌بینی وضعیت کوره را با دشواری‌های بسیاری همراه می‌سازد. یکی از روش‌های بکار رفته مدل ARX است که بدلیل ضعیف بودن نتایج بدست آمده از تخمین در فرکانس‌های پایین و میانی در مدلسازی، این مدل برای کاربردهایی مثل پیش‌بینی و کنترل فرآیندهای صنعتی و پیچیده نتوانست کارآمد واقع شود. در روش OE معیار خطای خروجی^۱ به عنوان تابع هزینه استفاده می‌شود که بدلیل آنکه خطای مشاهده شده مستقیماً خود را در خروجی نشان می‌دهد، مدل به نوع ساختار سیار حساس است که این امر چندان مطلوب نیست.

در این پژوهش به منظور شناسایی سیستم کوره دوار سیمان با داده‌های ورودی و خروجی در نظر گرفته شده، از شبکه‌های ANFIS با ترکیب منطق فازی و شبکه‌های عصبی که ابزاری قدرتمند برای شناسایی و پیش‌بینی بسیاری از سیستم‌های پیچیده هستند، برای افزایش دقت سیستم در افق پیش‌بینی جلوتر استفاده شده است. آمده سازی داده‌ها یک امر قاطع و مهم در امر شناسایی و پیش‌بینی وضعیت کوره می‌باشد بنابراین ضروری است که داده‌های مناسب همچون تأخیر خالص سیستم بدست آمده و به سیستم شناسایی اعمال شود. با توجه به پیچیدگی کوره دوار سیمان و وجود تعداد زیاد متغیرهای ورودی، استفاده مستقیم از ورودی‌های موجود به منظور استفاده در سیستم فازی محدود نبوده و سبب ایجاد مشکل عملاً قابلیت پایاده سازی و اعمال در سیستم واقعی را سیستم تولید شده ایجاد کرده است. از همین رو در این پژوهش سعی شده است تا با استفاده

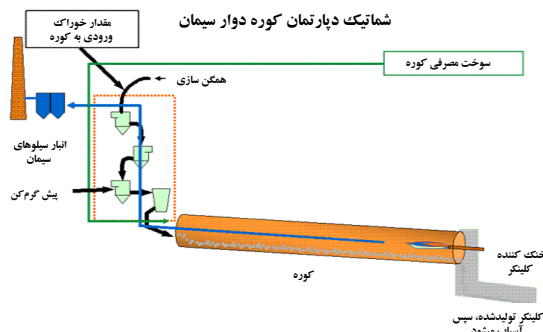
بیش از یک میلیارد تن سیمان هر ساله در سراسر جهان تولید می‌شود و کوره سیمان قلب این پروسه تولید می‌باشد. بالا رفتن کارایی در بهره ببروی از کوره دوار سیمان به عنوان اصلی ترین مرحله صرفه جویی در انرژی و خارج کردن گازهای گلخانه‌ای در تولید سیمان، هسته مرکزی پروسه تکنولوژی تولید سیمان است. کوره دوار سیمان، مهمترین بخش از کارخانه سیمان است که کلینکر سیمان در آن تولید می‌شود. کوره دوار سیمان، یک سیستم پارامتر گسترده و غیرخطی متغیر با زمان است که رفتار غیر خطی و دینامیکی آن منجر به فعل و افعالات شیمیایی اش می‌شود. در واحد صنعتی تولید سیمان، برای تولید کلینکر سیمان، مواد در کوره دوار با افزایش دما با یکدیگر ترکیب شده تا پس از واکنش‌های صورت گرفته در نهایت منجر به تولید کلینکر سیمان - شود [۱].

تلashahayi به منظور شناسایی برای نیل به اهدافی همچون کنترل، پیش‌بینی و شبیه‌سازی این سیستم پیچیده انجام شده است، با این وجود مدل دقیق و صحیحی که بینگر رفتار دینامیکی و پیچیدگی‌های موجود در سیستم غیر خطی کوره باشد، بدست نیامده است. اگرچه نتایج حائز اهمیتی در سالهای گذشته بدست آمده است، اما می‌توان مشاهده نمود که بسیاری عوامل با عدم قطعیت در بیان مدل‌های ارائه شده مواجه بوده است. هیچ یک از مدل‌های فرضی نام برده شده برای کوره بعنوان ابزار پیش‌بینی برای عملیات کوره کافی نیستند. بنابراین تلashahayi بیشتری برای دستیابی به مدلی که بتواند رفتار کوره را به صورت کامل نشان دهد باید صورت پذیرد. چنین مدلی برای صنعت سیمان بعنوان یک ابزار مفید بسیار حائز اهمیت خواهد بود.

یکی از راهکارهای مناسب در روش‌های شناسایی و مدلسازی، شبکه‌های عصبی مصنوعی است که در بسیاری از سیستم‌های غیر خطی با رفتارهای دینامیکی پیچیده مورد استفاده قرار می‌گیرد. پژوهش‌های بسیاری روی کاربردهای مختلف شبکه‌های عصبی در زمینه شناسایی سیستم بر روی عملکرد سیستم‌های ساده و خطی و همچنین سیستم‌های پیچیده و غیرخطی صورت گرفته است. ک. پازند رفتار مکانیکی بدن کوره را با استفاده از شبکه‌های عصبی در سال ۲۰۰۹ شیوه سازی نموده [۲] و مدلی مکانیکی برای کل بدن کوره، به منظور پیش‌بینی دو متغیر مکانیکی حائز اهمیت که ماکریم نامی و تغییر شکل هر بخش از بدن کوره می‌باشدند را ارائه داده است. کنترل مدل پیش‌بین کوره دوار

^۱ Output Error

نظر مدل دینامیکی بر حسب دینامیک‌های موجود یک سیستم پارامتر گسترده محسوب می‌شود [۱۴]. در شکل (۱) دپارتمان کوره سیمان آورده شده است.



شکل ۱: مجموعه کوره دوار سیمان [۱۵]

در امر شناسایی سیستم، خروجی‌ها متغیرهایی هستند که برای طراحان جالب و همواره حائز اهمیت بوده و متغیرهای خروجی متأثر از رفتار متغیرهای ورودی می‌باشد. سیستم کوره دوار سیمان یک فرآیند چند ورودی - چند خروجی می‌باشد و مطابق با نظر کارشناسان خبره صنعت، متغیرهای ورودی و خروجی این سیستم به قرار زیر می‌باشد. متغیرهای ورودی و علائم اختصاری آنها در جدول (۱) و متغیرهای خروجی و علائم اختصاری آنها در جدول (۲) نشان داده شده است.

جدول ۱: علائم اختصاری به کار رفته برای متغیرهای ورودی

اختصار	نام کامل متغیرهای ورودی	نام لاتین متغیر
Mat	Material	مقدار خوراک ورودی به کوره
Fuel	Fuel	سوخت مصرفی کوره
KS	Kiln Speed	دور کوره
ID.Fan speed	ID. Fan	دور فن
AP	Air Pressure	فشار هوای ورودی به کوره

جدول ۲: علائم اختصاری به کار رفته برای متغیرهای خروجی

اختصار	نام کامل متغیرهای خروجی	نام لاتین متغیر
KA	Kiln Ampere	جریان کشی کوره
CO	CO	گاز مونوکسید کربن ایجاد شده
BE	Back End Temperature	درجه حرارت عقب کوره
PRE	Pre-heater Temperature	درجه حرارت پیش گرم کن

۳- آماده‌سازی داده‌ها

انتخاب داده‌ها برای شناسایی سیستم در حین پیاده‌سازی، به هیچ عنوان شبیه به داده‌های مناسب برای استفاده بلادرنگ در شناسایی الگوریتم نیست [۷]. موارد محتمل بسیاری در ناکارا بودن داده‌ها دخیل است که عبارت‌اند از:

۱. اختشاشات فرکانس بالا در داده برداری

از الگوریتم ژنتیک به انتخاب زیر مجموعه‌ای موثر و مناسب از متغیرهای ورودی پرداخته شود تا ضمن حفظ کارایی سیستم فازی، مواردی همچون شفافیت و تقسیر پذیری در سیستم ایجاد شده نیز حفظ شوند.

این مقاله در بر گیرنده بخش‌های زیر می‌باشد: در بخش دوم، سیستم کوره دوار سیمان و پارامترهای موثر انتخاب شده بعنوان متغیرهای ورودی و خروجی توضیح داده می‌شود. بخش سوم شامل آماده سازی داده‌ها و مراحل پیش‌پردازش داده‌ها می‌باشد. پس از آن در بخش چهارم با توضیحاتی در باب روش مدل هشمند تر کیبی بکار گرفته شده و نحوه انتخاب ورودی‌های مناسب با استفاده از الگوریتم ژنتیک، به فرآیند شناسایی کوره دوار سیمان پرداخته شده است. ارائه و ارزیابی نتایج بدست آمده در بخش پنجم پنجم نشان داده شده است و نتایج بدست آمده در بخش پایانی جمع‌بندی شده است.

۲- کوره دوار سیمان

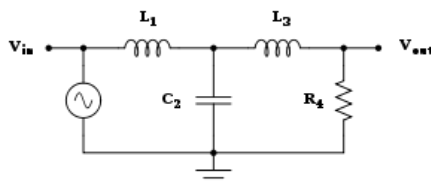
کوره سیمان یکی از کلیدی‌ترین تجهیزات در صنعت سیمان می‌باشد که برای تبدیل مواد کلسیسینه شده به کلینکر سیمان کاربرد دارد. کوره‌های سیمان برای مرحله پیرو فرآیند تولید پرتلند و دیگر سیمان‌های هیدرولیک استفاده می‌شود. با افزایش دما در کوره، واکنش‌های در محلوط، اتفاق می‌افتد که در ابتدا سبب تغییر شکل مواد معدنی رسی به اکسید هایشان می‌شود، سپس کربنات کلسیم با اکسید سیلیسیم واکنش داده و سیلیکات کلسیم شکل می‌گیرد و نهایتاً کلسیم باقی مانده تغیر شکل داده و به اکسید کلسیم و دی اکسید کربن تبدیل می‌شود.

کوره دوار شامل یک لوله استوانه‌ای است که از صفحات فولادی ساخته شده است و درون آن با آجر نسوز پوشیده شده است. شب لوله ۱ تا ۴ درجه است و به آهستگی حدود ۳۰ تا ۲۵۰ دور بر ساعت حول محور خود دوران می‌کند. محلوط از انتهای بالای آن تغذیه می‌شود و دوران کوره باعث حرکت منظم ذرات تا انتهای دیگر آن می‌شود. در انتهای دیگر (انتهای پایین) سوخت به شکل گاز، نفت یا سوخت جامد پوری از طریق لوله سوزان به درون کوره می‌دیده می‌شود که یک شعله هم مرکز با قسمت پایین لوله کوره تولید می‌کند. هنگامی که مواد به شعله می‌رسند، به حد اکثر دمای خود نایل می‌شوند. البته قبل از رسیدن به کولر، هوا ابتدا از درون کولر و سپس از درون کوره برای انجام احتراق سوخت عبور داده می‌شود. در کولر، هوا با سرد کردن کلینکر داغ، گرم می‌شود، که دمای آن قبل از ورود به کوره ممکن است به ۴۰۰ تا ۸۰۰ درجه برسد که باعث احتراق موثرتر و سریعتر سوخت می‌شود.

کوره سیمان به طور ۲۴ ساعه در شبانه‌روز در حال کار می‌باشد و به ندرت حدود ۲ یا ۳ روز در سال برای برقراری اصول نگهداری کوره متوقف می‌شود. پژوهشگران و دست اندک کاران صنعت سیمان به خوبی واقفند که کوره دوار سیمان یکی از پیچیده‌ترین راکتورهای حرارتی در صنایع است و تحلیل و آنالیز رفتار فرآیند پخت در کوره دوار سیمان بسیار پیچیده بوده و با دشواری‌هایی همراه است [۱۴]. کوره دوار سیمان از

حال کار بوده جمع آوری شده است. برای حل این مشکل، داده ها از فیلتر مناسبی که می تواند سیگنال نویز را از سیگنال اصلی حذف کند، می گذرد. نتایج به ما نشان داده که داده هایی که از فیلتر میان گذر عبور کنند، سیگنال نویز بر روی سیگنال اصلی باقی میماند و در نتیجه کاربردی برای داده های این سیستم ندارد. چنانچه باند میانی فیلتر میان گذر را کوتاه کنیم، این امر می تواند سیگنال نویز را حذف کند، ولی چون سبب تغییر شکل سیگنال می شود، در اصل، حالت ماندگار سیستم را از بین برد و بنابراین فیلتر مناسبی برای داده های این پروژه نمی باشد. چنانچه فیلتر بالاگذرا استفاده شود، حالت ماندگار سیستم و فقط فرکانس های بالا که های لازم در داده های مورد نظر، از بین رفته و فقط فرکانس های بالا که همان نویزهای سیستم می باشند، در سیستم باقی میمانند. اما با انتخاب یک فیلتر پایین گذر با فرکانس قطع مناسب، ضمن حفظ حالت ماندگار سیستم، سبب حذف نویزهای فرکانس های بالا شده [۹] و همچنین قادر به بازسازی ویژگی های اصلی سیگنال می باشد. فیلتر با ترورث مرتبه سوم که جهت حذف مقدار بایاس یا مقدار dc و حفظ حالت ماندگار سیستم می باشد، همانطور که در شکل (۲) آورده شده است، از یک فیلتر با ترورث مرتبه یک و یک فیلتر با ترورث مرتبه دو که بصورت سری تحقیق می یابند استفاده می شود.

در حالت کلی تابع تبدیل یک فیلتر با ترورث مرتبه سه با توجه به رابطه (۲) بصورت زیر بیان می شود:



شکل (۲): فیلتر با ترورث پایین گذر مرتبه سه

در این پروژه فیلتر پایین گذر با ترورث^۱ مرتبه سوم با باندگذار ۰.۰۱۵ هرتز را، انتخاب کرده که بدون تحت تأثیر قرار دادن سیگنال های ورودی، امکان حذف نویز و سیگنال های توزیعی از سیگنال اصلی را دارا می باشد.

۳-۳- تخمین تأخیر

به منظور شناسایی فرآیند، تأخیر خالص سیستم، اولین پارامتر مهمی است که باید مشخص گردد. در غیر اینصورت تمام مراحل شناسایی دچار مشکل خواهد شد. تحقیقی که سابقاً در این باره انجام شده است [۱۰] قبل این هدف را به درستی نشانه گرفته است. در [۱۰] روش عددی لپیشتر برای تخمین تأخیر خالص سیستم مدل کوره اعمال شده است. در جدول (۳) تخمین تأخیر برای هر یک از ورودی ها بر حسب دقیقه آورده شده است.

۲. از دست رفتن برخی داده ها در حین فرآیند نمونه

برداری

۳. وجود انحراف از صفر، اختشاشات فرکانس پایین و رفتار احتمالی تناوبی سیستم

داده هایی که در دسترس داریم، حاصل نمونه برداری ۱۲ هفته کاری بطور مداوم و ۲۴ ساعته شبانه روزی و به ازای هر ثانیه از وضعیت کوره دوار سیمان از کارخانه سیمان ساوه می باشد. از آنجا که داده های استخراج شده مرتبط با سیستم واقعی می باشد، این داده ها نیازمند عملیات پیش پردازش به جهت گسته سازی، رفع نویز، فیلترینگ، کاهش سطوح قله ها و تصحیح مقدار انحراف از صفر می باشد. لذا انجام عملیات پیش پردازش بر روی داده های موجود به منظور حصول داده هایی مناسب جهت اعمال به سیستم شناسایی ضروری می باشد. در این تحقیق آماده سازی داده ها شامل مراحل پیش پردازش زیر است:

۱-۳- کاهش تعداد نمونه ها

میدانیم که نمونه برداری از سیگنال های پیوسته در سیستم های کنترل دیجیتال، باعث از بین رفتن اطلاعات می شود. بنابراین لازم است که فرکانس نمونه برداری اطلاعات به نحوی انتخاب شود که در محظوظ اطلاعاتی داده های نمونه برداری شده مشکلی ایجاد نشود. در تئوری پردازش سیگنال گسته اثبات می شود که حداقل فرکانس نمونه برداری می باید دو برابر پهنه ای باند فرکانسی سیگنال نمونه برداری شده، باشد تا بتوان سیگنال پیوسته را از سیگنال نمونه برداری شده بازسازی نمود [۸]. داشتن نمونه های زیاد از داده ها باعث پاره ای مشکلات در فرآیند شناسایی می گردد، بطوریکه با تعداد نمونه های بیش از حد علاوه بر سخت شدن فرآیند شناسایی، به زمان بیشتری جهت آموزش نیاز داریم. در این پروژه برای بدست آوردن فرکانس نمونه برداری از پیش پردازش و روش کوچکترین ثابت زمانی استفاده شده است. با بررسی های انجام شده مشخص شده است که کوچکترین ثابت زمانی سیستم تقریباً ۳ دقیقه می باشد [۱۰]. لذا با توجه به رابطه (۱) که در زیر آمده است از هر ۶۰ ثانیه یک نمونه برداشته شده است.

اگر τ_{min} کوچکترین ثابت زمانی سیستم باشد، می توان زمان نمونه برداری را به صورت زیر انتخاب کرد:

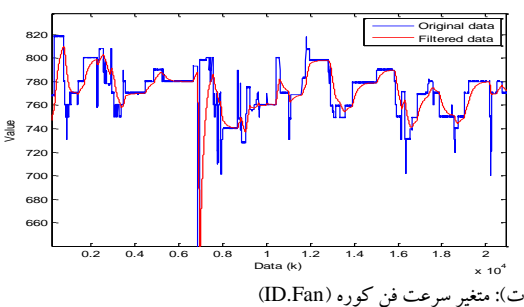
$$T_s = \frac{\tau_{min}}{3} (\text{Sec}) \quad (1)$$

۲-۳- فیلترینگ

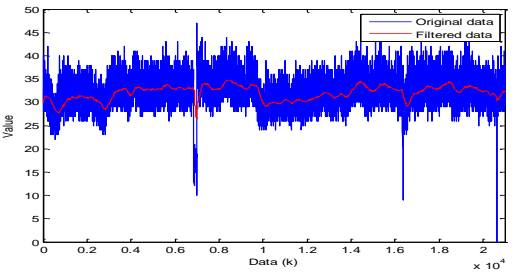
بر طرف کردن تغییرات شدید پیک ها و هموار سازی داده ها در حل مسئله شناسایی بسیار اهمیت دارد. این تغییرات ناگهانی بدليل عملیات حسگرها و کارتهای اتصال داده رخ می دهد [۸]. لازم است بخطاطر داشته باشیم که داده های بکار رفته در این پروژه در زمانی که این کارخانه در

^۱ Butterworth Low-pass Filter

پ): متغیر سرعت کوره (KS)



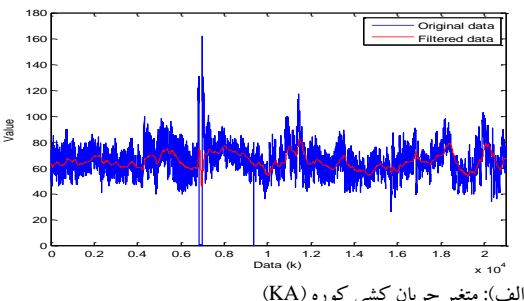
ت): متغیر سرعت فن کوره (ID.Fan)



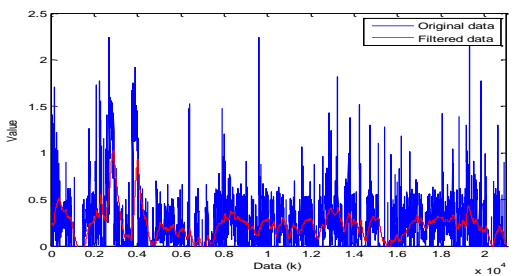
ث): متغیر فشار هوای تانویه (AP)

شکل ۳: داده‌های فیلتر شده و داده‌های واقعی شامل (الف الی ث) به ازای پنج متغیر ورودی

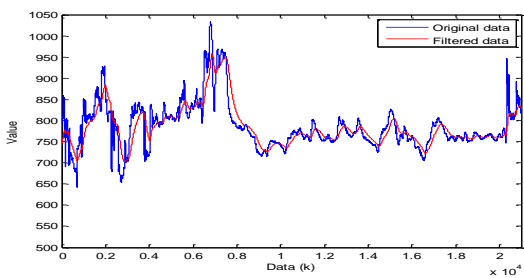
شکل (۴) داده‌های فیلتر شده و داده‌های واقعی از متغیرهای خروجی را نشان می‌دهد.



الف): متغیر جریان کشی کوره (KA)



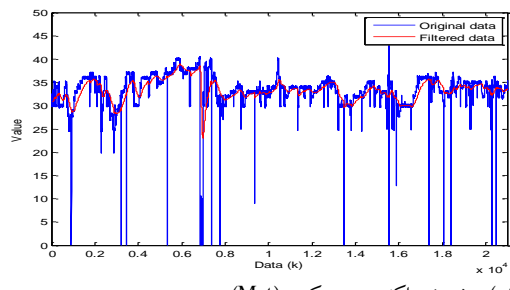
ب): متغیر مقدار گاز مونوکسید کربن ایجاد شده در کوره (CO)



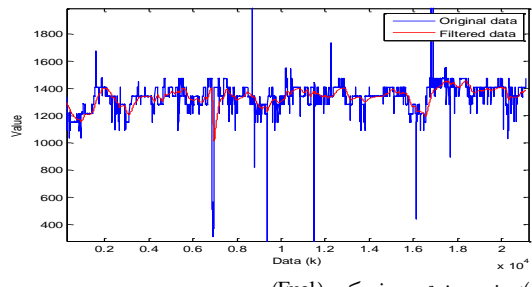
جدول ۳: نمایش تأثیر ورودی‌ها و خروجی‌ها نسبت به هم بر حسب دقیقه [۱۰]

ورودی‌ها	فناრ هوای ورودی	دور کوره	سوخت مصرفی کوره	مقدار خواراک ورودی
کوره	کوره	کوره	کوره	کوره
۳۰	۱۸	۱۵	۳	
۱۰	۴	۶	۰	
۴۲	۳۷	۶	۰	
۶	۰	۰	۳۰	
۶	۰	۲	۳۰	

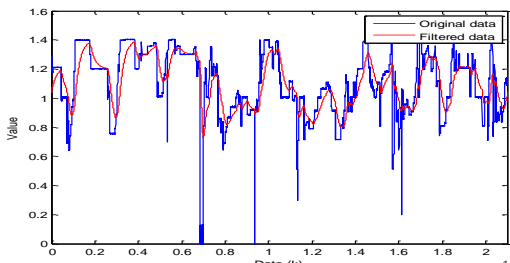
همانطور که در شکل‌های (۳) و (۴) مشاهده می‌شود، داده‌های مناسب قابل اعمال به شبکه‌های عصبی و عصبی-فازی برای فرآیند شناسایی و پیش‌بینی کوره دوار سیمان با رنگ قرمز در نمودارها نشان داده شده است در صورتیکه در همین اشکال، داده‌های واقعی سیستم حاصل از کوره با رنگ آبی قابل رویت می‌باشد. بنابراین از نمودارهای حاصل شده مشهود است که پس از اعمال عملیات پیش پردازش داده‌ها، با انتخاب فیلتر پایین گذرا مناسب به همراه فرکانس قطع کارآمد، داده‌های متغیرهای ورودی و خروجی را ضمن حفظ حالت ماندگار، هموارتر شده که با حذف نویز در فرکانس‌های بالا، بدون تغییر شکل سیگنال‌های ورودی به شبکه‌های عصبی مورد نظر جهت فرآیند شناسایی و پیش‌بینی قابل اعمال می‌باشند. شکل‌های ۳ داده‌های فیلتر شده و داده‌های واقعی از متغیرهای ورودی را نشان می‌دهد.

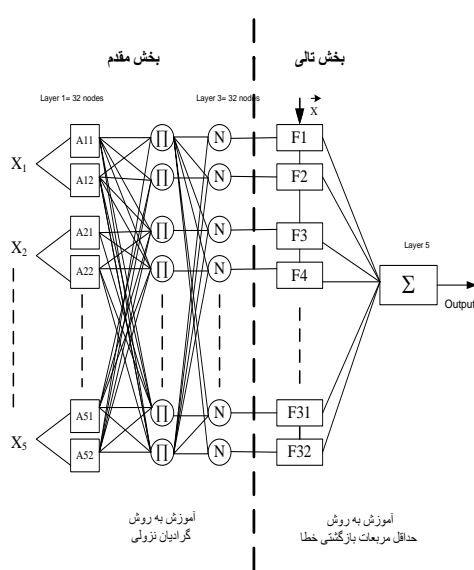


الف): متغیر خواراک ورودی کوره (Mat)



ب): متغیر سوخت مصرفی کوره (Fuel)





شکل ۵: ساختار شبکه عصبی - فازی تطبیقی ANFIS

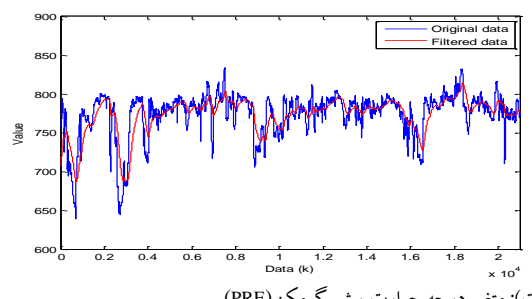
لایه‌های دوم تا پنجم، الگوریتم آموزش به شکل یک الگوریتم ترکیبی^۱ که شامل دو روش مختلف برای آموزش پارامترهای یادگیری می‌باشد، مورد استفاده قرار می‌گیرد. پارامترهای تابع تعلق برای یک تابع گوسی شامل: پارامتر انحراف از معیار تابع گوسی و مرکز دسته تابع گوسی می‌باشند. سیستم یادگیری ANFIS به این صورت است که چون رابطه پارامترهای لایه چهارم نهایی یک رابطه خطی است، بنابراین در تخمین آنها می‌توان از الگوریتم کمترین مربعات خطأ استفاده نمود و پارامترهای لایه اول نیز مطابق معمول شبکه‌های تطبیقی، از طریق پس انتشار خطأ و الگوریتم‌های گرادیان شبیب، قابل یادگیری هستند. همانطور که قبل تر در شکل (۵) نشان داده شده، در این نوع آموزش بخش مقدم، توسط روش گرادیان نزولی و بخش تالی، توسط روش حداقل مربعات خطأ آموزش داده می‌شوند. لازم به توضیح است که لایه‌های اول تا سوم در ساختار ANFIS بخش مقدم و لایه‌های چهارم و پنجم، بخش تالی نامیده می‌شوند.^[۱۰]

هدف، آموزش سیستم فازی $f(x)$ است به نحوی که خطای تطبیق زیر به حداقل سوق پیدا کند.

$$E_p = \frac{1}{2} [e_f]^2 \quad (۳)$$

اگر یک سیستم فازی به صورت (۴) فرض شود، هدف در آموزش به روش گرادیان نزولی برای بخش مقدم بدین معنی است که می‌بایست پارامترهای \bar{x}_i^i و σ_i^i تعیین شوند، به نحوی که E_p کمترین مقدار ممکن را داشته باشد.

پ): متغیر درجه حرارت عقب کوره (BE)



شکل ۶: داده‌های فیلتر شده و داده‌های واقعی شامل (الف الی ت) به ازای چهار متغیر خروجی

۴- روش توسعه یافته عصبی - فازی ANFIS

سیستم عصبی - فازی، سیستمی است که در آن از الگوریتم‌های آموزشی شبکه‌های عصبی برای تنظیم پارامترهای سیستم استنتاج فازی استفاده می‌شود. در این میان، شبکه‌های ANFIS با ترکیب منطق فازی و شبکه‌های عصبی، ابزاری قدرتمند برای شناسایی و پیش‌بینی بسیاری از سیستم‌های پیچیده هستند که کاربردهای مختلفی چون پیش‌بینی، بهینه‌سازی، تشخیص خطأ، کلاس بندی، شناسایی الگ، طراحی کنترل کننده-ها را دارا می‌باشند. مزیت بکارگیری این نوع از شبکه‌ها قدرت بسیار بالای آنها در تعیین کردن و تقریب زدن مدل غیرخطی مربوط به تابعی از متغیرهای ورودی و خروجی است که بواسطه تعدادی داده آموزشی ارائه شده است. شبکه ANFIS را می‌توان مجموعه‌ای از قوانین اگر - آنگاه به فرم زیر تعریف نمود [۱۱]:

$$\begin{aligned} & \text{اگر } A_n^i, x_1, x_2, A_1^i, x_n \text{ باشد،} \\ & F'(k) = \alpha'_0 + \alpha'_1 X_1 + \alpha'_2 X_2 + \dots + \alpha'_n X_n \end{aligned}$$

در این رابطه $i=1,2,\dots,n$ ورودی‌های شبکه، A مجموعه‌های فازی، $n=1,2,\dots,M$ تعداد قواعد فازی و y خروجی شبکه فازی می‌باشد. شکل (۵) ساختار شبکه ANFIS را به ازاء پنج ورودی و یک خروجی که برای هر ورودی دو تابع تعلق اختصاص داده شده است را نشان می‌دهد.

۴-۱- یادگیری شبکه عصبی - فازی ANFIS

الگوریتم آموزش در شبکه‌های ANFIS شامل آموزش پارامترهای که به آموزش نیاز دارند، عبارتند از پارامترهای تابع تعلق و نیز وزن‌های

^۱ Hybrid

در این مقاله هدف انجام شناسایی و پیش‌بینی وضعیت کوره دوار سیمان با استفاده از شبکه ANFIS می‌باشد. لازم به ذکر است اگرچه ویژگی‌های مناسب شبکه ANFIS این ساختار را به ساختاری مناسب برای طراحی خودکار سیستم فازی کوره دوار سیمان، تبدیل نموده است، این سیستم در کاربردهایی با ابعاد ورودی بالا بعلت محدودیت حافظه ایجاد شده قابل پیاده سازی نمی‌باشد. در این پژوهه تعداد متغیرهای ورودی برای حل مسئله ۱۵ متغیر ورودی می‌باشد که با در نظر گرفتن تنها دو تابع تعلق برای هر ورودی، تعداد کل قواعد فازی ایجاد شده برابر با $2^{15} = 32768$ قانون فازی خواهد بود که عملای هیچ سیستمی قادر به پیاده سازی این تعداد قانون و مدیریت ساختار شبکه نخواهد بود. (در این حالت تعداد پارامترهای آموزش پذیر برابر با ۵۲۳۴۸ پارامتر خواهد بود). بنابراین توسط یکی از روش‌های انتخاب ویژگی، تعداد ورودی‌های اعمالی به سیستم کاهش داده می‌شود، که برای رسیدن به هدف انتخاب زیر مجموعه‌ای مناسب از داده‌های ورودی با کمترین تعداد ویژگی و بیشترین بازده شناسایی، در این پژوهه از الگوریتم ژنتیک استفاده شده است که در بخش بعدی به اختصار مورد بررسی قرار گرفته است.

۲-۴- انتخاب ورودی‌های ویژه با استفاده از الگوریتم ژنتیک

یکی از روش‌های انتخاب ویژگی، استفاده از الگوریتم ژنتیک می‌باشد^[۱۲]. در این روش بعد فضای ورودی به عنوان طول رشته کروموزوم در نظر گرفته می‌شود. برای ساختن جمعیت اولیه ابتدا به صورت تصادفی به هر ژن مقادیر صفر و یک نسبت داده می‌شود. شکل (۷) یک نمونه از کروموزوم های مورد استفاده در انتخاب ویژگی در الگوریتم ژنتیک را نشان می‌دهد.



شکل ۷- یک نمونه از کروموزوم های مورد استفاده در انتخاب ویژگی در الگوریتم ژنتیک

در این ساختار مقادیر ژن‌ها به صورت بازی بوده، بطوریکه صفر برای ژنی در نظر گرفته می‌شود که می‌باید حذف شود و در صورتی که یک ویژگی انتخاب شود، عدد یک به آن ژن نسبت داده می‌شود. شماره‌های منتصب به ژن‌های دارای مقادیر یک، که در ذخیره Index می‌شوند، نشان دهنده شماره ویژگی انتخاب شده در فرآیند انتخاب ورودی‌ها به کمک الگوریتم ژنتیک می‌باشند که از میان تعداد ۱۵ ویژگی کلی انتخاب شده است [۱۲] و [۱۳]. از همین رو در این پژوهه از الگوریتم ژنتیک به منظور انتخاب ورودی‌های مناسب و برخورد با مساله رشد تعداد قوانین در سیستم‌های فازی استفاده شده است.

$$f(x) = \frac{\sum_{l=1}^M F^l \left(\prod_{i=1}^n \exp \left(-\left(\frac{x_i - \bar{x}_i^l}{\sigma_i^l} \right)^2 \right) \right)}{\sum_{l=1}^M \left[\prod_{i=1}^n \exp \left(-\left(\frac{x_i - \bar{x}_i^l}{\sigma_i^l} \right)^2 \right) \right]} \quad (4)$$

که M تعداد قواعد فازی و $i=1, 2, \dots, n$ تعداد ورودی‌های فازی می‌باشد.

برای تعیین میانگین تابع گوسین، \bar{x}_i^l ، مطابق زیر عمل می‌شود:

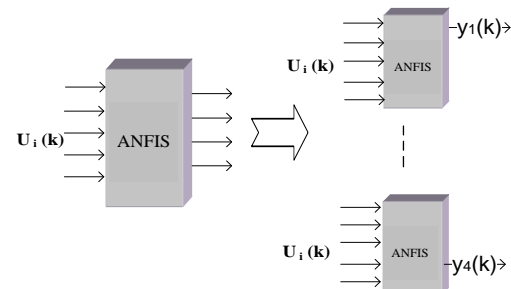
$$\bar{x}_i^l(k+1) = \bar{x}_i^l(k) - \eta \frac{\partial E}{\partial \bar{x}_i^l} \quad (5)$$

$k=0, 1, 2, \dots$ گام آموزش و η یک عدد ثابت بوده که طول گام را مشخص می‌کند. به همین ترتیب انحراف معیار تابع گوسین، σ_i^l ، بدست می‌آید:

$$\sigma_i^l(k+1) = \sigma_i^l(k) - \eta \frac{\partial E}{\partial \sigma_i^l} \quad (6)$$

سیستم‌های فازی سیستم‌هایی می‌باشند که داشت هستند که قابلیت مدل سازی مسائل با استفاده از قواعد اگر-آنگاه فازی را دارند. در مسائل با زیاد شدن تعداد ورودی‌های سیستم فازی امکان پذیر نبوده و می‌باشد رشد پیدا کرده، بنابراین طراحی خودکار سیستم عصبی حرکت کرد. شبکه ANFIS یکی از روش‌های طراحی خودکار سیستم فازی و حصول قواعد فازی بر اساس داده‌های آموزشی می‌باشد.

شناسایی کوره دوار سیمان با متغیرهای ارائه شده، شناسایی یک سیستم پنج ورودی و چهار خروجی می‌باشد. ولی با توجه به اینکه شناسایی یک سیستم چند ورودی-چند خروجی^۱ کاری دشوار است و علاوه بر آن جواب‌های بقدام قبول نمی‌باشد، عمل شناسایی سیستم مطابق شکل (۶) به صورت چند سیستم چند ورودی- تک خروجی^۲ در نظر گرفته شده است. مدل بدست آمده تا آنچا که می‌شود باید رفتاری نزدیک تر به رفتار فرآیند داشته باشد. کیفیت مدل‌سازی توسط بدست آوردن یک تابع خطأ که بین ۰ و ۱ می‌باشد، سنجیده می‌شود که این خطأ برای تنظیم کردن پارامترهای مدل استفاده می‌شود.

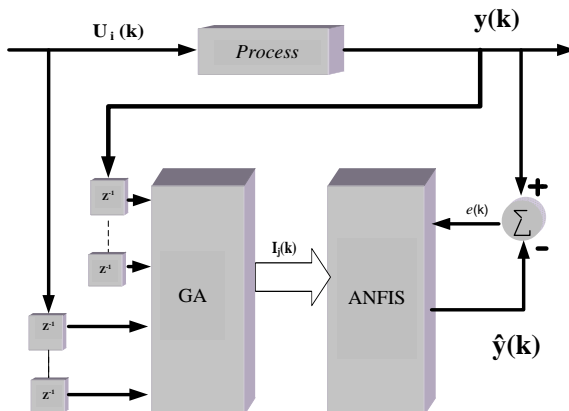


شکل ۸- تبدیل شبکه شناسایی چند ورودی-چند خروجی به شبکه چند ورودی- تک خروجی

¹ Multi Input Multi Output(MIMO)

² Multi Input Single Output(MISO)

کروموزوم می‌باشد و بنابراین اهمیت توابع f_2 و f_1 (توسط ضرب) تعادل هر کدام تعیین می‌شود.



شکل ۸: بلوک دیاگرام فرآیند شناسایی با استفاده از شبکه عصبی-فازی ANFIS به همراه انتخاب ورودی‌های ویژه بوسیله الگوریتم ژنتیک

جدول (۴) پارامترهای اصلی در الگوریتم ژنتیک استفاده شده را، در فرآیند شناسایی کوره دوار سیمان با استفاده از شبکه ANFIS به همراه انتخاب ورودی‌ها بوسیله الگوریتم ژنتیک، نمایش می‌دهد. قابل ذکر است که در هر چرخه اجرای الگوریتم ژنتیک، کلیه کروموزوم‌های موجود در جمعیت بررسی شده و بهترین نتایج حاصل به عنوان جمعیت جدید برای نسل بعدی انتخاب می‌شوند. در پایان بهترین کروموزوم موجود به عنوان ترکیب از ورودی‌های منتخب گزینش شده و بهترین شبکه نیز ساختار ANFIS متناظر با این دسته از ورودی‌ها می‌باشد.

جدول ۴: پارامترهای استفاده شده در الگوریتم ژنتیک در شناسایی با ANFIS

نام پارامتر	اختصار	مقدار پارامتر
اندازه جمعیت	Pop_Size	۱۲
تعداد تکرار	Max_Gen	۲۰
نرخ برش ^۱	Pc	۰.۵
نرخ جهش ^۲	Pm	۰.۱
وزن	W ₁	۱
وزن	W ₂	۱۰ ^۳
تعداد ویژگی انتخاب شده	N	۵

در روش مطرح شده در استفاده از الگوریتم ژنتیک، برای انتخاب ورودی در ساختار عصبی، محدودیت تعداد متغیرهای انتخاب شده وجود نداشت و از تعداد ۱ تا ۱۵ متغیر ورودی توانایی انتخاب شدن داشتند. اما در سیستم فازی ANFIS با توجه به رشد تعداد قواعد، تعداد ویژگی‌های انتخاب شده می‌باید در یک حد قابل قبول محدود شده تا مشکل رشد نمایی تعداد قواعد و پارامترهای شبکه ایجاد نشود. از همین رو تعداد ویژگی‌های انتخاب شده برای هر حالت مستقل بصورت آزمون و خطا برابر با ۵ در نظر گرفته شده است و برای هر عدد قوانین برابر با ۳۲ مدل نظر قرار گرفته است. در این حالت، حداکثر تعداد قوانین برابر با ۲۱۲ قانون فازی خواهد بود و کل پارامترهای آموزش پذیر پارامتر شامل مراکز دسته، واریانس و پارامترهای بخش تالی خواهد بود. در این حالت ساختار شبکه فازی ایجاد شده کوچک بوده و ضمن حفظ کارایی، قابلیت حفظ دو مقوله تفسیر پذیری و شفافیت را نیز خواهد داشت. به منظور تغییر دادن ساختار ورودی‌های شبکه ANFIS، از الگوریتم ژنتیک استفاده شده، در اولین گام از اجرای الگوریتم و تولید مجموعه پاسخهای تصادفی اولیه، بر روی تک تک کروموزوم‌ها بررسی انجام شده و در کروموزوم‌هایی که تعداد ویژگی‌های انتخاب شده بیش از پنج ویژگی می‌باشد تعدادی را به تصادف صفر کرده تا حداکثر تعداد ویژگی‌ها برابر با پنج شود. این امر بصورت کنترل شده، به منظور جلوگیری از صفر شدن تعداد ویژگی‌های انتخاب شده انجام می‌شود. تعداد ورودی‌های در نظر گرفته شده برای هر سیستم فازی برابر با تعداد ویژگی‌های انتخاب شده می‌باشند. در ادامه و به منظور ارزیابی هر کروموزوم موجود در جمعیت، تعداد دو تابع هدف متفاوت در نظر گرفته می‌شود. اولین تابع هدف (f_1)، خطای شناسایی سیستم کوره دوار سیمان است و دومین تابع هدف تعداد ویژگی‌های استفاده شده در هر کروموزوم (f_2) می‌باشد. در این حالت نیز هدف به دست آوردن بهترین شناسایی با کمترین تعداد ویژگی (در اینجا حداکثر ۵ ویژگی) می‌باشد تا بدین ترتیب علاوه بر حفظ سادگی مدل، قابلیت آن در پیش‌بینی فعالیت کوره سیمان نیز حفظ شود. شکل (۸) بلوک دیاگرام استفاده از الگوریتم ژنتیک به منظور انتخاب ویژگی برای شناسایی ANFIS را نشان می‌دهد. در این شکل، در بخش الگوریتم ژنتیک علاوه بر انجام عملیات برش، جهش و انتخاب که به صورت روال عادی انجام می‌شود، یک بخش کنترل بر روی تعداد ویژگی در جهت اصلاح کروموزوم‌هایی با تعداد ویژگی بیش از پنج نیز وجود دارد. در این حالت به منظور تبدیل مسئله فوق به یک مسئله قابل حل توسط الگوریتم ژنتیک، تابع برازش به فرم زیر تعریف می‌شود:

$$\text{تابع برازنده} = W_1 f_1 + W_2 f_2 \quad (7)$$

که در رابطه فوق وزن‌های W_1 و W_2 به منظور ایجاد تعادل میان خطای حاصل از شناسایی و تعداد ویژگی‌های انتخاب شده در هر

^۱ Crossover Rate

^۲ Mutation Rate

۵- نتایج شبیه سازی

ب) خروجی دوم MISO₂ گاز مونوکسید کربن تولید شده در کوره (CO)

Pred.h (min)	1	5	10	15
MLP	2.08E-02	8.04E-01	3.80E-01	1.27E+01
GA + MLP	7.73E-02	5.57E-01	1.88E-01	7.11E-01
GA +ANFIS	2.03E-03	3.49E-03	2.81E-03	2.41E-03

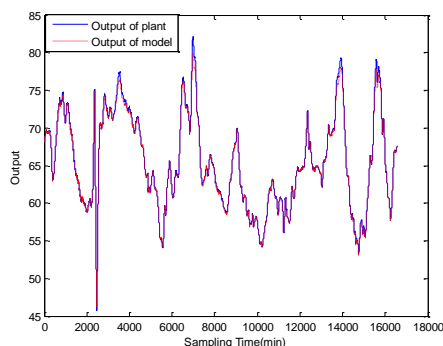
پ) خروجی سوم MISO₃ درجه حرارت عقب کوره (BE)

Pred.h (min)	1	5	10	15
MLP	1.57E-01	2.96E+00	4.62E+00	2.75E+01
GA + MLP	5.41E-01	2.61E+00	1.89E+00	1.03E+01
ANFIS+GA	3.92E+01	6.10E+00	6.35E+01	2.00E+01

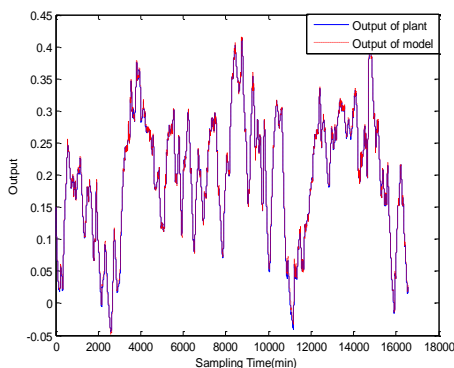
ت) خروجی چهارم MISO₄ درجه حرارت پیش گرم کن (Pre)

Pred.h (min)	1	5	10	15
MLP	3.30E-01	6.13E-01	2.57E+00	1.72E+01
GA + MLP	9.79E-01	4.70E-02	3.66E+00	2.08E+00
GA +ANFIS	7.25E-01	7.55E-01	8.25E-01	1.00E+00

در ادامه، نمودارهای ترسیم شده در شکل (۹) خروجی ناشی از افق پیش‌بینی ۵ دقیقه جلوتر را به ترتیب برای خروجی‌های اول تا چهارم کوره دوار سیمان در شکل‌های (الف الی ت) با استفاده از ساختار عصبی- فازی ANFIS به همراه انتخاب کننده ویژگی ژنتیک نمایش می‌دهد.



الف) خروجی اول MISO₁ جریان کشی کوره (KA)



ب) خروجی دوم MISO₂ گاز مونوکسید کربن تولید شده در کوره (CO)

در این بخش نتایج شبیه سازی‌های خروجی‌های کوره دوار سیمان، برای چهار مدل MISO₁ الی MISO₄ که به ترتیب نشان دهنده خروجی‌های جریان کشی کوره، مونوکسید کربن تولید شده در کوره، درجه حرارت عقب کوره و درجه حرارت پیش گرم کن می‌باشد، گزارش شده است. نتایج ارائه شده، حاصل اجرای مدل‌های مطرح شده با استفاده از ساختار شبکه عصبی MLP و همچنین استفاده از الگوریتم ژنتیک به منظور انتخاب ویژگی‌های موثر همراه با استفاده از دو ساختار شبکه عصبی MLP و ساختار عصبی- فازی ANFIS می‌باشد. برای انجام این شبیه سازی‌ها، داده‌های آموزش را برابر هفته اول نمونه برداری و ۳۰٪ از هفته دوم در نظر گرفته شده است و از مابقی داده‌های باقی‌مانده به عنوان داده آزمون مورد استفاده قرار گرفته است. لازم به یادآوری است که اطلاعات ورودی به دو بخش آموزش و آزمون تقسیم می‌شوند و سپس شبکه با داده‌های آموزش، آموزش داده شده و در مرحله نهایی با داده‌های آزمون خروجی شبکه بدست می‌آید.

در این شبیه سازی‌ها، در ساختار عصبی- فازی ANFIS، با توجه به رابطه بین شده در (۷) و با توجه به اینکه از داده‌های نرمال شده استفاده شده است، به منظور ایجاد توازن مناسب میان خطای ناشی از شناسایی و تعداد ویژگی‌های انتخابی، وزن مربوط به تابع هدف خطای شناسایی (W_2)، به میزان 10^{-2} در نظر گرفته شده است. همچنین قابل ذکر است که وزن W_1 بر اساس نوع خروجی مورد بررسی و بازه خطای تولید شده در هر مساله به صورت متفاوت و به صورت تجربی در نظر گرفته شده است. در جدول (۵) (الف الی ت)، خطای MSE^۱ برای داده‌های آزمون که بیانگر دقیقت نتایج حاصل برای شناسایی و پیش‌بینی خروجی‌های کوره دوار سیمان، با استفاده از داده‌های آزمون در سه روش متفاوت که به تفکیک در ردیف‌ها مشهود است، گزارش شده است. در جداول ارائه داده شده، منظور از Pred.h افق پیش‌بینی در نظر گرفته شده بر حسب دقیقه می‌باشد. در این جداول، چهار افق، ۱، ۵، ۱۰، ۱۵ دقیقه عنوان نمونه‌هایی از افق‌های پیش‌بینی مورد بررسی قرار گرفته است.

جدول ۵: خطای MSE برای داده‌های آزمون برای خروجی‌های اول تا چهارم GA+ANFIS، GA+MLP، MLP

الف) خروجی اول MISO₁ جریان کشی کوره (KA)

Pred.h (min)	1	5	10	15
MLP	2.68E-01	1.21E+00	3.64E+00	2.17E+01
GA + MLP	1.66E-01	7.92E-01	4.96E-01	7.08E-01
GA +ANFIS	2.25E-01	1.06E+00	3.17E-01	4.29E-01

^۱ Mean Square Error

انتخاب ورودی‌ها با الگوریتم ژنتیک، تنها با انتخاب ۵ ویژگی در هر کروموزوم از ورودی‌ها بر اساس آنچه در بخش ۴-۲ بیان شد، به عمل شناسایی و پیش‌بینی وضعیت کوره دوار سیمان گزارش شده است.

جدول ۶: اسمای ورودی‌های اعمال شده همراه با شماره اندیس مربوطه

اندیس	توضیح
۱	ورودی مقدار خوراک ورودی به کوره همراه با تأخیر خالص سیستم
۲	ورودی ذکر شده در اندیس (۱) با یک گام تأخیر
۳	ورودی سوخت مصرفی کوره همراه با تأخیر خالص سیستم
۴	ورودی ذکر شده در اندیس (۳) با یک گام تأخیر
۵	ورودی دور کوره همراه با تأخیر خالص سیستم
۶	ورودی ذکر شده در اندیس (۵) با یک گام تأخیر
۷	ورودی دور فن کوره همراه با تأخیر خالص سیستم
۸	ورودی ذکر شده در اندیس (۷) با یک گام تأخیر
۹	ورودی فشار هوای ورودی به کوره همراه با تأخیر خالص سیستم
۱۰	ورودی ذکر شده در اندیس (۹) با یک گام تأخیر
۱۱	خروجی واقعی سیستم با یک گام تأخیر
۱۲	خروجی واقعی سیستم با دو گام تأخیر
۱۳	خروجی واقعی سیستم با سه گام تأخیر
۱۴	خروجی واقعی سیستم با چهار گام تأخیر
۱۵	خروجی واقعی سیستم با پنج گام تأخیر

جدول ۷: اندیس‌های انتخاب شده توسط الگوریتم ژنتیک با استفاده از دو روش شبکه عصبی و سیستم عصبی-فازی برای خروجی‌های اول تا چهارم کوره دوار سیمان

(الف) خروجی اول MISO₁ جریان کشی کوره (KA)

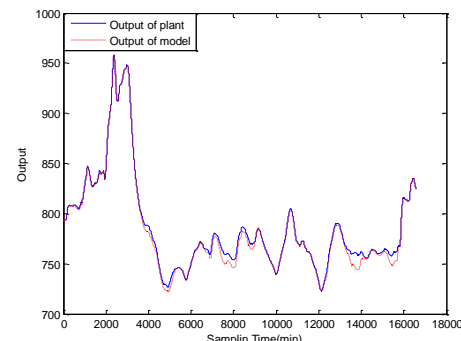
Pred.h (min)	1	5	10	15
GA + MLP	1, 2, 7, 8, 9, 10, 11	1, 5, 7, 8, 11, 12	3, 4, 6, 7, 9, 13	2, 3, 5, 7, 8, 9, 12
GA + ANFIS	6, 11, 12, 13	3, 5, 6, 11, 12	4, 5, 8, 11, 13	3, 5, 7, 11, 12

(ب) خروجی دوم MISO₂ گاز مونوکسید کربن تولید شده در کوره (CO)

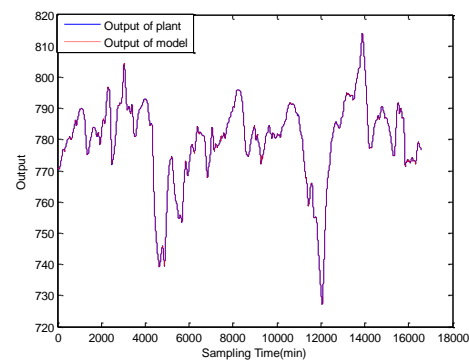
Pred.h (min)	1	5	10	15
GA + MLP	1, 6, 8, 10, 11, 12	1, 3, 6, 8, 11, 12, 13	1, 5, 7, 8, 10, 11, 14	1, 2, 5, 7, 8, 10, 14
GA + ANFIS	1, 2, 11, 12	1, 2, 5, 11, 12	1, 2, 11, 12, 14	1, 2, 4, 11, 12

(پ) خروجی سوم MISO₃ درجه حرارت عقب کوره (BE)

Pred.h (min)	1	5	10	15
GA + MLP	2, 3, 5, 6, 7, 9, 12, 13	3, 5, 6, 8, 9, 11, 13	1, 2, 3, 4, 5, 9, 11, 13	1, 5, 7, 10, 11, 12, 13
GA + ANFIS	7, 8, 11, 13	7, 9, 11, 13	4, 6, 9, 11, 13	4, 8, 10, 11, 12



پ) خروجی سوم MISO₃ درجه حرارت عقب کوره (BE)



ت) خروجی چهارم MISO₄ درجه حرارت پیش گرم کن (Pre)

شکل ۹: عملکرد سیستم عصبی-فازی برای داده‌های آزمون برای خروجی‌های اول تا چهارم کوره دوار سیمان در دو مین افق پیش‌بینی برابر ۵ دقیقه در هر یک از شبیه‌سازی‌های انجام شده، ورودی‌های اعمالی که ویژگی‌های انتخاب شده توسط الگوریتم ژنتیک می‌باشند به ترتیب شامل: ورودی‌های واقعی سیستم کوره دوار سیمان همراه با تأخیر خالص سیستم، دینامیک ورودی‌های واقعی سیستم با یک گام تأخیر و در نهایت خروجی‌های واقعی سیستم تا ۵ گام عقب‌تر می‌باشند که در مجموع تعداد ۱۵ متغیر ورودی را تشکیل داده که اسامی این متغیرهای با شماره اندیس مربوطه در جدول (۶) نمایش داده شده است. نتایج حاصل از پیاده‌سازی الگوریتم ژنتیک به منظور انتخاب زیر مجموعه مناسبی از ویژگی‌های موثر برای دو روش شبکه عصبی و سیستم عصبی-فازی برای خروجی‌های اول تا چهارم کوره دوار سیمان به ترتیب در جدول (۷) (الف الی ت) نشان داده شده است که اندیس‌های نامبرده بر اساس موارد مطرح شده در جدول (۶) ارائه شده‌اند. لازم به ذکر است که تأخیر خالص ورودی‌ها بر هر یک از خروجی‌های مورد نظر بر حسب دقیقه، در جدول (۳) آورده شده است. در این حالت الگوریتم ژنتیک به منظور انتخاب زیر مجموعه ای مناسب از ورودی‌ها با کمترین تعداد ویژگی و بیشترین بازده شناسایی برای داده‌های آزمون، مورد استفاده قرار می‌دهیم. در استفاده از الگوریتم ژنتیک برای انتخاب ورودی‌های مناسب در ساختار عصبی محدودیت تعداد متغیرهای انتخاب شده وجود نداشت و از تعداد ۱ تا ۱۵ متغیر ورودی توأم‌بای انتخاب شدن داشتند، در حالیکه نتایج شبیه‌سازی خروجی‌های کوره دوار سیمان با استفاده از ساختار ANFIS به همراه

نخستین مراتب اهمیت در صنعت قرار داشته است. یکی از اهمیت‌های بسیار زیاد نتایج برگرفته از این پژوهش، کاربردهای متفاوت روش‌های عصبی و عصبی- فازی به جهت پیش‌بینی، شیوه-سازی و شناسایی سیستم- های پیچیده در صنعت است.

به منظور شناسایی این فرآیند، زمان نمونه برداری مناسب، برطرف کردن نویز، نرمالیزه کردن داده‌ها و تخمین تأخیر ورودی‌ها امری ضروری است. از طرف دیگر بدون انتخاب پارامترهای مناسب و مؤثر شناسایی خوبی روی سیستم صورت نخواهد پذیرفت. بعد از انجام عملیات پیش- پردازش روی داده‌ها و بدست آوردن داده‌های غنی شده، شواهد برآمده از این پژوهش نشان دهنده رفتار مناسبی بین داده‌های بدست آمده از داده‌های واقعی ضبط شده در کوره سیمان می‌باشد. در این نوشتار برای تعیین اثر روش عصبی- فازی بعنوان روشی شناخته شده برای مدل‌سازی فازی، یک سیستم استنتاج فازی با توبولوژی ANFIS مورد استفاده قرار گرفت. با توجه به مسئله رشد نمایی تعداد قوانین در سیستم فازی، تعداد متغیرهای انتخابی را به پنج متغیر محدود نمودیم و در نهایت توانستیم با وجود محدود بودن تعداد ورودی‌ها، شناساگر کارآمدی برای شناسایی فرآیند کوره دوار سیمان که از مدل‌های دنیای واقعی با درجه پیچیدگی بالا می‌باشد را با توانایی انعطاف پذیری مناسب ایجاد نماییم. علاوه بر اینکه خروجی حاصل از مدل، خروجی سیستم واقعی را به خوبی ردیابی می‌کند، توانسته با حداقل تعداد ممکن و قوانین فازی موجود شناسایی و پیش‌بینی مناسبی را در چهار افق پیش‌بینی ۱۰، ۵، ۱ و ۱۵ ادقیقه جلوتر داشته باشیم که این امر برای کنترل و طراحی کنترل کننده‌ها امری ضروری و مفید است.

در هر حال روش‌های ارائه شده و بکار رفته در این پژوهش ممکن است قابلیت استفاده در شناساگر های دیگری در سیستم‌های غیر خطی دینامیکی مشابه و مهم در صنعت مانند کوره رنگ و غیره قابل اعمال باشد.

مراجع

- [1] م. عزیزان، "تکنولوژی پخت سیمان" ، چاپ سوم، شرکت مهندسی و قطعات سیمان ایران .۱۳۸۵
- [2] K. Pazand, M. Shariat Panahi and M. Pourabdoli, "Simulating the mechanical behavior of rotary cement kiln using artificial neural networks", Elsevier Ltd. Material and Design, Vol.30, pp. 3486-3473, 2009.
- [3] K. S. Stadler, J. Poland and E. Galleste, "Model predictive Control of a rotary cement kiln", Elsevier Ltd. Control Engineering practice, 2010.
- [4] G. Noshirvani, A. Fatahi, B. N. Araabi and M. Azizi, "Comparison of Rotary Cement Kiln Identified Models", Proceedind of the IEEE International Conference on Control and Automation, pp. 1290-1295, 2009.

ت) خروجی چهارم MISO₄ درجه حرارت پیش گرم کن (Pre)

Pred.h (min)	1	5	10	15
GA + MLP	1, 2, 6, 9, 10, 12, 13	2, 7, 8, 9, 11, 12	1, 2, 4, 7, 9, 10, 11, 12, 13	1, 2, 3, 4, 5, 6, 7, 8, 9, 12, 15
	5, 7, 11 12	4, 6, 11, 12, 15	4, 6, 11, 12, 15	4, 6, 11, 12, 15
GA +ANFIS				

با توجه به نتایج فوق قابل مشاهده است، شناسایی‌های انجام گرفته در افق‌های پیش‌بینی مختلف و برای ورودی‌های متفاوت کوره دوار سیمان، از نظر تعداد ویژگی انتخاب شده، نوع ویژگی و خطای حاصل با یکدیگر متفاوت می‌باشد که این مساله به علت رویه متفاوت در نظر گرفته شده برای انتخاب ویژگی‌ها با استفاده از روش‌های مختلف می-باشند. همچنین مشاهده می‌شود که تعداد ورودی‌های موثر انتخاب شده در هر شیوه سازی با افق پیش‌بینی متناظر دارای یک روند منطقی بین تعداد ورودی‌های ویژه انتخاب شده و افق‌های متفاوت پیش‌بینی دیده وجود داشته که با افزایش افق پیش‌بینی تعداد متغیرهای ورودی نیز عموماً افزایش پیدا می‌کنند.

در پایان بر اساس موارد نشان داده شده در جداول نتایج و شکل‌های خروجی، کاملاً مشهود است که نتایج حاصل به واسطه استفاده از ساختار شبکه عصبی- فازی ANFIS به همراه روش انتخاب ویژگی ژنتیک به لحاظ تعداد پارامترهای انتخابی و نیز نتایج حاصل دارای برتری بالای نسبت به دو روش استفاده از ساختار عصبی MLP می‌باشد، به نحوی که روش مطرح شده قابلیت مناسبی در پیش‌بینی عملکرد کوره دوار سیمان داشته و با توجه به تعداد کم متغیرهای ورودی انتخاب شده، موجب افزایش پیچیدگی سیستم فازی نشده و سیستم حاصل از دو مقوله شفافیت و تفسیر پذیری مناسب به سبب تعداد کم قوانین فازی برخوردار می‌باشد. همچنین نتایج حاصل گواه بر این امر می‌باشند که مدل پیشنهادی توانسته است بطور شایسته‌ای خروجی‌های واقعی فرآیند را تا افق پیش‌بینی ۱۵ دقیقه جلوتر به درستی تعقیب کند.

۶- نتیجه گیری

در این نوشتار شناسایی و پیش‌بینی، فرآیند کوره دوار سیمان بعنوان یک سیستم پیچیده غیرخطی مغایر با زمان تحقیق و بررسی قرار گرفت. همانطور که اشاره شد استفاده از مجموعه کلی متغیرهای ورودی سبب و پیچیدگی فراوان ساختاری و حافظه شبکه عصبی- فازی و ایجاد پارامترهای زیادی خواهد شد که این امر سبب می‌شود تا پیاده سازی ساختار عصبی- فازی غیرممکن بنظر می‌رسد. لذا در این پژوهش با استفاده از الگوریتم ژنتیک و انجام مجموعه‌ای از پیش‌پردازش‌های مناسب به روش قابل قبولی برای شناسایی و پیش‌بینی دست یافتیم. بر اساس الگوریتم ژنتیک ورودی‌های موثر در هر مدل را از میان ورودی‌های مناسب انتخاب نمودیم که این روش باعث کاهش تعداد ورودی‌ها و همچنین کاهش ساختار شبکه عصبی- فازی گردید که در نتیجه باعث کاهش تعداد قوانین فازی شد. شناسایی چنین سیستم‌هایی همیشه در

- [11] J. R. Jang, "ANFIS: Adaptive Network based Fuzzy Interface System," IEEE Tran. System, Man and Cybernetics, Vol. 23, No. 3,1993, pp. 665-685,1993.
- [12] Ho-Duck Kim, Chang-Hyun Park, Hyun-Chang Yang, and Kwee-Bo Sim, "Genetic Algorithm Based Feature Selection Method Development for Pattern Recognition," in SICE-ICASE International Joint Conference,2006.
- [13] Z. Sun, G. Bebis and R. Miller, "Object Detection Using Feature Selection," Elsevier Ltd. Pattern Recognition, Vol. 37,pp. 2165-2176, 2004.
- [14] A. Fatemimoghadam, "Identification and prediction of a cement rotary Klin using fuzzy neural networks mid feature selection by Genetic Algorithm", MSc Thesis (in persian), Science and researches branch of Isfahan Azad University, Tehran, Iran, 2010.
- [15] www.wikipedia.com
- [5] M. Fallahpour, A. Fatehi, B.N. Araabi and M. Azizi, "A Neuro-Fuzzy Controller for Rotary Cement kiln," the 17th World Congress the International Federation of Automatic Control, Seoul, Korea, July 6-11, 2008.
- [6] I. Makaremi , A. Fatehi and B.N. Araabi, "Lipschitz Numbers: A Medium for Delay Estimation," 17th IFAC World Congress, Seoul, Korea, July 6-11, 2008.
- [7] Nelles. Nonlinear System Identification. Springer publication, 2000.
- [8] M. Fallahpour, A. Fatahi, B. N. Araabi and M. Azizi, "Identification of Rotary Cement Kiln by Neural Networks", Proceedind of the 8th Conference on Intelligent Systems(CIS), Mashhad, Iran, 2007.
- [9] L. Ljung, " System Identification Theory for the Users", 2nd Edition, Prentice-Hall,1999.
- [10] I. Makaremi , A. Fatehi and B.N. Araabi, "Abnormal condition detection in cement rotary kiln with system identification methods", Elsevier Ltd. Journal of Process Control, Vol 19, pp. 1538-1545, 2009.



روش جدید حل مسئله سنتز μ با استفاده از الگوریتم بهینه سازی اجتماع پرندگان

علی لاری^۱، علیرضا خسروی^۲

^۱ دانشجوی کارشناسی ارشد مهندسی برق، گروه کنترل، دانشگاه صنعتی نوشیروانی بابل، ir.a.lari@stu.nit.ac.ir

^۲ استادیار، دانشکده مهندسی برق، گروه کنترل، دانشگاه صنعتی نوشیروانی بابل، ir.akhosravi@nit.ac.ir

(تاریخ دریافت مقاله ۱۳۹۰/۳/۱۰، تاریخ پذیرش مقاله ۱۳۹۰/۶/۲۶)

چکیده: طراحی کنترل کننده به روش سنتز μ ، مسئله ای است که بدلیل مشکلات موجود در محاسبه مقادیر ویژه ساختار یافته هنوز به طور کامل حل نشده است. رایج ترین روش حل مسئله سنتز μ تکرار D-K نام دارد. با وجود آنکه این روش، حل کامل مسئله سنتز μ نیست ولی کنترل کننده های بدست آمده از آن به لحاظ معیارهای پایداری و عملکرد از قویترین روش های کنترل مقاوم هستند. از سوی دیگر بالا بودن درجه کنترل کننده، مهمترین اشکال روش تکرار D-K است. در این مقاله از یک الگوریتم بهینه سازی سیر تکاملی به نام الگوریتم بهینه سازی اجتماع پرندگان، به منظور طراحی یک کنترل کننده مقاوم استفاده شده است. هدف آنستکه حلی برای مسئله سنتز μ پیدا شود که در میزان پایداری و عملکرد مقاوم، نسبت به کنترل کننده هم درجه کاهش یافته) بدست آمده از روش تکرار D-K، وضعیت بهتری داشته باشد. به منظور ارزیابی الگوریتم پیشنهادی، از آن برای طراحی کنترل کننده یک سیستم محرک جرم-فر-میراگر استفاده می شود. نتایج شیوه سازی مولید آنستکه کنترل کننده های بدست آمده با این روش از نظر پایداری و عملکرد مقاوم سیستم حلقه بسته بسیار کاراتر از کنترل کننده های تکرار D-K هم درجه هستند.

کلمات کلیدی: کنترل مقاوم، سنتز μ ، مقادیر ویژه ساختار یافته، الگوریتم اجتماع پرندگان

A New Solution for μ Synthesis Problem Using Particle Swarm Optimization Algorithm

Ali Lari, Alireza Khosravi

Abstract: The μ synthesis problem has not been completely solved, and this is attributed to existing challenges and issues in calculation of the structure singular value. The most common solution for μ Synthesis problem is called D-K Iteration. Even though this specific method is not the complete solution for the μ Synthesis, but the controllers obtained through this method have proven to be one of the most complete forms of robust control technique, based on robust stability and performance. One of the major disadvantages with the D-K Iteration is a high order controller. In this paper an evolutionary algorithm called PSO has been used to design a robust controller. The main objective is to find a solution for μ Synthesis that can better improve the robust stability and performance compared to same order (reduced order) controller obtained through D-K Iteration. To evaluate the proposed algorithm, it has been used on the mass-spring-damper benchmark system. The simulation results from the proposed algorithm show that this method has a more robust stability and performance for closed loop systems than the same order controllers obtained through D-K Iteration.

Keywords: robust control, μ synthesis, structured singular value, particle swarm optimization algorithm.

گیرند. به دلایل ذکر شده، برای کنترل کننده های مرتبه بالا ناگزیر به استفاده از روش های کاهش مرتبه می باشیم تا کنترل کننده های با خواص مشابه اما با درجه پایین تر بددست آوریم [۲]. این عمل سبب می شود تا بعضی از اهداف طراحی تعییف شود و یا حتی از دست برود برای حل این مشکل، این مقاله روشنی بر اساس الگوریتم های سیر تکاملی ارائه نموده است.

بطور کلی کاربرد الگوریتم های سیر تکاملی در دهه اخیر در زمینه کنترل بسیار افزایش یافته است. تنوع این کاربردها را می توان در طراحی یک کنترل کننده ساده مانند PID [۳] تا کنترل کننده های با ساختار پیچیده تر [۴] مشاهده کرد. این الگوریتم ها در روش های کنترل مقاوم نیز به کار گرفته شده اند و بعضی نتایج بسیار مطلوبی حاصل شده است [۵، ۶، ۷، ۸، ۹]. بدلیل آنکه در این رویکرد، مرتبه کنترل کننده توسط طراح مشخص می شود به کاهش مرتبه کنترل کننده نیازی نمی باشد.

الگوریتم اجتماع پرندگان یکی از الگوریتم های سیر تکاملی است که در ابتدا توسط کنندی و ابرهارت ارائه شد [۱۰]. این الگوریتم یک الگوریتم بهینه سازی جمعیت محور است که از رفتار اجتماعی و حرکت دسته جمعی پرندگان الهام گرفته شده است. الگوریتم اجتماع پرندگان به لحاظ همگرایی یک الگوریتم سریع است و پیاده سازی عملی آن به دلیل جستجوی جهت دار و محاسبات ساده، آسان می باشد [۱۱، ۱۲]. الگوریتم های بهینه سازی سیر تکاملی نسبت به انواع الگوریتم های بهینه سازی سنتی سه ویژگی مهم دارند. اول اینکه آنها به حدس اولیه وابسته نیستند. دوم آنکه به علت آنکه ماهیت تصادفی دارند در تله های محلی گیر نمی کنند و سوم آنکه در آنها نیازی به محاسبه گرادیان تابع هزینه نداریم [۱۳]. الگوریتم سیر تکاملی که در این مقاله مورد استفاده قرار گرفته است الگوریتم اجتماع پرندگان است.

در این مقاله روشنی بر اساس الگوریتم های سیر تکاملی ارائه شده است تا در حل مسئله سنتز Π مورد استفاده قرار گیرد. در این روش مسئله سنتز Π به یک مسئله مینیمم سازی مبتنی تبدیل می شود که قید آن شرط پایداری است و عملکرد مقاوم سیستم حلقه بسته، تابع معیاری است که بدنبل مینیمم سازی آن هستیم. در این مسئله بهینه سازی، میزان پایداری و عملکرد مقاوم با معیار Π سنجیده می شود. روش ارائه شده به لحاظ نظری بسیار ساده تر از روش تکرار D-K است. این روش، کوچکترین کنترل کننده به لحاظ مرتبه را بدست می آورد که در شرایط پایداری و عملکرد مقاوم صدق کند. بنابراین نیازی به کاهش مرتبه کنترل کننده ندارد.

به منظور ارزیابی الگوریتم پیشنهادی، از آن برای طراحی کنترل کننده یک سیستم محک جرم-فر-میراگر استفاده می شود. علت انتخاب این سیستم این است که بسیاری از سیستمهای دنیا واقعی را می توان با این سیستم مدل کرد. نتایج شیوه سازی موید آنستکه الگوریتم پیشنهادی به لحاظ معیارهای پایداری و عملکرد مقاوم از کنترل کننده هم درجه (کاهش مرتبه یافته) حاصله از روش تکرار D-K شرایط به مراتب

-۱- مقدمه

برای بدست آوردن مقادیر ویژه ساختار یافته Π یک ماتریس، لازم است تا ساختار ماتریس عدم قطعیت مرتبط با آن را بدانیم. Π یک ماتریس در واقع کوچکترین (بر حسب بزرگترین مقدار منفرد) عدم قطعیتی را محاسبه می کند که سبب ناپایداری آن می شود. اگر ساختار ماتریس عدم قطعیت را قطری بلوکی در نظر بگیریم، می توان بلوک های عدم قطعیت را به دو دسته بلوک های کامل و بلوک های اسکالر تقسیم کرد. بدست آوردن مقادیر ویژه ساختار یافته یک ماتریس با توجه به نحوه مدلسازی عدم قطعیت، مسئله ای است که هنوز به طور کامل حل نشده است. البته قضایایی وجود دارند که می توان از آنها برای محاسبه حدود بالا و پایین Π استفاده کرد. بر طبق این قضایا، حد بالای Π تنها برای ساختارهای عدم قطعیتی که جمع وزن دار بلوک های اسکالر و کامل آنها از حد معینی بالاتر نزود، با مقدار Π ماتریس برابر می شود. در صورتیکه حد پایین برای همه ساختارهای عدم قطعیت، با مقدار Π ماتریس برابر می شود. لازم بذکر است مسئله محاسبه حد پایین Π ، بدلیل داشتن ماکریم های محلی زیاد به سختی قابل حل است.

در کنترل مقاوم از مقادیر ویژه ساختار یافته به عنوان معیاری برای بررسی پایداری و عملکرد مقاوم یک سیستم حلقه بسته استفاده می شود. طراحی کنترل کننده با استفاده از این معیار مسئله سنتز Π نامیده می شود. در حقیقت مسئله سنتز Π هنوز به طور کامل حل نشده است [۱]. البته روشی به نام تکرار D-K وجود دارد که از آن برای حل مسئله سنتز Π استفاده می شود. کنترل کننده طراحی شده با این روش، پایداری و عملکرد سیستم حلقه بسته را بر اساس معیار Π تضمین می کند. روش تکرار D-K بهترین عملکرد مقاوم سیستم حلقه بسته را که متناظر با مینیمم سازی معیار عملکرد Π می باشد با استفاده از کنترل کننده پایدارساز K و ماتریس مقیاس شده D بدست می آورد. این روش مسئله مینیمم سازی را در دو حالت مختلف انجام می دهد. در حالت اول مینیمم سازی روی ماتریس D انجام می شود و کنترل کننده K ثابت نگه داشته می شود. در حالت دیگر مینیمم سازی روی کنترل کننده K انجام می شود و ماتریس D ثابت نگه داشته می شود. در این روش مقادیر ویژه ساختار یافته با استفاده از حد بالای Π محاسبه می شوند. با توجه به آنچه که در مورد محاسبه حد بالای Π بیان شد می توان تیجه گرفت که روش تکرار D-K حل دقیق مسئله سنتز Π نیست. با این وجود کنترل کننده های بدست آمده از روش تکرار D-K به لحاظ معیارهای پایداری و عملکرد از قویترین روش های در کنترل مقاوم هستند. این مطلب انگیزه را برای بدست آوردن جواب های بهتر برای مسئله سنتز Π تقویت می کند.

روش تکرار D-K مانند غالب روش های کنترل مقاوم، با مشکل بالا بودن درجه کنترل کننده مواجه است. کنترل کننده های با درجه بالا هر چند که معیارهای پایداری و عملکرد سیستم حلقه بسته را به شکل بهتری برآورده می سازند ولی بعلت بالا بردن درجه پیچیدگی سیستم حلقه بسته و مشکلات موجود در ساخت، کمتر به لحاظ عملی مورد توجه قرار می

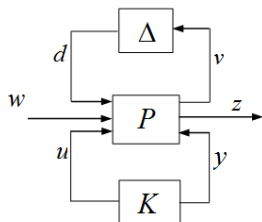
قضیه ۲: حد پایین m در معادله (۳)، به ازای تمام ساختارهای ماتریس، عدم قطعیت با مقدار m ماتریس، برابر است.

$$\max_{U \subseteq \Delta} \rho(MU) = \mu_\Delta(M) \quad (1)$$

مشکل استفاده از حد پایین برای محاسبه \bar{m} این است که این مسئله بهینه سازی معمولاً ماکریم های محلی زیادی دارد. بنابراین احتمال همگرایی این مسئله کم است. بطور کلی محاسبه حد بالا \bar{m} از محاسبه حد پایین ساده تر است [11]. مشکل استفاده از حد بالا \bar{m} این است که برخلاف حد پایین، این حد تنها زمانی که تعداد بلوک های عدم قطعیت سکالر تکراری (S) و بلوک های کامل (F) طبق ساختار معادله (1) در رابطه $3 \leq S + F$ صدق کنند با مقدار \bar{m} ماتریس، برای می شود.

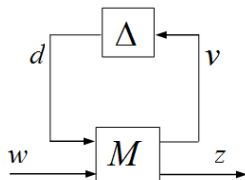
۱-۲- میررسی پایداری و عملکرد سیستم حلقه یسته بیز

هر سیستم شامل عدم قطعیت حلقه بسته را می توان به صورت ساختار شکل ۱ در آورد. در این شکل Δ ماتریس عدم قطعیت است، P ماتریس تابع تبدیل حلقه باز نامی است و K کنترل کننده است. همچنین w ورودیهای خارجی مانند سیگنالهای مرجع، اغتشاش و نویز را نشان می دهد، z نشان دهنده خروجی خطأ است که معمولاً شامل خطای ردیابی، خروجی تنظیم کننده و غیره می شود، سیگنالهای v و d هم بترتیب سیگنالهای خروجی و ورودی عدم قطعیت های دینامیک سیستم هستند.



شکل ۱: ساختار کلی مورد استفاده در سیستم های شامل عدم قطعیت
 شکل ۲ ساختار کلی نشان داده شده در شکل قبلی را به طور ساده-
 تری نمایش می دهد. در این شکل ماتریس M از طریق رابطه

$$M(P, K) = F_i(P, K)$$
 به ماتریس P و K در شکل ۱ ارتباط پیدا
 می کند. در این رابطه $F_i(P, K)$ تبدیل کسری خطی پایه‌نی می باشد.



شکل ۲: ساختار ساده شده

می توان ماتریس M را طبق رابطه (V) تقسیم بندی کرد. در این تقسیم بندی ماتریس M_{II} جهت بررسی پایداری مقاوم و ماتریس M جهت بررسی عملکرد مقاوم سیستم حلقه بسته مورد استفاده قرار می گیرد.

بهتری دارد. حتی در بعضی موارد کنترل کننده مرتبه پایین بسته آمده از روش پیشنهادی نتایج مطلوب تری از کنترل کننده تکرار K-D مرتبه بالا نشان می دهد.

ادامه این مقاله به ترتیب زیر سازماندهی شده است: بخش دوم به بیان شکل کلی مسئله سنتز I_a می پردازد. در بخش سوم الگوریتم اجتماع پرنزدگان در پیدا کردن حلی برای مسئله سنتز I_a در بخش چهارم مورد بررسی قرار گرفته است. در بخش پنجم نتایج شبیه سازیها ارائه شده است و سرانجام نتیجه گیری در بخش ۶ بیان شده است.

۲- تعریف مسئله سنتز

برای تعریف مسئله سترلما باید در ابتدا به مرور مفاهیم مقادیر ویژه ساختار یافته و ماتریس عدم قطعیت پیردازیم. ماتریس عدم قطعیت $\Delta^{n \times n} \in \mathbb{C}$ به صورت زیر تعریف می‌شود:

$$\Delta = \left\{ diag \left[\delta_1 I_{r1}, \dots, \delta_s I_{rs}, \Delta_1, \dots, \Delta_F \right], \quad \delta_i \in \mathbb{C}, \Delta_j \in \mathbb{C}^{m_j \times m_j} \right\} \quad (1)$$

همانگونه که مشاهده می شود ماتریس عدم قطعیت Δ یک ماتریس قطری بلوکی است که در آن دو نوع بلوک عدم قطعیت وجود دارد:
 بلوک اسکالر تکاری δ و بلوک کامل γ . مقادیر ویژه ساختار یافته
 مابراز ماتریس M و ماتریس عدم قطعیت Δ به صورت زیر تعریف می
 شود [۱].

$$\mu_{\Delta}(M) := \frac{1}{\min\{\bar{\sigma}(\Delta) : \Delta \in \Delta, \det(I - M\Delta) = 0\}} \quad (\dagger)$$

در صورتیکه هیچ مقداری از $\Delta \in \Delta$ ، $I - M\Delta$ را منفرد نسازد آنگاه $\mu_\Delta(M) := 0$

در ادامه، فضایی ۱ و ۲ مهمترین فضایایی هستند که در بدست آوردن حدود بالا و پایین ممکن استفاده قرار می‌گیرند.

قضیه ۱: می‌توان حد بالا و حد پایینی طبق نامساوی زیر برای m در نقطه \bar{x} قافت.

$$\max_{U \in \mathbb{U}} \rho(MU) \leq \mu_\Delta(M) \leq \inf_{D \in \mathbb{D}} \bar{\sigma}(DMD^{-1}) \quad (\mathfrak{P})$$

در نامساوی ۳، $\bar{\sigma}$ بزرگترین مقدار منفرد و ρ ، بزرگترین اندازه را در میان مقادیر ویژه ماتریس محاسبه می کند (شعاع طیفی). همچنین در این رابطه داریم:

$$U = \left\{ U \in \Delta : UU^* = I_n \right\} \quad (\mathfrak{f})$$

$$\mathbf{D} = \begin{cases} diag\left[D_1, \dots, D_S, d_1 I_{m_1}, \dots, d_{F-1} I_{m_{F-1}}, I_{m_F}\right] : \\ D_i \in \mathbb{C}^{r_i \times r_i}, D_i = D_i^* > 0, d_i \in \mathbb{R}, d_i > 0 \end{cases} \quad (5)$$

در اینجا هم بدون از دست دادن کلیت مسئله، فرض می کنیم که عدم قطعیت ها نرمالیزه اند. با این فرض، ساختار استاندارد شکل ۴ پایدار مقاوم است اگر $\mu_{\tilde{\Delta}}(M(s)) < 1$ (یا $\|M\|_{\mu} < 1$).

طراحی کنترل کننده با استفاده از معیارهای پایداری و عملکرد مقاوم ذکر شده، مسئله سنتز M نام دارد. رایج ترین روش حل مسئله سنتز M تکرار D-K نام دارد. کنترل کننده طراحی شده با این روش، پایداری و عملکرد سیستم حلقه بسته را بر اساس معیار مل تمضیمن می کند. مبنای محاسبه در این روش حد بالا و بر اساس قضیه ۱ می باشد. روش تکرار D-K با یک الگوریتم تکرار مینیمم معادله زیر را محاسبه می کند. این معادله مربوط به عملکرد مقاوم سیستم حلقه بسته است.

$$\inf_{K(s)} \sup_{w \in \mathbb{R}} \mu_{\tilde{\Delta}}[M(P, K)(jw)] \quad (11)$$

این روش بر اساس حل مسئله بهینه سازی رابطه (۱۲) است. در این رابطه مسئله بهینه سازی برای کنترل کننده پایدارساز K و ماتریس مقیاس شده قطعی و ثابت D انجام می شود.

$$\inf_{K(s)} \sup_{w \in \mathbb{R}} \inf_{D \in \mathbf{D}} \bar{\sigma}[DM(P, K)D^{-1}(jw)] \quad (12)$$

در این معادله مجموعه ماتریس مقیاس شده D در رابطه (۵) تعریف شده است. دلیل استفاده از این رابطه، با توجه به قضیه ۱ و حد بالای رابطه (۳) واضح می باشد. روش تکرار D-K مسئله مینیمم سازی در رابطه فوق را برای دو حالت مختلف انجام می دهد. در حالت اول حداقل سازی روی K انجام می شود و در حالت دیگر حداقل سازی روی D انجام می شود و ماتریس D ثابت نگه داشته می شود. با توجه به آنچه در مورد حد بالای M بیان شد می توان گفت که روش تکرار D-K بهترین حل مسئله سنتز M نیست. با این وجود کنترل کننده های بدست آمده از روش تکرار D-K به لحاظ معیارهای پایداری و عملکرد از قویترین روشها کنترل مقاوم هستند. این مطلب انگیزه را برای بدست آوردن جواب های بهتر برای حل مسئله سنتز M تقویت می کند.

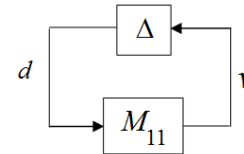
مهمترین اشکال در روش تکرار D-K بالا بودن درجه کنترل کننده است. بنابراین برای کنترل کننده مرتبه بالای بدست آمده ناگزیر هستیم تا از روشها کاهش مرتبه استفاده کنیم تا کنترل کننده هایی با خواص مشابه اما با درجه پایین تر بدست آوریم. این عمل سبب می شود تا بعضی از اهداف طراحی تضعیف شود و یا حتی از دست برود. در این مقاله روش ارائه می شود که مسئله سنتز M را با کنترل کننده های مرتبه پایین حل می کند و نیازی به کاهش مرتبه کنترل کننده ندارد.

۳- الگوریتم اجتماع پرندگان

الگوریتم اجتماع پرندگان الگوریتمی است که بر اساس رفتار اجتماعی پرندگان بنا نهاده شده است. این الگوریتم توسط کندی و ابرهارت ارائه شد [۱۰]. در الگوریتم اجتماع پرندگان هر پرندگانه ای در میان جمعیت یک ذره نام دارد. این ذره باید در طول مسیری که طی می

$$\begin{bmatrix} v \\ z \end{bmatrix} = \underbrace{\begin{bmatrix} M_{11} & M_{12} \\ M_{21} & M_{22} \end{bmatrix}}_M \begin{bmatrix} d \\ w \end{bmatrix} \quad (7)$$

با توجه به رابطه فوق ساختار مورد استفاده در بررسی پایداری سیستم حلقه بسته بر حسب معیار M در شکل ۳ نشان داده شده است.

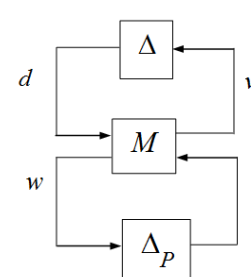


شکل ۳: ساختار استاندارد جهت تست پایداری مقاوم

چنانچه M_{11} ماتریس تابع تبدیل حلقه بسته باشد که با توجه به مجموعه عدم قطعیت Δ شکل داده شده است، مقادیر ویژه ساختار یافته $M_{11}(s)$ در رابطه زیر نشان دهنده پایداری مقاوم سیستم حلقه بسته است. این رابطه نتیجه ای از کاربرد قضیه بهره کوچک می باشد.

$$\mu_{\Delta}(M_{11}(s)) := \sup_{w \in \mathbb{R}} \mu_{\Delta}(M_{11}(jw)) \quad (8)$$

بدون از دست دادن کلیت مسئله، فرض می کنیم که عدم قطعیت ها نرمالیزه شده اند. با این فرض می توان گفت: ساختار استاندارد شکل ۳ پایدار مقاوم است اگر $\mu_{\Delta}(M_{11}(s))$ پایدار باشد و $\mu_{\Delta}(M_{11}(s)) < 1$ (یا $\|M_{11}\|_{\mu} < 1$).



شکل ۴: ساختار استاندارد جهت تست عملکرد مقاوم

ضعیف سیگنال خروجی z نسبت به سیگنال ورودی w را می توان به عنوان عملکرد مقاوم تغییر کرد. اگر عملکرد مقاوم را، با توجه به ساختار شکل ۴ مورد بررسی قرار دهیم، عملکرد مقاوم، معادل مسئله پایداری مقاوم شکل ۲ است با این تفاوت که ماتریس عدم قطعیت Δ باید با ماتریس عدم قطعیت $\tilde{\Delta}$ در رابطه (۹) جایگزین شود. به این ترتیب مقادیر ویژه ساختار یافته ماتریس M با عدم قطعیت $\tilde{\Delta}$ در رابطه (۱۰) نشان دهنده عملکرد سیستم حلقه بسته است.

$$\begin{aligned} \tilde{\Delta} \in \tilde{\Delta} &:= \left\{ diag \left\{ \Delta, \Delta_P \right\} : \Delta \in B\Delta, \|\Delta_P\|_{\infty} \leq 1 \right\} \\ B\Delta &= \left\{ \Delta \in \Delta : \bar{\sigma}(\Delta) \leq 1 \right\} \end{aligned} \quad (9)$$

$$\mu_{\tilde{\Delta}}[M(s)] := \sup_{w \in \mathbb{R}} \mu_{\tilde{\Delta}}(M(jw)) \quad (10)$$

۴-کاربرد الگوریتم اجتماع پرندگان در حل مسئله سترنگ

برای استفاده از الگوریتم اجتماع پرندگان در حل مسئله سترنگ، در ابتدا بایستی این مسئله را به شکل یک مسئله بهینه سازی در آورید. برای این کار مسئله سترنگ را با توجه به ساختاری که در بخش ۲ معرفی شد به شکل رابطه (۱۷) می نویسیم.

$$\min_{K(s)} \|M(s)\|_\mu \quad (17)$$

such that: $\|M_{11}(s)\|_\mu < 1$

به این ترتیب مسئله سترنگ به یک مسئله بهینه سازی مقید تبدیل می شود که قید آن پایداری بر حسب معیار μ می باشد. مبنای محاسبه نرم M در معادله ۱۷ مانند روش D-K حد بالای آن می باشد. برای حل این مسئله، درجه کنترل کننده را از یک شروع می کنیم و تا زمانیکه به کنترل کننده با مشخصات مطلوب برسیم درجه آن را یک واحد یک واحد افزایش می دهیم. شکل کلی کنترل کننده از مرتبه n را به صورت زیر انتخاب می کنیم.

$$\frac{b_n s^n + b_{n-1} s^{n-1} + \dots + b_0}{s^n + a_{n-1} s^{n-1} + \dots + a_0} \quad (18)$$

به این ترتیب پارامترهای مجهول به صورت بردار $[a_{n-1}, \dots, a_0, b_n, \dots, b_0]$ در می آیند.

الگوریتم پیشنهادی دارای مراحل زیر می باشد:

گام اول: درجه کنترل کننده را ۱ انتخاب کنید.

گام دوم: ضرایب تابع تبدیل کنترل کننده را مطابق رابطه (۱۸) به عنوان ذرات در نظر بگیرید.

گام سوم: پارامترهای الگوریتم اجتماع پرندگان مانند جمعیت ذرات، مقدار اولیه و نهایی پارامترهای W, C_1, C_2 ، محدودیت در فضای جستجو، محدودیت در سرعت ذرات و تعداد دفعات تکرار الگوریتم را تعیین کنید.

گام چهارم: یک جمعیت اولیه از ذرات که در قید پایداری مسئله صدق می کنند بدست آورید.

گام پنجم: تابع هزینه که همان عملکرد سیستم حلقه بسته طبق معیار μ است را برای این ذرات بدست آورید و P_{id} و P_{gd} را تعیین کنید.

گام ششم: مکان ذرات و سرعت آنها را طبق معادلات (۱۳) و (۱۴) بروز کنید. البته در این مرحله باید قیدهای موجود در محدوده فضای جستجو و سرعت ذرات را بر روی سرعت ها و مکان های بدست آمده اعمال کنیم.

کند همواره بهترین حلی که خودش بدست آورده و بهترین حلی که جمعیت بدست آورده را در ذهن داشته باشد. هر ذره با حرکت در فضای جستجو اطلاعاتش را با ذرات دیگر از طریق معادلات (۱۳) و (۱۴) متبادل می کند.

$$V_{id} = wV_{id} + c_1 r_1 (P_{id} - X_{id}) + c_2 r_2 (P_{gd} - X_{id}) \quad (13)$$

$$X_{id} = X_{id} + V_{id}, \quad \text{for } d=1,2,\dots,N \quad i=1,2,\dots,S \quad (14)$$

در این معادلات X_{id} مکان فعلی ذره، P_{id} بهترین تجربه شخصی ذره و P_{gd} بهترین تجربه دسبته ذرات است. C_1 و C_2 پارامترهای فردی و اجتماعی هستند و ضرایب شتاب نامیده می شوند، r_1 و r_2 اعداد تصادفی بین ۰ و ۱ هستند و w وزن اینرسی است که جهت متعادل کردن قابلیت های جستجوی محلی و کلی استفاده می شود. یک وزن اینرسی بزرگ امکان جستجوی کلی را فراهم می کند در حالیکه یک وزن اینرسی کوچک امکان جستجوی محلی را ممکن می سازد. در یک مطالعه تجربی روی الگوریتم اجتماع پرندگان [۱۵] شی و ابرهارت ادعا کردند که یک وزن اینرسی که بصورت خطی کاهش پیدا می کند می تواند قابلیت جستجوی محلی را، نسبت به حالتی که وزن اینرسی ثابت باشد، بهبود بخشد. بنابراین یک تابع وزن اینرسی را می توان به صورت رابطه (۱۵) نشان داد.

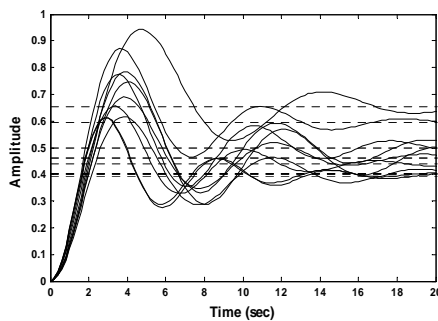
$$w = (iter_{max} - iter_{cur}) \cdot \left(\frac{w_{initial} - w_{final}}{iter_{max}} \right) + w_{final} \quad (15)$$

در این معادله $w_{initial}$ و w_{final} بترتیب مقادیر وزن اینرسی را در ابتدا و انتهای الگوریتم نشان می دهند، $iter_{max}$ تعداد تکرار الگوریتم و $iter_{cur}$ تکراری است که الگوریتم در حال حاضر در آن قرار دارد. هر ترتیب، ممکن است به خاطر استفاده از وزن اینرسی کاهشی خطی، قابلیت جستجوی کلی در انتهای اجرای برنامه مناسب نباشد. این مسئله سبب می شود که در مسائل بهینه سازی پیچیده، امکان دسترسی به جواب مناسب فراهم نشود. این مشکل را می توان با اعمال ضرایب شتاب متغیر حل کرد. سوگاتنان در [۱۶] از الگوریتم بهینه سازی استفاده کرد که در آن ضرایب شتاب به صورت خطی با افزایش تعداد تکرار کاهش پیدا می کردند. اما این روش نسبت به ضرایب شتاب ثابت جواب بهینه تری را رائمه نمی دهد. رانتاورا در [۱۷] همگرایی ذرات به سمت می نیم کلی را با انتخاب ضریب C_1 به صورت یک تابع کاهشی از شماره تکرار الگوریتم و ضریب C_2 به صورت تابع افزایشی از تکرار الگوریتم، بهبود بخشد. در این صورت ضرایب شتاب به صورت زیر قابل بیان هستند.

$$C_1 = C_{1s} + iter_{cur} (C_{1e} - C_{1s}) / iter_{max} \quad (16)$$

$$C_2 = C_{2s} + iter_{cur} (C_{2e} - C_{2s}) / iter_{max}$$

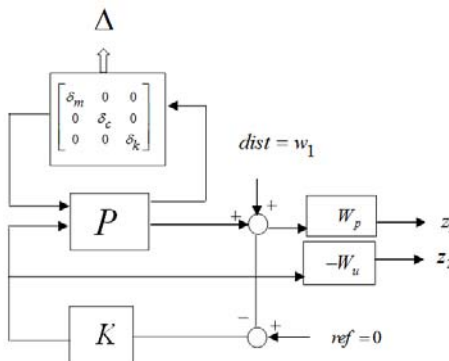
در معادله فوق C_{1s} و C_{1e} مقادیر اولیه تابع C_1 و C_2 و C_{2e} هستند و مقادیر نهایی این توابع را نشان می دهند.



شکل ۶: پاسخ پله سیستم جرم-فر-میراگر برای مقادیر مختلف پارامترها ساختار استاندارد سیستم جرم-فر-میراگر جهت طراحی کنترل کننده مقاوم در شکل ۷ نشان داده شده است. برای جزئیات بیشتر می‌توان به [۱۴] مراجعه کرد. تابع وزنی W_p و W_u جهت برآوردن نیازهای عملکردی سیستم حلقه بسته در فرکانس‌های مختلف استفاده شده است.

$$\frac{s^2 + 1/8s + 10}{s + 8s + 10} \quad \text{به صورت تابع تبدیل } W_p(s) = 0.95$$

شده است. این تابع تبدیل جدا از یک تضییف اختلال خوب، یک پاسخ گذرای خوب (زمان نشست کمتر از ۱۰ ثانیه و بالا زدگی کمتر از ۲۰ درصد برای سیستم نامی) را تضمین می‌کند. همچنین تابع وزنی کنترل W_u به صورت اسکالر $= 10^{-3}$ انتخاب شده است. ماتریس Δ ماتریس عدم قطعیت سیستم است و K کنترل کننده است.



شکل ۷: ساختار استاندارد سیستم جرم-فر-میراگر جهت طراحی کنترل کننده مقاوم

همچنین ماتریس P به صورت رابطه (۲۰) می‌باشد.

$$P = \begin{bmatrix} A & B_1 & B_2 \\ C_1 & D_{11} & D_{12} \\ C_2 & D_{21} & D_{22} \end{bmatrix} \quad (20)$$

که در آن داریم:

گام هفتم: امتحان کنید که آیا ذرات جدید در قید پایداری مسئله صدق می‌کنند یا نه. چنانچه در قید پایداری صدق نمی‌کردن از مکان قبلی ذره استفاده کنید.

گام هشتم: تابع هزینه ذرات جدید را بدست آورید و P_{id} و P_{gd} مربوط به آنها را محاسبه کنید.

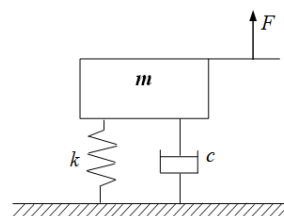
گام نهم: تا زمانیکه تعداد تکرارها به پایان نرسیده است به گام ششم بازگردید. در صورتیکه تعداد تکرارها به پایان رسید به مرحله بعدی بروید.

گام دهم: چنانچه حداقل مقدار $\|M\|$ که همان عدد همگرایی الگوریتم است کمتر از ۱ بود به مرحله بعد می‌رویم. در غیر این صورت درجه کنترل کننده را یک واحد اضافه می‌کیم و به گام دوم می‌رویم.

گام یازدهم: ضرائب مربوط به عدد همگرا شده الگوریتم، کنترل کننده‌ای را مشخص می‌کند که جوابی برای مسئله ستتر می‌باشد.

۵- سیستم جرم-فر-میراگر شامل عدم قطعیت

به منظور ارزیابی روش ارائه شده، از آن به منظور طراحی کنترل کننده برای یک سیستم جرم-فر-میراگر استفاده می‌شود. سیستم جرم-فر-میراگر در شکل ۵ نشان داده است. در یک سیستم واقعی سه پارامتر فیزیکی این سیستم یعنی جرم m ، ثابت c و ثابت k به طور دقیق شناخته شده نیستند. به هر ترتیب می‌توان فرض کرد که مقادیر آنها در بازه‌های مشخصی قرار دارد.



شکل ۵: سیستم جرم-فر-میراگر

برای مثال مورد بررسی این مقاله که در [۱۴] آمده است داریم:

$$m = \bar{m}(1 + p_m \delta_m), c = \bar{c}(1 + p_c \delta_c), k = \bar{k}(1 + p_k \delta_k) \quad (19)$$

که در آن $\bar{m} = 3$ ، $\bar{c} = 1$ و $\bar{k} = 2$ مقادیر نامی پارامترهای هستند. همچنین $p_k = 0/3$ ، $p_c = 0/4$ و $p_m = 0/2$. میزان عدم قطعیت در پارامترهای سیستم را نشان می‌دهند. پاسخ پله این سیستم برای مقادیر مختلف پارامترهای دینامیک سیستم در شکل ۶ نشان داده شده است.

کنیم. کنترل کننده مرتبه ۴ کوچکترین کنترل کننده به لحاظ مرتبه است که معیارهای پایداری و عملکرد m را برآورده می‌کند. این دو کنترل کننده در جدول ۲ مورد بررسی قرار گرفته‌اند.

جدول ۲: بررسی کنترل کننده‌های تکرار D-K و تکرار D-K کاهش مرتبه یافته

معیار عملکرد m	معیار پایداری m	روش
.۹۶۴۷	.۴۶۲۹	کنترل کننده تکرار D-K از مرتبه ۲۰
.۹۷۰۹	.۴۶۴۴	کنترل کننده تکرار D-K (مرتبه کاهش یافته) از مرتبه ۴

روش ارائه شده در این مقاله منجر به بدست آمدن کنترل کننده‌ای از مرتبه دوم می‌شود اما به منظور بررسی کاملتر، کنترل کننده‌های بدست آمده از روش تکرار D-K که مرتبه آنها به ۱، ۲ و ۳ کاهش یافته است را با کنترل کننده‌های بدست آمده از روش پیشنهادی مقایسه می‌کنیم. جدول ۳ این مقایسه را برای تمامی این کنترل کننده‌ها به همراه کنترل کننده‌های جدول ۲ انجام می‌دهد.

جدول ۳: مقایسه کنترل کننده‌های کاهش مرتبه یافته روش تکرار D-K و روش پیشنهادی

معیار عملکرد m	معیار پایداری m	تابع تبدیل	نوع کنترل-کننده
.۸۱۰۲	.۹۴۱۵	$\frac{1/71S + 0/02}{S}$	مرتبه ۱ پیشنهادی
بینهایت	بینهایت	$\frac{1/94S + 3/31}{S}$	مرتبه ۱ تکرار D-K
.۹۷۵۵	.۴۰۱۴	$\frac{22/17S^2 + 15/51S + 12/33}{S^2 + 2/08S}$	مرتبه ۲ پیشنهادی
.۹۱۵۸	.۵۴۵۶	$\frac{-14/24S^2 + 1927S + 341/2}{S^2 + 10/4S + 0/13}$	مرتبه ۲ تکرار D-K
.۹۶۴۶	.۴۰۰۴	$\frac{16/71S^2 + 25/00S^2 + 14/04S + 8/60}{S^2 + 2/8S^2 + 1/71S}$	مرتبه ۳ پیشنهادی
.۰۰۲۱	.۴۷۹۴	$\frac{-1/44S^2 + 449/25S^2 + 459/9S + 266/5}{S^2 + 13/37S^2 + 87/79S + 0/10}$	مرتبه ۳ تکرار D-K
.۹۷۰۹	.۴۶۴۴	تابع تبدیل از مرتبه ۴	مرتبه ۴ تکرار D-K
.۹۶۴۷	.۴۶۲۹	تابع تبدیل از مرتبه ۲۰	مرتبه ۲۰ تکرار D-K

$$A = \begin{bmatrix} 0 & 1 \\ -\frac{\bar{k}}{m} & -\frac{\bar{c}}{m} \end{bmatrix}, C_1 = \begin{bmatrix} -\frac{\bar{k}}{m} & -\frac{\bar{c}}{m} \\ 0 & \bar{c} \\ \bar{k} & 0 \end{bmatrix}$$

$$B_1 = \begin{bmatrix} 0 & 0 & 0 \\ -p_m & -\frac{p_c}{m} & -\frac{p_k}{m} \end{bmatrix}, B_2 = \begin{bmatrix} 0 \\ 1 \\ m \end{bmatrix}$$

$$D_{11} = \begin{bmatrix} -p_m & -\frac{p_c}{m} & -\frac{p_k}{m} \\ 0 & 0 & 0 \\ 0 & 0 & 0 \end{bmatrix}, D_{12} = \begin{bmatrix} 1 \\ m \\ 0 \end{bmatrix}$$

با توجه به این ساختارها و طبق مطلب بخش ۲ براحتی می‌توان معیارهای پایداری و عملکرد را بدست آورد.

۶- نتایج شبیه سازی

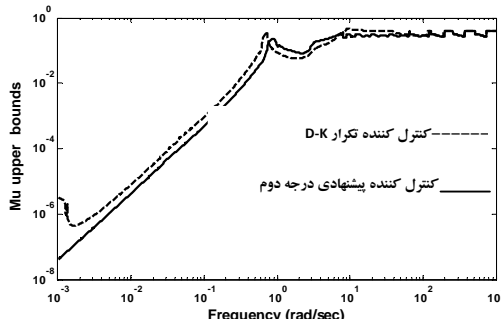
برای بررسی کارایی روش پیشنهادی در حل مسئله سترنر m ، از آن به منظور طراحی کنترل کننده مقاوم برای سیستم جرم-فر-میراگر استفاده می‌کنیم. مشخصات این سیستم شامل عدم قطعیت در بخش قبلی Quad2Core توصیف شد. نتایج شبیه سازی بوسیله کامپیوتری با Cpu با فرکانس 2.66GHz و حافظه 1GB RAM (R2010b) بدست آمده است. زمان متوسط محاسباتی هر اجرای برنامه حدود ۶۰۰ ثانیه می‌باشد. جدول ۱ پارامترهای مورد استفاده در الگوریتم اجتماع پرنده‌گان و مقادیر آنها را نشان می‌دهد.

جدول ۱: پارامترهای مورد استفاده در الگوریتم اجتماع پرنده‌گان و مقادیر آنها

پارامتر	مقدار پارامتر الگوریتم	مقدار پارامتر	پارامتر الگوریتم
.۴	w_{final}	.۴۰	جمعیت ذرات
.۵	C_{le}	.۱۲۰	تعداد ذرات
.۰۵	C_{ls}	[.۰ ۳۰]	محدوده ذرات
.۰۵	C_{2e}	[.۰ .۰۳]	محدوده سرعت
.۰۵	C_{2s}	.۱	$w_{initial}$

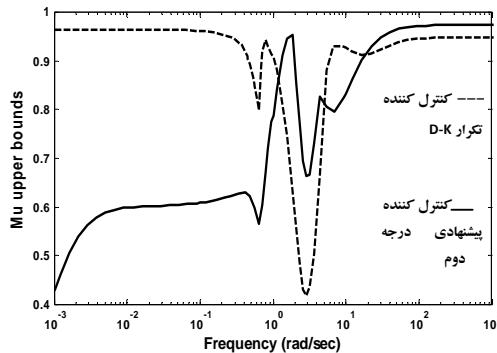
۶-۱- نگاهی کلی به نتایج الگوریتم پیشنهادی در مقایسه با روش تکرار D-K

کنترل کننده بدست آمده از روش تکرار D-K، کنترل کننده‌ای از مرتبه ۲۰ می‌باشد. درجه این کنترل کننده بسیار بالا می‌باشد لذا با روش‌های کاهش مرتبه، آن را به کنترل کننده‌ای از مرتبه ۴ تبدیل می‌



شکل ۹: مقایسه معیار پایداری کنترل کننده تکرار D-K مرتبه ۲۰ و کنترل کننده مرتبه دوم پیشنهادی

از شکل ۹ می‌توان دریافت که دریبیتر بازه فرکانسی کنترل کننده پیشنهادی نسبت به کنترل کننده تکرار D-K به لحاظ پایداری مقاوم تراست. شکل ۱۰ به مقایسه عملکرد مقاوم این دو کنترل کننده می‌پردازد. همانطوریکه از این شکل مشاهده می‌شود در بسیاری از بازه‌های فرکانسی، عملکرد کنترل کننده مرتبه دوم از کنترل کننده تکرار D-K مقاوم تر است.

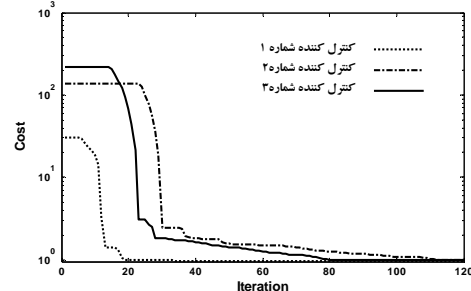


شکل ۱۰: مقایسه معیار پایداری کنترل کننده تکرار D-K مرتبه ۲۰ و کنترل کننده مرتبه دوم پیشنهادی

۶-۳- بررسی نتایج در حوزه زمان

در این بخش به تحلیل سیستم‌های حلقه بسته در حوزه زمان می‌پردازیم. به این منظور پاسخ سیستم‌های حلقه بسته نامی به ورودی‌های پله و پالسی مورد بررسی قرار گرفته است. شکل‌های ۱۱ و ۱۲ پاسخ پله سیستم‌های حلقه بسته با هر دو کنترل کننده را مقایسه می‌کند. شکل ۱۱ پاسخ خروجی مربوط به سیگنال مرجع ورودی و شکل ۱۲ پاسخ خروجی مربوط به سیگنال اغتشاش ورودی است. این شکل‌ها نشان می‌دهند که سیستم حلقه بسته با کنترل کننده تکرار D-K بالازدگی کمتری نسبت به کنترل کننده مرتبه دوم پیشنهادی دارد اما سرعت پاسخ کنترل کننده مرتبه دوم پیشنهادی به مراتب بهتر است.

نحوه همگرایی الگوریتم سیر تکاملی برای جمعیت‌های اولیه مختلف در شکل ۸ نشان داده شده است. این منحنی‌ها، مربوط به ساختار کنترل کننده مرتبه دوم می‌باشد که نحوه همگرایی آن در ۳ بار اجرای برنامه به نمایش درآمده است. این نمودارها نشان می‌دهند که جمعیت‌های اولیه مختلف در همگرایی الگوریتم به مقدار نهایی تاثیری ندارد.



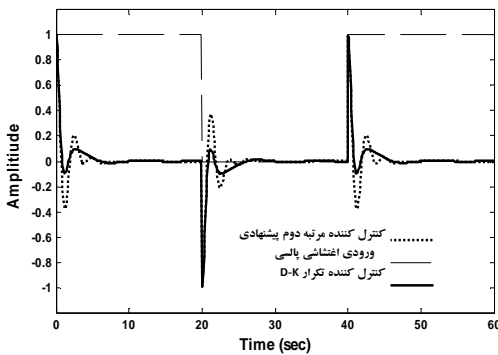
شکل ۸: همگرایی الگوریتم سیر تکاملی برای ساختار کنترل کننده مرتبه دوم

از مشاهده نتایج جداول ۲ و ۳ می‌توان نتیجه گرفت که کنترل کننده‌های بدست آمده از الگوریتم پیشنهادی، بسیار کارآثر از کنترل کننده‌های کاهش مرتبه یافته تکرار D-K می‌باشند. نکته جالبی که در جدول ۳ می‌توان مشاهده نمود این است که کنترل کننده مرتبه سوم بدست آمده از الگوریتم پیشنهادی هم در معیار پایداری و هم عملکرد مقاوم، بهتر از کنترل کننده تکرار D-K از مرتبه ۲۰ عمل می‌کند. این مسئله دلیلی بر کارایی و برتری این روش نسبت به روش تکرار D-K در مثال مورد بررسی است.

به هر ترتیب به دلیل مزایای استفاده از کنترل کننده‌های مرتبه پایین تر، در ادامه کنترل کننده مرتبه دوم بدست آمده از روش پیشنهادی را با کنترل کننده تکرار D-K از مرتبه ۲۰ مقایسه می‌کیم. این مقایسه را ابتدا در حوزه فرکانس و سپس در حوزه زمان نجام می‌دهیم.

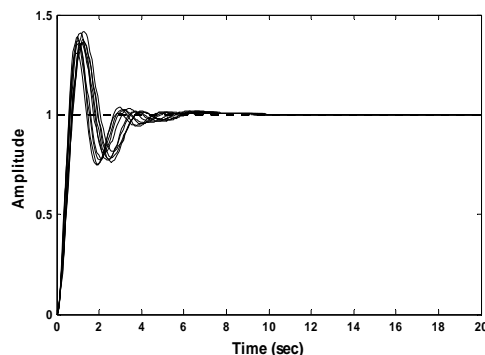
۶-۲- بررسی نتایج در حوزه فرکانس

با توجه به جدول ۳، نتایج تبدیل کنترل کننده پیشنهادی مرتبه دوم، به صورت $K(s) = \frac{22/33 + 15/51s + 12/17s^2}{s + 2/0.8s}$ می‌باشد و این کنترل کننده معیارهای پایداری و عملکرد μ را برآورده می‌سازد. بر اساس نتایج این جدول، سیستم حلقه بسته با کنترل کننده مرتبه دوم نسبت به کنترل کننده تکرار D-K از نظر پایداری مقاوم تر است و عملکرد مقاوم آن کمی ضعیف تر از کنترل کننده تکرار D-K می‌باشد. شکل ۹ و ۱۰ به مقایسه پایداری و عملکرد مقاوم این دو کنترل کننده در بازه فرکانسی می‌پردازند.

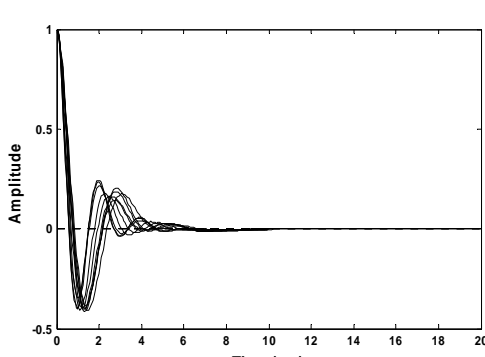


شکل ۱۴: مقایسه پاسخ سیستم حلقه بسته با کنترل کننده تکرار D-K مرتبه ۲ و کنترل کننده مرتبه دوم پیشنهادی به ورودی اغتشاش پالسی

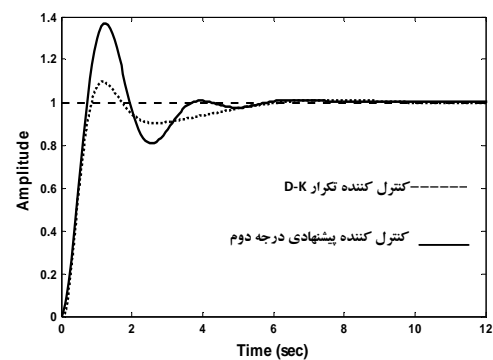
بررسی شکل ها نشان می دهد پاسخ سیستم حلقه بسته به ورودی پالسی سیگال مرجع برای کنترل کننده مرتبه دوم آمده از الگوریتم پیشنهادی دارای سرعت بهتری است. اما میزان بالازدگی آن بیشتر از کنترل کننده D-K است. در مورد حذف اغتشاش و پاسخ به ورودی پالسی اغتشاش نیز شرایط مشابهی وجود دارد.



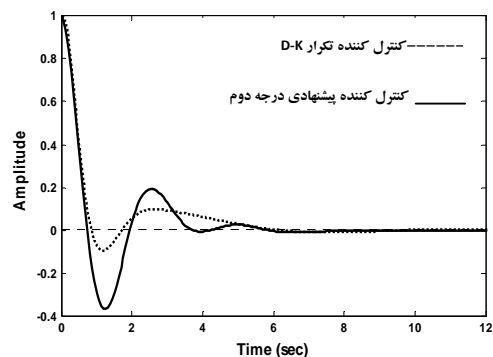
شکل ۱۵: پاسخ پله سیستم حلقه بسته با کنترل کننده مرتبه دوم پیشنهادی به ورودی مرجع پله در حضور عدم قطعیت دینامیک سیستم



شکل ۱۶: پاسخ پله سیستم حلقه بسته با کنترل کننده مرتبه دوم پیشنهادی به ورودی اغتشاش پله در حضور عدم قطعیت دینامیک سیستم

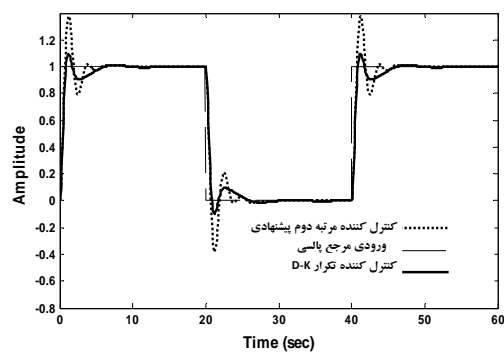


شکل ۱۱: مقایسه پاسخ سیستم حلقه بسته با کنترل کننده تکرار D-K مرتبه ۲ و کنترل کننده مرتبه ۲ پیشنهادی به ورودی پله سیگال مرجع



شکل ۱۲: مقایسه پاسخ سیستم حلقه بسته با کنترل کننده تکرار D-K مرتبه ۲ و کنترل کننده مرتبه دوم پیشنهادی به ورودی پله اغتشاش

به منظور بررسی بیشتر، پاسخ ورودی پالسی سیستم های حلقه بسته با هر دو کنترل کننده مقایسه شده است. شکل ۱۳ پاسخ خروجی مربوط به سیگال مرجع ورودی و شکل ۱۴ پاسخ خروجی مربوط به سیگال اغتشاش ورودی است.



شکل ۱۳: مقایسه پاسخ سیستم حلقه بسته با کنترل کننده تکرار D-K مرتبه ۲ و کنترل کننده مرتبه دوم پیشنهادی به ورودی پالسی سیگال مرجع

- [6] Ho, S.J., Ho, S.Y., Hung, M.H., Shu, L.S., Huang, H.L., 2005, "Designing Structure-Specified Mixed H_2/H_∞ Optimal Controllers Using an Intelligent Genetic Algorithm IGA", IEEE Trans. On Control Systems, 13(6): 1119-24.
- [7] S. Kaitwanidvilai and M. Parnichkun, "Design of Structured Controller Satisfying H_∞ Infinite Loop Shaping using Evolutionary Optimization: Application to a Pneumatic Robot Arm", Engineering Letters, 2008, pp.193-201.
- [8] M. Zamini, N. Sadati and M. Karimi Ghartemai, "Design of an H_∞ PID Controller Using Particle Swarm Optimization", International Journal of Control, Automation, and Systems, vol. 7, no. 2, pp.273-280, 2009.
- [9] Ramzy S. Ali Al-Waily, "Design of Robust Mixed H_2/H_∞ PID Controller Using Particle Swarm Optimization ", IJACT : International Journal of Advancements in Computing Technology, vol. 2, no. 5, pp. 53 - 60, 2010.
- [10] Kennedy, J., Eberhart, R., 1995, "Particle swarm optimization", In Proceedings of the IEEE International Conference on Neural Networks, 1942-1948.
- [11] Kao, C. C., Chuang, C. W., Fung, R. F., 2006, "The self-tuning PID control in a slider-crank mechanism system by applying particle swarm optimization approach". Mechatronics, 16(8) :513-522.
- [12] Mukherjee, V., Ghoshal, S. P., 2007, "Intelligent particle swarm optimized fuzzy PID controller for AVR system", Electric Power Systems Research,77(12), 1689-1698.
- [13] Modares, H., NaghibiSistani, M., 2010, "Solving nonlinear optimal control problems using a hybrid IPSO-SQP algorithm", Engineering Applications of Artificial Intelligence, Engineering Applications of Artificial Intelligence,24 , 476 -484.
- [14] Gu, Da.Wei., Petkov, Petko.Hristov., Konstantinov, Mihail.Mihaylov., "Robust Control Design with Matlab", Springer, February 2005.
- [15] Shi, Y., Eberhart, R.C., 1998, "Parameter selection in particle swarm optimization", In:Evolutionary Programming VII. Proc. EP98, pp. 591–600. Springer, New York .
- [16] Suganthan, P.N., 1999, "Particle Swarm Optimizer with Neighborhood Operator" , in Proceedings of IEEE International Conference on Evolutionary Computation. Washington D.C.: IEEE Press , pp. 1958–1962.
- [17] Ratnaweera, A., Halgamuge, S.K., Watson, H.C., 2004, "Self_Organizing Hierarchical Particle Swarm Optimizer with Time_Varying Acceleration Coefficients",IEEE Transactions on Evolutionary Computation 8 (3), 240–255.

در شکل ۱۵ پاسخ پله ورودی مرتع سیستم حلقه بسته با کنترل کننده مرتبه دوم پیشنهادی، در حضور عدم قطعیت های موجود در دینامیک سیستم نشان داده شده است. از مقایسه با شکل ۶ می توان دید که سیستم حلقه بسته با کنترل کننده مرتبه دوم پیشنهادی، در برابر عدم قطعیت های دینامیک سیستم کاملا مقاوم است. همچنین شکل ۱۶ پاسخ پله ورودی اختشاش را برای همین شرایط نشان می دهد. این شکل نیز بیانگر حذف اختشاش پله در خروجی سیستم برای مقادیر مختلف عدم قطعیت است.

۷- نتیجه گیری

این مقاله روشی برای حل مسئله سنتز μ بر اساس الگوریتم سیر تکاملی ارائه نموده است. روش تکرار D-K که یک حل تقریبی مسئله سنتز μ است، معمولاً به طراحی کنترل کننده های مرتبه بالا منجر می شود. بنابراین ناگزیر به استفاده از روش های کاهش مرتبه می شویم که سبب تضعیف و یا حتی از دست دادن اهداف طراحی می شود. حل مسئله سنتز μ به کمک الگوریتم اجتماع پرندگان نیازی به کاهش مرتبه کنترل کننده ندارد و نتیجه این حل، کوچکترین کنترل کننده به لحاظ مرتبه است که در معیارهای پایداری و عملکرد μ صدق می کند. از یک سیستم جرم- فنر- میراگر شامل عدم قطعیت، جهت بررسی کارایی روش پیشنهادی استفاده شده است. نتایج شیوه سازی ها نشان می دهد که کنترل کننده های بدست آمده از الگوریتم پیشنهادی در مقایسه با کنترل کننده های هم درجه (درجه کاهش مرتبه یافته) روش تکرار D-K، به لحاظ پایداری و عملکرد مقاوم سیستم حلقه بسته دارای کارایی بهتر و مطلوب تری می باشند. در میان کنترل کننده های بدست آمده از روش پیشنهادی، حتی می توان کنترل کننده هایی پیدا نمود که نسبت به کنترل کننده روش تکرار D-K مرتبه بالاتر پایداری و عملکرد مقاوم وضعیت بهتری داشته باشند.

مراجع

- [1] Zhou, Kemin., Doyle, John., Essentials of Robust Control, Prentice Hall, Upper Saddle River, NJ, 1998.
- [2] Karimaghaei, P., Noroozi, Navid., 2011, "Frequency Weighted Discrete-Time Controller Order Reduction Using Bilinear Transformation", Journal of Electrical Engineering, Vol. 62, NO. 1,2011,44-48.
- [3] Wei-Der, C., Shun-Peng, S., 2010, "PID controller design of nonlinear systems using an improved particle swarm optimization approach", Commun Nonlinear Sci Numer Simulat 15 , 3632–3639.
- [4] Kaitwanidvilai, S., Orlanthichachat, P., 2011, "Robust loop shaping-fuzzy gain scheduling control of a servo-pneumatic system using particle swarm optimization approach", Mechatronics 21,11-21.
- [5] Chen, B.S., Cheng,Y.M., Lee, C.H., 1995, "A Genetic Approach to Mixed H_2/H_∞ Optimal PID Control",IEEE Trans, On Control Systems, p. 51-60.



یک تکنیک مدولاسیون جایگزین برای مدولاسیون SVM متداول: کاهش حجم محاسبات

محمد توسلی^۱، محمد توکلی بینا^۲، مسعود علی اکبر گلکار^۳

^۱ فارغ‌التحصیل کارشناسی ارشد مهندسی برق، گروه قدرت، دانشگاه صنعتی خواجه نصیر الدین طوسی، tavasoli@ee.kntu.ac.ir

^۲ دانشیار، دانشکده مهندسی برق، گروه قدرت، دانشگاه صنعتی خواجه نصیر الدین طوسی، tavakoli_bina@ieee.org

^۳ استاد، دانشکده مهندسی برق، گروه قدرت، دانشگاه صنعتی خواجه نصیر الدین طوسی، golkar@eetd.kntu.ac.ir

(تاریخ دریافت مقاله ۱۳۹۰/۴/۵، تاریخ پذیرش مقاله ۱۳۹۰/۶/۲۷)

چکیده: یک تکنیک مدولاسیون شناخته شده برای مبدل های قدرت با توان متوسط و ولتاژ بالا می باشد. باید توجه داشت که تمام فرآیند مدولاسیون برای هدف پیاده سازی می تواند زمان بر باشد که علت آن یافتن موقعیت بردار مرجع به علاوه اجرای محاسبات ضروری برای مدولاسیون می باشد. علاوه بر آن با افزایش تعداد سطوح در مبدل های چند سطحی، زمان این محاسبات برای SVM های متداول افزایش می یابد. این مقاله یک تکنیک مدولاسیون را که بر روی دو ولتاژ خط مستقل، متتمرکز می شود، معرفی می کند به نحوی که به طور مستقیم از ولتاژهای خط در فرآیند یافتن بردارهای سوئیچینگ و نسبت وظیفه های آنها استفاده می کند. مدولاسیون پیشنهادی نه تنها سریع و ساده می باشد بلکه به فرآیند جایابی بردار مرجع که برای مدولاسیون SVM متداول دارای نقش حیاتی است، احتیاجی ندارد. با ارائه دو مثال صحت روش ارائه شده با استفاده از نرم افزار MATLAB مورد بررسی قرار می گیرد.

کلمات کلیدی: مدولاسیون SVM، تکنیک جایابی بردار مرجع، مدولاسیون تک فاز، مدولاسیون چند سطحی

A Comprehensive Alternative for the Conventional SVM: Reduction Computation Cost

Mohammad Tavasoli, Mohammad Tavakoli Bina, Masoud Ali Akbar Golkar

Abstract: The SVM is the well known technique for power converters with medium power and high voltage. However, the whole modulating procedure could be time-consuming for implementation purposes because of seeking the location of the reference vector in addition to performing so many necessary computations. Furthermore, computational cost for conventional SVM rises when level numbers of the multilevel converters increases. This paper proposes a modulation technique that directly concentrates on a three-phase system, engaging two independent line voltages in the procedure of finding switching states and their duty ratios. Interestingly, the proposed method is not only simple and fast, but also nearly eliminates the procedure of positioning the reference vector for multilevel converters that is vital for the conventional SVM. Through examples and simulations, the validity of the proposed method in modulation process is demonstrated.

Keywords: SVM modulation, positioning technique of reference vector, single-phase modulation, multilevel modulatio

مبدل های چند سطحی مزایای قابل توجهی در کاربردهای توان متوسط و ولتاژ بالا دارند^[۱]. در مقایسه با ادوات دو سطحی، از اتصالات سری

- مقدمه ۱

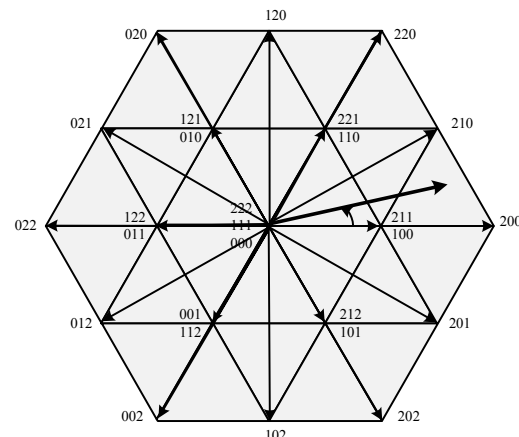
سیگنال مرجع می باشد. این روش به علت حجم کم محاسبات، برای پیاده سازی، ساده و سریع می باشد. به علاوه سه ۱DM مستقل در [۶] برای پیاده سازی یک تکنیک مدولاسیون سه فاز سریع و ساده برای مبدل های چند سطحی بکار گرفته شده است.

با این حال در روش ارائه شده در [۶] می توان نشان داد که حداقل ولتاژ سمت DC به منظور تولید ولتاژ مرجع در سمت AC نسبت به تکنیک SVM متدالو بیشتر است. این سطح ولتاژ بیشتر در سمت DC به نوبه خود باعث افزایش THD تکنیک مدولاسیون می شود. به علاوه این روش، ایده ای برای تولید بردارهای افزوده ارائه نمی کند.

یک الگوریتم SVM سریع در [۷] پیشنهاد شده که برخلاف روش های گفته شده به جای استفاده از ولتاژ های فاز برای تولید سیگنال های مرجع سه فاز از ولتاژ های خط مرجع به طور مستقیم برای دستیابی به بردارهای سوئیچینگ استفاده می کند. در این الگوریتم ولتاژ های خط با استفاده از یک تبدیل ماتریسی تبدیل به بردار ولتاژ $v_{ref(g,h)}$ می شوند. سپس با استفاده از مولفه های بردار $v_{ref(g,h)}$ و جزء صحیح آنها، بردارهای سوئیچینگ مجاور بردار مرجع و نسبت وظیفه آنها محاسبه می شوند. مشکل عدمه این روش این است که از دنباله بردارهای سوئیچینگ غیر بهینه استفاده می کند [۸].

این مقاله، روشی برای حذف جایابی بردار مرجع در مدولاسیون SVM و دسترسی مستقیم به بردارهای سوئیچینگ و نسبت وظیفه آنها پیشنهاد می کند به طوری که نتایج روش ارائه شده منطبق بر نتایج روش SVM متدالو می باشد.

سوئیچ ها پرهیز می شود و کیفیت ولتاژ خروجی بهبود می یابد. در این رابطه پیچیدگی استراتژی مدولاسیون و نیز تعداد سوئیچ ها در این مبدل ها افزایش یافته است [۲]. روش متدالو در پیاده سازی PWM دیجیتالی، تکنیک SVM است. SVM متدالو از تبدیل موسوم به $\alpha\beta$ برای پیاده سازی یک ولتاژ مرجع در سمت AC مبدل های الکترونیک قادر استفاده می کند. بردارهای سوئیچینگ و بردار مرجع انتقال یافته برای یافتن نسبت وظیفه ها به منظور ساخت بردار مرجع مقایسه می شوند. شکل ۱ دیاگرام یک SVM سه سطحی را نشان می دهد که شامل ۵ بردار حالت فعال، دو بردار افزوده و سه بردار سه صفر برای هر یک ششم می باشد. بردار ولتاژ مرجع به وسیله این بردارهای سوئیچینگ (حالات های سوئیچینگ) قابل تحلیل می باشد.



شکل ۱: نمایش SVM سه سطحی

باید توجه داشت که تمام فرآیند مدولاسیون برای هدف پیاده سازی می تواند زمان بر باشد که علت آن یافتن موقعیت بردار مرجع به علاوه اجرای محاسبات ضروری برای مدولاسیون، محدودیت های مدولاتور از جهت ماکریم پهنهای باند کنترلر و فرکانس سوئیچینگ می باشد. علاوه بر آن با افزایش تعداد سطوح در مبدل های چند سطحی، زمان محاسبات در SVM متدالو افزایش می یابد. به هر حال کاهش در زمان پروسه مدولاتور باعث بهره برداری بهتر از مزیت های مبدل چند سطحی می شود [۳][۴]. با کاهش زمان محاسبات مدولاسیون، می توان زمان نمونه برداری را کاهش و کیفیت ولتاژ خروجی را افزایش داد.

یک تکنیک جایابی سریع اما پیچیده در [۳] برای یافتن موقعیت بردار مرجع در میان مثلث های موجود در داخل دیاگرام SVM معرفی شده است. این مقاله برای یک مبدل n سطحی، یک ماتریس مخلوط $(n-1)^2 \times 1$ به منظور جایابی انتهای بردار مرجع پیشنهاد می کند، به طوری که شماره سطحی از ماتریس مخلوط که دارای قسمت حقیقی و موهومی منفی باشد، برابر شماره مثلث مورد نظر در فضای SVM است. در [۵] مدولاتور تک فاز ۱DM که می تواند در مبدل های چند سطحی تک فاز به کار گرفته شود، استفاده شده است. این روش بر مبنای متوسط گیری از نزدیکترین سطوح ولتاژ به ولتاژ مرجع برای تولید

۲- تکنیک مدولاسیون پیشنهادی

برخلاف روش SVM متدالو، روش پیشنهادی به دنبال پیاده سازی ولتاژ های خط مستقل در سمت AC مبدل است که دارای کارکردی معادل روش SVM متدالو می باشد. برای پیاده سازی روش ارائه شده ابتدا بردار مرجع خط مبدل تولید می شود، سپس با استفاده از این بردار، بردارهای سوئیچینگ مجاور بردار مرجع در فضای روش ارائه شده تعیین می شوند و نسبت وظیفه بردارها با توجه به رابطه ولت-ثانیه بدست می آیند. روش پیشنهادی با دنبال کردن ۴ گام در ادامه آورده شده است.

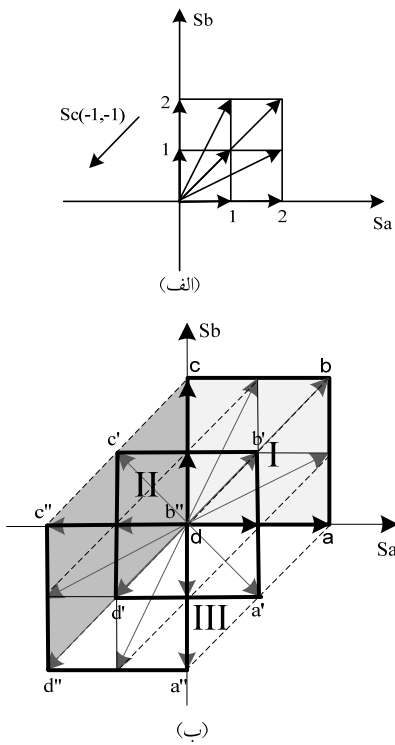
گام ۱) تولید بردار مرجع

شکل ۲ یک مبدل Diode Clamp سه سطحی را نشان می دهد. با توجه به این شکل، می توان ولتاژ های خط E_{bc} و E_{ac} ، تولید شده در سمت AC را بر حسب تابع سوئیچینگ فازها، برای یک مبدل N سطحی به صورت رابطه (۱) بیان کرد.

دیاگرام شش ضلعی نامنظم LVV که معادل نمودار شش ضلعی منتظم SVM متداول می‌باشد، با استفاده از روش عنوان شده، بدست آمد. باید توجه داشت که می‌توان یک تناظر یک به یک بین اجزاء این دو دیاگرام برقرار کرد.

$$\frac{2}{v_{dc}} \begin{bmatrix} 1 & 0 & -1 \\ 0 & 1 & -1 \\ 0 & -1 & 1 \end{bmatrix} \begin{bmatrix} E_a \\ E_b \\ E_c \end{bmatrix} = \begin{bmatrix} S_a \\ S_b \\ S_c \end{bmatrix} \quad (3)$$

در شکل ۴ وضعیت‌های سوئیچینگ مربوط به یک مبدل چهار سطحی با تعمیم روش ارائه شده، رسم شده است.

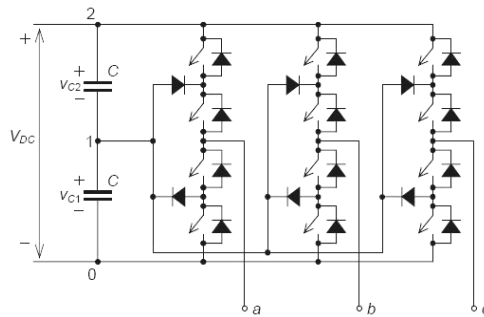


شکل ۴: تعیین فضای حالت‌های سوئیچینگ (الف) مکان هندسی حالت‌های سوئیچینگ (S_a, S_b) (ب) مکان هندسی حالت‌های سوئیچینگ (S_a, S_b, S_c) در فضای دو بعدی

گام ۳) تشخیص ناحیه مربوط به بردار مرجع
شکل ۳-ب به سه ناحیه I و II و III تقسیم شده است، به طوری که هر ناحیه به وسیله شرایط جدول ۱ تعیین می‌شود. با توجه به جدول ۱ و معادله (۲) مشخص می‌شود که اندیس متنبیرهای روابط مربوط به نواحی، به صورت دوره‌ای تکرار می‌شوند، این بدین معناست که می‌توان معادلات و بردارها را تنها در یک ناحیه مشخص کرد و با استفاده از یک تبدیل دوره‌ای به سایر نواحی تعمیم داد. از این رو، محاسبات

$$\begin{bmatrix} E_{ac} \\ E_{bc} \end{bmatrix} = \begin{bmatrix} E_a - E_c \\ E_b - E_c \end{bmatrix} = \frac{v_{dc}}{N-1} \begin{bmatrix} S_a - S_c \\ S_b - S_c \end{bmatrix} = \frac{v_{dc}}{N-1} \begin{bmatrix} S_{ac} \\ S_{bc} \end{bmatrix} \quad s_x = \{0, 1, \dots, N-1\} \quad x = a, b, c \quad (1)$$

در معادله (۱) v_{dc} مجموع ولتاژ خازن‌های سمت DC می‌باشد که ولتاژ هر کدام $\frac{v_{dc}}{N-1}$ فرض شده است. با توجه به شکل ۲ منظور از نسبت دادن اعداد $1, 0, \dots, N-1$ به تابع سوئیچینگ هر فاز، اتصال خروجی هر فاز به گره متناظر با آن عدد می‌باشد.



شکل ۲: مبدل سه سطحی

در ادامه برای توضیح روش پیشنهادی، N را برابر ۳ در نظر می‌گیریم در این صورت $s_x = \{0, 1, 2\}$ خواهد بود. برای نمایش بردارهای سوئیچینگ در این حالت، معادله (۱) را به صورت معادله (۲) بازنویسی می‌شود.

$$\frac{2}{v_{dc}} \begin{bmatrix} E_a - E_c \\ E_b - E_c \end{bmatrix} = \begin{bmatrix} S_a \\ S_b \end{bmatrix} - S_c \begin{bmatrix} 1 \\ 1 \end{bmatrix} \quad (2)$$

گام ۲) تولید فضای LVV

برای پیاده‌سازی ولتاژ مرجع در سمت AC با استفاده از حالت‌های سوئیچینگ، ابتدا باید فضای برداری را که می‌توان با استفاده از رابطه (۲) در نظر گرفت، تحلیل کنیم. بدین منظور ابتدا مکان هندسی نقاط

با توجه حوزه مقادیر توابع سوئیچینگ S_a و S_b در نظر گرفته شده که به صورت یک مربع می‌باشد و در شکل ۳-الف آورده شده است. سپس این نقاط را با بردار $S_c \begin{bmatrix} -1 \\ -1 \end{bmatrix}$ در صفحه منتقل می‌کنیم. دو مربع 'a'b'c'd' و 'a''b''c''d'' در شکل ۳-ب، نمایش انتقال

مکان هندسی نقاط $\begin{bmatrix} S_a \\ S_b \end{bmatrix}$ می‌باشد. شکل حاصل نمایش فضای برداری ولتاژ‌های خط مبدل (LVV) با در نظر گرفتن حالت‌های سوئیچینگ فازها می‌باشد. بردارهای سوئیچینگ فضای LVV متناظر با بردارهای فضای SVM متداول می‌باشند، علت این امر آن است که روش پیشنهادی همانند روش متداول SVM از یک نگاشت خطی استفاده می‌کند که در معادله (۳) آورده شده است. بدین ترتیب

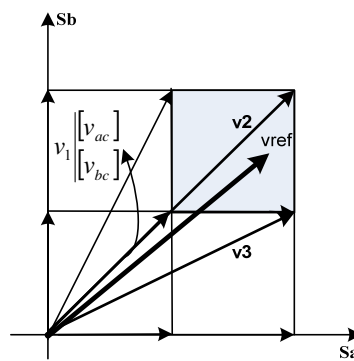
$$\begin{aligned} \frac{2}{v_{dc}} \begin{bmatrix} E_{a,ref} - E_{c,ref} \\ E_{b,ref} - E_{c,ref} \end{bmatrix} &= \begin{bmatrix} S_{ac1} \\ S_{bc1} \end{bmatrix} D_1 \\ + \begin{bmatrix} S_{ac2} \\ S_{bc2} \end{bmatrix} D_2 + \begin{bmatrix} S_{ac3} \\ S_{bc3} \end{bmatrix} D_3 &= v_1 D_1 + v_2 D_2 + v_3 D_3 \quad (4) \\ \begin{bmatrix} S_{ac} \\ S_{bc} \end{bmatrix} &= \begin{bmatrix} S_a - S_c \\ S_b - S_c \end{bmatrix} \quad D_i = \frac{T_i}{T_s}; i=1,2,3 \end{aligned}$$

در رابطه (۴)، D_i نسبت وظیفه بردار سوئیچینگ v_i می باشد. متغیرهای

v_{bc} و v_{ac} نیز به صورت زیر تعریف می شوند.

$$\begin{bmatrix} v_{ac} \\ v_{bc} \end{bmatrix} = \frac{2}{v_{dc}} \begin{bmatrix} E_{a,ref} - E_{c,ref} \\ E_{b,ref} - E_{c,ref} \end{bmatrix} \quad (5)$$

اگر بردار مرجع در ناحیه I فرض شود، نوک این بردار در یک مربع کوچکتر، محصور می شود که در شکل ۵ به صورت سایه دار نشان داده شده است. معادله (۶) مختصات نقاط انتهایی قطر اصلی مربع کوچکتر را که متناظر با بردارهای سوئیچینگ می باشند، بیان می کند. [x] نماد جزء صحیح x می باشد)



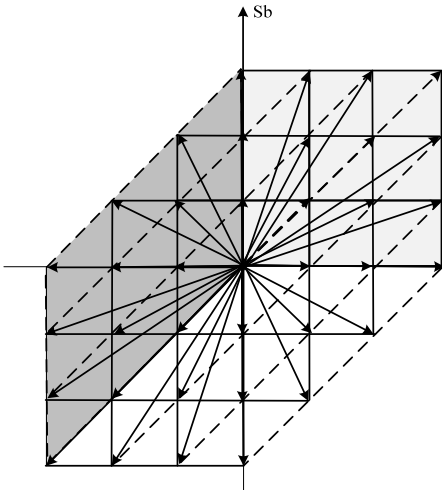
شکل ۵: نمایش بردار مرجع در ناحیه I به همراه بردارهای سوئیچینگ مجاور و نسبت وظیفه های آنها

$$v_1 = \frac{\lceil v_{ac} \rceil}{\lceil v_{bc} \rceil}, \quad v_2 = \frac{\lceil v_{ac} \rceil + 1}{\lceil v_{bc} \rceil + 1} \quad (6)$$

باید توجه کرد که برای ساخت بردار مرجع از بردارهای مجاور و نزدیکتر استفاده می شود. به منظور یافتن بردار سوم، با استفاده متغیر Sign موقعيت بردار مرجع نسبت به قطر اصلی مربع مشخص می شود. در معادله (۸) به کمک این متغیر، مختصات بردار سوئیچینگ سوم آورده شده است. با استفاده از بردارهای سوئیچینگ محاسبه شده و رابطه ولت-ثانیه، در معادله (۹) نسبت های وظیفه بردارهای سوئیچینگ محاسبه می شوند.

$$sign = v_{ac} - \lceil v_{ac} \rceil - (v_{bc} - \lceil v_{bc} \rceil) \quad (7)$$

تماماً در ناحیه I انجام می شوند و در آخر به ناحیه اولیه خود منتقل می شوند. این تبدیلات دوره ای در جدول ۲ آمده است.



شکل ۶: فضای LVV چهار سطحی

جدول ۱: شرایط مرزهای هر ناحیه

ناحیه	شرایط	
I	$E_{ac} \geq 0$	$E_{bc} \geq 0$
II	$E_{ba} \geq 0$	$E_{ca} \geq 0$
III	$E_{cb} \geq 0$	$E_{ab} \geq 0$

جدول ۲: تبدیلات دوره ای مربوط به تبدیل نواحی II و III به ناحیه I

ناحیه	تبدیل		
II	$a \rightarrow c$	$b \rightarrow a$	$c \rightarrow b$
III	$a \rightarrow b$	$b \rightarrow c$	$c \rightarrow a$

در ادامه فرض می شود بردار مرجع در ناحیه I قرار دارد. پس از انجام محاسبات، باید از تبدیلات معکوس جدول ۳ برای تصحیح مولفه های بردارهای سوئیچینگ، استفاده کرد.

جدول ۳: تبدیلات دوره ای معکوس

ناحیه	تبدیلات معکوس		
II	$a \rightarrow b$	$b \rightarrow c$	$c \rightarrow a$
III	$a \rightarrow c$	$b \rightarrow a$	$c \rightarrow b$

گام ۴) محاسبه بردارهای سوئیچینگ و نسبت وظیفه آنها

برای پیاده سازی ولتاژ مرجع از معادله (۴) که بیان کننده برابری ولت-ثانیه سیگنال های سمت DC و AC مبدل است، استفاده می شود. برای برقراری این رابطه، همانند روش SVM از سه بردار سوئیچینگ مجاور بردار مرجع استفاده شده است.

$$\begin{bmatrix} 2 \\ 2 \\ 1 \end{bmatrix} \text{ یا } \begin{bmatrix} 1 \\ 1 \\ 0 \end{bmatrix} \text{ باشد. با مقایسه شکل}$$

های ۲ و ۳-ب می‌توان بردارهای افزوده متناظر با هر بردار را در نمودار

در LVV دست یافت. با توجه به مختصات بردارهای توابع سوئیچینگ در شکل ۲، مشخص می‌شود که با اضافه کردن اعداد صحیح در محدوده مجاز به مولفه های بردار S_{abc} که در معادله (۱۰) معرفی شده‌اند، می‌توان به سایر بردارهای افزوده متناظر با آن بردارها دست یافت. در معادله (۱۱) بردار F به منظور محاسبه محدوده مجاز برای اضافه کردن اعداد صحیح به بردار S_{abc} به منظور بدست آوردن بردارهای افزوده مربوط یک بردار سوئیچینگ تعریف شده است.

$$F = \begin{bmatrix} F_1 \\ F_2 \end{bmatrix} = \begin{bmatrix} N - 1 - [v_{ac}] \\ N - 1 - [v_{bc}] \end{bmatrix} \quad (11)$$

$$F_{\min} = \min\{F_1, F_2\} \quad k \in \{0, 1, \dots, F_{\min}\}$$

$$S_{abc, \text{Redundant}} = S_{abc} + k \begin{bmatrix} 1 \\ 1 \\ 1 \end{bmatrix} \quad (12)$$

به وسیله مولفه های پارامتر F می‌توان حداکثر مقداری را که می‌توان به مولفه های بردار S_{abc} به منظور محاسبه بردارهای افزوده اضافه کرد، بدست آورد.

۴- نتایج شبیه سازی

با استفاده از شبیه ساز MATLAB، روش پیشنهادی برای تولید یک سه فاز متعادل در خروجی مبدل های سه سطحی و پنج سطحی با فرکانس مدولاتور ۱/۵kHz، فرکانس ۵۰Hz و اندیس مدولاسیون ۰/۹۵ بکار

گرفته می‌شود. شکل ۶ نمودار متغیرهای $\begin{bmatrix} v_{ac} \\ v_{bc} \end{bmatrix}$ که در معادله (۱۳) معرفی شده، در فضای LVV نشان می‌دهد.

$$\begin{bmatrix} v_{ac} \\ v_{bc} \end{bmatrix} = \frac{2v_m}{v_{dc}} \begin{bmatrix} \cos(\omega_0 t) - \cos(\omega_0 t + \frac{2\pi}{3}) \\ \cos(\omega_0 t - \frac{2\pi}{3}) - \cos(\omega_0 t + \frac{2\pi}{3}) \end{bmatrix} \quad (13)$$

$$v_m = 0.95 \times 220 = 209(v)$$

مشاهده می‌شود که در این فضا مکان هندسی بردار مرجع سه فاز متعادل در یک سیکل منبع، به صورت یکسان است، در صورتی که با استفاده از تبدیل $\alpha\beta$ مکان هندسی سه فاز متعادل به شکل یک دایره می‌باشد. این تفاوت به علت استفاده از نگاشت های متفاوت است.

$$v_3 = \begin{cases} [v_{ac}] + 1 & \text{if } Sign \geq 0 \\ [v_{bc}] & \\ [v_{ac}] & \\ [v_{bc}] + 1 & \text{if } Sign < 0 \end{cases} \quad (14)$$

$$\begin{cases} D_1 = 1 - (v_{ac} - [v_{ac}]) & \text{if } Sign \geq 0 \\ D_2 = v_{bc} - [v_{bc}] & \\ D_1 = v_{ac} - [v_{ac}] & \\ D_2 = 1 - (v_{bc} - [v_{bc}]) & \text{if } Sign < 0 \end{cases} \quad (15)$$

$$D_3 = |Sign|$$

حال با توجه به بردارهای سوئیچینگ بدست آمده در فضای LVV به محاسبه توابع سوئیچینگ فازها می‌پردازیم. با دقت در شکل ۳-ب می‌توان به سادگی دریافت که در ناحیه I می‌توان تابع S_c را برابر صفر فرض کرد. با این فرض توابع سوئیچینگ فازها برای سه بردار سوئیچینگ S_{abc} به صورت معادله (۱۰) بیان می‌شوند.

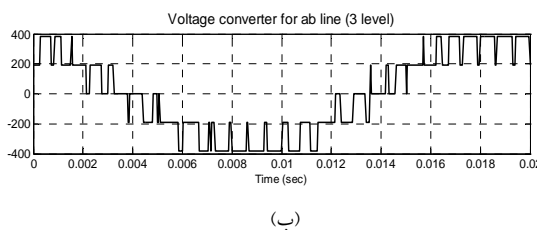
$$S_{abc1} = \begin{cases} s_{a1} = [v_{ac}] \\ s_{b1} = [v_{bc}] \\ s_{c1} = 0 \end{cases} \quad S_{abc2} = \begin{cases} [v_{ac}] + 1 \\ [v_{bc}] + 1 \\ 0 \end{cases} \quad (16)$$

$$S_{abc3} = \begin{cases} [v_{ac}] + 1 \\ [v_{bc}] \\ 0 \end{cases} \quad or \quad S_{abc3} = \begin{cases} [v_{bc}] + 1 \\ [v_{ac}] \\ 0 \end{cases}$$

انتخاب توابع سوئیچینگ و نسبت وظیفه آنها با استفاده از روش پیشنهادی با نتایج حاصل از روش های متداول SVM، یکسان است که در بخش شبیه سازی با ارائه مثال هایی به این موضوع پرداخته می‌شود. از مزایای روش پیشنهادی، سرعت بالای اجراء، حجم محاسبات کم و تعمیم پذیری آسان آن به مبدل های چند سطحی می‌باشد، به طوری که با افزایش تعداد سطوح، حجم محاسبات مدولاتور ثابت می‌ماند. لازم به ذکر است به علت در نظر گرفتن مناسب متغیرها در این روش، بردارهای محاسبه شده برای پیاده سازی بردار مرجع، حداقل کلیدزنی لازم را فراهم می‌کنند، به طوری که همیشه یک فاز در هر بازه سوئیچینگ دارای تابع سوئیچینگ ثابت می‌باشد.

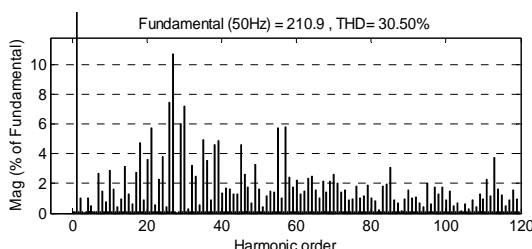
۵- بردارهای افزوده

بردارهای افزوده، بردارهای سوئیچینگ متفاوتی هستند که ولتاژ های خط یکسان ولی با مولفه صفر متفاوت در خروجی مبدل تولید می‌کنند. به علاوه این بردارها دارای ولتاژ فاز یکسانی نیز در خروجی مبدل سه فاز می‌باشند. به عنوان مثال در شکل ۳-ب، بردار $\begin{bmatrix} 1 \\ 1 \end{bmatrix}$ می‌تواند نتیجه



شکل ۸: ولتاژ خط ab مبدل سه سطحی (الف) و ولتاژ مرجع (ب) ولتاژ مبدل

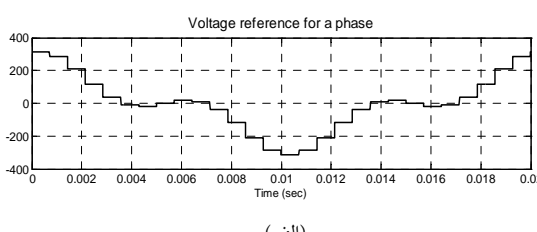
در ادامه سیگنال مرجع دیگری که شامل هارمونیک سوم فرکانس اصلی می‌باشد، در نظر گرفته شده که در معادله (۱۶) آمده است. قابل ذکر است این هارمونیک به گونه‌ای به مولفه اصلی ولتاژ مرجع اضافه شده که توالی صفر ولتاژ، صفر باقی بماند. علت این امر آن است که در ولتاژ خروجی مبدل سه ساقه، مولفه توالی صفر تولید نمی‌شود.



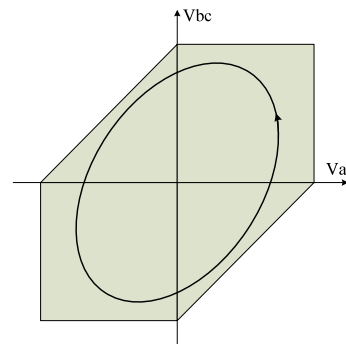
شکل ۹: درصد نسبی هارمونیک های ولتاژ فاز نسبت به فرکانس اصلی برای مبدل سه سطحی

$$\begin{bmatrix} E_{a,ref} \\ E_{b,ref} \\ E_{c,ref} \end{bmatrix} = v_m \begin{bmatrix} \cos(\omega_0 t) + 0.5 \cos(3\omega_0 t) \\ \cos(\omega_0 t - \frac{2\pi}{3}) + 0.5 \cos(3\omega_0 t - \frac{2\pi}{3}) \\ \cos(\omega_0 t + \frac{2\pi}{3}) + 0.5 \cos(3\omega_0 t + \frac{2\pi}{3}) \end{bmatrix} \quad (16)$$

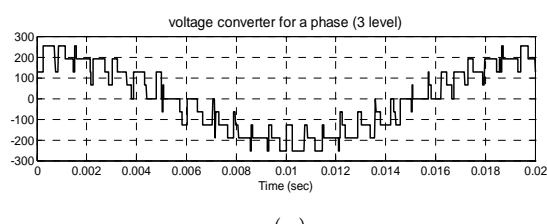
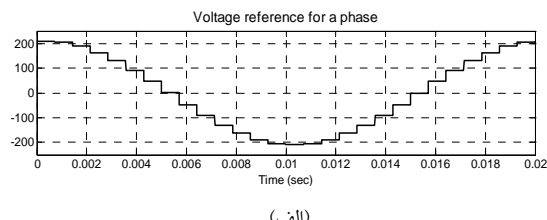
شکل ۱۰-الف و ب و شکل ۱۱-الف و ب به ترتیب ولتاژ فاز a و ولتاژ خط خروجی یک مبدل پنج سطحی به همراه سیگنال مرجعشان را برای ولتاژ مرجع معادله (۱۶) نشان می‌دهند.



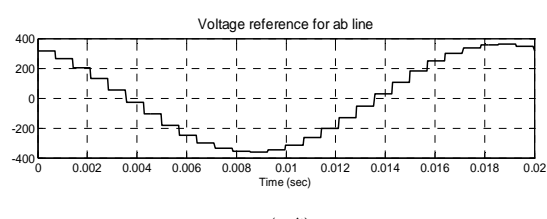
شکل ۷-الف و ب و شکل ۸-الف و ب به ترتیب ولتاژ فاز a و ولتاژ خط خروجی یک مبدل سه سطحی به همراه سیگنال مرجع شان را نشان می‌دهند. در شکل ۹ درصد نسبی هارمونیک های ولتاژ فاز نسبت به فرکانس اصلی برای مبدل سه سطحی، آورده شده است به طوری که دامنه مولفه اصلی ولتاژ فاز برابر ۲۱۱ ولت و THD سیگنال خروجی ۳۰/۵٪ می‌باشد. در این حالت مدولاتور دارای طیفی فرکانسی مناسبی بوده و سیگنال مرجع را با تغییرات عرض پالس خروجی به طور قابل قبولی دنبال کرده است. قابل ذکر است که THD خروجی مدولاسیون SVM نسبت به مدولاسیون‌های دیگر کمتر می‌باشد، از این رو THD سیگنال خروجی روش ارائه شده همانند SVM متداول پایین است.

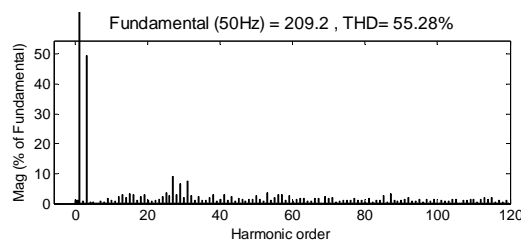


شکل ۱۱: نمودار مکان هندسی بردار $\begin{bmatrix} v_{ac} \\ v_{bc} \end{bmatrix}$ برای تولید یک سه فاز متعادل



شکل ۷: ولتاژ فاز a مبدل سه سطحی (الف) و ولتاژ مرجع (ب) ولتاژ مبدل





شکل ۱۲: درصد نسبی هارمونیک های ولتاژ فاز نسبت به فرکانس اصلی برای مبدل پنج سطحی

تکیک SVM دو بعدی متداول دنباله سوئیچینگ مشکل از s_1 ، s_2 و s_3 را تعیین می کند که یکی از آنها یک بردار افزوده است و D_1 ، D_2 و D_3 به ترتیب نسبت های وظیفه آنها می باشند.

$$s_1, s_2, s_3 = 100 / 211,200,210 \quad (16)$$

$$D_1 = 0.227 \quad D_2 = 0.157 \quad D_3 = 0.616$$

به طور مشابه این مثال می تواند به تکیک مدولاسیون پیشنهادی اعمال شود. در معادله (۱۷) ولتاژهای نرمالیزه شده v_{ac} و v_{bc} محاسبه شده اند. با توجه به اینکه این دو ولتاژ مثبت هستند، بردار مرجع در ناحیه I قرار دارد و نیازی به انتقال بردار مرجع نمی باشد.

$$\begin{bmatrix} v_{ac} \\ v_{bc} \end{bmatrix} = \begin{bmatrix} 1.773 \\ 0.6165 \end{bmatrix} v_{dc} \quad (17)$$

بردارهای v_1 ، v_2 و v_3 و نیز نسبت های وظیفه آنها با استفاده از متغیر Sign ، در معادله (۱۸) تعیین شده اند.

$$v_1, v_2 = 10,21 \quad (18)$$

$$sign = 0.1565 \quad v_3 = 20$$

$$D_1 = 0.227 \quad D_2 = 0.6165 \quad D_3 = 0.1565$$

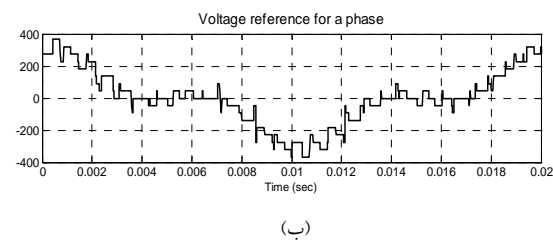
در نتیجه می توان بردارهای سوئیچینگ مربوط به فاز و همچنین بردار افزوده را با توجه به الگوریتم روش پیشنهادی محاسبه کرد.

$$s_{abc1}, s_{abc2}, s_{abc3} = 100 / 211,210,200 \quad (19)$$

با توجه به نتایج بدست آمده مشاهده می شود عملکرد روش پیشنهادی و مدولاسیون SVM متداول مشابه می باشد و نتایج یکسانی به دست می دهدن. اختلاف ناچیز موجود بین روابط بدست آمده ناشی از تقریب به کار گرفته شده می باشد.

۵- نتیجه گیری

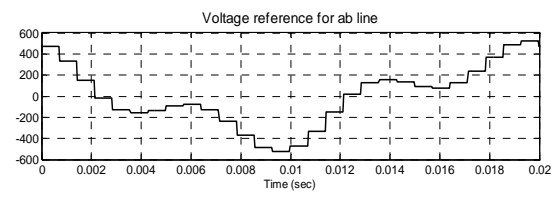
در این مقاله یک روش مستقیم و سریع برای محاسبه بردارهای سوئیچینگ و نسبت های وظیفه آنها با استفاده از ولتاژهای خط مستقل ارائه گردید. این روش مستقل از تعداد سطوح مبدل چند سطحی است و با افزایش سطوح، حجم محاسبات مدولاتور ثابت می ماند. همچنین



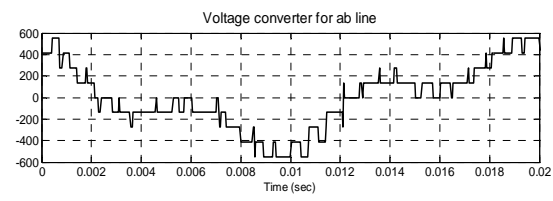
شکل ۱۰: ولتاژ فاز a مبدل پنج سطحی برای مرجع دوم (الف) ولتاژ مرجع (ب) ولتاژ مبدل

شکل ۱۲ طیف فرکانسی ولتاژ فاز خروجی مبدل پنج سطحی را برای ولتاژ مرجع دوم نشان می دهد در این شکل هارمونیک های نزدیک به مضارب فرکانس سوئیچینگ دامنه قابل توجهی نسبت به سایر هارمونیک های اعوجاجی دارند که می توان با تنظیم فیلتر های پایین گذر اثر آنها را در خروجی مبدل کاهش داد. با توجه به این طیف ملاحظه می شود که ولتاژ فاز مبدل، دامنه هارمونی های موج مرجع را با دقت خوبی در خروجی مبدل تولید کرده است. برای بررسی بیشتر به بیان یک مثال عددی می پردازیم. ولتاژهای خط مرجع یک مبدل سه فاز در یک لحظه خاص، در معادله (۱۵) داده شده است.

$$\begin{bmatrix} v_{ab} \\ v_{bc} \\ v_{ca} \end{bmatrix} = 1.8 v_{dc} \begin{bmatrix} 0.643 \\ 0.342 \\ -0.985 \end{bmatrix} \quad (15)$$



(الف)



(ب)

شکل ۱۱: ولتاژ خط ab مبدل پنج سطحی برای مرجع دوم (الف) ولتاژ مرجع (ب) ولتاژ مبدل

- theory and DSP-implementation”, IET Electr. Power Appl., 2007, 1, (6), pp. 915–925.
- [4] Lai, J.S., and Peng, F.Z.; “Multilevel converters—a new breed of power converters”, IEEE Trans. Ind. Appl., 1996, 32, (3), pp. 509–517
- [5] Jin-seok Oh, Sun Ho Jin, Jong-Ho Lee.; “Fast Space vector Modulation without NTV Identification for Multilevel Inverters”, 2007 Second IEEE Conference On Industrial Electronics and Application.
- [6] Jose I. Leon, Sergio Vazquez, Juan A. Sanchez, Ramon Portillo, Leopoldo G. Franquelo, Juan M. Carrasco and Eugenio Dominguez; “Conventional Space-Vector Modulation Techniques Versus the Single-Phase Modulator for Multilevel Converters”, IEEE Transactions On Industrial Electronics, Vol. 57, No. 7, July 2010.
- [7] Nikola Celanovic, Dushan Boroyevich.; “A Fast Space-Vector Modulation Algorithm for Multilevel Three-Phase Converters”, IEEE Transactions On Industry Applications, Vol. 37, No. 2, March/April 2001
- [8] J. Pou, P. Rodríguez, D. Boroyevich, R. Pindado, and I. Candela, H.; “Efficient Space-Vector Modulation Algorithm for Multilevel Converters with Low Switching Frequencies in the Devices”, IEEE Trans. Ind., 2005, pp. 1582-1588
- دنباله سوئیچینگ به دست آمده توسط روش پیشنهادی از نظر تعداد سوئیچینگ در هر سیکل بهینه می‌باشد. به علاوه بردارهای افزوده به سادگی با بکارگیری روش ارائه شده قابل محاسبه‌اند. از مزایای این روش می‌توان به استفاده از حداقل فرکانس سوئیچینگ و در نتیجه کاهش تلفات سوئیچینگ، حداکثر بهره‌برداری از لینک DC و قابلیت تعمیم آن به سطوح بالاتر اشاره کرد. با ارائه شبیه سازی روش پیشنهادی بر روی مبدل‌های سه‌سطحی و پنج‌سطحی و مشاهده نتایج مربوط به ولتاژ خروجی مبدل و همچنین طیف هارمونیکی مربوط به آن، صحت روش پیشنهادی بررسی شده است. در آخر با ارائه یک مثال عددی و مقایسه نتایج آن با مقالات پیشین، انتظام این روش با نتایج این مقالات مشاهده شد.
- ### مراجع
- [1] Lai, J.S., and Peng, F.Z.; “Multilevel inverters: a survey of topologies, controls, and applications”, IEEE Trans. Ind. Electron., 2002, 49, pp. 724–738
- [2] Marchesoni, M., and Tenca, P.; “Theoretical and practical limits in multilevel MPC inverters with passive front ends”, 9th European Power Electronics and Applications (EPE'01),Graz, Austria, September 2001, pp. p.1–p.12
- [3] M. Tavakoli Bina.; “Generalized direct positioning approach for multilevel space vector modulation:

کنترل معکوس تطبیقی سیستم‌های دینامیکی غیرخطی با شبکه‌های عصبی فازی نوع-۲

جعفر طاووسی^۱، محمدعلی بادامچی‌زاده^۲، سحرانه قائمی^۳

^۱ کارشناسی ارشد مهندسی برق، گروه کنترل، دانشگاه تبریز، tabrizu.ac.ir

^۲ استادیار، دانشکده مهندسی برق و کامپیوتر، گروه کنترل، دانشگاه تبریز، tabrizu.ac.ir

(تاریخ دریافت مقاله ۱۳۹۰/۴/۲۴، تاریخ پذیرش مقاله ۱۳۹۰/۶/۲۸)

چکیده: شبکه‌های عصبی فازی نوع-۲ توانایی بالایی در شناسایی و کنترل سیستم‌های غیرخطی، سیستم‌های تغییرپذیر با زمان و نیز سیستم‌های دارای نامعینی دارند. در این مقاله روش طراحی کنترل کننده معکوس تطبیقی عصبی فازی نوع-۲ جهت کنترل برخط سیستم‌های دینامیکی غیرخطی مورد بررسی قرار گرفته است. ابتدا ساختار کلاسی از شبکه‌های عصبی فازی نوع-۲ بازه‌ای مدل T-S نمایش داده می‌شود. این شبکه هفت لایه دارد که عملیات فازی‌سازی توسط دو لایه اول که شامل عصب‌های فازی نوع-۲ و با نامعینی در مرکز توابع عضویت گوسی هستند، انجام می‌شود. لایه سوم لایه قواعد است و در لایه چهارم عملیات کاهش مرتبه توسط گره‌های تطبیقی انجام می‌شود. لایه‌های پنجم، ششم و هفتم به ترتیب لایه قسمت نتیجه، لایه محاسبه مرکز ثقل قواعد و لایه خروجی است. برای آموزش شبکه از الگوریتم گرادیان کاهشی با نرخ آموزش تطبیقی استفاده شده است. نهایتاً در قسمت شبیه‌سازی کنترل معکوس تطبیقی برخط با شبکه عصبی فازی نوع-۲ فاصله‌ای مدل T-S و شبکه عصبی فازی تطبیقی (ANFIS) برای سیستم دینامیکی غیرخطی دمای آب هم با پارامترهای نامعین و هم با هم مقایسه شده‌اند. نتایج شبیه‌سازی نشان‌دهنده کارایی روش پیشنهادی می‌باشد.

کلمات کلیدی: شبکه عصبی فازی نوع-۲، کنترل معکوس تطبیقی، سیستم دمای آب حمام

Adaptive Inverse Control of Nonlinear Dynamical System Using Type-2 Fuzzy Neural Networks

Jafar Tavoosi, Mohammad Ali Badamchizadeh, Sehraneh Ghaemi

Abstract: Type-2 fuzzy neural networks have a good ability in identification and control of nonlinear systems, time varying systems and also system with uncertainties. In this paper a new method for designing adaptive inverse type 2 fuzzy neural controllers for online control of nonlinear dynamical system has been introduced. The proposed network has seven layers that the first two layers consist of type-2 fuzzy neurons with uncertainty in mean of Gaussian membership functions, are used for fuzzification part. Third layer is the fuzzy rules layers. Reduction type is done in fourth layer with adaptive nodes. Reminder layers are used for consequent left-right firing points, two end-points and output of network respectively. In this paper, gradient descent with adaptive learning rate backpropagation is used for learning phase. Finally, Type-2 online Sugeno fuzzy neural network is used for tracking control of nonlinear dynamical water bath temperature system. Results are compared with Adaptive-Network-Based Fuzzy Inference System (ANFIS). Simulation results show the proposed method has a good efficiency.

Keywords: Type-2 Fuzzy Neural Networks, Adaptive Inverse Control, Water Bath Temperature System.

داده شده است که پاسخ کنترل معکوس با ANFIS بدون خطای حالت ماندگار و سریع‌تر از کنترل کننده فازی است.

در این مقاله ابتدا منطق و سیستم‌های فازی نوع-۲ به طور مختصر معرفی می‌شوند، سپس یک ساختار شبکه عصبی فازی نوع-۲ مدل T-S ارائه خواهد شد، سپس روش طراحی کنترل کننده معکوس عصبی فازی نوع-۲ جهت کنترل سیستم‌های دینامیکی غیرخطی مطرح می‌شود. در نهایت سیستم دینامیکی غیرخطی دمای آب حمام^۱ بیان شده و با روش کنترل معکوس تطبیقی و به صورت برخط با کنترل کننده عصبی فازی نوع-۲ مدل T-S کنترل می‌شود.

۲- منطق و سیستم‌های فازی نوع-۲

یک مجموعه فازی نوع-۲ در حالت کلی به صورت رابطه (۱) نشان داده می‌شود [۱۵].

$$\tilde{A} = \int_{x \in X} \mu_{\tilde{A}}(x) / x = \frac{\int_{x \in X} \left[\int_{x \in J_x} \frac{f_x(\mu)}{\mu} \right]}{x} \quad (1)$$

در رابطه (۱)، \tilde{A} یک مجموعه فازی نوع-۲، $\mu_{\tilde{A}}$ تابع عضویت اولیه، J_x مجموعه درجات عضویت اولیه از $x \in X$ و $f_x(\mu) \in [0,1]$ تابع عضویت ثانویه است. نمایش یک عدد فازی نوع-۲ کلی به صورت سه بعدی است و محاسبات این نوع سیستم‌ها بسیار زیاد و مشکل است. به منظور ساده‌سازی محاسبات مجموعه‌های فازی نوع-۲ کلی، مجموعه‌های فازی نوع-۲ بازه‌ای تعریف می‌شود. مجموعه‌های فازی نوع-۲ بازه‌ای حالت خاصی از مجموعه‌های فازی نوع-۲ کلی هستند. زمانی که حالت زیر برقرار باشد،

$$f_x(\mu) = 1, \forall \mu \in J_x \subseteq [0,1]$$

در این حالت تابع عضویت اولیه به صورت مجموعه‌ای از فواصل می‌باشد. برای نشان دادن یک تابع عضویت فازی نوع-۲ بازه‌ای گوسی دو حالت مرکز نامعین و انحراف معیار نامعین مطرح می‌شود. در حالت مرکز نامعین، مرکز تابع عضویت گوسی یک عدد واحد نیست، بلکه هر عددی در یک بازه محدود مثل $[m_1, m_2]$ می‌تواند باشد در این حالت انحراف معیار (عرض) تابع گوسی عدد ثابت σ است. در حالت عرض نامعین، عرض تابع عضویت گوسی، عددی در یک بازه محدود

۱- مقدمه

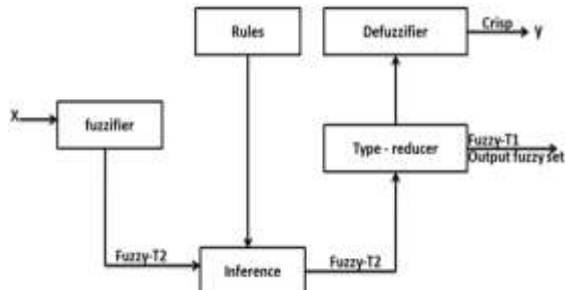
امروزه رشد روزافزون هوش محاسباتی و الگوریتم‌های هوشمند بر هیچ کس پوشیده نیست. پس از معرفی منطق منطق فازی توسط زاده و ارائه اولین کاربرد منطق فازی در کنترل، سیستم‌های هوشمند با محوریت منطق فازی جایگاه خود را در بسیاری از علوم به ویژه در کنترل پیدا کرده‌اند. ده سال بعد از معرفی منطق فازی، زاده طی مقاله‌ای منطق فازی نوع-۲ را معرفی کرد. با معرفی منطق فازی نوع-۲، یک سری نواقص منطق فازی نوع-۱ بر طرف گردید. در منطق فازی نوع-۱، درجه عضویت یک عدد غیر فازی و حقیقی است که تعیین دقیق این عدد در برخی مسائل دشوار است، اما در منطق فازی نوع-۲، درجه عضویت یک عدد فازی است. به عنوان مثال در مواردی که متغیرهای زبانی غیردقیق و نامعین باشند یا نتیجه‌های مختلفی که ممکن است از یک سری شرط‌های نزدیک هم گرفته شده باشند، منطق فازی نوع-۲ می‌تواند کارگشا باشد [۱].

منطق فازی نوع-۲ با قابلیت‌ها و انعطاف‌پذیری بیشتر نسبت به منطق فازی نوع-۱، در ده سال اخیر بسیار مورد توجه قرار گرفته است. در [۲]، منطق و سیستم‌های فازی نوع-۲ با جزئیات مورد بحث قرار گرفته است. در [۳] سه ساختار مختلف از شبکه‌های عصبی فازی نوع-۲ ارائه شده است. در این مرجع دو روش فازی‌سازی (عصب فازی نوع-۲ و گره تطبیقی) و دو روش کاهش مرتبه (الگوریتم KM و لایه‌های تطبیقی) بیان شده و برای آموزش شبکه از روش گرادیان کاهشی استفاده شده است. در [۴] از شبکه عصبی فازی نوع-۲ با روش خوشبندی فازی برای شناسایی ساختاری و نیز بروزرسانی پارامترهای قسمت شرط و از الگوریتم گرادیان برای بروزرسانی پارامترهای قسمت نتیجه استفاده شده است، همچنین در این مرجع ذکر شده است که روش خوشبندی فازی برای شناسایی و کنترل برخط مناسب نیست. در چند سال اخیر روش‌های مختلفی برای آموزش شبکه‌های عصبی فازی نوع-۲ از قبیل الگوریتم رتینیک [۵] و PSO [۶] پیشنهاد شده است. با گسترش تحقیقات در زمینه سیستم‌های فازی نوع-۲، این سیستم‌ها کاربردهای گسترده‌ای نیز پیدا کرده‌اند که از جمله آنها می‌توان به پیش‌بینی سری‌های زمانی [۷]، کنترل موتور خطی [۸]، برابر سازی کانال‌های غیرخطی تغییرپذیر با زمان [۹]، کنترل مدل لغزشی [۱۰] تشخیص الگو [۱۱] و کنترل ربات [۱۲] اشاره کرد. در [۱۳] از روش کنترل معکوس و کنترل کننده عصبی فازی نوع-۲ جهت کنترل CDPM^۱ پیشنهاد شده است. در این حالت از شبکه عصبی فازی نوع-۲ بازه‌ای جهت شناسایی معکوس سیستم و سپس از شبکه آموزش دیده به صورت کنترل کننده خارج از خط استفاده شده است. در [۱۴] روش کنترل معکوس با ANFIS با روش کنترل فازی جهت کنترل سطح آب داخل مخزن مقایسه شده‌اند. در این مرجع نشان

^۱ Water Bath Temperature System

^۱ Cable-Driven Parallel Mechanism

مهم در سیستم‌های فازی نوع-۲ است [۱۶]. ساختار یک سیستم فازی نوع-۲ در شکل (۲) نشان داده شده است.

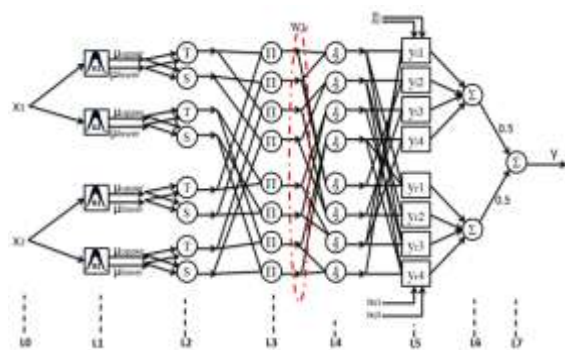


شکل (۲): ساختار سیستم فازی نوع-۲

همانطور که در شکل (۲) ملاحظه می‌شود، ساختار یک سیستم فازی نوع-۲ همانند یک سیستم فازی نوع-۱ است که فقط بلوک "کاهش مرتبه" را اضافه دارد.

۳- شبکه‌های عصبی فازی نوع-۲ مدل T-S

در شبکه‌های عصبی فازی نوع-۲ مدل T-S همانند شبکه‌های نوع-۱، خروجی به صورت یک چند جمله‌ای از ورودی هاست با این تفاوت که در نوع-۱، خروجی و ضرایب آن مقدار عددی بودند ولی در نوع-۲ خروجی و ضرایب آن اعداد فازی هستند [۱۷]. شبکه عصبی فازی نوع-۲ پیشنهادی دارای ۷ لایه است که در دو لایه اول و در قسمت شرط از یک عصب فازی نوع-۲ فاصله ای جهت فازی‌سازی استفاده شده است. کاهش مرتبه هم در لایه چهارم و با وزن‌های تطبیقی انجام می‌شود. در شکل (۳)، نمایی از این شبکه نشان داده شده است.



شکل (۳). ساختار یک شبکه عصبی فازی نوع-۲ مدل TSK

یک قاعده فازی برای مدل T-S نوع-۲ به صورت زیر نوشته می‌شود:

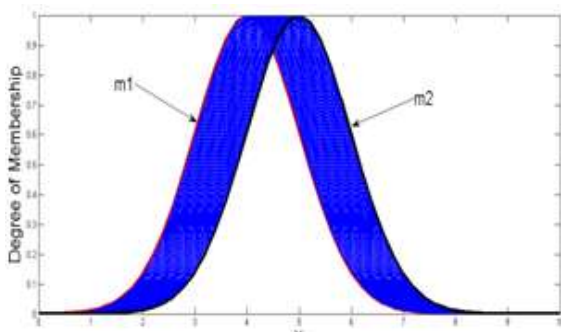
$$R^k : \text{If } x_1 \text{ is } \tilde{A}_1^k \text{ and } \dots \text{ and } x_n \text{ is } \tilde{A}_n^k \text{ Then}$$

$$\tilde{y}_k = C_{k,0} + C_{k,1}x_1 + \dots + C_{k,n}x_n$$

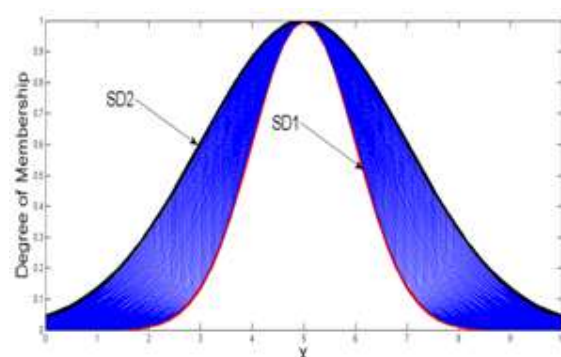
در قاعده بالا $X = \{x_1, x_2, \dots, x_n\}$ ورودی‌های سیستم،

$$\{\tilde{A}_1^k, \tilde{A}_2^k, \dots, \tilde{A}_n^k\}$$
 تابع عضویت فازی نوع-۲، \tilde{y}_k خروجی

مثل $[\sigma_1, \sigma_2]$ می‌تواند بوده و مرکز تابع گوسی عدد ثابت m است. شکل (۱)، نشان‌دهنده هر دو حالت بیان شده می‌باشد.



الف



ب

شکل (۱): تابع عضویت گوسی فازی نوع-۲ در حالت نامعینی در مرکز (الف) و نامعینی در عرض (ب)

ناحیه نامعینی در توابع فازی نوع-۲ را FOU^1 می‌نامند [۵]. در شکل (۱) ناحیه هاشورخورده FOU^1 تابع عضویت نوع-۲ هستند. در سیستم‌های فازی نوع-۲ به حد پایین تابع عضویت، تابع عضویت پایینی^۲ و به حد بالای تابع عضویت، تابع عضویت بالای^۳ گفته می‌شود. تفاوت عمده سیستم‌های فازی نوع-۱ و نوع-۲ در شکل تابع عضویت آنها می‌باشد. برای محاسبه خروجی در سیستم‌های فازی نوع-۱، با توجه به اینکه خروجی این سیستم‌ها مجموعه فازی نوع-۱ است، با فازی‌زدایی، یک مقدار عددی بدست می‌آید. اما در سیستم‌های فازی نوع-۲، خروجی سیستم یک مجموعه فازی نوع-۲ است. بنابراین پس از یک مرتبه فازی‌زدایی از یک مجموعه فازی نوع-۲، یک مجموعه فازی نوع-۱ بدست خواهد آمد. عملیات تبدیل یک مجموعه فازی نوع-۲ به یک مجموعه فازی نوع اول را "کاهش مرتبه" می‌نامند، که بحثی بسیار

¹ Footprint of uncertainty

² Lower membership function

³ Upper membership function

لایه ۵: این لایه را لایه قسمت نتیجه می‌نامند.

$$y_l^k = \sum_{i=1}^n c_{k,i} x_i + c_{k,0} - \sum_{i=1}^n s_{k,i} |x_i| - s_{k,0} \quad (8)$$

$$y_r^k = \sum_{i=1}^n c_{k,i} x_i + c_{k,0} + \sum_{i=1}^n s_{k,i} |x_i| + s_{k,0} \quad (9)$$

لایه ۶: این لایه دو گره دارد که مرکز ثقل قسمت نتیجه تمام قواعد را محاسبه می‌کند.

$$\hat{y}_l = \frac{\sum_{k=1}^M f_l^k y_l^k}{\sum_{k=1}^M f_l^k} \quad (10)$$

$$\hat{y}_r = \frac{\sum_{k=1}^M f_r^k y_r^k}{\sum_{k=1}^M f_r^k} \quad (11)$$

لایه ۷: این لایه یک گره دارد که خروجی را محاسبه می‌کند.

$$\hat{y} = \frac{\hat{y}_r + \hat{y}_l}{2} \quad (12)$$

برای آموزش این شبکه از الگوریتم پس انتشار خطای استفاده شده است. در این روش به ازای هر ورودی، خروجی شبکه محاسبه می‌شود و سپس خطای محاسبه می‌گردد. ابتدا فرض کنید جفت داده ورودی- خروجی y_d یادگیری شبکه به صورت $\{(\mathbf{x}_p : t_p)\}$ در اختیار باشد. خطای خروجی شبکه به صورت زیر تعریف می‌شود:

$$e_p = t_p - \hat{y}_p \quad (13)$$

$$E_p = \frac{1}{2} e_p^2 = \frac{1}{2} (t_p - \hat{y}_p)^2 \quad (14)$$

$$E = \sum_{p=1}^q E_p \quad (15)$$

در رابطه فوق Q تعداد کل جفت داده‌های آموزش است. در روابط (۱۶) تا (۲۶) روابط بروزرسانی پارامترهای مجھول شبکه عصبی فازی نوع-۲ بازه‌ای مدل $T-S$ بیان شده است.

در روابط (۱۶) تا (۱۹)، روابط بروزرسانی وزن‌های لایه چهارم که برای کاهش مرتبه استفاده می‌شوند، بیان شده است.

$$\begin{aligned} \text{new } \underline{w}_l^k &= \text{old } \underline{w}_l^k + \eta * 0.5 * e_p \\ &\quad * \frac{y_l^k - \hat{y}_l}{\sum_{j=1}^M f_l^j} * \frac{f_l^k - \bar{f}_l^k}{\bar{w}_l^k + \underline{w}_l^k} \end{aligned} \quad (16)$$

سیستم و یک فازی است و عدد

$$C_{k,i} \in [c_{k,i} - s_{k,i}, c_{k,i} + s_{k,i}], i = 1, 2, \dots, n$$

مجموعه‌های فازی نوع اول و ضرایب خطی قسمت نتیجه هستند که در

آن مرکز $C_{k,i}$ و $s_{k,i}$ عرض تابع عضویت گوسی هستند.

اکنون به بررسی لایه به لایه این ساختار پرداخته می‌شود.

لایه صفر: این لایه، لایه ورودی است. در این لایه به تعداد

ورودی‌ها گره وجود دارد.

لایه ۱: این لایه، لایه فازی ساز است. خروجی این لایه به صورت

زیر است:

$${}^1\mu_{k,i}(x_i, [\sigma_{k,i}, {}^1m_{k,i}]) = e^{-0.5 \left(\frac{x_i - {}^1m_{k,i}}{\sigma_{k,i}} \right)^2} \quad (2)$$

$${}^2\mu_{k,i}(x_i, [\sigma_{k,i}, {}^2m_{k,i}]) = e^{-0.5 \left(\frac{x_i - {}^2m_{k,i}}{\sigma_{k,i}} \right)^2} \quad (3)$$

در روابط (۲) و (۳)، x_i ورودی شبکه، ${}^1m_{k,i}$ و ${}^2m_{k,i}$ به

ترتیب حد پایین و حد بالای مرکز تابع عضویت گوسی، $\sigma_{k,i}$ عرض تابع عضویت گوسی و ${}^1\mu_{k,i}$ و ${}^2\mu_{k,i}$ نیز به ترتیب درجه عضویت مربوط به ${}^1m_{k,i}$ و ${}^2m_{k,i}$ هستند.

لایه ۲: در این لایه با استفاده از نرم-T و نرم-S، خروجی یک عصب فازی نوع-۲ که حد بالا و حد پایین تابع عضویت است، محاسبه می‌شود.

$\underline{\mu}_{k,i}(x_i) = {}^1\mu_{k,i}(x_i) \times {}^2\mu_{k,i}(x_i) \quad (4)$

$\bar{\mu}_{k,i}(x_i) = {}^1\mu_{k,i}(x_i) + {}^2\mu_{k,i}(x_i) - \underline{\mu}_{k,i}(x_i) \quad (5)$

لایه ۳: این لایه، لایه قواعد است. در این لایه عملیات AND فازی به صورت زیر انجام می‌شود.

$$\underline{f}_l^k = \prod_{i=1}^n \underline{\mu}_{k,i}; \bar{f}_l^k = \prod_{i=1}^n \bar{\mu}_{k,i} \quad (6)$$

لایه ۴: در این لایه با استفاده از گره‌های تطبیقی وزن‌دار، عمل کاهش مرتبه انجام می‌شود و مقادیر راست و چپ نقاط آتش آنها به صورت زیر محاسبه می‌شود.

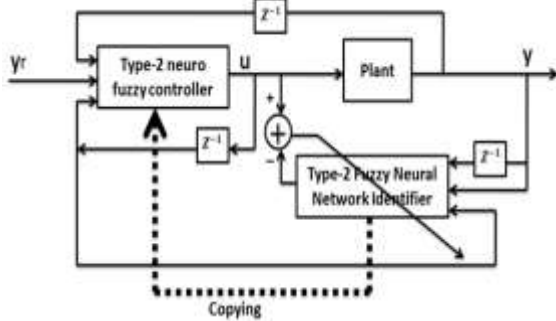
$$\begin{aligned} f_l^k &= \frac{\bar{w}_l^k \bar{f}_l^k + \underline{w}_l^k \underline{f}_l^k}{\bar{w}_l^k + \underline{w}_l^k} \\ f_r^k &= \frac{\bar{w}_r^k \bar{f}_r^k + \underline{w}_r^k \underline{f}_r^k}{\bar{w}_r^k + \underline{w}_r^k} \end{aligned} \quad (7)$$

$\{(x_p : t_p)\} \forall p = 1, \dots, q$ بنابراین با اعمال هر ورودی y ابتدا با معادلات (۲) تا (۱۲) خروجی شبکه محاسبه شده، و خطای از محسوبه می‌شود و در نهایت جهت کاهش خطای سیستم واقعی و شبکه عصبی فازی نوع-۲، با روابط (۱۶) تا (۲۶)، پارامترهای مجھول شبکه تنظیم می‌شوند.

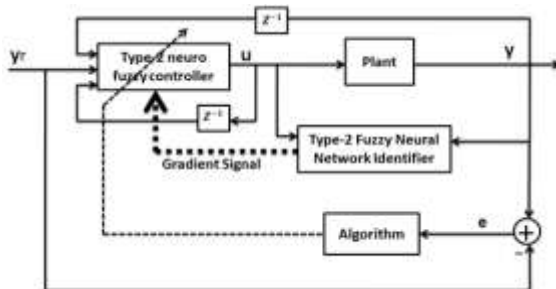
۴- طراحی کنترل کننده معکوس عصبی فازی نوع-۲

توانایی شبکه‌های عصبی فازی نوع-۲ در تقریب توابع، امکان شناسایی و کنترل پسیاری از سیستم‌ها را به این شبکه‌ها داده است. در این قسمت دو روش مختلف طراحی کنترل کننده‌های معکوس تطبیقی عصبی فازی نوع-۲ ارائه می‌شود.

دو ساختار معرفی شده در شکل (۴) و شکل (۵) نشان داده شده‌اند.



شکل (۴). کنترل معکوس تطبیقی (ساختار اول)



شکل (۵). کنترل معکوس تطبیقی (ساختار دوم)

در هر دو ساختار، y خروجی سیستم، u سیگنال کنترلی و y_r سیگنال مرجع است. همانطور که ملاحظه می‌شود، از دو شبکه عصبی فازی نوع-۲، یکی به عنوان شناساگر و دیگری به عنوان کنترل کننده استفاده شده است. از شبکه شناساگر به منظور تنظیم پارامترهای کنترل کننده استفاده می‌شود. در ساختار اول (شکل (۴)، یک شبکه عصبی فازی نوع-۲ مدل معکوس سیستم را شناسایی می‌کند و همزمان به عنوان کنترل کننده نیز عمل می‌کند. در این ساختار هدف کاهش سیگنال کنترلی و در نتیجه کاهش اختلاف بین سیگنال مرجع و خروجی سیستم است. در ساختار دوم (شکل (۵))، یک شبکه عصبی فازی نوع-۲ شناساگر، گرادیان

$$\begin{aligned} {}^{new} \bar{w}_l^k &= {}^{old} \bar{w}_l^k + \eta * 0.5 * e_p \\ &\quad * \frac{y_l^k - \hat{y}_l * \bar{f}_l^k - f_l^k}{\sum_{j=1}^M f_l^j \bar{w}_l^k + w_l^k} \end{aligned} \quad (۱۷)$$

$$\begin{aligned} {}^{new} \underline{w}_r^k &= {}^{old} \underline{w}_r^k + \eta * 0.5 * e_p \\ &\quad * \frac{y_r^k - \hat{y}_r * \underline{f}_r^k - f_r^k}{\sum_{j=1}^M f_r^j \underline{w}_r^k + w_r^k} \end{aligned} \quad (۱۸)$$

$$\begin{aligned} {}^{new} \bar{w}_r^k &= {}^{old} \bar{w}_r^k + \eta * 0.5 * e_p \\ &\quad * \frac{y_r^k - \hat{y}_r * \bar{f}_r^k - f_r^k}{\sum_{j=1}^M f_r^j \bar{w}_r^k + w_r^k} \end{aligned} \quad (۱۹)$$

در روابط فوق $k = 1, 2, \dots, M$ تعداد قواعد است. در روابط (۲۰) تا (۲۳) بروزرسانی پارامترهای قسمت نتیجه بیان شده است.

$$\begin{aligned} {}^{new} c_{k,i} &= {}^{old} c_{k,i} + \eta * 0.5 * e_p \\ &\quad \left[\frac{f_r^k}{\sum_{k=1}^M f_r^k} + \frac{f_l^k}{\sum_{k=1}^M f_l^k} \right] x_i \end{aligned} \quad (۲۰)$$

$${}^{new} c_{k,0} = {}^{old} c_{k,0} + \eta * 0.5 * e_p \left[\frac{f_r^k}{\sum_{k=1}^M f_r^k} + \frac{f_l^k}{\sum_{k=1}^M f_l^k} \right] \quad (۲۱)$$

$$\begin{aligned} {}^{new} s_{k,i} &= {}^{old} s_{k,i} + \eta * 0.5 * e_p * \\ &\quad \left[\frac{f_r^k}{\sum_{k=1}^M f_r^k} - \frac{f_l^k}{\sum_{k=1}^M f_l^k} \right] * |x_i| \end{aligned} \quad (۲۲)$$

$$\begin{aligned} {}^{new} s_{k,0} &= {}^{old} s_{k,0} + \eta * 0.5 * e_p * \\ &\quad \left[\frac{f_r^k}{\sum_{k=1}^M f_r^k} - \frac{f_l^k}{\sum_{k=1}^M f_l^k} \right] \end{aligned} \quad (۲۳)$$

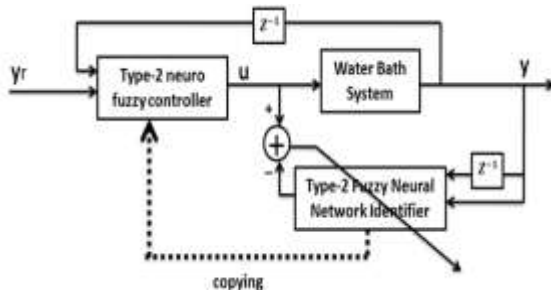
روابط بروزرسانی پارامترهای قسمت شرط یعنی مرکز و انحراف معیار توابع عضویت گؤسی به صورت روابط (۲۴) تا (۲۶) است.

$$\begin{aligned} {}^1 m_{k,i}^{new} &= {}^1 m_{k,i}^{old} + \eta * 0.5 * e_p * \\ &\quad \left[\frac{y_l^k - \hat{y}_l * \partial f_l^k}{\sum_{j=1}^M f_l^j} + \frac{y_r^k - \hat{y}_r * \partial f_r^k}{\sum_{j=1}^M f_r^j} \right] \end{aligned} \quad (۲۴)$$

$$\begin{aligned} {}^2 m_{k,i}^{new} &= {}^2 m_{k,i}^{old} + \eta * 0.5 * e_p * \\ &\quad \left[\frac{y_l^k - \hat{y}_l * \partial^2 f_l^k}{\sum_{j=1}^M f_l^j} + \frac{y_r^k - \hat{y}_r * \partial^2 f_r^k}{\sum_{j=1}^M f_r^j} \right] \end{aligned} \quad (۲۵)$$

$$\begin{aligned} \sigma_{k,i}^{new} &= \sigma_{k,i}^{old} + \eta * 0.5 * e_p * \\ &\quad \left[\frac{y_l^k - \hat{y}_l * \partial f_l^k}{\sum_{j=1}^M f_l^j} + \frac{y_r^k - \hat{y}_r * \partial f_r^k}{\sum_{j=1}^M f_r^j} \right] \end{aligned} \quad (۲۶)$$

استفاده شده جهت کنترل دمای آب حمام در شکل (۶) نشان داده شده است.

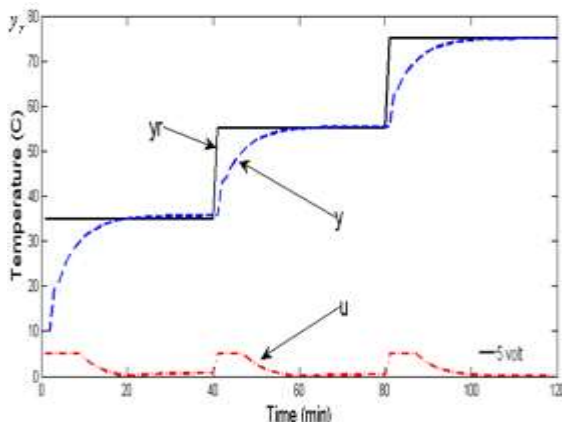


شکل (۶). ساختار کنترل معکوس دمای آب حمام

در ساختار کنترل معکوس استفاده شده جهت کنترل دمای آب حمام (شکل (۶)) ورودی‌های شبکه عصبی فازی نوع-۲ شناساگر y و U و ورودی‌های کنترل کننده عصبی فازی نوع- $(k-1)$ و $y(k)$ و $y(k-1)$ هستند. برای هر کدام از ورودی‌ها سهتابع عضویت گوسی نوع-۲ با نامعینی در مرکز در نظر گرفته شده است. در اینجا با انتخاب بهینه سه قاعده از نه قاعده، می‌توان تعداد قواعد را کاهش داد. با کاهش تعداد قواعد، تعداد پارامترهای قسمت نتیجه کاهش یافته سرعت شبکه عصبی فازی نوع-۲ در کاربردهای برخط افزایش می‌یابد. سیگنال دمای مرجع به صورت رابطه (۲۹) در نظر گرفته شده است [۲۳].

$$y_r(k) = \begin{cases} 35 & 0 \leq k \leq 40 \text{ (min)} \\ 55 & 41 \leq k \leq 80 \text{ (min)} \\ 75 & 82 \leq k \leq 120 \text{ (min)} \end{cases} \quad (28)$$

در اینجا هدف این است که دمای خروجی سیستم آب حمام، سیگنال دمای مرجع y_r را دنبال کند. در شکل (۷) سیگنال مرجع (y_r) و سیگنال خروجی سیستم کنترل شده با کنترل کننده معکوس تطبیقی عصبی فازی نوع-۲ (y) نشان داده شده است.



شکل (۷). سیگنال مرجع y_r و سیگنال خروجی سیستم کنترل شده با کنترل کننده عصبی فازی نوع-۲

خروجی به ورودی سیستم $\frac{\partial y}{\partial u}$ را هر لحظه محاسبه می‌کند. در اینجا

از خطای بین خروجی سیستم و سیگنال مرجع (خروجی مطلوب) و نیز مقدار گرادیان $\frac{\partial y}{\partial u}$ برای آموزش برخط شبکه عصبی فازی نوع-۲

کنترل کننده استفاده می‌شود [۱۸].

۵- نتایج شبیه‌سازی

در این قسمت ابتدا سیستم دمای آب حمام، که یک سیستم دینامیکی غیرخطی است، معرفی می‌شود و سپس با روش کنترل معکوس (ساختار اول) و به صورت برخط کنترل می‌شود. در [۱۹] با استفاده از کنترل کننده معکوس عصبی فازی بازگشتی پیاده شده بر روی تراشه FPGA، دمای آب حمام کنترل شده است. در این مرجع کنترل معکوس دمای آب با استفاده از کنترل کننده عصبی فازی بازگشتی و با شبکه عصبی با هم مقایسه شده‌اند و برتری سیستم عصبی فازی ارائه شده به شبکه عصبی در کنترل معکوس دمای آب نشان داده شده است. در [۲۰] کنترل معکوس دمای آب با استفاده از کنترل فازی و کنترل عصبی فازی تطبیقی (ANFIS) با هم مقایسه شده‌اند. در این مرجع نشان داده شده است که عملکرد کنترل عصبی فازی تطبیقی در دنبال کردن سیگنال مرجع از کنترل فازی مناسب‌تر است.

معادلات سیستم دمای آب حمام به صورت رابطه (۲۷) بیان می‌شوند [۲۱].

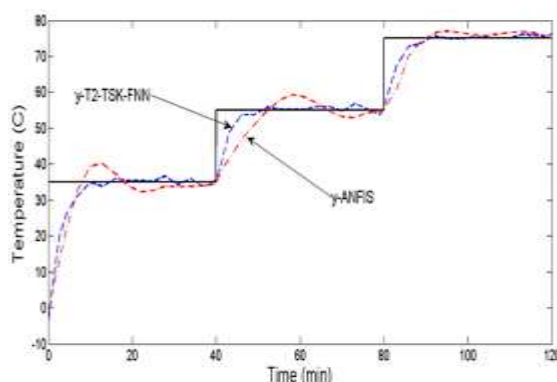
$$\frac{dy(t)}{dt} = \frac{u(t)}{C} + \frac{Y_0 - y(t)}{RC} \quad (27)$$

در رابطه (۲۷) $y(t)$ دمای خروجی سیستم بر حسب درجه سانتیگراد، $u(t)$ نرخ حرارت ورودی به سیستم، Y_0 دمای اتاق، C ظرفیت گرمایی سیستم و R مقاومت حرارتی بین سیستم و محیط اطراف آن است. اگر فرض شود C و R مقادیر ثابت باشند، آنگاه رابطه (۲۷) را می‌توان به صورت رابطه (۲۸) بازنویسی کرد.

$$y(k+1) = e^{-\alpha T_s} y(k) + \frac{\beta(1-e^{-\alpha T_s})}{1+e^{(0.5y(k)-40)}} u(k) + (1-e^{-\alpha T_s}) Y_0 \quad (28)$$

در رابطه (۲۸)، $\beta = 8 \times 10^{-3}$ و $Y_0 = 25.0^\circ\text{C}$. $\alpha = 1.0015 \times 10^{-4}$ است، که این مقادیر از یک سیستم واقعی بدست آمده‌اند [۲۲]. دوره نمونه‌برداری $T_s = 30$ انتخاب می‌گردد. در اینجا $u(k)$ به صورت سیگنال ولتاژ محدود شده از صفر تا پنج ولت است. ساختار کنترل معکوس

کنترل معکوس سیستم آب حمام با پارامترهای نامعین نشان داده شده است.



شکل (۱۰) کارایی سیستم عصبی فازی تطبیقی (ANFIS) و کنترل کننده عصبی فازی نوع-۲ برای کنترل معکوس سیستم آب حمام با پارامترهای نامعین

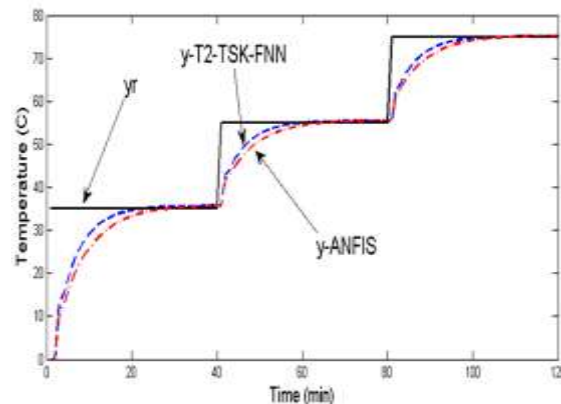
همانطور که در شکل (۱۰) ملاحظه می‌شود، کنترل کننده عصبی فازی تطبیقی (ANFIS) در مقابله با پارامترهای نامعین دچار نوسان شده و بخوبی توانسته است که سیگنال دمای مرجع را دنبال کند اما در مقابل کنترل کننده عصبی فازی نوع-۲ با توجه به منطق فازی نوع-۲ بکار گرفته شده در این کنترل کننده، به خوبی توانسته است در مقابل تغییرات زیاد پارامترها سیگنال دمای مرجع را دنبال کند.

در این مقاله به دلیل استفاده از منطق فازی نوع-۲، نامعینی دینامیک معکوس سیستم به خوبی مدل می‌شود و هرچه دقت شناسایی دینامیک معکوس بیشتر باشد، خطای دنبال کردن در روش کنترل معکوس کمتر خواهد بود. نتایج بدست آمده در این مقاله نشان می‌دهد که پاسخ سیستم بسیار سریع‌تر از روش‌های پیشنهادی در [۲۱-۲۲] و [۲۳] است و سریع‌تر بودن پاسخ منجر به کاهش سیگنال کنترلی می‌شود و همچنین خطای دنبال کردن در مقایسه با مراجع مذکور کمتر است.

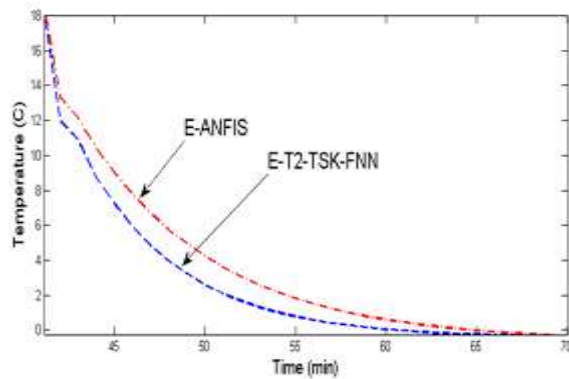
۶- نتیجه‌گیری

در این مقاله از شبکه عصبی فازی نوع-۲ مدل T-S جهت کنترل معکوس تطبیقی برخط سیستم دمای آب استفاده شد. در این روش که دانش قبلی از سیستم را نیاز ندارد، همزمان شبکه عصبی فازی نوع-۲ دینامیک معکوس سیستم را شناسایی کرده و شبکه در حال آموختن به عنوان کنترل کننده مورد استفاده قرار می‌گیرد. جهت ساده‌سازی ساختار و گسترش کاربردهای برخط این شبکه هم در شناسایی و هم در کنترل از الگوریتم کاهش قواعد (از ۹ قاعده به ۳ قاعده) استفاده شد. توانایی مدل کردن نامعینی‌ها، کارایی شبکه‌های عصبی فازی نوع-۲ را در شناسایی دینامیک معکوس سیستم‌ها نسبت به شبکه‌های عصبی فازی نوع-۱ افزایش داده است. نتایج شیوه‌سازی نشان دهنده برتری شبکه عصبی فازی

در شکل (۸) کارایی سیستم عصبی فازی تطبیقی (ANFIS) و کنترل کننده عصبی فازی نوع-۲ برای کنترل معکوس سیستم آب حمام نشان داده شده است.



شکل (۸) سیگنال مرجع y ، سیگنال خروجی سیستم کنترل شده با کنترل کننده عصبی فازی نوع-۲ و سیگنال خروجی سیستم کنترل شده با کنترل کننده عصبی فازی تطبیقی (ANFIS) در شکل (۹) منحنی خطای کنترل کننده عصبی فازی نوع-۲ و کنترل کننده بر اساس ANFIS در بازه زمانی ۴۰ تا ۷۰ دقیقه نشان داده شده است.



شکل (۹) منحنی خطای کنترل کننده عصبی فازی نوع-۲ و کنترل کننده بر اساس ANFIS در بازه زمانی ۴۰ تا ۷۰ دقیقه

در اینجا برای نشان دادن توانایی کنترل کننده ارائه شده در مقابله با نامعینی‌ها، فرض می‌شود مقادیر α و β ثابت بوده و هر کدام در محدوده‌ای متغیر باشند. فرض می‌شود که α از 8.5×10^{-5} تا 1.15×10^{-4} یعنی معادل ۱۵٪ حالتی که ثابت در نظر گرفته شده بود، هر لحظه به صورت تصادفی تغییر کند. همچنین β از 6.88×10^{-3} تا 1.03×10^{-2} یعنی معادل ۲۰٪ حالتی که ثابت در نظر گرفته شده بود، متغیر باشد. در شکل (۱۰) کارایی سیستم عصبی فازی تطبیقی (ANFIS) و کنترل کننده عصبی فازی نوع-۲ برای

- [12] Hagras H.A., 2004, "A hierarchical type-2 fuzzy logic control architecture for autonomous mobile robots", *IEEE Transactions on Fuzzy Systems*, Vol. 12, No. 4, Pages: 524–539.
- [13] LI Ch.-D., YI J.-Q., YU Y. and ZHAO D.-B., 2010, "Inverse Control of Cable-driven Parallel Mechanism Using Type-2 Fuzzy Neural Network", *ACTA AUTOMATICA SINICA*, Vol. 36, No. 3, Pages: 459-464.
- [14] Kadhim H. H., May 2011, "Self Learning of ANFIS Inverse Control using Iterative Learning Technique", *International Journal of Computer Applications*, Vol. 21, No. 8, Pages: 24-29.
- [15] Roger Jang W.-H., Yeh C.-Y. and Lee S.-J., 2009, "General Type-2 Fuzzy Neural Network with Hybrid Learning for Function Approximation", *IEEE International Conference on Fuzzy Systems*, Korea.
- [16] Karnik N. N., Mendel J. M. and Liang Q., 1999, "Type-2 Fuzzy Logic Systems", *IEEE Transaction on Fuzzy Systems*, Vol. 7, No. 6, Pages: 643-658.
- [17] Singh M., Srivastava S., Hammandlu M., Gupta J.R.P., 2009, "Type-2 fuzzy wavelet networks (T2FWN) for system identification using fuzzy differential and Lyapunov stability algorithm", *Applied Soft Computing*, Vol. 9, Pages: 977–989.
- [18] Li J. and Jinshou Y., 2002, "Nonlinear Hybrid Adaptive Inverse Control Using Neural Fuzzy System And Its Application To CSTR Systems", *Proceedings of the 4th World Congress on Intelligent Control and Automation*, Shanghai, P.R.China.
- [19] Juang C.-F. and Chen J.-S., 2006, "Water Bath Temperature Control by a Recurrent Fuzzy Controller and Its FPGA Implementation", *IEEE Transaction on Industrial Electronics*, Vol. 53, No. 3, Pages: 941-949.
- [20] Mangar L. O., Rathee V., 2009, "A Comparative Study between Fuzzy Logic Control and Adaptive Neuro-Fuzzy Control for Water Bath System", *Second International Conference on Emerging Trends in Engineering and Technology*, ICETET.
- [21] Lin C.-T., Juang C.-F., Li C.-P., 2000, "Water bath temperature control with a neural fuzzy inference network", *Fuzzy Sets and Systems*, Vol. 111, Pages: 285-306
- [22] Tanomaru J., Omatsu S., 1992, "Process control by on-line trained neural controllers", *IEEE Transaction on Industrial Electronics*, Vol. 39, No.6, Pages: 511-521.
- [23] Lin C.-J., Lee C.-Y. and Chin C.-C., 2006, "Temperature control using neuro-fuzzy controllers with compensatory operations and wavelet neural networks", *Journal of Intelligent & Fuzzy Systems*, Vol. 17, Pages: 145–157.

نوع-۲ مدل T-S به ANFIS در کنترل معکوس تطبیقی دمای آب جهت دنبال کردن سیگنال دمای مرجع است.

مراجع

- [1] Castro J. R., Castillo O., Martínez L. G, 2007, "Interval Type-2 Fuzzy Logic Toolbox", *Engineering Letters*, EL_15_1_14, Pages: 1-15.
- [2] Castillo O. and Melin P., *Type-2 Fuzzy Logic: Theory and Applications*, Springer-Verlag Berlin Heidelberg 2008.
- [3] Castro J. R., Castillo O., Melin P., Rodríguez-Díaz A., 2009, "A hybrid learning algorithm for a class of interval type-2 fuzzy neural networks", *journal of Information Sciences*, Vol. 179, Pages: 2175-2193.
- [4] Abiyev R. H., Kaynak O., Alshanableh T., Mamedov F., 2011, "A Type-2 Neuro-Fuzzy System Based on Clustering and Gradient Techniques Applied to System Identification and Channel Equalization", *Applied Soft Computing*, Vol. 11, Pages: 1396–1406.
- [5] Martínez R., Castillo O., Aguilar L. T., 2009, "Optimization of interval type-2 fuzzy logic controllers for a perturbed autonomous wheeled mobile robot using genetic algorithms", *Information Sciences*, Vol. 179, Pages: 2158–2174.
- [6] Kwun Oh S., Jang H.J., Pedrycz W., 2011, "A comparative experimental study of type-1/type-2 fuzzy cascade controller based on genetic algorithms and particle swarm optimization", *Expert Systems with Applications*, Vol. 38, Pages: 11217–11229.
- [7] Karnik N.N., Mendel J.M., 1999, "Application of type-2 fuzzy logic systems to forecasting of time-series", *Information Sciences*, Vol. 120, Pages: 89–111.
- [8] Lin F.-J., Shieh P.-H., Hung Y.-C., 2008, "An intelligent control for linear ultrasonic motor using interval type-2 fuzzy neural network", *IET Electric Power Applications*, Vol. 2, No. 1, Pages: 32–41.
- [9] Liang Q., Mendel J.M., 2000, "Equalization of nonlinear time-varying channels using type-2 fuzzy adaptive filters", *IEEE Transactions on Fuzzy Systems*, Vol. 8, No. 5, Pages: 551–563.
- [10] Lin T.-C., 2010, "Based on interval type-2 fuzzy-neural network direct adaptive sliding mode control for SISO nonlinear systems", *Commun Nonlinear Sci Numer Simulat*, Vol. 15, Pages: 4084-4099.
- [11] Hwang C., Rhee F.C.-H., 2007, "Uncertain fuzzy clustering: interval type-2 fuzzy approach to C-means", *IEEE Transactions on Fuzzy Systems*, Vol. 15, No. 1, Pages: 107–120.

کنترل مقاوم و شکل دهنده مجموعه نامعینی حاصل از شناسایی سیستم

وحید آینین فر^۱، حمید رضا مؤمنی^۲

^۱ فارغ‌التحصیل کارشناسی ارشد مهندسی برق، گروه کنترل، دانشگاه تربیت مدرس، V.Aeinfar@Modares.ac.ir

^۲ دانشیار، دانشکده مهندسی برق و کامپیوتر، گروه کنترل، دانشگاه تربیت مدرس، Momeni_h@Modares.ac.ir

(تاریخ دریافت مقاله ۱۳۸۹/۸/۲۰، تاریخ پذیرش مقاله ۱۳۹۰/۶/۳۰)

چکیده: یک نقطه ضعف مهم در ارتباط با طراحی کنترل کننده مقاوم برای مدل‌های به دست آمده از شناسایی به روش خطای پیش‌بینی این است که روش‌های طراحی کنترل مقاوم بسیار قلیلی مستقیماً با نوایی عدم قطعیت بیضوی، به دست آمده از آزمایش شناسایی سیستم سازگار هستند. مدل‌های به دست آمده از آزمایش شناسایی سیستم در چارچوب خطای پیش‌بینی در یک مجموعه عدم قطعیت بیضوی جای می‌گیرند. در این مقاله یک روش توان طراحی سیگنال ورودی/کنترل کننده مقاوم ارائه می‌شود که پایداری سیستم حلقه-بسته و ارضای کارایی مقاوم مورد نظر را با استفاده از مدل‌های به دست آمده از داده‌های آزمایش تضمین کند. از پارامتری کردن بعد محدود طیف سیگنال ورودی برای نمایش مسئله طراحی ورودی به صورت یک مسئله بهینه‌سازی محدب استفاده شده است. همچنین از روش طراحی کنترل کننده مقاوم H_∞ برای سیستم‌های با عدم قطعیت بیضوی استفاده شده و ویژگی‌های H_∞ داده شده بر روی تابع تبدیل حلقه بسته به صورت شروط کافی بر روی سیگنال ورودی مورد استفاده در آزمایش شناسایی سیستم تعبیر می‌گردد.

کلمات کلیدی: شناسایی برای کنترل، کنترل مقاوم، عدم قطعیت بیضوی، بهینه‌سازی محدب، بهینه‌سازی LMI

Robust Control and Uncertainty Set Shaping Obtained by System Identification

Vahid Aeinfar, Hamidreza Momeni

Abstract: An important shortcoming about designing robust control for models generated from prediction error identification is that very few control design methods directly match the ellipsoidal parametric uncertainty regions that are generated by such identification methods. Models obtained from identification experiments in prediction error framework lie in an ellipsoid uncertainty region. In this contribution we present a joint robust control/input design procedure which guarantees stability and prescribed closed-loop performance using models identified from experimental data. Finite dimensional parameterization of the input spectrum is used to represent the input design problem as a convex optimization. A method for fixed-order H_∞ controller design for systems with ellipsoidal uncertainty is used and given H_∞ specifications on the closed-loop transfer function are translated into sufficient requirements on the input signal used to identify the system.

Keywords: Identification for Control, Robust Control, Ellipsoidal Uncertainty, Convex Optimization, LMI Optimization.

که با این هدف ارائه شده‌اند، هدف کلی توانایی طراحی کنترل کننده‌ای است که پایداری و کارایی مقاوم از پیش تعیین شده‌ای را برای مدل‌های به دست آمده از داده‌های آزمایشگاهی تضمین کند.

۱- مقدمه
در این مقاله با ارائه روشی کاربردی، شناسایی سیستم در چارچوب خطای پیش‌بینی به تئوری کنترل مقاوم مرتبط شده است. در سایر مقالاتی

و کنترل کننده مرتبه ثابت در شناسایی سیستم ارائه شده است، در [۱۲] آنیز یک روش برای طراحی توان کنترل کننده مقاوم و سیگنال ورودی در شناسایی سیستم ارائه شده است. در دو روش فوق از یک ماتریس لیپانوف و چند جمله‌ای مرکزی ثابت برای همه مدل‌های درون مجموعه عدم قطعیت در طراحی کنترل کننده مرتبه ثابت استفاده شده است که به محافظه کاری منجر می‌شود.

در این مقاله از ایده ارائه شده در [۶] برای پارامتری کردن مسئله طراحی ورودی و نمایش به صورت LMI و ایده ارائه شده در [۷] برای طراحی کنترل کننده مقاوم مرتبه ثابت برای سیستم‌های با عدم قطعیت پارامتری بخصوصی استفاده شده و روشی کاربردی برای طراحی توان سیگنال ورودی و کنترل مقاوم در شناسایی سیستم ارائه شده است.

در ادامه مقاله، مقدمات هر دو مبحث طراحی ورودی در شناسایی سیستم و همچنین طراحی کنترل کننده مرتبه ثابت برای سیستم‌های با عدم قطعیت پارامتری بخصوصی در بخش دوم بیان شده‌اند. در بخش سوم، روش توان برای طراحی همزمان سیگنال ورودی و کنترل مقاوم در شناسایی سیستم ارائه شده است. بخش چهارم حاوی نتایج عددی شبیه‌سازی روش ارائه شده بر روی یک سیستم واقعی و مقایسه با روش‌های موجود بوده و کارایی این روش را اثبات می‌کند. در بخش پنجم نیز نتیجه‌گیری و نکات پایانی ارائه شده است.

۲- پیش نیازها و تعریف مسئله

۱.۲ طراحی ورودی در شناسایی سیستم

برای طراحی ورودی در شناسایی سیستم به هدف طراحی کنترل کننده در سیستم‌های گسسته‌زمان، خطی، تغییر ناپذیر با زمان تک ورودی-تک خروجی، فرض کنید که سیستم توسط

$$M : y(t) = G(z, \theta)u(t) + H(z, \theta)e(t) \quad (1)$$

تعریف می‌شود که در آن، $y(t)$ خروجی، $u(t)$ ورودی و $e(t)$ نویز سفید با میانگین صفر و واریانس محدود می‌باشد. دینامیک سیستم و نویز به ترتیب توابع تبدیل $G(z, \theta)$ و $H(z, \theta)$ مدل شوند که با استفاده از بردار پارامترها $\theta \in \Theta \subset R^n$ پارامتری شده‌اند. در این مسئله حالی را در نظر می‌گیریم که مدل به اندازه کافی کارامد است که بتواند دینامیک سیستم واقعی S را شناسایی کند. به عبارت دیگر سیستم واقعی به مجموعه مدل تعلق داشته باشد ($S \in M$) تعلق سیستم واقعی به مجموعه مدل به این معنی است که یک بردار پارامتر $\bar{\theta}$ وجود داشته باشد که $G(\bar{\theta}) = G_0$ و $H(\bar{\theta}) = H_0$ در روابط فوق G_0 نشان دهنده تابع تبدیل سیستم واقعی و H_0 یک تابع تبدیل مونیک (Monic) پایدار و معکوساً پایدار است و رابطه $\lambda_0(\omega) = |H_0(e^{j\omega})|^2$ را برآورده می‌کند. $\Phi_0(\omega)$ نیز طیف نویز جمع‌شونده با خروجی و λ_0 یک مقدار ثابت است که می‌تواند به عنوان واریانس c در نظر گرفته شود، [۶].

مدل‌های به دست آمده از آزمایش شناسایی سیستم به دلیل وجود نویز اندازه‌گیری و همچنین نایقینی‌های موجود در ساختار مدل دارای عدم قطعیت می‌باشند، [۱]. اگر مدل یک سیستم دقیق باشد، این مدل برای همه کاربردها بهینه می‌باشد. اما اگر مدل تنها تقریبی از سیستم واقعی باشد، کیفیت مدل باید به کاربرد مورد نظر مدل وابسته باشد. بر این اساس، طراحی آزمایش با در نظر گرفتن هدفی که مدل قرار است برای آن مورد استفاده قرار گیرد معنا می‌یابد. به عبارت دیگر باید تضمین کنیم که توزیع خطای مدل به گونه‌ای باشد که بر هدف مورد نظر ما زیاد تاثیر گذار نباشد. مطالب فوق ما را به سمت مبحث شناسایی هدفار راهنمایی کرده و به ما اجازه می‌دهد که مسئله شناسایی سیستم را به عنوان یک مسئله طراحی در نظر بگیریم، [۲]. به عنوان مثال فرض کنید هدف شناسایی سیستم $G(s) = \frac{1}{s+1}$ بوده و پس از انجام آزمایش شناسایی سیستم، مدل $\frac{1}{s}G(s)$ از سیستم به دست آمده است. حال اگر کاربرد مدل دستیابی به دینامیک واقعی سیستم باشد، مدل به دست آمده از سیستم برای این منظور مناسب نمی‌باشد. ولی اگر هدف از شناسایی سیستم، طراحی یک کنترل کننده دینامیک با بهره بالا باشد، مدل به دست آمده کاملاً مناسب بوده و نیازی به صرف هزینه بیشتر برای دستیابی به مدل دقیق‌تر نمی‌باشد.

در [۳] یک روش بازگشتی طراحی کنترل کننده برای سیستم‌های با عدم قطعیت پارامتری بخصوصی ارائه شده است. در [۴] نشان داده شده است که مسئله کنترل مقاوم برای عدم قطعیت بخصوصی می‌تواند به صورت یک مسئله بهینه‌سازی محاسبه بیان شود. مسئله طراحی کنترل کننده مرتبه ثابت برای سیستم‌های با عدم قطعیت بخصوصی در [۵ و ۱۱] بررسی شده‌اند. در [۶] این مسائل تنها پایدارسازی سیستم نامعین تحقیق شده است. در [۷] روشی برای نمایش مسائل طراحی ورودی در چارچوب خطای پیش‌بینی به عنوان مسائل بهینه‌سازی محاسبه ارائه شده است و از LM KYP نمایش به صورت نامساوی ماتریسی خطی (LMI) استفاده شده است. مسئله طراحی کنترل کننده فیدبک حالت H_{∞} برای سیستم‌های با عدم قطعیت پارامتری نیز در [۸] ارائه شده است. در [۹] فرض شده است که تنها یکی از ماتریس‌های فضای حالت A یا C به پارامترهای نامعین وابسته باشد. علاوه بر این از یک ماتریس لیپانوف متریک برای همه سیستم‌ها درون مجموعه مدل استفاده شده است که به محافظه کاری شدیدی منجر می‌شود. در [۱۰] مسئله طراحی کنترل کننده مرتبه ثابت H_{∞} برای سیستم‌های با عدم قطعیت پارامتری بخصوصی بر اساس یک تابع لیپانوف پارامتری موردن بررسی قرار گرفته و با استفاده از مفهوم اکیدا حقیقی مثبت (SPR) در مورد توابع تبدیل، یک روش طراحی کنترل مقاوم مرتبه ثابت برای سیستم‌های با عدم قطعیت پارامتری بخصوصی بر اساس جواب یک دسته از نامساوی‌های ماتریسی خطی ارائه شده است. در [۱۱] روشی برای طراحی کنترل کننده مرتبه ثابت برای سیستم‌های با عدم قطعیت پارامتری بخصوصی و روشی برای طراحی توان سیگنال ورودی

خواص مجانبی (۲) برای حالتی که $S \in M$ و برای N به اندازه کافی بزرگ، ایجاب می کند که تخمین پارامتر به طور تقریبی با احتمال p در درون ناحیه عدم قطعیت یخصوصی زیر قرار گیرد، [۹].

$$U_\theta = \{\theta \mid N(\theta - \bar{\theta})^T P^{-1}(\bar{\theta})(\theta - \bar{\theta}) \leq \chi(n, p)\} \quad (4)$$

رابطه (۳) برای معکوس ماتریس کواریانس $P^{-1}(\bar{\theta})$ نشان می دهد که طیف ورودی تنها کمیت وابسته به ورودی است که می تواند بر روی ماتریس کواریانس تخمین، $P(\bar{\theta})$ تاثیر گذار باشد و برای معیارهای کیفی وابسته به $P(\bar{\theta})$ ، طیف ورودی تنها کمیتی است که می تواند برای برقراری محدودیت های کیفی مورد استفاده قرار گیرد.

طیف سیگنال ورودی u طبق رابطه زیر تعریف می گردد

$$\Phi_u(\omega) = \sum_{k=-\infty}^{\infty} \tilde{c}_{|k|} e^{-j\omega k} \quad (5)$$

که در آن

$$r_k = Eu(t)u(t-k) \quad (6)$$

ضرایب همبستگی می باشند. با تغییر مناسب توابع پایه می توان رابطه (۵) را به صورت زیر بازنویسی نمود.

$$\Phi_u(\omega) = \sum_{k=-\infty}^{\infty} \tilde{c}_{|k|} B_k(e^{j\omega}) \quad (7)$$

که توابع پایه $\{B_k\}_{k=0}^{\infty}$ توابع تبدیل کسری پایدار و سره بوده و ضرایب \tilde{c}_k نیز باید به گونه ای باشند که

$$\Phi_u(\omega) \geq 0, \forall \omega \quad (8)$$

با این وجود، استفاده از تعداد نامتاهی پارامتر غیرعملی می باشد و این پارامتری کردن باید به گونه ای محدود گردد. یک راه حل استفاده از پارامتری کردن بعد محدود می باشد، یعنی:

$$\Phi_u = \sum_{k=-(M-1)}^M \tilde{c}_{|k|} B_k \quad (9)$$

که M یک عدد صحیح مثبت است. این نوع از پارامتری کردن در [۶] به عنوان "پارامتری کردن بعد محدود طیف ورودی" نامگذاری و نشان داده شده است که به جای پارامتری کردن طیف ورودی، می توان از پارامتری کردن قسمت حقیقی مثبت آن استفاده کرد، یعنی:

با نمایش تخمین پارامترها بر اساس N سری داده های ورودی خروجی به صورت $\hat{\theta}_N$ ، نتایج مهمی در ارتباط با خواص مجانبی تخمین پارامترها به دست می آید که عبارتند از، [۹].

$$\begin{aligned} \sqrt{N}(\hat{\theta}_N - \bar{\theta}) &\rightarrow N(0, P(\bar{\theta}))asN \rightarrow \infty \\ \lim_{N \rightarrow \infty} NE(\hat{\theta}_N - \bar{\theta})(\hat{\theta}_N - \bar{\theta})^T &= P(\bar{\theta}) \\ P(\bar{\theta}) &= \lambda_0 [E[\psi(t, \bar{\theta})\psi^T(t, \bar{\theta})]] \\ \psi(t, \bar{\theta}) &= \frac{d}{dt} \hat{y}(t, \bar{\theta}) \end{aligned} \quad (2)$$

این نتایج نشان می دهد که اگر سیستم واقعی درون مجموعه مدل قرار داشته باشد، تخمین پارامترها به سمت پارامترهای سیستم واقعی می کند و ماتریس کواریانس خطای تخمین با نسبت $1/N$ کاهش می یابد. با این وجود تعداد داده های آزمایش تنها کمیتی نیست که بر صحبت تخمین تاثیر گذار است. با در نظر گرفتن عملیات حلقه باز، معکوس ماتریس کواریانس، $P^{-1}(\bar{\theta})$ ، تابعی خوش تعریف (Affine) از طیف ورودی بوده و به صورت زیر تعریف می شود، [۹]

$$\begin{aligned} P^{-1}(\bar{\theta}) &= \frac{1}{2\pi\lambda_0} \int_{-\pi}^{\pi} F_u(e^{j\omega}, \bar{\theta}) \Phi_u(\omega) F_u^*(e^{j\omega}, \bar{\theta}) d\omega \\ &\quad + R_0(\bar{\theta}) \\ R_0(\bar{\theta}) &= \frac{1}{2\pi} \int_{-\pi}^{\pi} F_e(e^{j\omega}, \bar{\theta}) F_e^*(e^{j\omega}, \bar{\theta}) d\omega \\ F_u(\bar{\theta}) &= H^{-1}(\bar{\theta}) \frac{dG(\bar{\theta})}{d\theta} \quad \text{آن در} \\ F_e(\bar{\theta}) &= H^{-1}(\bar{\theta}) \frac{dH(\bar{\theta})}{d\theta} \end{aligned} \quad (3)$$

رابطه (۳) به خوبی نشان می دهد که چگونه واریانس خطای طیف سیگنال ورودی بستگی دارد. بر این اساس ورودی های با طیف های متفاوت به طرق مختلفی واریانس خطای را تحت تاثیر قرار می دهند. بنابراین رابطه (۳) رابطه ای بسیار مفید در مبحث طراحی ورودی می باشد. در حالت حلقه باز، طیف ورودی تنها کمیتی است که می توان از آن برای شکل دادن به ماتریس کواریانس مجانبی استفاده کرد، [۶]

با توجه به رابطه (۳)، معکوس ماتریس کواریانس به واسطه $\bar{\theta}$ به سیستم واقعی وابسته است که در کاربردهای عملی این موضوع به یک نقطه ضعف در مسئله طراحی ورودی تبدیل می شود. برای حل این مشکل در کاربردهای عملی، می توان روش طراحی بهینه را با یک روش دو مرحله ای جایگزین نمود. در مرحله اول با استفاده از سیگنال های معمول و کلاسیک شناسایی سیستم مانند نویز سفید یا سیگنال های باینری شبیه تصادفی (PRBS) یک مدل اولیه از سیستم تخمین می زیم. در مرحله دوم مدل تخمینی به دست آمده از مرحله اول را جایگزین سیستم واقعی در مسئله طراحی ورودی می کنیم.

که در آن $N(z, \theta)$ و $M(z, \theta)$ دو چندجمله‌ای و پارامتر $\theta = [\theta_0 \ \theta_1 \ \dots \ \theta_{n-1}]^T \in R^n$ برداری است که G را پارامتری می‌کند. عدم قطعیت مدل توسط ناحیه عدم قطعیت پارامتری ییضوی نمایش داده می‌شود و پارامترها در درون یک ییضی به مرکز تخمین نامی $\bar{\theta}$ قرار می‌گیرند. این ناحیه عدم قطعیت ییضوی توسط رابطه زیر تعریف می‌گردد.

$$U = \left\{ \theta \mid (\theta - \bar{\theta})^T R_e (\theta - \bar{\theta}) \leq 1 \right\} \quad (15)$$

برای ساده سازی روابط، متغیر $[\theta^T \quad 1]^T = \Delta$ را در نظر بگیرید.
بنابراین مجموعه عدم قطعیت عبارت است از:

$$U = \left\{ \Delta \mid \Delta^T U_0 \Delta \geq 0 \right\} \quad (16)$$

که در آن:

$$U_0 = \begin{pmatrix} -R_e & R_e \bar{\theta} \\ \bar{\theta}^T R_e & 1 - \bar{\theta}^T R_e \bar{\theta} \end{pmatrix} \quad (\text{IV})$$

سیستم حلقه بسته استاندارد فیلبک واحد را در نظر بگیرید، در اینجا هدف طراحی کنترل کننده مرتبه ثابت

$$K(z) = \frac{X(z)}{Y(z)} = \frac{x_0 z^m + x_1 z^{m-1} + \dots + x_m}{z^m + y_1 z^{m-1} + \dots + y_m} \quad (18)$$

به گونه‌ای است که سیستم حلقه-بسته پایدار شده و کارایی H_∞ زیر تضیین گردد.

$$\|W(z)V(z, \Delta)\|_{\infty} = \left\| \frac{S(z, \Delta)}{L(z, \Delta)} \right\|_{\infty} < \gamma \quad (14)$$

که $V(z, \Delta)$ می‌تواند هر تابع تبدیل حلقه بسته‌ای مانند تابع حساسیت، مکمل حساسیت و یا تابع حساسیت ورودی و $W(z)$ نیز یک فیلتر وزنه مناسب می‌باشد. با در نظر گرفتن مفهوم SPR بودن ارائه شده در لم ۱، تعریف زیر در [۱۰] ارائه شده است.

تعريف ۱ : دوتابع تبدیل SPR هم مرتبه $(H_1(z), H_2(z))$ و (A_1, B_1, C_1, D_1) را تحقیق‌های فضای حالت (A_2, B_2, C_2, D_2) و (A_1, B_1, C_1, D_1) را با CL-SPR با تابع لیپاونوف مشترک یا KYP (نامساوی(۱۱)) را با یک ماتریس لیپاونوف Q برآورده سازند، [۱۰].

ل^م ۳: [۱۰] چند جمله‌ای $S(z)$ و دو چند جمله‌ای هم مرتبه $L(z)$ و $E(z)$ (چند جمله‌ای مرکزی) را در نظر بگیرید. آنگاه اگر تابع تبدیل زیر CL-SPR باشد.

$$\begin{aligned}\Phi_u(\omega) &= \Psi(e^{j\omega}) + \Psi^*(e^{j\omega}) \\ \Psi(e^{j\omega}) &= \sum_{k=0}^{M-1} \tilde{c}_k B_k(e^{jw})\end{aligned}\quad (14)$$

با در نظر گرفتن پارامتری کردن قسمت حقیقی مثبت، می توان از مفهوم SPR بودن برای برقراری شرط (۸) برای طیف ورودی استفاده نمود و در نتیجه لم KYP کاربرد پیدا می کند.

لپم ۱: [۶] تابع تبدیل SPR، $H(z) = C(zI - A)^{-1}B + D$ است اگر و فقط اگر ماتریس $Q = Q^T > 0$ وجود داشته باشد که:

$$K(Q, \{A, B, C, D\}) = \begin{bmatrix} Q - A^T Q A & C^T - A^T Q B \\ C - B^T Q A & D + D^T - B^T Q B \end{bmatrix} > 0 \quad (11)$$

در اینجا با در نظر گرفتن تحقق فضایی حالت کانونی کنترل کننده B از $\{A, B, C, D\}$ ، ماتریس‌های حالت و ورودی A و B مقادیر ثابت بوده و می‌توان از لم KYP برای نمایش شرط مثبت بودن (۸) به صورت LMI استفاده نمود.

با استفاده از پارامتری کردن بعد محدود طیف ورودی به فرم (۱۰)، ثابت شده است که می‌توان معکوس ماتریس کواریانس $(\bar{\theta})^{-1} P$ را نیز به صورت تابع خوش تعریفی از متغیرهای پارامتری کننده طیف ورودی نهشیت.

لم ۲ : [۶] فرض کنید طیف ورودی توسط متغیرهای \tilde{c}_k به صورت رابطه (۱۰) پارامتری شده است. سپس معکوس ماتریس کوواریانس نیز توسط همین متغیرها به صورت زیر پارامتری می‌شود.

$$P^{-1}(\bar{\theta}) = R_0(\bar{\theta}) + \sum_{k=0}^{M-1} \tilde{c}_k B_k^p(\bar{\theta}) \quad (12)$$

که در آن:

$$B_k^p(\bar{\theta}) = \frac{1}{2\pi\lambda_0} \int_{-\pi}^{\pi} F_u(e^{j\omega}, \bar{\theta}) [B_k(e^{j\omega}) + B_k^*(e^{j\omega})] F_u^*(e^{j\omega}, \bar{\theta}) d\omega \quad (14)$$

۲.۲ طراحی کنترل کننده مرتبه ثابت H_∞ برای سیستم‌های
با عدم قطعیت یارامتری پیش‌بینی

تابع تبدیل یک سیستم نامعین تک ورودی-تک خروجی، گسسته و تغییر ناپذیر با زمان زیر را در نظر بگیرید

$$G(z, \theta) = \frac{N(z, \theta)}{M(z, \theta)} = \frac{\theta_0 z^p + \theta_1 z^{p-1} + \dots + \theta_p}{z^q + \theta_{p+1} z^{q-1} + \dots + \theta_{n-1}} \quad (14)$$

درون مجموعه مدل در نظر گرفت، یعنی $\forall \Delta \in U, P = P(\Delta)$ اما این روش محافظه کاری زیادی را ایجاد می کند. یک روش بهبود یافته، استفاده از ماتریس لیپانوف وابسته پارامتری است که به محافظه کاری کمتری منجر می شود، [۱۷]. با در نظر گرفتن ساختار

$$P(\Delta) = (I_t \otimes \Delta^T) P_q (I_t \otimes \Delta) \quad (۲۴)$$

برای ماتریس لیپانوف که در آن \otimes نشان دهنده ضرب کرانکر می باشد، می توان یک تقریب با بعد محدود از (۲۳) برای سیستم های با عدم قطعیت پارامتری بیضوی ارائه داد، [۷]. بنابراین می توان ماتریس های $\Pi = (I_{t+1} \otimes \Delta^T) \Pi_q (\Delta), I_t, R$ و $I_t = (I_t \otimes \Delta^T) \Lambda_q, \Gamma(\Delta) = (I_{t+1} \otimes \Delta^T) \Gamma_q$ را به صورت $\Psi(\Delta) = \Delta^T \Psi_q (I_t \otimes \Delta)$ نمایش داد که ماتریس های $R, R_q, \Pi_q, \Gamma_q, \Lambda_q, R_q, \Psi_q$ به صورت زیر تعریف می شوند.

$$R_q = [(0_{(n+1) \times n} \quad r_0) \quad \dots \quad (0_{(n+1) \times n} \quad r_t)]$$

$$\Psi_q = [0_{(n+1) \times (nt+t-1)} \quad r_t], \Pi_q = \begin{bmatrix} 0_{(n+1) \times t} \\ \Lambda_q \end{bmatrix}$$

$$\Lambda_q = \begin{bmatrix} \begin{pmatrix} 0_{n \times 1} \\ 1 \end{pmatrix} & 0 \\ \ddots & \begin{pmatrix} 0_{n \times 1} \\ 1 \end{pmatrix} \end{bmatrix}$$

$$\Gamma_q = \begin{bmatrix} -e_0 \\ \vdots \\ 0_{((n+1)(t+1)) \times (t-1)} \quad -e_{t-1} \\ 0_{(n+1) \times 1} \end{bmatrix}$$

در [۷] با استفاده از تعاریف فوق و استفاده از روند S ، شرط با بعد نا محدود $Spr(P(\Delta), \varepsilon, R(z, \Delta), E(z, \Delta)) > 0$ در (۲۳)، با شرط وجود اسکالر $\tau_{spr} > 0$ و ماتریس T_{spr} تعریف شده توسط (۳۷) با $f = 2t+1$ جایگزین شده است به گونه ای که

$$H_q(P, \varepsilon, R, E, r_t) - \tau_{spr}(I_{2t+1} \otimes U_0) + T_{spr} > 0 \quad (۲۵)$$

که در آن

$$H_q(P, \varepsilon, R, E, r_t) = \begin{bmatrix} P_q & R_q^T & 0 \\ R_q & 0 & \Psi_q \\ 0 & \Psi_q^T & -P_q \end{bmatrix} + \quad (۲۶)$$

$$\varepsilon \begin{bmatrix} \Pi_q + \Gamma_q \\ -\Lambda_q \end{bmatrix} \begin{bmatrix} \Pi_q^T + \Gamma_q^T & -\Lambda_q^T \end{bmatrix}$$

$$\begin{aligned} H_1(z) &= (L(z) - \gamma^{-1} S(z))/E(z) \\ H_2(z) &= (L(z) + \gamma^{-1} S(z))/E(z) \end{aligned} \quad (۲۰)$$

در لم ۳، تابع تبدیل $S(z)/L(z)$ می تواند هر تابع حساسیت وزندار حلقه بسته ای باشد. برای ساده سازی روابط، تعریف زیر، ارائه شده در [۷] را در نظر بگیرید.

چند جمله ای $R(z, \Delta) = \Delta^T r_t z^t + \Delta^T r_{t-1} z^{t-1} + \dots + \Delta^T r_0$ که تمامی ضرایب آن تابع حقیقی خوش تعریف از بردار پارامتر $\Delta \in U$ می باشند را وابسته خطی به پارامتر (LPD) (L, P) از U می نامند اگر $r_0, r_1, \dots, r_t \in R^{n+1}$ همچنین یک سیستم دارای عدم قطعیت خطی تغییر ناپذیر با زمان با تابع تبدیل

$$G(z, \Delta) = \frac{N(z, \Delta)}{M(z, \Delta)} \quad (۲۱)$$

را یک سیستم از LPD از U می نامند اگر $M(z, \Delta)$ و $N(z, \Delta)$ چند جمله های از LPD از U باشند، [۷]

لم ۴: چند جمله ای مرکزی $E(z, \Delta)$ که LPD می باشد را در نظر بگیرید. آنگاه کنترل کننده مرتبه ثابت رابطه (۱۸)، سیستم دارای عدم قطعیت (۲۱) را پایدار کرده و کارایی H_∞ رابطه (۱۹) را برای هر $\Delta \in U$ برآورده می کند اگر دو اسکالر حقیقی ε_1 و ε_2 و یک ماتریس متقابن مثبت $P(\Delta) = P(\Delta)^T > 0$ وجود داشته باشد که:

$$\begin{aligned} Spr(P(\Delta), \varepsilon_1, L(z, \Delta) + \gamma^{-1} S(z, \Delta), E(z, \Delta)) &> 0 \\ Spr(P(\Delta), \varepsilon_2, L(z, \Delta) - \gamma^{-1} S(z, \Delta), E(z, \Delta)) &> 0 \end{aligned} \quad (۲۲)$$

که در آن:

$$\begin{aligned} Spr(P(\Delta), \varepsilon, R(z, \Delta), E(z, \Delta)) &= \\ \begin{bmatrix} P(\Delta) & R^T \Delta & 0_{t \times t} \\ \Delta^T R & 0 & \Psi(\Delta) \\ 0_{t \times t} & \Psi(\Delta)^T & -P(\Delta) \end{bmatrix} &+ \\ \varepsilon \begin{bmatrix} \Pi + \Gamma(\Delta) \\ -I_t \end{bmatrix} \begin{bmatrix} \Pi^T + \Gamma(\Delta)^T & -I_t \end{bmatrix} & \end{aligned} \quad (۲۳)$$

$$\begin{aligned} R &= [r_0 \quad r_1 \quad \dots \quad r_{t-1}] \quad \Psi(\Delta) = [0_{1 \times (t-1)} \quad \Delta^T r_t] \\ E &= [e_0 \quad e_1 \quad \dots \quad e_{t-1}] \quad \Pi^T = [0_{t \times 1} \quad I_t] \\ &\quad \Gamma(\Delta) = \begin{bmatrix} 0_{t \times (t-1)} & -E^T \Delta \\ 0_{1 \times (t-1)} & 0 \end{bmatrix} \end{aligned}$$

با استفاده از لم ۴، مسئله طراحی کنترل کننده مرتبه ثابت H_∞ برای سیستم های با عدم قطعیت پارامتری بیضوی می تواند به صورت یک مسئله بهینه سازی با بعد نا محدود نمایش داده شود. برای ساده سازی مسئله، یک راه حل این است که یک ماتریس لیپانوف ثابت برای همه مدل های

پایدارساز (در صورت وجود) باشیم که یک کارایی مقاوم مانند (۱۹) را تضمین کند. در بخش ۱-۲ اشاره شد که تخمین پارامترهای $\hat{\theta}_N$ به دست آمده از آزمایش شناسایی سیستم در چارچوب خطای پیش بینی، در داخل ناحیه عدم قطعیت بیضوی (۴) قرار می‌گیرد. بنابراین مسئله طراحی توان به صورت کلی به شکل زیر بیان می‌شود.

$$\text{minimize}_{\alpha} \quad \alpha$$

subject to:

$$\begin{aligned} \Phi_u(\omega) &\geq 0; \forall \omega \\ \frac{1}{2\pi} \int_{-\pi}^{\pi} \Phi_u(\omega) d\omega &\leq \alpha \end{aligned} \quad (۳۰)$$

\exists fixed-order controller such that

$$\|W(z)V(z,\Delta)\|_{\infty} < \gamma; \forall \omega, \quad \forall \Delta \in U$$

به منظور ارائه روش جدید برای طراحی توان سیگنال ورودی و کنترل کننده در آزمایش شناسایی سیستم، ناحیه عدم قطعیت به دست آمده از آزمایش شناسایی (۴) باید به شکل (۱۵) نمایش داده شود. بدین منظور فرض کنید

$$R_e = \frac{P^{-1}(\bar{\theta})N}{\chi(n,p)} \quad (۳۱)$$

با این تعریف، پارامتر واقعی سیستم و ماتریس کواریانس تخمین به روش طراحی کنترل کننده مرتبه ثابت برای سیستم‌های با عدم قطعیت پارامتری بیضوی وارد می‌شود. همانطور که در بخش ۲ اشاره شد، برای نمایش مسئله طراحی ورودی به صورت بهینه سازی محاسبه می‌توان از پارامتری نمودن طیف ورودی با استفاده کرد. بنابراین با تعریف پارامتری کردن بعد محدود (۹)، می‌توان از لم KYP برای تضمین برقراری شرط مثبت بودن (۸) استفاده نمود. به علاوه با استفاده از این پارامتری کردن، معکوس ماتریس کواریانس $(\bar{\theta})^{-1} P$ و در نتیجه U_0 بر حسب پارامترهای $\tilde{c}_k; k = 0, 1, \dots, M-1$ پارامتری می‌شوند. پس پارامتری کردن ناحیه عدم قطعیت، برای برقراری شرط کارایی (۱۹)، لم ۱ و روابط مربوط به آن یعنی روابط (۲۵) الی (۲۸) می‌توانند مورد استفاده قرار گیرند.

واضح است که با پارامتری کردن U_0 بر حسب \tilde{c}_k ، رابطه (۲۵) بر حسب τ و \tilde{c}_k خطی نمی‌باشد. برای حل این مشکل، با تعریف متغیرهای جدید $R_e - 1$ و $c_k = \tilde{w}_k$ و جایگزین کردن در مدل (۱)، می‌توان پارامتری کردن جدیدی از طیف ورودی و در نتیجه معکوس ماتریس کواریانس بر حسب c_k تصور کرد. بنابراین با تعریف

و ماتریس بلوکی T تشکیل شده از ماتریس‌های شبه متقاضن $T_{ij} = -T_{ij}^T \in R^{(n+1) \times (n+1)}$ به صورت زیر تعریف می‌شود.

$$T = \begin{bmatrix} 0 & T_{21}^T & \cdots & T_{f1}^T \\ T_{21} & 0 & & T_{f2}^T \\ \vdots & & \ddots & \vdots \\ T_{f1} & T_{f2} & \cdots & 0 \end{bmatrix} \quad (۲۷)$$

همچنین شرط $P(\Delta) > 0, \forall \Delta \in U_0$ نیز با شرط وجود یک اسکالر حقیقی مثبت $\tau_p > 0$ و ماتریس T_p (تعریف شده توسط (۲۷) با $f = t$) جایگزین شده است به گونه‌ای که، [۷]

$$P_q - \tau_p(I_t \otimes U_0) + T_p > 0 \quad (۲۸)$$

با استفاده از تعاریف فوق و اعمال در لم ۴، می‌توان مسئله طراحی کنترل کننده مرتبه ثابت برای سیستم‌های با عدم قطعیت پارامتری بیضوی را به صورت بهینه سازی محاسبه و در نتیجه به صورت LMI بیان نمود.

همانطور که در [۷] نیز بیان شده است، انتخاب چند جمله‌ای مرکزی $E(z, \Delta)$ مهمترین دلیل پیدایش محافظه کاری در مسئله طراحی کنترل کننده مرتبه ثابت می‌باشد. ساده‌ترین انتخاب یک چند جمله‌ای ثابت است که تابع Δ نباشد. اما این انتخاب به جواب‌های شدیداً محافظه کارانه منجر می‌شود. محافظه کاری روش کمتر می‌شود اگر یک کنترل کننده مرتبه ثابت $(z) = X_0(z)/Y_0(z)$ وجود داشته باشد که سیستم LPD را برای هر $\Delta \in U$ پایدار کند (بدون در نظر گرفتن کارایی). این کنترل کننده مرتبه ثابت می‌تواند با استفاده از روش ارائه شده در [۱۱] محاسبه شده و یا کنترل کننده محافظه کارانه به دست آمده توسعه چند جمله‌ای مرکزی ثابت باشد. سپس یک انتخاب خوب برای چند جمله‌ای مرکزی عبارت است از:

$$E(z, \Delta) = X_0(z)N(z, \Delta) + Y_0(z)M(z, \Delta) \quad (۲۹)$$

یک چند جمله‌ای مرکزی $E(z, \Delta)$ است که برای هر $\Delta \in U$ پایدار است، [۷].

۳- روش طراحی توان سیگنال ورودی و کنترل کننده

در این بخش هدف کلی ایجاد ارتباط بین روش طراحی کنترل کننده مرتبه ثابت برای سیستم‌های با عدم قطعیت پارامتری بیضوی (ارائه شده در بخش ۱-۲) و مسئله طراحی ورودی در شناسایی سیستم (ارائه شده در بخش ۲-۲) و ارائه یک روش ترکیبی برای طراحی توان سیگنال ورودی و کنترل در آزمایش شناسایی سیستم می‌باشد. ساختار مدل (۱) که توسط $\Theta \subset R^n \subset \Theta$ پارامتری شده و کنترل کننده مرتبه ثابت (۱۸) را در نظر بگیرید. حال هدف طراحی سیگنال ورودی با حداقل انرژی به گونه‌ای است که قادر به طراحی یک کنترل کننده

۴- نتایج عددی شبیه سازی بر روی یک سیستم واقعی

برای نشان دادن کارایی روش ارائه شده، از سیستم مثال ارائه شده در [۱۱] استفاده شده است. این مثال مربوط به تابع تبدیل سیستم دو تانک متصل به هم به صورت سری با بازسازی بخار می باشد. تابع تبدیل نامی سیستم عبارت است از:

$$G_0(z) = \frac{0.0028z + 0.0038}{z^2 - 1.1871z + 0.2087} \quad (۳۴)$$

در اینجا به دنبال طراحی یک آزمایش شناسایی سیستم با حداقل تحریک هستیم که ضمن شناسایی پارامترها قادر به طراحی یک کنترل کننده مرتبه ثابت مقاوم K باشیم که سیستم حلقه بسته را پایدار کرده و کارایی مقاوم زیر را نیز تضمین کند.

$$\left\| \frac{1}{1+K(z)G(z)} \right\|_{\infty} = \frac{\|S(z, \Delta)\|}{\|L(z, \Delta)\|} < \gamma \quad (۳۵)$$

آزمایش شناسایی سیستم را در چارچوب خطای پیش بینی و با ساختار مدل خطای خروجی در نظر بگیرید، یعنی:

$$y(t) = G_0(z)u(t) + e(t) \quad (۳۶)$$

که $G_0(z)$ توسط (۳۴) داده شده و $e(t)$ نیز یک نویز سفید با میانگین صفر و واریانس 0.005 می باشد. با در نظر گرفتن تعداد $N = 1000$ داده برای آزمایش شناسایی، انتخاب احتمال 95% برای ناحیه عدم قطعیت در (۱۵) و پارامتری کردن طیف ورودی با $M = 20$ متغیر و توابع پایه $B_k(e^{j\omega}) = e^{-jk\omega}$ ، می توان محدودیت کیفی برای کمینه کردن انرژی سیگنال ورودی در (۳۳) را با شرط $0 \leq r_0 \leq \alpha\tau$ جایگزین نمود. با استفاده از یک آزمایش پیش شناسایی با سیگنال ورودی نویز سفید و تعداد داده های $N_{init} = 500$ می توان تخمین اولیه

$$\theta_{init} = [0.0027 \quad 0.0040 \quad -1.1680 \quad 0.1894]^T \quad (۳۷)$$

را به عنوان پارامترهای واقعی سیستم در مسئله طراحی ورودی و کنترل کننده مرتبه ثابت در نظر گرفت. همچنین فرض کنید که کنترل کننده مرتبه ثابت به صورت زیر پارامتری شده است.

$$K = \frac{x_0 z + x_1}{z + y_1} \quad (۳۸)$$

چندجمله ای مرکزی LPD نیز با استفاده از روش ارائه شده در [۱۰] محاسبه شده است. کنترل کننده زیر برای سیستم نامی بدون در نظر گرفتن عدم قطعیت طراحی شده است.

$$\tilde{U}_0 = \begin{pmatrix} -\tilde{R}_e & \tilde{R}_e \bar{\theta} \\ \bar{\theta}^T \tilde{R}_e & \tau - \bar{\theta}^T \tilde{R}_e \bar{\theta} \end{pmatrix} \quad (۳۹)$$

رابطه (۲۵) به یک LMI بر حسب P_q, c_k, τ, T و پارامترهای $x_m, y_m, x_0, \dots, x_1, \dots, y_1$ تبدیل می شود. برای جمع بندی این بخش با در نظر گرفتن لم ۴ و روابط (۲۵) الی (۲۸) می توان قضیه زیر را بیان نمود.

قضیه ۱: ساختار مدل (۱) و همچنین ناحیه عدم قطعیت (۴) را در نظر بگیرید. فرض کنید طیف ورودی به شکل (۱۰) پارامتری شده و قسمت حقیقی طیف ورودی (Ψ_u)، دارای تحقق فضایی حالت کانونی کنترل پذیری (A, B, C, D) باشد. آنگاه مسئله طراحی توأم سیگنال ورودی و کنترل کننده در آزمایش شناسایی سیستم که کنترل کننده مرتبه ثابت مدل به دست آمده از آزمایش را پایدار کرده و کارایی H_∞ را برای هر $\Delta \in U$ برقرار می کند، می تواند به صورت نامساوی ماتریسی خطی، LMI به صورت زیر نمایش داده شود:

$$\text{minimize} \quad \alpha$$

$$x_0, \dots, x_m, y_1, \dots, y_m, c_0, \dots, c_{M-1}, \\ T_{spr1}, T_{spr3}, T_p, p_q, \tau, \varepsilon_1, \varepsilon_2$$

subject to:

$$\begin{aligned} H_q(P, \varepsilon_1, L - \gamma^{-1}S, E, l_t - \gamma^{-1}s_t) \\ - (I_{2t+1} \otimes \tilde{U}_0) + T_{spr1} > 0 \\ H_q(P, \varepsilon_2, L + \gamma^{-1}S, E, l_t + \gamma^{-1}s_t) \\ - (I_{2t+1} \otimes \tilde{U}_0) + T_{spr2} > 0 \\ P_q - (I_t \otimes \tilde{U}_0) + T_p > 0 \\ K(Q, \{A, B, C, D\}) \geq 0 \\ \frac{1}{2\pi} \int_{-\pi}^{\pi} \Phi_u(\omega) d\omega \leq \alpha \\ \tau, Q, p_q > 0 \end{aligned} \quad (۳۳)$$

اثبات: این قضیه کاربرد مستقیم لم ۱ و استفاده از پارامتری کردن بعد محدود می باشد.

قابل ذکر است که پارامترهای کنترل کننده به صورت خطی در L و S ظاهر می شوند و (۳۳) یک مجموعه LMI بر حسب پارامترهای کنترل کننده و P_q, c_k, τ, T می باشد.

می توان به عنوان سیگنال ورودی در آزمایش شناسایی سیستم در نظر گرفت.

برای نشان دادن کارایی روش، حالت سوم یعنی $\gamma = 1.173$ را در نظر بگیرید. با استفاده از روش ارائه شده، یک سیگنال ورودی با انرژی $\alpha = 106$ (شکل ۱) طراحی شده است. مدل نامی و مجموعه عدم قطعیت به دست آمده از آزمایش شناسایی با این سیگنال ورودی به وسیله کنترل کننده طراحی شده پایدار بوده و شرط کارایی مقاوم متناسب با $\gamma = 1.173$ را نیز برآورده می کند. حالتی را در نظر بگیرید که می خواهیم آزمایش شناسایی سیستم را با استفاده از سیگنال های کلاسیک شناسایی سیستم PRBS یا نویز سفید انجام دهیم. فرض کنید که سیگنال ورودی را یک نویز سفید با طول داده های $N = 1000$ و انرژی 10^6 (همان مقدار انرژی به دست آمده از روش طراحی توان) انتخاب کرده و آزمایش شناسایی سیستم را انجام داده ایم. برای مدل نامی و ناحیه عدم قطعیت بیضوی به دست آمده از این آزمایش شناسایی سیستم، نمی توان کنترل کننده مقاومی طراحی نمود که شرط کارایی مقاوم را برای $\gamma = 1.173$ برآورده کند. در این حالت بهترین کارایی که می توان به دست آورد متناسب با $\gamma = 3.035$ می باشد. نتایج این شیوه سازی به خوبی کارایی روش توان ارائه شده در این مقاله را در ارتباط با مبحث مربوطه یعنی **شناسایی برای کنترل**، نشان می دهد.

در این قسمت، به منظور مقایسه روش ارائه شده در این مقاله، با روش ارائه شده در [۱۲]، حالت سوم یعنی کارایی متناسب با $\gamma = 5$ را در نظر بگیرید. با استفاده از روش ارائه شده در بخش سوم، یک سیگنال ورودی با انرژی $\alpha = 25$ و یک کنترل کننده مقاوم مرتبه یک طراحی شد که در شکل ۲ ارائه شده است. حال اگر همین مسئله را با استفاده از روش ارائه شده در [۱۲] حل کنیم، کمینه مقدار انرژی ورودی متناسب با $\alpha = 167$ و کنترل کننده مرتبه یک زیر به دست می آید.

$$K_0 = \frac{191.16z - 40.24}{z + 0.8261} \quad (40)$$

طیف ورودی طراحی شده توسط این روش نیز در شکل ۲ نمایش داده شده است.

همان طور که مشاهده می شود، با استفاده از روش ارائه شده در [۱۲]، به یک سیگنال ورودی با $\alpha = 6$ برابر انرژی بیشتر نیاز است که نشان دهنده محافظه کاری این روش می باشد و همان طور که قبل نیز اشاره شد، این محافظه کاری به دلیل استفاده از یک چندجمله ای مرکزی و تابع لیپانوف ثابت برای همه مدل های داخل مجموعه عدم قطعیت می باشد. مقایسه نتایج شبیه سازی این دو روش نشان دهنده تاثیر استفاده از چندجمله ای مرکزی و تابع لیپانوف وابسته پارامتری در کاهش محافظه کاری روش طراحی کنترل کننده مقاوم مرتبه ثابت می باشد.

$$K_0 = \frac{50.5540z - 11.1954}{z + 0.6801} \quad (39)$$

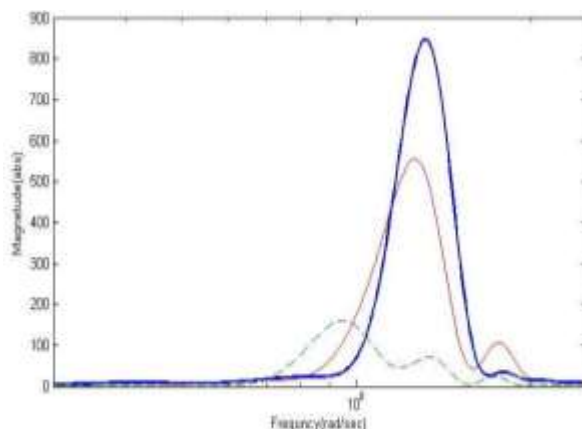
بنابراین چندجمله ای مرکزی توسط (۲۹) محاسبه می شود.

کوچکترین مقدار α (انرژی سیگنال ورودی) با جستجوی خطی در بین مقادیر قبل قبول در مسئله بهینه سازی (۳۳) به دست می آید. حل این مسئله، پارامترهای طیف ورودی و کنترل کننده را به ما می دهد. نتایج شبیه سازی برای سه حد بالای متفاوت بر روی کارایی مقاوم در مسئله (۳۳) در جدول ۱ ارائه شده است.

جدول ۱ : حداقل انرژی و کنترل کننده طراحی شده توسط (۳۳)

γ	α	X_0	X_1	y_1
۵	۲۵	۵۷/۸۶	۰/۸۲۸	۰/۷۲۸۸
۱/۲	۸۵	۳۰/۳۶	۰/۵۴۳	۰/۷۱۹۳
۱/۱۷۳	۱۰۶	۲۸/۴۹	-	۰/۷۱۵۳
۱			۰/۲۸۴	

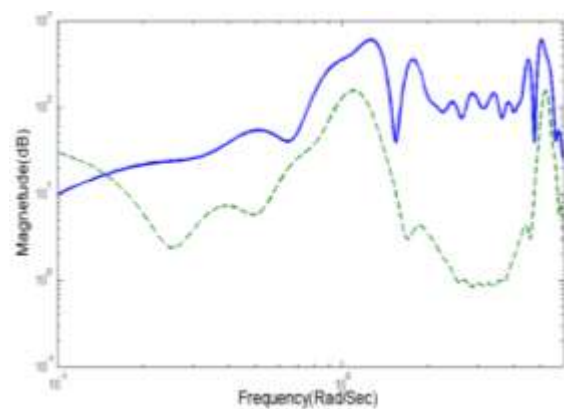
نتایج ارائه شده در جدول ۱ کاملاً با مفاهیم ثوری کنترل مقاوم سازگار است، به این معنی که برقراری کارایی مقاوم (۱۹) با مقادیر کوچکتر α مستلزم ناحیه عدم قطعیت کوچکتر و این موضوع نیز بر اساس رابطه (۳) نیازمند سیگنال ورودی با انرژی بیشتر برای شناسایی در آزمایش می باشد. طیف های طراحی شده در شکل ۱ نمایش داده شده اند.



شکل ۱: طیف طراحی شده بهینه : خط ضخیم ممتد: $\gamma = 1.173$ ، خط نازک $\gamma = 1.2$ ، خط چین: $\gamma = 5$

این نتایج نیز کاملاً با درک شهودی ما از مسئله سازگار است، یعنی بیشتر انرژی سیگنال ورودی در محدوده پنهانی باند مطلوب سیستم حلقه بسته که همان محدوده فرکانسی حیاتی برای کارایی مقاوم می باشد توزیع شده است. برای به دست آوردن سیگنال ورودی، با داشتن طیف ورودی و با استفاده از روش یول واکر می توان یک فیلتر دیجیتال به گونه ای طراحی نمود که پاسخ فرکانسی آن مانند طیف سیگنال ورودی باشد. سپس با اعمال یک نویز سفید بعنوان ورودی به فیلتر، خروجی فیلتر را

- [6] H.Jansson and H.Hjalmarsson, "Input Design via LMIs Admitting Frequency-Wise Model Specification in Confidence region," IEEE Trans. Autom Control, vol.50, no.10, Oct.2005.
- [7] A.Sadeghzadeh, H.Momeni and A.Karimi, "Fixed-order H_∞ controller design for systems with ellipsoidal parametric uncertainty" International Journal of Control, vol. 84, no. 1, p. 57 – 65..
- [8] A.Sadeghzadeh,H.momeni, " Shaping the Uncertainty Set Resulted from System Identification for Robust Control Design" Journal of Control, Vol. 4, No. 1, Spring 2010
- [9] L. Ljung, System Identification—Theory for the User, 2nd ed. Upper Saddle River, NJ: Prentice-Hall, 1999
- [10] H.Khatibi and A.Karimi, "Fixed-order H_∞ controller design via convex optimization using an alternative to Youla parameterization," IEEE TRANSACTIONS ON AUTOMATIC CONTROL, VOL. 55, NO. 9, SEPTEMBER 2010
- [11] Henrion, D.,Sebek, M., and Kucera, V. (2001), "LMIs for robust stabilization of systems with ellipsoidal uncertainty," in Process Control Conference, Strbske Pleso, Slovakia.
- [12] A.Sadeghzadeh, H.Momeni, "Fixed-order robust H_∞ control and control-oriented uncertainty set shaping for systems with ellipsoidal parametric uncertainty" , Int. J. Robust. Nonlinear Control (2010). DOI: 10.1002/rnc.1614



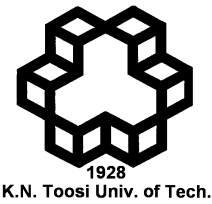
شکل ۲: طیف طراحی شده بهینه: خط ضخیم متد: ۵ γ با استفاده از روش ارائه شده در [۱۲] ، خط چین: ۵ γ با استفاده از روش ارائه شده در بخش سوم.

۵- نتیجه گیری

یک روش جدید برای طراحی توان سیگنال ورودی و کنترل کننده مرتبه ثابت مقاوم در آزمایش شناسایی سیستم ارائه شد. به منظور محاسبه سازی مسئله، از یک روش طراحی کنترل کننده مقاوم مرتبه ثابت برای سیستم های با عدم قطعیت پارامتری بیضوی و پارامتری کردن طیف ورودی استفاده شد و مسئله به صورت یک مسئله بهینه سازی محاسبه ارائه شد. پارامترهای کنترل کننده و طیف ورودی متغیرهای بهینه سازی بوده و شرط کارایی مقاوم برای سیستم حلقه-بسته و کمینه سازی انرژی سیگنال ورودی به صورت شروطی بر روی پارامترهای کنترل کننده و طیف ورودی تعبیر شده است. مسئله به صورت نامساوی های ماتریسی خطی نمایش داده شد و نتایج شبیه سازی بر روی یک سیستم واقعی، کارایی روش ارائه شده را نشان می دهد.

موارج

- [1] M.Bareithin, H.Hjalmarsson, "Identification and control: Joint input design and H_∞ state feedback with ellipsoidal parametric uncertainty via LMIs" Automatica 44 (2008) 543 – 551
- [2] Michel Gevers, IDENTIFICATION FOR CONTROL: ACHIEVEMENTS AND OPEN PROBLEMS Center for Systems Engineering and Applied Mechanics (CESAME) Université Catholique de Louvain
- [3] X.Bombois, G.Scorletti, M.Gevers, R.Hildebrand, P.Van den Hof, "Least costly identification experiment for control" Automatica 42 (2006) 1651 – 1662
- [4] Ballamudi RK, Crisalle OD. Robust pole-placement for ellipsoidally uncertain systems. Proceedings of IEEE Conference on Decision and Control, New Orleans, LA, 1995.
- [5] H. F. Raynaud, L. Pronzato, and E. Walter, "Robust identification and control based on ellipsoidal parametric uncertainty descriptions," in European Journal of Control, vol. 6, pp. 245–255, 2000.



Journal of Control

(ISSN 2008-8345)

A Joint Publication of the Iranian Society of Instrumentation and Control Engineers and the K.N. Toosi University of Technology, Vol. 5, No. 2, Summer 2011.

Publisher: Iranian Society of Instrumentation and Control Engineers

Managing Director: Prof. Iraj Goodarznia

Editor-in-Chief: Prof. Ali Khaki-Sedigh

Tel: 84062317

Email: sedigh@kntu.ac.ir

Assistant Editor: Dr. Hamid Khaloozadeh, Dr. Alireza Fatehi

Executive Director: Dr. Hamid Khaloozadeh

Editorial Board:

Prof. A. Khaki-Sedigh, Prof. I. Goodarznia, Dr. H. Khaloozadeh (Associate Prof.), Prof. P. Jabedar-Maralani, Prof. A. Ghafari, Dr. H.R. Momeni (Associate Prof), Prof. S.K. Nikravesh, Prof. M. Shafiee, Prof. B. Moshiri.

Advisory Board:

Dr. H.R. Momeni, Prof. B. Moshiri, Prof. M. Shafiee, Prof. A. Khaki-Sedigh, Prof. P. Jabedar-Maralani, Prof. A. Ghaffari, Dr. H. Khaloozadeh, Dr. H.R. Taghirad, Dr. K. Masroori, Dr. M.T. Bathaei, Dr. M.T. Hamidi-Beheshti, Dr. F. Jafarkazemi, Dr. R. Amjadifard, Dr. S.A. Mousavian, Dr. M. Teshnelab, Prof. M. Haeri, Dr. S.A. Safavi, Prof. H. Seifi, Dr. A. Kazemi, Dr. A. Fatehi, Dr. M.R. Akbarzadeh-Toutounchi, Dr. M. Golkar, Dr. N. Pariz, Dr. M. Javadi, Dr. J. Heirani-Nobari, Prof. F. Hossein-Babaei, Dr. B. Moaveni, Dr. M. Aliari-Shourehdeli, Dr. M. Arvan , Dr. M. Tavakoli-Bina.

The ISICE Board of Director:

Abbas. Sheri-Moghadam, Prof. Masoud Shafiee., Dr. Hamid Reza Momeni, Dr. Hamid Khaloozadeh, Dr. Mehrdad Javadi, Dr. Davod Karimzadegan, Ali Kiani.

Address: Room 241, 2nd floor, No.71, Mousavi Ave. Ferdowsi Sq. Enghelab St. Tehran, Iran.
P.O. Box: 15815-3595 Tel: (+9821) 88813002 Fax: (+9821) 88324979
<http://www.isice.ir>



A Joint Publication of the Iranian Society of Instrument and Control Engineers and the K.N. Toosi University of Technology

Vol. 5, No. 2, Summer 2011

Contents

Stability Analysis of Discrete-Time SDRE Filter in Stochastic Domain	1
Hossein Beikzadeh, Hamid D. Taghirad	
Stabilization and Control of Switched Linear Systems with State-Input Logic Constrained: LMI Approach	12
Hamed Molla-Ahmadian, Ali Karimpour, Naser Pariz	
System with Neuro-Fuzzy ANFIS Network by Using Feature Selection with Genetic Algorithm	22
Armita Fatemimoghadam, Arash Sharifi, Mohammad Teshnehab	
A New Solution for μ Synthesis Problem Using Particle Swarm Optimization Algorithm	34
Ali Lari, Alireza Khosravi	
A Comprehensive Alternative for the Conventional SVM: Reduction Computation Cost	44
Mohammad Tavasoli, Mohammad Tavakoli Bina, Masoud Ali Akbar Golkar	
Adaptive Inverse Control of Nonlinear Dynamical System Using Type-2 Fuzzy Neural Networks	52
Jafar Tavoosi, Mohammad Ali Badamchizadeh, Sehraneh Ghaemi	
Robust Control and Uncertainty Set Shaping Obtained by System Identification	60
Vahid Aeinfar, Hamidreza Momeni	